

جامعة النجاح الوطنية
كلية الدراسات العليا

دراسة الخصائص المورفومترية لحوض وادي غزة والحداد
المائي لحوضه الأعلى باستخدام نظم المعلومات الجغرافية (GIS)

إعداد

محمد عبد الله عادل برقان

إشراف

د. أحمد رافت غضية

قدمت هذه الأطروحة استكمالاً لمتطلبات الحصول على درجة الماجستير في الجغرافيا
بكلية الدراسات العليا في جامعة النجاح الوطنية في نابلس، نابلس.

2015م

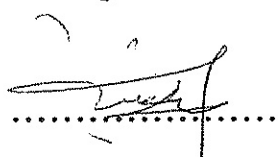
**دراسة الخصائص المورفومترية لحوض وادي غزة والحساب
المائي لحوضه الأعلى باستخدام نظم المعلومات الجغرافية (GIS)**

إعداد

محمد عبد الله عادل برقان

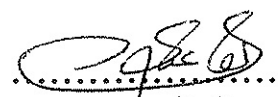
نوقشت هذه الأطروحة بتاريخ 5/5/2015م، وأجيزت.

التوقيع

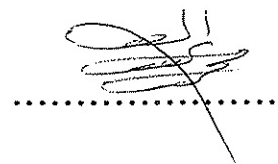


أعضاء لجنة المناقشة

1. د. أحمد رافت / مشرفاً ورئيساً



2. د. يوسف عمرو / ممتحناً خارجياً



3. د. محمد المصري / ممتحناً داخلياً

الإِهَدَاءُ

إِلَى الْوَطَنِ الْحَبِيبِ .. فَلَسْطِين

إِلَى مَنْ حَمَلَتْ وَتَعْبَتْ وَسَهَرَتْ، وَعَانَتْ لَكِي تَرَانِي فِي هَذَا الْمَكَانِ، إِلَى مَنْ
كَانَتْ وَمَا زَالَتْ بِجَانِبِي، إِلَى مَنْبَعِ الْعَطْفِ وَالْحَنَانِ إِلَى رَمْزِ الْأُمُومَةِ وَالْكَفَاحِ،
إِلَى مَنْ غَمَرَتِي بِدُعَائِهَا سَرَا وَجْهَرَا، إِلَى وَالَّذِي أَدَمَهَا اللَّهُ وَأَحْسَنَ عَمَلَهَا،
وَاسْأَلُ اللَّهَ أَنْ يُلْبِسَهَا ثُوبَ الصَّحَّةِ وَالْعَافِيَّةِ وَانْ يَطِيلَ فِي عُمْرِهَا لِتَبْقَى تَاجًا فَوْقَ
رَؤُوسِنَا...

إِلَى مَنْ رَبَانِي صَغِيرًا وَعَطَفَ عَلَى كَبِيرًا، وَأَحْسَنَ تَعْلِيمَيْ كَثِيرًا
إِلَى الْقَلْبِ النَّابِضِ بِالْحُبُّ وَالْحَنَانِ وَالتَّفَاؤِلِ وَالْعَمَلِ
إِلَى الشَّمْعَةِ الْمُضِيَّةِ لِمَا حَوْلَهَا، إِلَى مَنْ هُوَ نَعْمَ الْأَبِ وَنَعْمَ الْقَدوَةِ .. وَالَّذِي
الْعَزِيزُ الْغَالِي أَمَدَ اللَّهُ فِي عُمْرِهِ ...

إِلَى مَنْ بَذَرَ فِي الْأَمْلِ وَانتَزَعَنِ الْيَأسَ، إِلَى مَنْ أَزَالَتْ ابْتِسَامَتِهِنَّ أَثْرَ التَّعَبِ،
إِلَى الْقُلُوبِ النَّظِيفَةِ وَالْمَلِيئَةِ بِالْحُبُّ وَالْعَطَفِ وَمَعْنَى الْأَخْوَةِ إِلَى مَنْ هُمْ سَنَدِي
وَعَزُوتِي ... اشْقَائِي وَشَقِيقَاتِي حَفَظُهُنَّ
اللَّهُ ... وَاللَّهُ ... وَاللَّهُ ...

إِلَى الْجُنُودِ الْمَسَافِرِينَ فِي رَحْلَةِ الْبَنَاءِ
إِلَى اعْمَامِي وَابْنَائِهِمْ ... إِلَى أَصْدَقَائِي وَأَقْارَبِي وَاللَّهُ كُلُّ مَنْ وَقَفَ إِلَى جَانِبِي فِي
إِتْمَامِ هَذَا الْعَمَلِ الْعَلْمِيِّ

إِلَيْهِمْ جَمِيعًا أَهْدِي ثُمَرَةَ جَهْدِي

الشكر والتقدير

الحمد لله رب العالمين، والصلوة والسلام على سيدنا محمد وعلى آله وصحبه أجمعين وبعد،، فان الشكر والامتنان لله سبحانه وتعالى الذي أعايني ووفقني لإتمام هذه الدراسة، ويطيب لي بعد أن من الله علي ووفقني لذلك أن أتقدم بالشكر والتقدير للدكتور احمد رافت غضيبه لشرفه على هذه الدراسة، حيث أكرمني بعطائه وسعة صدره وتوجيهاته السديدة التي كان لها أكبر الأثر في إتمام هذه الدراسة.

كما أتقدم بالشكر لأعضاء لجنة المناقشة لتفضيلهم مشكورين بمناقشة هذه الأطروحة.

وأتقدّم بالشكر لكل من أمنّني بمرجع أو مصدر، أو ساعدني في الحصول عليه مما أسمّهم في إغناء هذه الرسالة، فالشكر للإخوة في وزارة التخطيط، وخاص بالذكر السيدة المهندسة سناء البيراوي والأستاذ محمد أبو كشك. والى جميع الوزارات والمؤسسات الفلسطينية دون استثناء؛ لما قدموه لي من مصادر ومراجع ودعم وارشاد.

كما لا يفوتي إلا أن أتقدّم بالشكر الجليل للدكتور حسان القدوسي والدكتور حازم الباكي والدكتور رضوان الكيلاني والاستاذ إبراهيم أبو تحفة لدعمهم وارشادهم.

إليهم جميما والى كل من ساهم في إنجاح هذا العمل العلمي عظيم الشكر والامتنان.

محمد عبدالله عادل برقدان

الإقرار

أنا الموقع أدناه مقدم الرسالة التي تحمل العنوان:

دراسة الخصائص المورفومترية لشبكة التصريف المائي في حوض (الخليل-بئر السبع-غزة) باستخدام نظم المعلومات الجغرافية (GIS)

أقر بأن ما اشتملت عليه هذه الرسالة إنما هي نتاج جهدي الخاص، باستثناء ما تمت الإشارة إليه حيالاً ورد، وأن هذه الرسالة ككل، أو أي جزء منها لم يقدم من قبل لنيل أية درجة علمية أو بحثي لدى أية مؤسسة تعليمية أو بحثية أخرى.

Declaration

The work provided in thesis, unless otherwise referenced, is the researcher's own work, and has not been submitted elsewhere for any other degree or qualification.

Student's name:

اسم الطالب: محمد عبد الله عادل رقان

Signature:

التوقيع: 

Date:

التاريخ: ٢٠١٥ / ٥ / ١٥

فهرس المحتويات

الصفحة	الموضوع	الرقم
ج	الإهداء	
د	الشكر والتقدير	
هـ	الإقرار	
و	فهرس المحتويات	
ل	فهرس الجداول	
م	فهرس الأشكال	
س	فهرس الخرائط	
ق	فهرس الملحق	
ر	الملخص	
1	الفصل الأول: مقدمة الدراسة ومنهجيتها	
2	مقدمة الدراسة	1.1
4	منطقة الدراسة	2.1
6	مشكلة الدراسة	3.1
7	أسئلة الدراسة	4.1
8	أهمية الدراسة	5.1
9	أهداف الدراسة	6.1
10	منهجية الدراسة	7.1
10	الدراسات السابقة	8.1
17	الفصل الثاني: الخواص الطبيعية لمنطقة الدراسة	
18	طيغرافية الحوض	1.2
19	جبال الخليل	1.1.2
19	حوض بئر السبع	2.1.2
20	مرتفعات وسط النقب	3.1.2
20	السهل الساحلي الجنوبي	4.1.2
22	درجات الانحدارات	2.2
24	اتجاه الانحدار	3.2

الصفحة	الموضوع	الرقم
26	الجيولوجيا	4.2
27	الاليان	1.4.2
28	السينومينيان	2.4.2
28	التورنيان	3.4.2
29	كامبينيان	4.4.2
30	باليوسين	5.4.2
30	الايوسين	6.4.2
31	ميوسين	7.4.2
31	بليوسين	8.4.2
31	العصر الرباعي	9.4.2
34	التربة	5.2
35	التربة الوردية الحمراء (التيراروزا)	1.5.2
36	تربة الرنديينا	2.5.5
37	ترب المناطق الجافة وشبه الجافة (الليثوسولز)	3.5.2
38	مجموعة الترب الرملية والطمية الركامية	4.5.2
39	مجموعة الترب الصحراوية	5.5.2
41	المناخ	6.2
44	درجات الحرارة	1.6.2
45	الامطار	2.6.2
47	الرطوبة النسبية	3.6.2
47	التبخّر والتنح	4.6.2
50	الفصل الثالث: آلية استخراج الخصائص المورفومترية	
52	الحصول على خرائط (DEM)	1.3
52	الحصول على النموذج الرقمي	1.1.3
53	ادخال نموذج الارتفاع الرقمي الى برنامج (Arc GIS 10.1)	2.1.3
54	استخراج حدود منطقة الدراسة (حوض وادي غزة)	2.3
54	معالجة القيم الشاذة في الارتفاع (Fill)	1.2.3
54	إنشاء طبقة الاتجاهات الجريان (Flow Direction)	2.2.3

الصفحة	الموضوع	الرقم
56	تحديد احواض الجريان (Basin)	3.2.3
57	استخراج منطقة الحوض من طبقة (Fill)	4.2.3
58	استخراج شبكة المجرى المائي داخل (Arc Hydro)	3.3
58	انشاء قاعدة البيانات Creation of a database	1.3.3
59	التحليلات التضاريسية المسبقة (Terrain Preprocessing)	2.3.3
60	انشاء طبقة الراب النهرية (Flow Accumulation)	1.2.3.3
61	تحديد قيمة العتبة او التحسس (Stream Definition)	2.2.3.3
62	تجزئة الجداول Stream Segmentation	3.2.3.3
62	تحديد احواض التغذية لكل رافد catchment grid delineation	4.2.3.3
63	تحويل الاحواض لمضلعات Catchment Polygon Processing shape File	5.2.3.3
64	استبطاط رتب المجرى Stream Orders	6.2.3.3
65	تحويل شبكة الرتب الى طبقة خطية stream to Feature	7.2.3.3
65	تحديد احواض التصريف بطريقة تراكمية Processing Adjoint Catchment	8.2.3.3
66	تحديد نقطة المصب لكل حوض Drainage Point Processing	9.2.3.3
67	تجهيز الاحواض حسب الرتبة Watershed Processing	4.3.3
68	تحديد الاحواض Batch Watershed Delineation	1.4.3.3
68	تحديد مركز الاحواض Drainage Area Centroid	2.4.3.3
69	تحديد اطوال مسار المياه لكل حوض Longest Flow Path	3.4.3.3
70	تحديد نقطة المصب والمنبع للأحواض Basin Length Points	4.4.3.3
71	تحديد طول الاحواض Basin Length	5.4.3.3
72	التقسيمات الطبيعية للحوض والخرائط التفصيلية	4.3
72	التقسيمات الطبيعية للحوض	1.4.3
74	الخرائط التفصيلية للحوض	2.4.3
77	الفصل الرابع: الخصائص المورفومترية والشبكية لحوض وادي غزة	
79	قوانين المتغيرات المورفومترية والشبكية	1.4

الصفحة	الموضوع	الرقم
86	الخصائص المساحية والشكلية	2.4
87	الخصائص المساحية	1.2.4
89	مساحة احواض الرتبة السادسة	1.1.2.4
90	مساحة احواض الرتبة الخامسة	2.1.2.4
90	مساحة احواض الرتبة الرابعة	3.1.2.4
90	مساحة احواض الرتبة الثالثة	4.1.2.4
92	ابعاد الاحواض	2.2.4
93	اطوال الاحواض (Length Basins)	1.2.2.4
93	عرض الاحواض (Basins Width)	2.2.2.4
94	المحيط الحوضي (Basin Circumscription)	3.2.2.4
94	الخصائص الشكلية (Form Characteristics)	3.2.4
95	نسبة تماسك المساحة (نسبة الاستدارة (Circularity Ratio	1.3.2.4
98	نسبة تماسك المحيط (معامل الاندماج (Compactness Factor	2.3.2.4
101	معامل الاستطاللة (Elongation Ratio)	3.3.2.4
104	معامل شكل الحوض (Basin Form Factor)	4.3.2.4
106	الخصائص التضاريسية (Topological Characteristics)	4.2.4
107	نسبة التضرس (Relief Ratio)	1.4.2.4
110	التضاريس النسبية (Relative Relief)	2.4.2.4
113	قيمة الوعورة (Ruggedness Value)	3.4.2.4
116	معدل النسيج الطبوغرافي (نسبة القطع (Texture Ratio	4.4.2.4
119	التكامل الهيسومترى (Hypsometric Integral)	5.4.2.4
122	المعامل الهيسومترى (Hypsometric Factor)	6.4.2.4
129	الخصائص الشبكية لشبكة الصرف المائي لحوض وادي غزة	3.4
129	الخصائص الشكلية	1.3.4
129	المراتب النهرية (Stream Orders)	1.1.3.4
131	اطوال المجاري المائية	2.1.3.4
131	نسبة التشعب (Bifurcation Ratio)	3.1.3.4
133	كثافة شبكة التصريف	2.3.4

الصفحة	الموضوع	الرقم
133	كثافة الصرف (Drainage density)	1.2.3.4
133	كثافة الصرف الطولية	1.1.2.3.4
135	كثافة الصرف العددية (التكرار النهرى Stream Frequency)	2.1.2.3.4
136	معدل بقاء المجرى (Stream remains ratio)	2.2.3.4
136	شدة الصرف (Drainage Intensity)	3.2.3.4
137	رقم الترشيح (Infiltration Number)	4.2.3.4
137	معامل الانعطاف (Sinuosity Factor)	3.3.4
140	الفصل الخامس: استغلال الأمطار الجارية اقتصادية في الأجزاء الداخلية لحوض وادي غزة من محافظة الخليل	
143	مصادر المياه في منطقة الدراسة	1.5
144	التساقط	1.1.5
146	المياه الجوفية	2.1.5
147	الحساب المائي	2.5
148	تحديد أفضل المواقع لإنشاء السدود	1.2.5
148	المعايير الطبعغرافية	1.1.2.5
149	المعايير الجيولوجية والتربة	2.1.2.5
150	المعايير الهيدرولوجية (الكتافات السريانية)	3.1.2.5
151	معايير استعمالات الأرض	4.1.2.5
153	بناء النموذج الهيكلي (Model builder)	2.2.5
156	الدراسة الميدانية للتأكد من موقع السدود	3.2.5
161	كمية المياه في السدود	4.2.5
166	استغلال المياه المخزنة لاستخدامها في الزراعة	3.5
166	استغلال الأراضي الصالحة للزراعة	1.3.5
167	تنمية الأراضي الرديئة (البور)	2.3.5
168	التنمية الاقتصادية	4.5
171	الفصل السادس: النتائج والتوصيات	
172	النتائج	1.6
174	التوصيات	2.6

الصفحة	الموضوع	الرقم
177	قائمة المصادر والمراجع	
185	الملاحق	
b	Abstract	

فهرس الجداول

الصفحة	الجدول	الرقم
24	الفئات الانحدارية من المساحة الكلية لمنطقة الدراسة	جدول (1)
26	مساحة منحدرات حوض وادي غزة حسب الاتجاهات المختلفة	جدول (2)
34	التكوينات الجيولوجية في حوض وادي غزة	جدول (3)
41	أنواع التربة في حوض وادي غزة	جدول (4)
43	المتوسطات الشهرية والفصلية لبعض عناصر المناخ في محطات الدراسة 2012/2003	جدول (5)
75	الأقسام الرئيسية لحوض وادي غزة	جدول (6)
88	الخصائص المساحية للأحواض الثانوية في حوض وادي غزة	جدول (7)
89	عدد ومساحات أحواض الرتب العليا بمنطقة الدراسة	جدول (8)
94	متوسط ابعاد أحواض التصريف بالمراتب المختلفة	جدول (9)
96	متوسطات الخصائص الشكلية للحوض	جدول (10)
108	متوسطات الخصائص التضاريسية للأحواض الثانوية	جدول (11)
120	متوسطات التكامل الهيسومترى	جدول (12)
125	المعامل الهيسومترى	جدول (13)
130	المراتب النهرية	جدول (14)
132	نسب التشعب	جدول (15)
134	متوسطات خصائص كثافات التصريف للأحواض الثانوية وحوض وادي غزة	جدول (16)
138	متوسطات معامل الانعطاف للأحواض الثانوية وحوض وادي غزة	جدول (17)
152	أنظمة استعمالات الأرض الذي اعتمد الباحث في وضع مخطط لإنشاء السدود	جدول (18)
163	كمية الامطار الجارية (الفائضة) في أحواض التغذية لكل سد	جدول (19)
165	حجم المياه المخزنة داخل السدود	جدول (20)
167	مساحة الأراضي الزراعية والرديئة التي تقع ضمن مسافات بالابتعاد عن السدود	جدول (21)
169	القيمة الاقتصادية من زراعة الأراضي باستخدام المياه المجمعة (مياه السدود)	جدول (22)

فهرس الأشكال

الصفحة	الشكل	الرقم
22	مجسم ثلاثي الابعاد لحوض وادي غزة	شكل (1)
46	المتوسط الشهري للأمطار الساقطة املم	شكل (2)
53	الحصول على نموذج الارتفاع الرقمي من موقع (ASTER) (GDEM)	شكل (3)
53	ادخال طبقة DEM وقصها وادخالها الى برنامج (Arc GIS) (10.1)	شكل (4)
55	يوضح معالجة الخلايا الشاذة بطبقة نموذج الارتفاع الرقمي	شكل (5)
55	يوضح اتجاه الجريان	شكل (6)
56	اتجاه الجريانات بطبقة (DEM)	شكل (7)
57	احواض التصريف بهيئة (Grid)	شكل (8)
57	احواض التصريف بامتداد (Polygon)	شكل (9)
58	اقطاع طبقة حوض وادي غزة	شكل (10)
59	نافذة تقوم بإنشاء قاعدة بيانات	شكل (11)
65	نموذج ستريلير وشريف في تصنيف الرتب النهرية	شكل (12)
125	المنحنى الهيسومترى لحوض وادي غزة	شكل (13)
127	المنحنى الهيسومترى لحوض الرتبة السادسة	شكل (14)
127	المنحنى الهيسومترى لحوض الرتبة الخامسة	شكل (15)
128	المنحنى الهيسومترى لحوض الرتبة الرابعة	شكل (16)
128	المنحنى الهيسومترى لحوض الرتبة الثالثة	شكل (17)
154	نموذج موديل لتحديد أفضل المواقع لإنشاء السدود	شكل (18)
157	سد البويرة	شكل (19)
158	سد النجمة	شكل (20)
158	سد أبو العرقان	شكل (21)
159	سد شويكة	شكل (22)
159	سد الرهوة	شكل (23)
160	سد السموع	شكل (24)

الصفحة	الشكل	الرقم
160	سد غوين	شكل (25)
161	سد زنونة	شكل (26)

فهرس الخرائط

الصفحة	الخرائط	الرقم
5	منطقة الدراسة	خريطة (1)
21	طوبوغرافية حوض وادي غزة	خريطة (2)
23	درجات الانحدار	خريطة (3)
25	اتجاه المنحدرات في الحوض	خريطة (4)
27	جيولوجية حوض وادي غزة	خريطة (5)
36	أنواع الترب في حوض وادي غزة	خريطة (6)
42	موقع محطات الدراسة (الخليل-بئر السبع-غزة-النقب)	خريطة (7)
45	المتوسط السنوي لدرجات الحرارة بمنطقة الحوض (2003-2012)	خريطة (8)
46	المتوسط السنوي للأمطار /ملم بمنطقة الحوض (2003-2012)	خريطة (9)
47	المتوسط السنوي للرطوبة النسبية بمنطقة الحوض (2003-2012)	خريطة (10)
48	متوسط التبخر ملم/السنوي بمنطقة الحوض (2003-2012)	خريطة (11)
59	معالجة القيم الشاذة لمنطقة الدراسة	خريطة (12)
60	اتجاه الجريان	خريطة (13)
61	مناطق تجمع المياه	خريطة (14)
62	تحديد قيمة التعبئة او التحسس	خريطة (15)
63	استخراج الاحواض لكل رافد	خريطة (16)
64	تحويل الاحواض من الشبكي الى الخطى	خريطة (17)
66	تحويل المجاري المائية من الملف الشبكي الى الخطى	خريطة (18)
67	نقاط المصب لكل حوض	خريطة (19)
68	الاحواض الرئيسية في حوض وادي غزة	خريطة (20)
69	مراكز الاحواض الرئيسية	خريطة (21)
70	مسارات المياه داخل الاحواض الرئيسية	خريطة (22)
71	نقطة المصب والمنبع للأحواض الرئيسية	خريطة (23)
72	اطوال الاحواض	خريطة (24)

الصفحة	الخريطة	الرقم
73	التقسيمات الطبيعية للحوض	خريطة (25)
74	التقسيمات الطبيعية للحوض	خريطة (26)
76	الخريطة التفصيلية لحوض وادي غزة	خريطة (27)
79	نقسم حوض وادي غزة	خريطة (28)
89	تصنيف المساحات للأحواض الرئيسية	خريطة (29)
91	مساحة احواض الرتبة السادسة	خريطة (30)
91	مساحة احواض الرتبة الخامسة	خريطة (31)
92	مساحة احواض الرتبة الرابعة	خريطة (32)
92	مساحة احواض الرتبة الثالثة	خريطة (33)
97	معامل الاستدارة للرتبة السادسة	خريطة (34)
97	معامل الاستدارة للرتبة الخامسة	خريطة (35)
98	معامل الاستدارة للرتبة الرابعة	خريطة (36)
98	معامل الاستدارة للرتبة الثالثة	خريطة (37)
99	معامل الاندماج للرتبة السادسة	خريطة (38)
100	معامل الاندماج للرتبة الخامسة	خريطة (39)
100	معامل الاندماج للرتبة الرابعة	خريطة (40)
101	معامل الاندماج للرتبة الثالثة	خريطة (41)
102	معامل الاستطالة للرتبة السادسة	خريطة (42)
102	معامل الاستطالة للرتبة الخامسة	خريطة (43)
103	معامل الاستطالة للرتبة الرابعة	خريطة (44)
103	معامل الاستطالة للرتبة الثالثة	خريطة (45)
105	معامل الشكل للرتبة السادسة	خريطة (46)
105	معامل الشكل للرتبة الخامسة	خريطة (47)
106	معامل الشكل للرتبة الرابعة	خريطة (48)
106	معامل الشكل للرتبة الثالثة	خريطة (49)
108	نسبة التضرس للرتبة السادسة	خريطة (50)
109	نسبة التضرس للرتبة الخامسة	خريطة (51)

الصفحة	الخريطة	الرقم
109	نسبة التضرس للرتبة الرابعة	خريطة (52)
110	نسبة التضرس للرتبة الثالثة	خريطة (53)
111	التضاريس النسبية للرتبة السادسة	خريطة (54)
112	التضاريس النسبية للرتبة الخامسة	خريطة (55)
112	التضاريس النسبية للرتبة الرابعة	خريطة (56)
113	التضاريس النسبية للرتبة الثالثة	خريطة (57)
114	قيمة الوعورة للرتبة السادسة	خريطة (58)
115	قيمة الوعورة للرتبة الخامسة	خريطة (59)
115	قيمة الوعورة للرتبة الرابعة	خريطة (60)
116	قيمة الوعورة للرتبة الثالثة	خريطة (61)
117	النسيج الطبوغرافي للرتبة السادسة	خريطة (62)
118	النسيج الطبوغرافي للرتبة الخامسة	خريطة (63)
118	النسيج الطبوغرافي للرتبة الرابعة	خريطة (64)
119	النسيج الطبوغرافي للرتبة الثالثة	خريطة (65)
120	التكامل الهيسمترى للرتبة السادسة	خريطة (66)
121	التكامل الهيسمترى للرتبة الخامسة	خريطة (67)
121	التكامل الهيسمترى للرتبة الرابعة	خريطة (68)
122	التكامل الهيسمترى للرتبة الثالثة	خريطة (69)
126	الاحواض التي تم تطبيق المنحنى الهيسمترى عليها	خريطة (70)
130	الرتب النهرية في حوض وادي غزة	خريطة (71)
143	الجزء الداخلي من الحوض في محافظة الخليل	خريطة (72)
144	المعدل السنوي للأمطار	خريطة (73)
145	المتوسط السنوي لدرجات الحرارة	خريطة (74)
145	التبخر السنوي	خريطة (75)
146	المتوسط السنوي للرطوبة النسبية	خريطة (76)
147	الابار والينابيع في منطقة الدراسة	خريطة (77)
148	طبوغرافية المنطقة	خريطة (78)

الصفحة	الخريطة	الرقم
149	درجة الانحدار	خريطة (79)
150	الصخور	خريطة (80)
150	التربة	خريطة (81)
151	الكثافات السريانية في منطقة الدراسة	خريطة (82)
152	استعمالات الأرض	خريطة (83)
155	المرحلة الثانية (أفضل المواقع)	خريطة (84)
155	المرحلة الأولى (تحليل التراكيبي)	خريطة (85)
156	المرحلة الثالثة التحويل إلى النظام الخطي	خريطة (86)
157	الموقع السودي بعد التحقق ميدانيا	خريطة (87)
162	احواض التغذية للتجمعات المائية	خريطة (88)
167	موقع الأراضي الزراعية والرديئة من موقع السود	خريطة (89)

فهرس الملاحق

الصفحة	الملحق	الرقم
186	الخرائط التفصيلية	ملحق (1)
194	الخرائط البريطانية القديمة	ملحق (2)

**دراسة الخصائص المورفومترية لحوض وادي غزة والحساب المائي لحوضه الأعلى باستخدام
نظم المعلومات الجغرافية (GIS)**

إعداد

محمد عبد الله عادل برقان

إشراف

د. أحمد رافت غضية

الملخص

هدفت الدراسة الى استخدام تقنية نظم المعلومات الجغرافية في دراسة الخصائص المورفومترية لحوض وادي غزة، بالاعتماد على نموذج الارتفاع الرقمي (DEM) بدقة 30 متر للحوض، الذي يعتبر الأساس الذي يعتمد عليه تحليل السطوح الطبوغرافية، وذلك بالاعتماد على مجموعة من البرامج المتكاملة من برمجيات نظم المعلومات الجغرافية المتمثلة ArcGIS 10.1 وامتداده Arc Hydro 2.0 Google Earth وبرنامج، لاستنباط بعض متغيرات الخصائص المورفومترية، حيث بلغ اعلى ارتفاع لحوض وادي غزة في اقصى الشمال الغربي على سفح جبال مدينة الخليل التي ترتفع (1020م) عن مستوى سطح البحر، فيما كان اقل ارتفاع في الغرب من الحوض التي تتحفظ (-5م) عن مستوى سطح البحر.

ينتهي حوض وادي غزة بالرتبة السابعة، وان دل ذلك فانه يدل على ان الحوض قد قطع مرحلة كبيرة من دورته الحitive، حيث بلغ مجموع عدد المجاري لجميع الرتب 3788 مجري، بطول 4782 كم، وتعتبر احواض التصريف ذات الشكل المستطيل بينما وأكدت احواضه الثانوية أيضا على اقترابه من الشكل المستطيل أكثر من الشكل الدائري وهذا يعني ان خطورة حدوث فيضانات قليلة نسبيا، كما وأكدت نسب معامل الاستطاللة على قربه من الشكل المستطيل، وأكدهت نسب معامل الشكل على قربه من الشكل المثلث لذى يدعم هذا المعامل على ابعاده من الشكل الدائري، ودلت الخصائص التضاريسية على ان الحوض قد قطع شوطا كبيرا في دورته التحاتية اذ بلغ فارق الارتفاع بين اعلى واقل نقطة في المصب 1025م مقابل طول الحوض 132 كم، ودلت قيمة الوعورة على انحدار المجرى المائي في حوض وادي غزة، ومن خلال تطبق معامل نسبة القطع أظهرت ان الحوض يقع ضمن النسيج الناعم.

وتم تقسيم مصادر المياه في المنطقة العليا لحوض وادي غزة إلى قسمين: أولهما التساقط والثانية المياه الجوفية، حيث بلغ التساقط السنوي في الأجزاء الجنوبية 200 ملم، بينما كان التساقط في الأجزاء الشمالية 600 ملم، وتوجد في المنطقة 4 ابار و 9 ينابيع ولكن كمية انتاجها محدودة، وتم اقتراح انشاء 8 سدود كأفضل المواقع من الدرجة الاولى، و 6 مواقع من الدرجة الثانية؛ وفقاً لعدد من المعايير تم اشتقاقها من الخرائط باستخدام (Model Builder) و العمل الميداني ، حيث بلغت كمية الامطار الجارية في منطقة الدراسة في احواض السدود 15 مليون متر مكعب، يبلغ حجم التخزين فيها 7.4 مليون متر مكعب، وهذه الكمية من المياه ستعمل على تربية الأراضي الزراعية والرديئة (البور) في منطقة الدراسة حسب نوع الزراعة.

الفصل الأول

مقدمة الدراسة ومنهجها

1.1 مقدمة الدراسة

2.1 منطقة الدراسة

3.1 مشكلة الدراسة

4.1 أسئلة الدراسة

5.1 أهمية الدراسة

6.1 أهداف الدراسة

7.1 منهجية الدراسة

8.1 الدراسات السابقة

الفصل الأول

مقدمة الدراسة ومنهجها

1.1 مقدمة الدراسة

إن الدراسات المورفومترية تعني التحليل العددي لشكل الأرض وإيجاد العلاقة الرياضية التي تربط بين الطوبوغرافية وشبكات التصريف المائية. هذه الدراسات الكمية لأحواض الأنهار ما هي إلا متغيرات مورفومترية يمكن تصنيفها إلى ثلاثة مجاميع هي المساحة (Area) والشكل (Shape) والتضرس (Relief)¹. إن التحليل الكمي والتحليل النوعي لشبكات التصريف يوفر معلومات هيدرولوجية في غاية الأهمية . كما إن العلاقة بين شبكات التصريف والموارد المائية لا تكون مثالية دائماً، والعوامل التي يجب أن تؤخذ بعين الاعتبار هي الكثافة التصريفية والتي لها انعكاس أيضا على نفاذية الصخور وعلى مدى السيطرة الجيولوجية على شبكات التصريف والتفكك وتجانس الشبكات، إضافة إلى ذلك فإن للمنحدرات ومواصفاتها أهمية مورفولوجية كبيرة، حيث إن العوامل المؤثرة على عمليات الحفظ المائي في المنحدرات تشمل التدرج، الطول، الشكل الخارجي والتضرس الدقيق².

يتميز وقتنا الحاضر بالاعتماد على التقنية والمعلومات، وذلك لما شهده العالم من تطور كبير في أجهزة ومكونات الحاسوب الآلي، وكذلك الكم الهائل والمتسارع من البيانات مختلفة المصادر والمتمثلة في (الإحصاءات والتعدادات والقياسات البيئية والخرائط المتنوعة والمرئيات الفضائية والصور الجوية إضافة إلى القياسات الميدانية)، والتي تحتاج إلى طرق سريعة ومتقدمة في (جمع البيانات Data Collection و (تصحيحها Data Editing) و (تصنيفها Classification) و (استرجاعها Data Storage) و (تحليلها Data Analysis) و (تخزينها Data Updating) و (تحديثها Data Presenting) و (عرضها Retrieving) . لذلك برزت

¹ Morisawa, M., (1968), **Streams; Their Dynamics and Morphology**, McGraw-Hill, New York, p 175.

² Verstappen, H.TH. , (1983), **Applied geomorphology; Geomorphological Surveys for Environmental Development**, Elsevier, Amsterdam –Oxford-New York, p 56.

أهمية ودور نظم المعلومات الجغرافية كوسيلة متقدمة للتعامل مع تلك البيانات في جميع المجالات العلمية بصورة عامة والدراسات الجغرافية بصورة خاصة.

وتعتبر نظم المعلومات الجغرافية (GIS) (Geographic Information System) أسلوباً تكنولوجياً متطورةً يجمع أجهزة الحاسوب الآلي (Hardware) والبرامج (Software) المتخصصة في بناء الخرائط والتعامل مع عناصرها وربطها بالبيانات المتعددة المصاحبة للبرنامج أو المستدعاة من قواعد البيانات المتوفرة على العديد من البرامج الأخرى مع إمكانية ترميزها وتخزينها واسترجاعها وإمكانية إجراء التطبيقات الجغرافية غير المحددة عليها¹ وعلى هذا الأساس تلعب نظم المعلومات الجغرافية دوراً هاماً في توفير أساليب آلية متقدمة في تحليل البيانات المكانية (Analysis) على قواعد البيانات الجغرافية بعد ربطها بالبيانات الوصفية (Descriptive Data) (Spatial Data) مما يؤدي إلى الوصول إلى نتائج سريعة ودقيقة ومتنوعة متمثلة في (الخرائط الرقمية والرسومات البيانية والتقارير)، الأمر الذي عزز تلك الدراسات الجغرافية ذات الأسلوب العلمي المعتمد على القياس والتحليل والتفسير، وهذا بدوره ساعد على التنبؤ والتوقع المستقبلي لمختلف الظاهرات الجغرافية الطبيعية والبشرية والوصول في النهاية إلى نتائج من شأنها أن تدعم خطط التنمية المستقبلية في مختلف المجالات الزراعية والصناعية والمدنية والخطيطية والعسكرية وغيرها ببناءً على توظيف نظم المعلومات الجغرافية كتقنية تساعد في صنع القرار.

وبما أن البيانات والمعلومات المكانية تشكل العصب الرئيسي والجزء الحيوي لأي برنامج من برامج نظم المعلومات الجغرافية، فإن (الخصائص المورفومترية) تعد من الخصائص الجيومورفولوجية بمفهومها العام، وهي أساليب تحليلية كمية (Quantitative Geomorphology) تتناول ظاهرات سطح الأرض معتمدة في أساسها على البيانات المأخوذة من الخريطة الكنتورية والصورة الجوية والمرئية الفضائية إلى جانب الدراسات الحقلية.² وبذلك

¹ سلمى، ناصر محمد، (1420هـ)، مدخل إلى علم الخرائط ونظم المعلومات الجغرافية، الطبعة الأولى، مكتبة الملك فهد الوطنية، الرياض، المملكة العربية السعودية، ص 243.

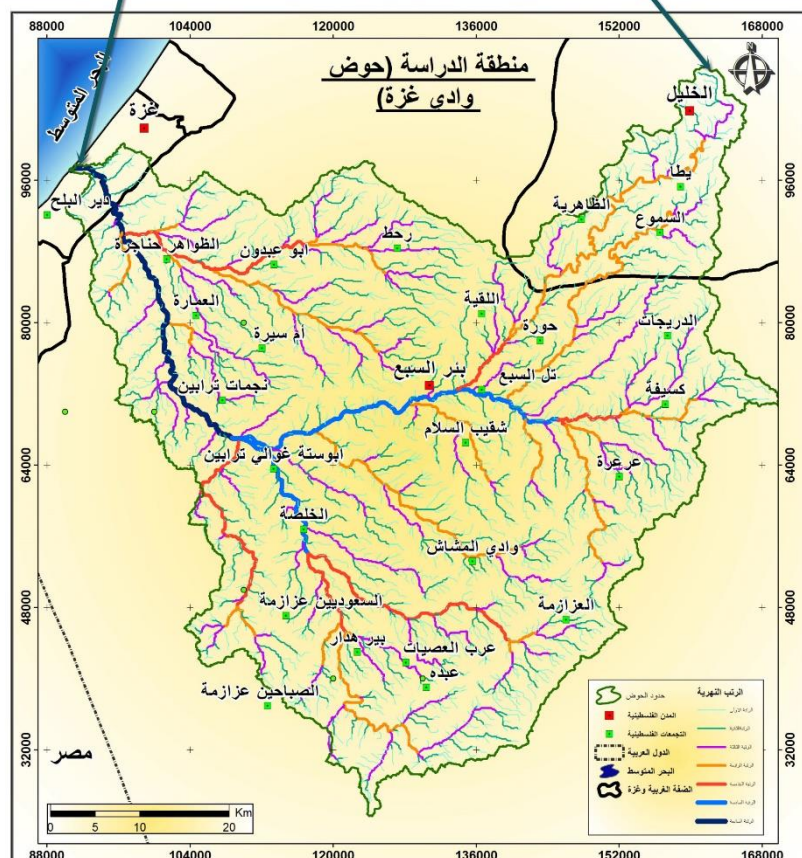
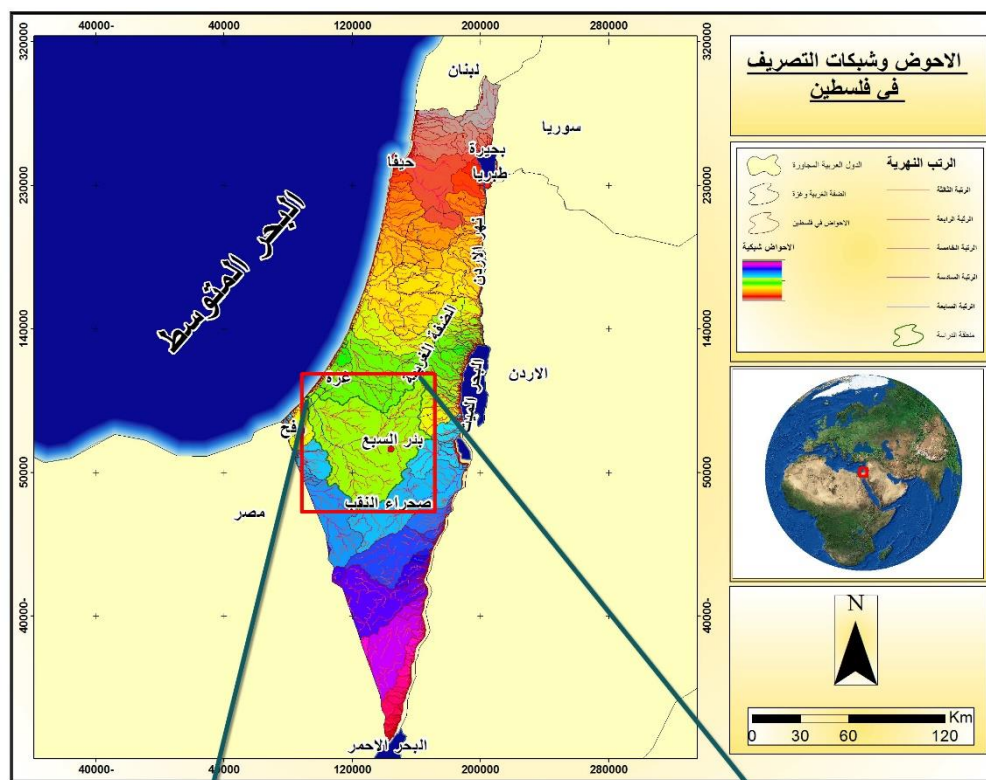
² محسوب، محمد صبري وأحمد فوزي ضاحي، (2006م)، الدراسة الميدانية والتجارب المعملية في الجيومورفولوجيا، الأسراء للطباعة، القاهرة، مصر، ص 242.

تعد من الخصائص الجيومرفولوجية التي سيتم الاعتماد عليها في إنشاء قاعدة البيانات الجغرافية ذات المتغيرات المورفومترية واستخدام التقنيات المتقدمة لبرامج نظم المعلومات الجغرافية؛ لدراستها عن طريق أدوات التحليل التي تتيحها تلك البرامج، متمثلة تلك الدراسة برسم صورة رئيسية لشبكة التصريف المائية لحوض وادي غزة كظاهرة طبيعية ذات خصائص جيومرفولوجية مورفومترية ومن ثم الوصول إلى الأهداف المرجوة من تلك الدراسة والمتمثلة بشكل رئيسي في توضيح دور نظم المعلومات الجغرافية في دراسة مثل تلك الخصائص.

2.1 منطقة الدراسة

يقع حوض وادي غزة في الجنوب الغربي لفلسطين اذ يمتد بين دائري عرض (°30°35'17" و 20°12'48" و 31°30'48") شمال خط الاستواء، وخطي طول (°34'21" و 34°17'48") و 95902.597 شرق خط غرينتش، وخط احداثي محلي في اقصى الشمال الغربي للحوض (- 99538.174 و اقصى الشمال الشرقي (161307.728 - 108586.943) و اقصى الجنوب الغربي (140987.687 - 123525.152) و اقصى الجنوب الشرقي (- 31751.789)، كما موضح في الخريطة رقم (1)، ويميل شكله الى المثلث، وتبدأ بدايته من جبال الخليل في الشمال الشرقي والجنوب الشرقي من الحوض وينتهي الى ان يصل الى غزة ومن ثم البحر المتوسط غربا.

ويبعد حوض غزة أكبر الأحواض في فلسطين حيث تبلغ مساحة الحوض (3579) كم²، ويبلغ أقصى طول للحوض (137) كم، فيما بين مدينة الخليل في الشمال الشرقي الى النقب في الجنوب، وبأقصى عرض باتجاه الشمال الغربي والشرق والذي بلغ (26) كم، ويبلغ اعلى ارتفاع للحوض 1020م فوق منسوب سطح البحر في جبال الخليل، وتمتد مساحته في ثلاثة مناطق فلسطينية، بحيث تتحل بئر السبع على (3219) كم² من مساحة الحوض، ومحافظة الخليل على (314) كم²، وقطاع غزة على (45) كم².



خريطة (1): منطقة الدراسة

المصدر: من عمل الباحث بالاستعانة بنموذج الارتفاعات الرقمية (SRTM) 30*30 م وخرائط فلسطين قبل النكبة 1948م، دار المعلم، سخنين، 2008م.

3.1 مشكلة الدراسة

تعتمد أساس التحليل المورفومترى لشبكة التصريف المائي للأحواض على الطرق الكمية القائمة على إجراء العديد من القياسات والخواص الهندسية، ونظرًا لدقة القياسات المورفومترية والتي تتطلب جهداً كبيراً ووقتاً طويلاً وذلك عندما يتم إجراؤها بالطرق التقليدية التي تعتمد على الأجهزة البسيطة المتمثلة في (الآلة الحاسبة، وجهاز عجلة القياس لقياس المسافات، وجهاز البلانوميتر لقياس المساحات) إضافة إلى التكلفة المادية لتلك الطرق، ورغم الجهود الشاقة المتمثلة في تلك الطرق فقد لا تأتي القياسات بالدقة المرجوة خاصة بعد زيادة الكم الهائل من البيانات والمعلومات وتعدد مصادرها والتي تتطلب سرعة في التصنيف والمعالجة والتحليل مما يؤثر بدوره على النتائج المعتمدة على تلك القياسات، لذلك كان لا بد من تلافي تلك الإشكالية باللجوء إلى وسائل تقنية لها مميزات متقدمة عن الطرق التقليدية والمتمثلة في نظم المعلومات الجغرافية ومصادر بياناتها الرقمية المتقدمة والتي من شأنها أن تحقق الدقة في القياس والسرعة في التصنيف والتنوع في المعالجة والتحليل إضافة إلى تنوع تلك المصادر التي تعتمد عليها نظم المعلومات الجغرافية في إنشاء قواعد بياناتها والتي تعد المرئيات الفضائية (Satellite Images) ونموذج الارتفاعات الرقمية (Digital Elevation Model) من أهمها نظرًا لما يتميز به ذلك النوع من مصادر البيانات من التغطية الشاملة للظاهرة الجغرافية ودرجة الوضوح المكاني العالية لمعالم المرئية والدقة الهندسية مما يسهل عمليات القياس المورفومترى المتعلقة في قياس (محيط الحوض، عرض الحوض، طول الحوض(المجرى الرئيسي)، أطوال الروافد، تصنيف الرتب) وغيرها من المتغيرات المورفومترية.

وتتلخص مشكلة الدراسة فيما يلي:

- 1- افتقار حوض غزة إلى خرائط طبوغرافية تفصيلية تساعد الدراسات والتطبيقات الجيومرفولوجية والهيدرولوجية المتعلقة بأحواض التصريف المائية.

2- التخلص من نسبة التعميم التي تعاني منها القياسات المورفومترية بالطرق التقليدية باستخدام الخرائط الطبوغرافية ذات مقياس (50,000: 1 فأكير) عن طريق استخدام برامج نظم المعلومات الجغرافية.

3- وتعتبر منطقة الدراسة منطقة انتقالية بين شبه الرطب وشبه الجاف التي تعاني من الجفاف مما أدى إلى تراجع الغطاء النباتي في المنطقة، كما ويصاحب المنطقة أمطار فجائية تؤدي إلى حدوث الفيضانات وانجراف التربة.

4- وبعد الجزء الأعلى من الحوض (المنطقة الداخلة في محافظة الخليل) من المناطق الانتقالية بين شبه الرطبة وشبه الجافة، حيث هناك أكثر من 30 ألف دونم من الأراضي الزراعية غير مستغلة، وهناك 47 ألف دونم من الأراضي البور، وتعزى المشكلة إلى عدم وجود المياه للزراعة وإعادة تتميم الأرضي البور.

4.1 أسئلة الدراسة

من خلال هذه الدراسة التطبيقية لنظم المعلومات الجغرافية تم الإجابة عن التساؤلات التالية:

(1) هل بالإمكان بناء قاعدة بيانات جغرافية تحتوي على متغيرات مورفومترية لحوض وادي غزة.

(2) هل يمكن دراسة الخصائص المورفومترية عن طريق تقنية نظم المعلومات الجغرافية؟

(3) هل يمكن تطبيق الأسس المنهجية الرياضية للتحليل المورفومترى عن طريق تقنية نظم المعلومات الجغرافية والبرامج المساعدة في حالة الوصول إلى نتائج أقل نجاحاً لبعض المتغيرات المورفومترية؟

(4) كيف يمكن إنشاء وتصميم خرائط رقمية جيومرفولوجية دقيقة باستخدام نظم المعلومات الجغرافية؟

(5) ما هو دور نتائج التحليل المورفومترى في وضع المقترنات التي تساعد عملية التأهيل البيئي لحوض وادي غزة لتنمية المشاريع المستقبلية من قبل الجهات المختصة؟

5.1 أهمية الدراسة

تتصدر أهمية دراسة الخصائص المورفومترية لحوض غزة، في أن تلك الخصائص تقدم دراسة طبيعة الوادي الجيولوجية والجيومرفلوجية، واعتماداً على نتائج دراسة الخصائص المورفومترية يمكننا تصنيف حوض وادي غزة حسب الاستخدام الأمثل له، وذلك من خلال الاعتماد على أسلوب تقني متتطور في دراسة هيدرولوجية الأحواض باستخدام نظم المعلومات الجغرافية التي تقوم بتحليل البيانات المتوفرة في قاعدة بيانات الحوض، حيث تعتمد على تلك البيانات في قياس الأطوال والمساحات والمسافات والانحدارات والارتفاعات والقياسات والقيام بجميع عمليات التحليل المورفومترى المطلوبة لهذه الدراسة من خلال أدوات التحليل المتقدمة التي يتيحها برنامج نظم المعلومات الجغرافية، كذلك تساعدنا نتائج تحليل الخصائص المورفومترية، في معرفة النظام الفعلى لشبكة التصريف المائي الخاصة به وهذا يسهل بدوره عملية التصنيف النوعي ومعرفة العلاقة بين أحواض التصريف وقنواتها المائية¹، وذلك من أجل وضع الأسس لاستخدام الأرض في مختلف المشاريع مثل مشاريع الزراعة ومشاريع الخدمات ومصائد المياه كون جزء كبير من المنطقة يقع ضمن المناطق شبه الجافة المهددة بالجفاف.

وتساهم نتائج تحليل الخصائص المورفومترية أيضاً في تحديد الأراضي المهددة بالسيول من خلال معرفة نوعية شبكة التصريف المائي في الحوض مما يقدم رؤية واضحة تساعد الجهات المعنية في اتخاذ الحلول السليمة وتلافي مخاطر السيول وما ينتج عنها من تدمير، وبما أن دراسة الخصائص المورفومترية تعتمد في المقام الأول على القياسات المختلفة للحوض، فإن إجراءها

¹ محسوب، محمد صبري وآخرون، (1999م)، دراسات في جغرافية المملكة العربية السعودية الجوانب الطبيعية، دار الفكر العربي، القاهرة، مصر، ص 255

بالطرق غير التقنية، سينتسب في كثير من الصعوبات المتمثلة في الجهد والوقت والمال اللازم لعملية الدراسة إضافة إلى عدم الدقة في النتائج¹.

6.1 أهداف الدراسة

- (1) تحديد أحواض المجاري النهرية وروافدها وخطوط تقسيم المياه فيما بينها لحوض وادي غزة للتعرف على أنماط التصريف السائدة بها.
- (2) الاستعانة بتقنية نظم المعلومات الجغرافية في دراسة الخصائص المورفومترية وتخزينها على الحاسب الآلي.
- (3) استخراج الخصائص الخطية والنقطية والمساحية في الرتب المختلفة بمنطقة الحوض.
- (4) تطبيق الأسس المنهجية الرياضية للتحليل المورفومترى عن طريق تقنية برامج نظم المعلومات الجغرافية والبرامج المساعدة في حالة الوصول إلى نتائج أقل نجاحاً بالنسبة لبعض المتغيرات المورفومترية.
- (5) إنشاء وتصميم خرائط رقمية مورفومترية دقيقة باستخدام برامج نظم المعلومات الجغرافية لمنطقة الدراسة.
- (6) استخدام نتائج التحليل المورفومترى لوضع مقترنات تساعد عملية التأهيل البيئي للحوض ومن ثم تنمية المشاريع المستقبلية من قبل الجهات المختصة.
- (7) استخدام نتائج التحليل المورفومترى لوضع مقترنات تساعد عملية تحديد موقع لإنشاء المصائد المائية مثل السدود التي تساعد في التنمية الزراعية والاقتصادية.

¹ الغامدي، سعد أبو راس، (2004)، استخلاص شبكة التصريف السطحي للمياه باستخدام المعالجة الآلية لبيانات الأقمار الصناعية: دراسة على منطقة جبال نعمان، مجلة ام القرى للعلوم التربوية والاجتماعية والإنسانية، المجلد (16)، العدد (2)، مكة المكرمة العربية السعودية، ص 290.

7.1 منهجية الدراسة

اتبعت الدراسة المنهج الاستقرائي والاستنتاجي في الحصول على المعلومات وتبويها، فضلاً عن استخدام الأسلوب التحليلي والكمي المتبع في البحث الجغرافي. قسمت الدراسة إلى عدة مراحل وهي:

- 1- المرحلة الأولى: والتي تمثلت بالعمل المكتبي وجمع الكتب والمصادر والاطلاع على الدراسات والتقارير الجيومرفلوجية المورفومترية والجيولوجية التي لها علاقة بالبحث.
- 2- المرحلة الثانية: وهي مرحلة جمع المعلومات والبيانات ورسم خريطة الأساس للحوض.
- 3- المرحلة الثالثة: تمثلت بالآلية التي اتبعها الباحث في استخراج المتغيرات المورفومترية باستخدام برنامج Arc Hydro (ArcGIS) واداة (Arc Hydro).
- 4- المرحلة الرابعة: تمثلت بالتحليل الهيدروموري للحوض مستعيناً بنظم المعلومات الجغرافية (GIS) في إيجاد المساحة والفئات الانحدارية للمنطقة.
- 5- المرحلة الخامسة: تمثلت في إيجاد أفضل المواقع لإنشاء السدود في الأجزاء المتداخلة في محافظة الخليل من خلال (Model Builder) والدراسة الميدانية.

8.1 الدراسات السابقة

تعتبر دراسة التحليل الهيدرولوجي من الموضوعات التي لم تدرس بشكل مفصل من قبل الباحثين باستخدام نظم المعلومات الجغرافية، فليس هناك ما يشير إلى أن أحد الباحثين قد تناول العلاقة بين خصائص المنطقة من حيث طوبوغرافيتها ونوع التربة والصخور وأفضل المواقع لتنفيذ تجميع المياه وهذا ما شجع الباحث للقيام بمثل هذه الدراسة. ومن أهم الدراسات التي لها علاقة بالموضوع:

أولاً: دراسة التي قام بها Hamed Hassan Abdulla لعام 2010م بعنوان Morphometric parameters study for the lower part of lesser zap) using GIS technique

هدفت هذه الدراسة بصورة عامة إلى إظهار إمكانية برامج نظم المعلومات في بناء قاعدة بيانات جغرافية تحتوي على متغيرات مورفومترية للجزء الأسفل من حوض الزاب الأسفل، والاستفادة من تطبيقات النظم المختلفة لاستخراج المعاملات المورفومترية المحددة في هذه الدراسة، وذلك من أجل التخلص من نسبة التعميم التي تعاني منها القياسات المورفومترية بالطرق التقليدية باستخدام الخرائط الطبوغرافية والاستعاضة عنها ببيانات دقيقة ذات درجة وضوح مكاني عالية متمثلة في (Digital Elevation Model) أو ما يطلق عليه اختصاراً (DEM)، والذي يساعدنا في رسم نموذج الارتفاعات الرقمية شبكة التصريف المائي بصورة دقيقة وواضحة مما ينعكس على نتائج التحليل المورفومترى موفرة بذلك الجهد والوقت.

تم تطبيق المعادلات المورفومترية الرياضية وذلك للحصول على قيم المتغيرات المحسوبة من تلك المعادلات وتشمل تلك الصيغ الرياضية ما يلي: (المساحة الحوضية، الطول الحوضي، المحيط الحوضي، شكل الحوض، معدل الاستدارة، معامل الشكل، معدل الاستطاله، نسبة التضرس، معدل النسيج، قيمة الوعورة، كثافة التضرس، كثافة التصريف، ثابت بقاء المجرى المائي، أعداد ورتب المجاري النهرية، نسبة التشعب، إضافة الى المعامل الهبسومنتي والذي يعتبر مقياساً زمانياً يعبر عن المرحلة الحية التي يمر بها الحوض المائي)¹.

ثانياً: دراسة قامت بها حنان حسن الغيلان عام 2008 بعنوان (دور نظم المعلومات الجغرافية في دراسة الخصائص المورفومترية لحوض وادي لبن)، لقد بربرت أهمية ودور نظم المعلومات الجغرافية كوسيلة متقدمة للتعامل مع البيانات في مختلف المجالات العلمية وأهمها الدراسات الجغرافية، ذلك لأنها توفر أساليب آلية دقيقة في تحليل البيانات المكانية وربطها بالبيانات الوصفية الأمر الذي يساعدنا في دراسة الخصائص المورفومترية لشبكة التصريف المائي لحوض وادي لبن بطرق آلية متطرورة وبناء قاعدة بيانات جغرافية ذات متغيرات مورفومترية معتمدة على مصادر بيانات متقدمة ممثلة في (المريئة الفضائية Satellite Images ونموذج الارتفاعات الرقمية Digital Elevation Models) وإجراء التحاليلات المكانية المتقدمة

¹ Hamed Hassan Abdulla, (2010), Morphometric parameters study for the lower part of lesser zap using GIS technique, University of Baghdad ,Iraq ,Baghdad

وصولاً إلى نتائج سريعة ودقيقة ومتعددة مقارنة مع الطرق التقليدية، وتقدم برامج نظم المعلومات الجغرافية أساليب علمية معتمدة على القياس والتحليل والتفسير، وهذا سوف يساعد بدوره على التنبؤ والتوقع المستقبلي للأحواض المائية وتقديم المقترنات والحلول التي تدعم خطط التنمية المستقبلية المتعلقة بها.

وتعد (الخصائص المورفومترية) من الخصائص الجيوبهولوجية الكمية (Quantitative Geomorphology) بمفهومها العام، وهي أساليب تحليلية تتناول ظاهرات سطح الأرض معتمدة في أساسها على البيانات المأخوذة من (الخرائط الكنتورية، الصور الجوية، المرئية الفضائية)، الدراسات الحقلية مثل بيانات الارتفاعات الرقمية (DEM) الاعتماد على تلك الخصائص المورفومترية في إنشاء قاعدة البيانات الجغرافية لحوض وادي لبن ومن ثم رسم شبكة التصريف المائية للحوض كظاهرة طبيعية مورفومترية لها علاقة في تحديد استخدام الأرض الأمثل في الحوض مما يعطي تصوراً واضحاً للمشاريع المتعلقة بإعادة التأهيل البيئي لحوض وادي لبن.

ونظراً لأهمية الأحواض والاهتمام في إعادة تأهيلها في المملكة العربية السعودية فأن هذه الدراسة سوف تقدم مقترنات ونتائج تعتمد على نتائج الخصائص المورفومترية لحوض تصريف وادي لبن تساعد في تلافي مخاطر السيول وإعادة تأهيله.¹

ثالثاً: دراسة قام بها علي عبد عباس الغزاوي، لعام 2000م بعنوان (استقراء المعلومات من نموذج التضرس الرقمي لدعم النمذجة الهيدرولوجية لحوض وادي أشور شمال العراق باستخدام نظم المعلومات الجغرافية)، هدف البحث إلى توظيف النموذج الرقمي للتضرس DEM المشتق من البيانات الرادارية لحوض وادي (أشور) لاستقراء المعلومات المتعلقة بالنمذجة الهيدرولوجية باستخدام أنظمة المعلومات الجغرافية GIS، حيث يعد النموذج الرقمي للتضرس DEM المشتق

¹ الغليان، حنان عبد اللطيف، (2008م)، توظيف نظم المعلومات الجغرافية في بناء قاعدة بيانات جغرافية ذات متغيرات مورفومترية لأحواض الارادية الجافة (دراسة تطبيقية لحوض وادي لبن)، قسم الجغرافيا خرائط ونظم معلومات جغرافية، كلية الآداب، جامعة الملك سعود.

من البيانات الرادارية احدى المصادر الرقمية المهمة المستخدمة في أنظمة المعلومات الجغرافية والمحور الأساسي التي تدور حوله معلومات معظم الدراسات الجيومرفولوجية والهيدرولوجية¹.

رابعاً: دراسة قام بها صبري حمدان وصالح أبو عمرة، لعام 2010م بعنوان (بعض الخصائص المورفومترية للجزء الأعلى من حوض الرميمين وسط غرب الأردن باستخدام الطرق التقليدية وبرمجيات نظم المعلومات الجغرافية (دراسة مقارنة)، هدفت هذه الدراسة إلى إبراز أهمية دور برمجيات نظم المعلومات الجغرافية كوسيلة من وسائل قياس العناصر النقطية والخطية والمساحية، وذلك لحساب العناصر والخصائص المورفومترية لشبكات التصريف النهرى، وتم تطبيق ذلك على حوض الرميمين في الأردن، ومن ثم بناء قاعدة معلومات رقمية لحوض ومقارنة ذلك بالبيانات المشتقة بالوسائل المتعارف عليها متمثلة بالخريطة الكنتورية والصور الجوية والعمل الميداني².

خامساً: دراسة قام بها نزيه العدراة، لعام 2007م بعنوان (جيومرفولوجية حوض التصريف النهرى الأعلى من وادي الخليل)، تناولت هذه الدراسة الحوض الأعلى من وادي الخليل الذي يشكل جزءاً من محافظة الخليل التي تقع في أقصى جنوب الضفة الغربية والتي تتميز بتباينات طبوعغرافية شديدة وتناولت هذه الدراسة العوامل المؤثرة في التشكيلات الجيومرفولوجية في المنطقة وكذلك تناولت الأشكال الجيومرفولوجية في منطقة الدراسة وقام الباحث بتصنيف هذه الأشكال إلى ثلاثة مجموعات كبيرة وقام بدراسة مورفومترية لهذا الحوض وعالج جوانب الجيومروفولوجيا التطبيقية³.

¹ الغزاوي، علي عبد عباس، (2000م)، استقراء المعلومات من نموذج التضرس الرقمي لدعم النمذجة الهيدرولوجية لحوض وادي أشور شمال العراق باستخدام نظم المعلومات الجغرافية، قسم الجغرافيا، كلية التربية، جامعة الموصل، جمهورية العراق.

² صبري حمدان وصالح أبو عمرة، (2010م)، بعض الخصائص المورفومترية للجزء الأعلى من حوض الرميمين وسط غرب الأردن باستخدام الطرق التقليدية وبرمجيات نظم المعلومات الجغرافية (دراسة مقارنة)، مجلة جامعة الإزهار، المجلد 12، العدد 2، غزة.

³ العدراة، نزيه، (2007م)، جيومروفولوجية حوض التصريف النهرى الأعلى من وادي الخليل، رسالة ماجستير غير منشورة، جامعة النجاح الوطنية، نابلس، فلسطين.

سادساً: دراسة قام بها محمد خطاب وبسمان الطائي، لعام 2004م بعنوان (دراسة هيدروجيومورفولوجية كمية لحوض وادي الملح شمال العراق)، تضمنت هذه الدراسة استخدام معطيات التحسس النائي في إجراء دراسة هيدروجيومورفولوجية كمية لحوض وادي الملح الذي يصب في نهر دجلة شمال مدينة الموصل والذي يمثل أحد الأودية المهمة في المنطقة من خلال رسم خارطة مورفومترية ثم إجراء التحليل المورفومترى لهذا الحوض، إذ تم دراسة (22) متغيراً ممثلاً لعوامل مناخية، هيدروجيولوجية وجيومورفولوجية لخمسة أحواض تصريف ثانوية مكونة لحوض وادي (الملح) شمال مدينة الموصل.

تم استخدام منهجية تحليل إحصائي متضمنة إجراء تحليل الارتباط والانحدار لجميع المتغيرات حيث تم اعتماد كمية التصريف المتداقة من هذه الأودية كمتغير مستقل يعتمد على المتغيرات الأخرى، أظهرت النتائج موديلات يمكن بواسطتها التنبؤ بكمية الجريان المتداقة لهذه الأودية من المتغيرات المنخبة الأخرى¹.

سابعاً: دراسة قام بها نوير مسري ناعم الحربي لعام 1428هـ بعنوان (النمذجة الآلية لحوض وادي ملكان باستخدام نظم المعلومات الجغرافية ونماذج الارتفاعات الرقمية دراسة من منظور جيومورفولوجية)، هدفت هذه الدراسة إلى إيجاد التكامل الوظيفي بين مجموعة من برامج نظم المعلومات الجغرافية، من أجل تحليل بيانات نموذج الارتفاع الرقمي DEM، والخروج بنمذجة آلية (حاسوبية) لعدد كبير من القياسات المورفومترية لحوض تصريف وادي ملكان كنموذج تطبيقي لإمكانات نظم المعلومات الجغرافية في الدراسات الجيومورفولوجية. وقد استخدمت الدراسة مجموعة من برامج نظم المعلومات الجغرافية والمتمثلة في TauDEM، ArcGIS9، Global Mapper، MicroDEM، TAS، WSM ، Xtool Pro، ERDAS IMAGINE 8.6، 3DEM

.Wilbur

¹ محمد فوزي خطاب وبسمان يونس الطائي، (2004م)، هيدروجيومورفولوجية كمية لحوض وادي الملح شمال العراق، مجلة علوم الرافدين، المجلد 16، العدد 2 الخاص بعلوم الأرض، جامعة الموصل، العراق.

وقد اعتمدت هذه الدراسة على بيانات نموذج الارتفاع الرقمي بدقة 30 متراً كبيانات أساسية بالإضافة إلى مجموعة من الخرائط والمرئيات الفضائية، وقد تبين من هذه الدراسة أن نظم المعلومات الجغرافية ذات نفع كبير في الدراسات الجيومرفولوجية خاصة فيما يتعلق بالتحليل ثلاثي البعد، أو التحليل المكاني، أو حساب متغيرات على أساس وحدة الخلية عوضاً عن الأساليب التقليدية التي تعتمد على قيم قليلة العدد، أو على أساس وحدة الحوض ككل¹.

ثامناً: دراسة قام بها ناجح فرحان شفيق خضر، لعام 2011م بعنوان (انجراف التربة في حوض التصريف النهري الأعلى لوادي الزومر)، حيث تناولت هذه الدراسة موضوع انجراف التربة في حوض التصريف الأعلى من وادي الزومر والذي تبلغ مساحته حوالي (104كم)، حيث ثبتت (23) محطة قياس لجمع عينات التربة المنجرفة وكميات المياه الجارية بعد كل عاصفة مطرية، بمساحة 20م² للمحطة الواحدة، في الموسم الشتوي 2009-2010م، والتي اقتصرت على (16) عاصفة مطرية، وزرعت محطات قياس في منطقة الدراسة على ثلاثة استخدامات للأرض هي: الأشجار المثمرة، والمحاصيل الحقلية، والمناطق الرعوية بحيث تغطي اغلب الظروف الطبيعية لمنطقة البحث.

وتوصلت الدراسة إلى أن نسبة الجريان السطحي في منطقة الدراسة تراوحت ما بين 0.12-28.8% من كمية الأمطار الساقطة خلال العاصفة المطرية الواحدة، بمعدل 4.49%， أي ما يعادل 25.7م³ دونم 1 سنة.²

تاسعاً: دراسة قام بها صهيب خضر ورائد فيصل، لعام 2011م بعنوان (الدلالة الهيدرولوجية السطحية لحوض وادي العجيج باستخدام نظم المعلومات الجغرافية (GIS))، هدف البحث دراسة الهيدرولوجية السطحية لحوض وادي العجيج ودلالاتها باستخدام (GIS) من خلال تحليل خصائصها الطبيعية المتمثلة بالتكوين الجيولوجي والمناخ والتضاريس والتربة وكذلك خصائص

¹ الحربي، نوير مسري ناعم، (1428هـ)، النماذج الآلية لحوض وادي ملكان باستخدام نظم المعلومات الجغرافية ونمذاج الارتفاعات الرقمية دراسة من منظور جيومرفولوجية، جامعة أم القرى، المملكة العربية السعودية.

² خضر، ناجح فرحان شفيق خضر، (2011م)، انجراف التربة في حوض التصريف النهري الأعلى لوادي الزومر، رسالة ماجستير غير منشورة، جامعة النجاح الوطنية، نابلس، فلسطين.

المظهر الأرضي (المورفومترى والانحدار)، كل هذه الخصائص أظهرت دلالة هيدرولوجية في الحوض تتلخص بحصول فوادن للمياه السطحية بفعل الارتشاح، كما أوضحت معادلات طريقة SCS المستخدمة لقياس العلاقة بين التساقط المطري والجريان الناتج عنها في الحوض عن حصول كميات تصريفية تقدر ($359.78 \text{ م}^3/\text{ثانية}$)، إذا كان التساقط المطري بعمق (25 ملم) وباستدامة (9.10 ساعة) وبزمن تركيز (50.08 ساعة) مما يقلل من دلالة خطر الفيضان ومتطابقة لانخفاض معامل شكل الحوض (0.25)، وقدر حجم الجريان السنوي المتوقع حسب معادلة بيركلي ($1.217462237 \text{ مليار م}^3$) وتم كذلك توضيح أهمية (GIS) في البحث استناداً لأهداف الدراسة من خلال رسم شبكة التصريف المائي واجراء التحليل المورفومترى والانحدار وباستخدام تحميل نموذج الارتفاعات الرقمية (DEM) وباستخدام برامج Arc GiS 9.3 وArc 1.3.

¹. (Arc hydro

¹ صهيب خضر ورائد فيصل، (2011م)، الدلالة الهيدرولوجية السطحية لحوض وادي العجيج باستخدام نظم المعلومات الجغرافية GIS، مجلة التربية والعلم - المجلد (18)، العدد (1)، جامعة الموصل، العراق.

الفصل الثاني

الخواص الطبيعية لمنطقة الدراسة

1.2 طوبوغرافية الحوض

2.2 درجات الانحدار

3.2 اتجاه الانحدار

4.2 جيولوجية المنطقة

5.2 التربة

6.2 المناخ

الفصل الثاني

الخواص الطبيعية لمنطقة الدراسة

تمهيد

يتناول هذا الفصل الخصائص الطبيعية لمنطقة الدراسة كونها تمثل الأساس الذي يعتمد عليه في الدراسات الطبيعية بصورة عامة وفي الدراسات الجيولوجية خاصة، كدراسة الوديان والهضاب فضلاً عن بعض المظاهر الأخرى، ونتيجة لأهمية هذه الخصائص فقد تم تقسيم هذا الفصل على النحو التالي:

1- طبغرافية الحوض

2- جيولوجية المنطقة

3- التربة

4- المناخ

1.2 طبغرافية الحوض

يقع حوض وادي غزة في الجنوب من فلسطين، والذي يبدأ من جبال الخليل ممتداً إلى جبال النقب والجزء الجنوبي من السهل الساحلي، والتي تعرضت إلى تغيرات أثرت في تضاريسها منذ الأزمنة القديمة وحتى الوقت الحاضر وتتمثل هذه الآثار بالمناطق المرتفعة والمنخفضة من منطقة الحوض. حيث كان بحر التيشس (سلف البحر المتوسط) يغمر معظم فلسطين والأردن حتى نهاية الآيوسين الأعلى أي قبل 54 مليون سنة، وبدأت عملية رفع عامة في المنطقة أدت إلى دفع مياه البحر شمالاً وغرباً. وفي عصر البليوسين (5-2.8 مليون سنة قبل الان)¹ دفع البحر إلى الغرب أكثر قليلاً، حتى وصل خط الشاطئ إلى الشرق من بئر السبع

¹ عبد القادر وصایل وشاحي، (1999)، جيولوجية فلسطين والضفة الغربية وقطاع غزة، مجموعة الهيدرولوجيين الفلسطينيين، فلسطين، ص 271.

عند تل السابع حالياً. مما يشير إلى وجود خليج كبير في الحوض الأسفل والوسط من حوض وادي غزة، ثم حدث بعدها فترة الرفع القوية في نهاية البليوسين والبلاستوسين التي كونت طبوغرافية فلسطين على ما هي حالياً (2.8 مليون سنة حتى الان) وهي الحركة المسؤولة عن شكل الجبال الحالية في فلسطين والأردن ولبنان¹، ونتيجة لهذه الحركات تكونت الأحواض في فلسطين ومن بينها حوض وادي غزة.

وتسهيلاً للدراسة فإن تم تقسيم الحوض إلى أربع مناطق طبوغرافية هي من الشمال إلى الجنوب ومن ثم إلى الغرب:

1.1.2 جبال الخليل

بلغ أعلى ارتفاع للحوض (1020 م) فوق مستوى سطح البحر عند جبال الخليل في الشمال الغربي مما أثر هذا على سرعة وعمل مياه الأمطار أثناء جريانها والتي نتج عنها زيادة في عمليات التحول والتعرية المائية، وتعد جزءاً من محدب جيولوجي كبير يمتد من منطقة رام الله وحتى بلدة الظاهرية، وتتراوح في مناسيبها بين 1020م في قمة بطرخ في منطقة المنابع العليا شمال مدينة الخليل و400م فوق مستوى سطح البحر في جنوب الظاهرية، وتتجه المنحدرات في هذا الجزء من الشمال الشرقي إلى الجنوب الغربي، كما في الخريطة رقم (3).

كما وأدت حركات التصدع المتزامنة واللاحقة لتشكيل المرتفعات الفلسطينية خلال الفترة الممتدة من الميوسین وحتى البلاستوسين إلى تقطيع محدب الظاهرية ومحدب يطا وأظهارهما على شكل كتل جبلية منفصلة تحوي بينها بعض الأودية ذات النشأة الصدعية².

2.1.2 حوض بئر السبع

الأجزاء الوسطى من منطقة الدراسة فإنها تمتاز بقلة التضرس بالمقارنة مع منطقة التغذية في الشمال الغربي من الحوض التي تمتاز بشدة التضرس، إذ تنتشر فيها وخاصة في

¹ عابد ووشاحي، مرجع سابق، ص 270-271.

² الحمدان، لطفي، (1998)، جيومرفولوجية حوض التصريف النهري الأعلى والوسط من وادي الزومر، رسالة ماجستير غير منشورة، جامعة النجاح الوطنية، نابلس، ص 16.

الأجزاء الشمالية الغربية منها نتيجة لتأثيرها بالطية المحدبة وعامل التعرية المائية الشديدة وميل الطبقات الذي أدى إلى الانخفاض التدريجي لمنطقة المصب والتي مثلت أقل المناطق ارتفاعاً فقد بلغ (150م) عن مستوى سطح البحر التي تمثل حوض السبع وهو مقرع (حوض) مركب كبير ضيق في الشرق ومتسع في الغرب والشمال الغربي، الذي يمتلك بالرسوبيات الطيرية من العصر الثلاثي والرابعى، والتضاريس فيه مستوية أو متدرجة. ويبلغ ارتفاعه في الشرق 450م وينتهي إلى الغرب عند 150م.

3.1.2 مرتفعات وسط النقب

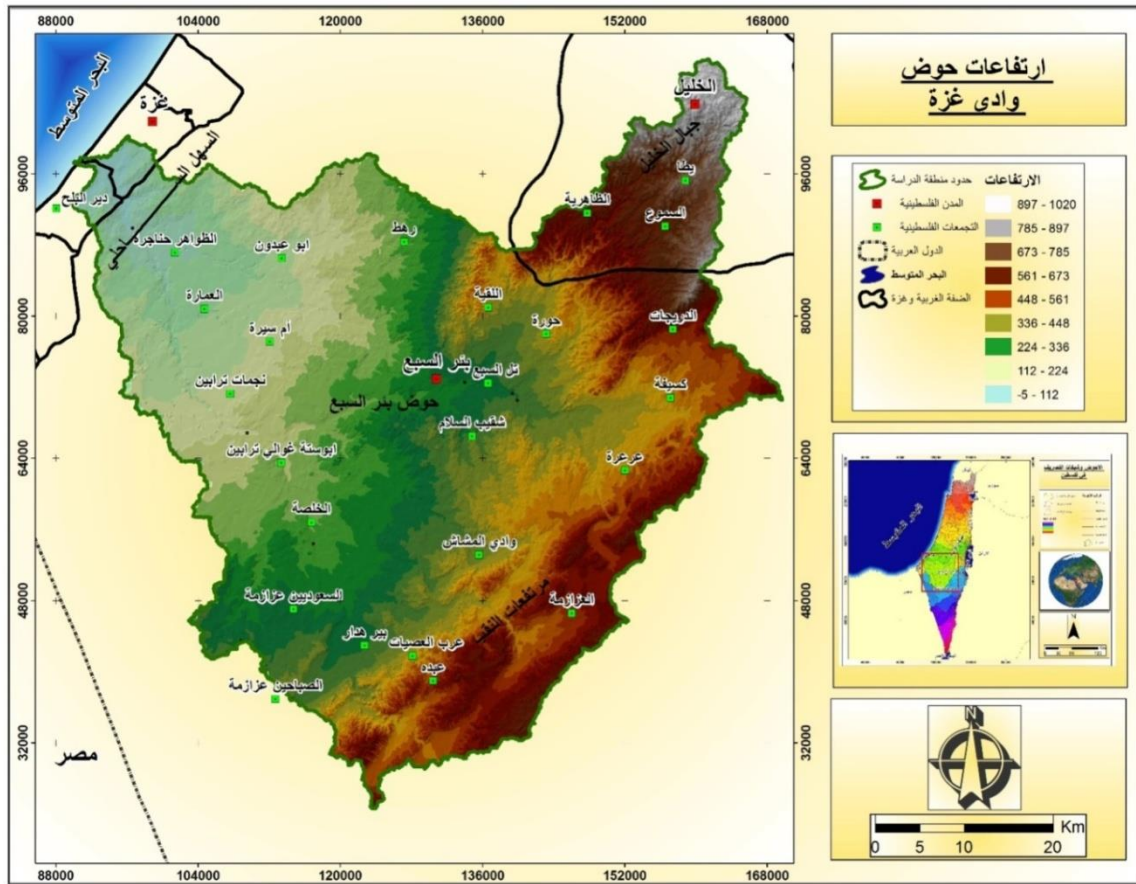
ت تكون المرتفعات الواقعة في سطح النقب ومن امتدادها الشمالي الشرقي أي في الجنوب الشرقي من الحوض، وهي أقدم جبال فلسطين. فقد نشأت منذ الايوسين الأوسط او الأعلى (أي بين 37-45 مليون سنة قبل الان)¹، ويبلغ ارتفاعها من الشمال الغربي للمرتفعات أي الجنوب الغربي من الحوض الى 450م والى الشمال الشرقي أي الجنوب الشرقي من الحوض الى 610م عن مستوى سطح البحر.

4.1.2 السهل الساحلي الجنوبي

يمتد هذا الجزء من السهل الساحلي من رفح على حدود سيناء وفلسطين وحتى يافا في الشمال مسافة 105 كم تقريباً، تكثر فيه الكثبان الرملية التي تعرف محلياً بالكركار، وقد يصل سمك الكثبان الرملية الى 75م² وتوجد في الغرب من وادي غزة على حدود أبو عبدون وام سيرة ونجمات ترابين، ويصل ارتفاعها الى 150م في الشرق من السهل الساحلي داخل الحوض الى ان يصل في الغرب الى 0م أي على شواطئ البحر المتوسط، والخريطة رقم (2) توضح طبغرافية حوض وادي غزة.

¹ عابد ووشاحي، مرجع سابق، ص285-289.

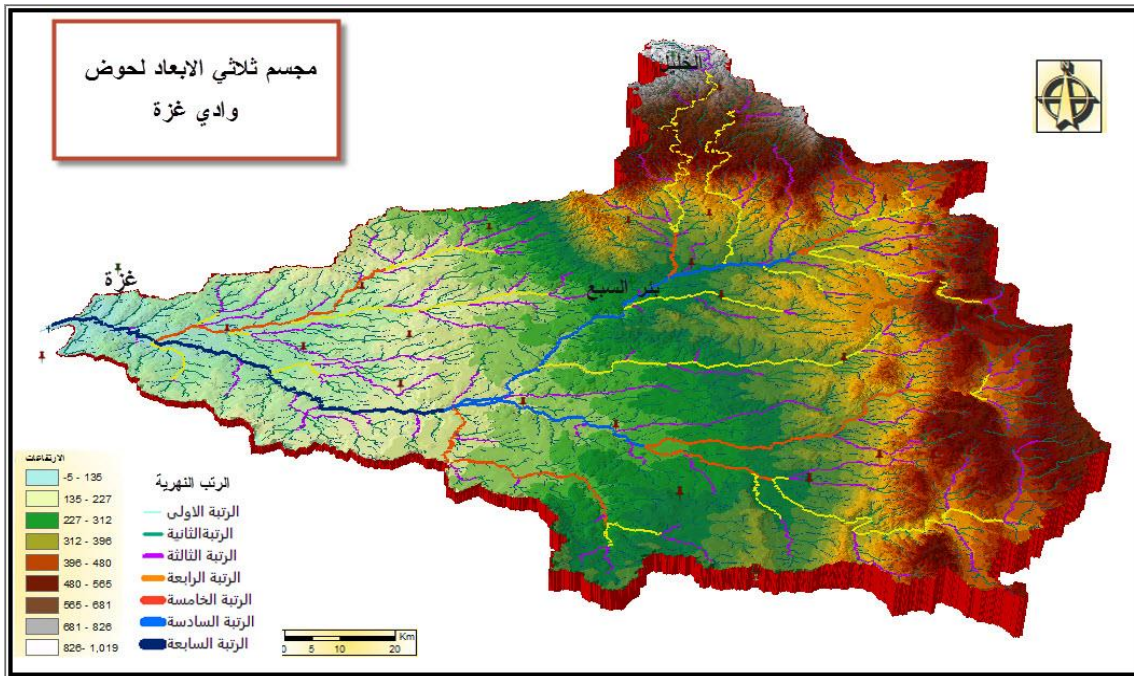
² المرجع السابق، ص266.



خرطة (2): طوبوغرافية حوض وادي غزة

المصدر: من عمل الباحث بالاستعانة بنموذج الارتفاعات الرقمية (SRTM) $30^{\circ} \times 30^{\circ}$ م

يتضح مما سبق أن منطقة الحوض تميّز بالانحدار التدرجي من الشمال الشرقي إلى الجنوب الغربي، ويُتضمّن ذلك بالنظر إلى الشكل ثلاثي الأبعاد رقم (1). مما كان لهذا العامل الأثر البارز على خصائص الجريان المائي للحوض، إذ تمثل المناطق المنخفضة كمنطقة المصب منطقة تجمع الرواسب من رمل وطين وغرين ومنطقة لتجمع المياه التي تصب في البحر المتوسط.



شكل (1): مجسم ثلاثي الابعاد لحوض وادي غزة

المصدر: من عمل الباحث بالاعتماد على خريطة ارتفاعات حوض وادي غزة.

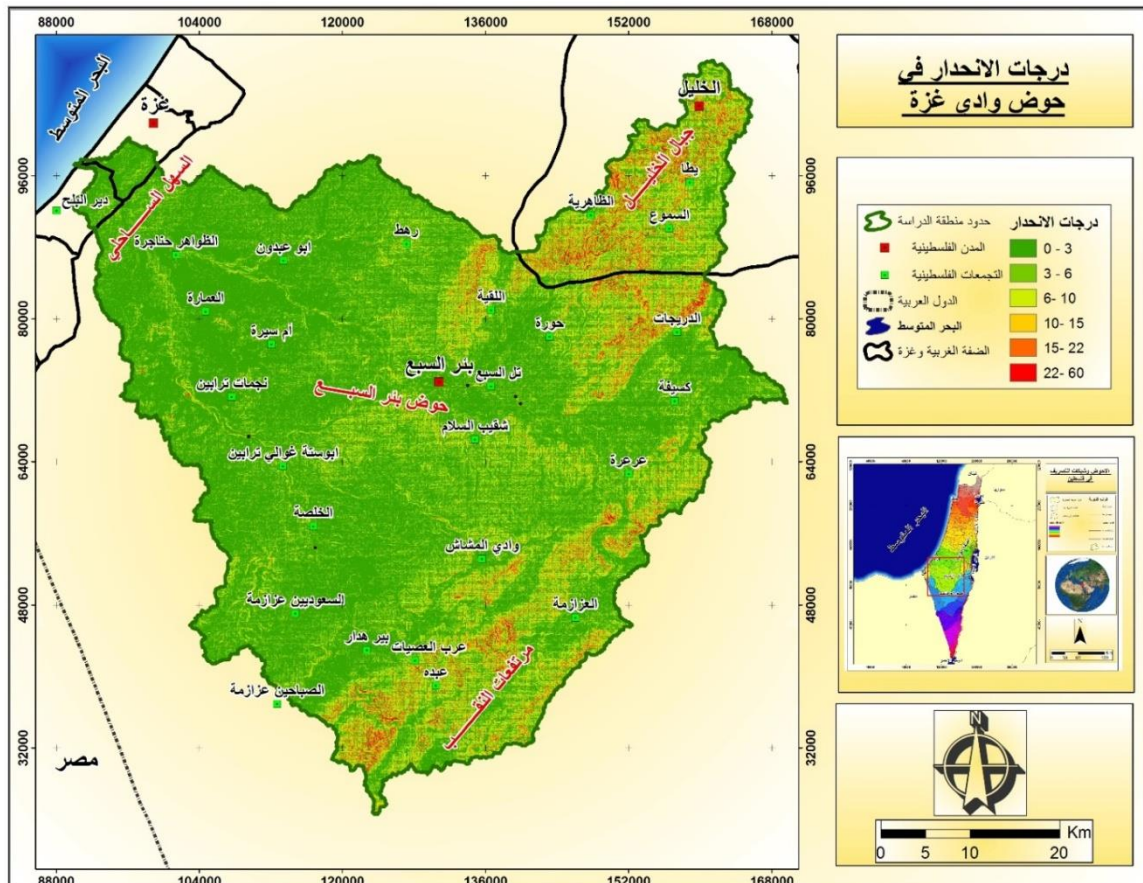
2.2 درجات الانحدارات

المقصود بالانحدار انه انحراف جزء من سطح الارض التي انحرفت عن الوضع الأفقي لها¹، ولدراسة الانحدارات أهمية كبيرة في معرفة العوامل التي أدت إلى تكوين الأشكال الجيومورفولوجية، فالممناطق ذات المنحدرات الشديدة تؤدي إلى تعريمة الصخور من الترب التي كانت تغطيها فتصبح عارية مما يسهل ويزيد من نشاط التجوية الميكانيكية. أما المناطق التي تتميز بالانحدار البسيط والتي تغطى بطبقة من التربة تحمي الصخر من التجوية الميكانيكية، ولكن عندما تتشعب بالمياه المتمثلة ب المياه الإلماطر يكون عامل التجوية الكيميائية هو المؤثر في هذه المناطق. ولمعرفة درجات الانحدار في حوض وادي غزة فقد تم استخدام النموذج الأرضي (DTM)^{*} الذي يمثل التضاريس الأرضية بإبعادها الثلاثة إذ قسمت المنطقة إلى 6 فئات انحداريه، لاحظ الخريطة رقم (3) والجدول رقم (1). والفئات هي:

¹ T widale.C.R.Analysis of land from, Gohn valley Wiley and sons, Brisbane, New York ,Chi Chester, Toronto, 1975, p 259.

Digital Terrain Model (DTM)^{*} .احد برامج نظم المعلومات الجغرافية ، إذ يمثل الواقع الأرضية بشكل إحداثيات مستوية (x,y) والبعد الثالث (z) ويمثل الارتفاع. للمزيد ينظر: جمعة محمد داود، التحليل الاحصائي والمكاني في ArcGIS، جامعة أم القرى، مكة المكرمة، السعودية، 2009، ص 56.

1. الفئة الأولى: وتمثل أكثر الفئات الانحدارية انتشاراً التي تتراوح درجاتها ما بين (0° - 3°) وبمساحة (2070.1 كم^2) وبنسبة (%) 57.8 من مساحة الحوض، وتنشر هذه الفئة في جميع أنحاء الحوض عدا المناطق المرتفعة منه، ويعود ذلك لاتساع الحوض في السهل الساحلي.



خريطة (3): درجات الانحدار

المصدر: من عمل الباحث اعتمد على خرائط (DEM)

2. الفئة الثانية: وتمثل ثاني الفئات مساحة إذ بلغت (811.3 كم^2) وبنسبة (%) 22.6، تتراوح درجاتها ما بين (3° - 6°) وتنشر في جميع أرجاء الحوض وذلك لأن وجودها لا يقتصر على السهل الساحلي.

3. الفئة الثالثة: وهي المنحدرات التي تتراوح درجات انحدارها ما بين (6° - 10°) وتشغل ثالث الفئات مساحة إذ بلغت (395.9 كم^2) وبنسبة (%) 11 وتنشر متباعدة بين المناطق المرتفعة والمناطق الأقل ارتفاعاً.

4. الفئة الرابعة: وهي المنحدرات التي تتراوح درجات انحدارها ما بين (10-16)° وتشغل مساحة (191.5 كم²) وبنسبة (5.4%) من مساحة الحوض، وتنشر في المناطق ذات الارتفاع المتباین بشكل يتوسط الارتفاع والانخفاض.

5. الفئة الخامسة: تمثل هذه الفئة المناطق التي تتراوح درجات انحدارها ما بين (15-22)° وتشغل مساحة (90.3 كم²) وبنسبة بلغت (2.5%) واهم ما يميز مناطق هذه الفئة عن المساحات الأخرى أنها تمثل مناطق لجمع مياه الأمطار في منطقة الدراسة⁽¹⁾.

6. الفئة السادسة: تمثل هذه الفئة المناطق التي تتراوح درجات انحدارها ما بين (22-60)° وتشغل مساحة (20.3 كم²) وبنسبة بلغت (0.7%) واهم ما يميز مناطق هذه الفئة عن المساحات الأخرى أنها تنتشر في المناطق الجبلية من الحوض، وازدياد معدلات انجراف التربة.

جدول (1): الفئات الانحدارية من المساحة الكلية لمنطقة الدراسة

الفئات الانحدارية (درجة)	المساحة (كم ²)	النسبة %
3-0	2070.1	57.8
6-3	811.3	22.6
10-6	395.9	11
16-10	191.5	5.4
22-16	90.3	2.5
60-22	20.3	0.7
المجموع	3579.4	100

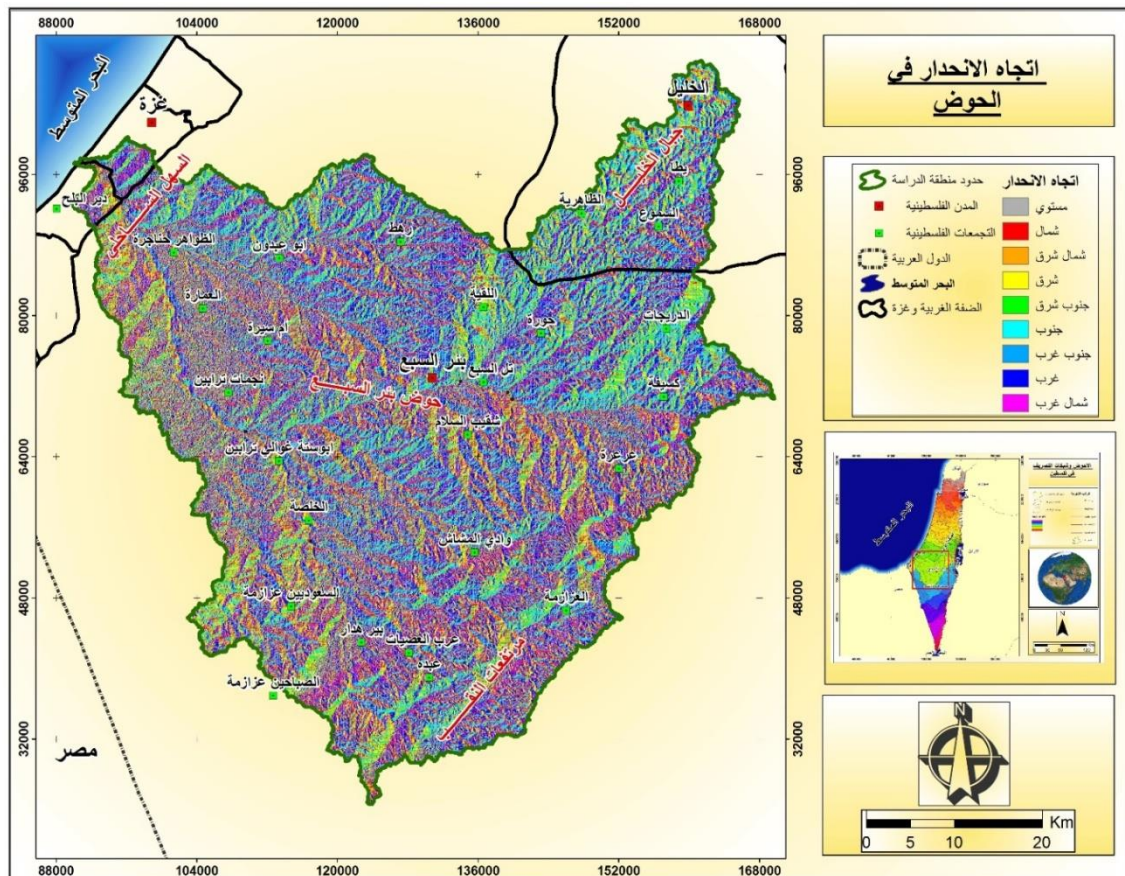
المصدر: اعتماداً على تحليل خرائط (DTM).

2-3 اتجاه الانحدار

نظراً لأهمية اتجاه السفوح في سير المياه السطحية وعمليات الانجراف التي تصيب التربة، فقد تم تقسيم منحدرات الحوض كاملة لكي تمثل اتجاه المياه في المنطقة من الجبال إلى

¹ اعتماداً على خريطة الآبار والمياه الجوفية في جنوب فلسطين.

الوديان حيث تم تقسيم ثمانية اتجاهات بالإضافة إلى الأراضي المستوية، انظر للخريطة رقم (4).



خرائط (4): اتجاه المنحدرات في الحوض

المصدر: عمل الباحث بالاستعانة بخريطة الارتفاعات.

يتضح من الجدول رقم (2) ان المنحدرات المتوجه نحو الشمال تشكل 14.7%，في حين تشكل المنحدرات المتوجه نحو الشرق 13.5%. اما المنحدرات المواجهة للجنوب فتبلغ 13.4%，كما تشكل المنحدرات المواجهة للغرب أكبر نسبة حيث بلغت 20.4%. ويلاحظ بن الانحدارات الغربية قد اخذت أكبر نسبة اتجاه من مجموع الاتجاهات الأخرى، ويعود ذلك الى اتجاه الاودية الرئيسية في منطقة الدراسة الى الغرب حيث المصب الرئيسي، وبشكل عام فان اتجاه شبكة التصريف المائي تبدأ من الشمال والجنوب وتنتهي الى البحر المتوسط حيث الانحدار الغربي وذلك بسبب اتجاه الانحدار بشكل عام الى الغرب حيث المصب الرئيسي للحوض.

جدول (2): مساحة منحدرات حوض وادي غزة حسب الاتجاهات المختلفة

الاتجاه	درجة الاتجاه	المساحة كم ²	النسبة المئوية %
مستوي	0	570.6	15.9
شمال	22.5-337.5	528.8	14.8
شمال شرق	67.5-22.5	158.4	4.5
شرق	112.5-67.5	486.2	13.6
جنوب شرق	157.5-112.5	155.5	4.4
جنوب	202.5-157.5	476.6	13.1
جنوب غرب	247.5-202.5	213.8	6
غرب	292.5-247.5	733.7	20.5
شمال غرب	337.5-292.5	256.2	7.2
المجموع		3579.9	100

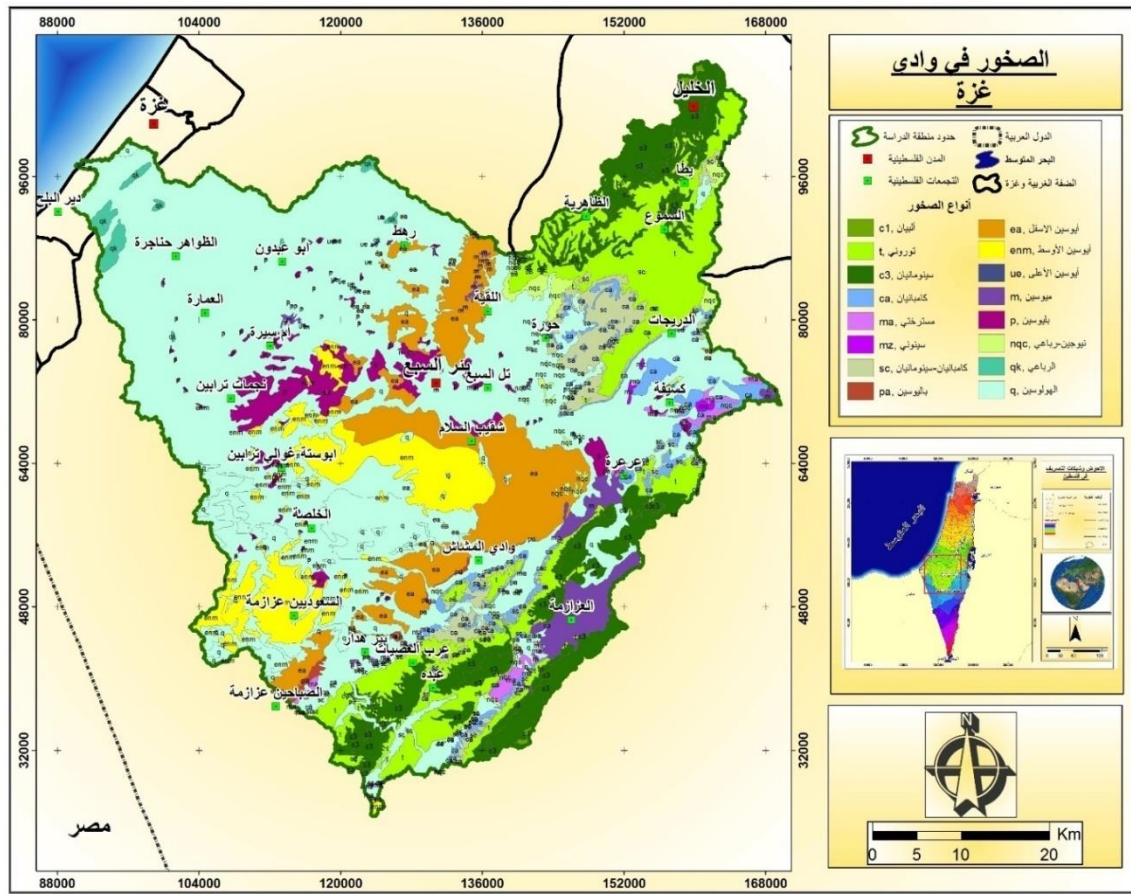
المصدر: من عمل الباحث

4.2 الجيولوجيا

تظهر جيولوجية منطقة الدراسة تنوعاً في تشكيلاتها الصخرية وذلك لكبر حجم حوض وادي غزة، وهي بشكل عام الكثبان الرملية ورسوبيات الشاطئ العائدة إلى فترة العصر الرباعي (البلاستوسين – والهولوسين) التي تعد أحدث التكوينات الصخرية في فلسطين، وتمتد إلى التكوينات التي تعود إلى الزمن الكريتاسي.

تعطي الكثبان الرملية ورسوبيات الشاطئ العائدة إلى فترة الهولوسين أكثر من 50% من مساحة الحوض، كما هو موضح في الخريطة رقم (5). وتليها تكوينات الكريتاسي الأعلى التي تعطي ربع المساحة الإجمالية للحوض، وتليها حقب الحياة الحديثة (الثلاثي) التي تعطي تقريباً ربع مساحة الحوض.

وبناء على العمر الجيولوجي للصخور المتكتشفة في منطقة الدراسة تم تقسيم تكويناتها الجيولوجية من الأقدم إلى الأحدث:



خريطة (5): جيولوجيا حوض وادي غزة

المصدر: من عمل الباحث بالاستعابة بالخرائط الجيولوجية الإسرائيلية 1998م.

أولاً: حقب الحياة المتوسطة (Mesozoic):

1.4.2 الآbian

يتتألف من الحجر الجيري الدولومي مع كميات قليلة من الصخور الطيرية كالمارل والحجر الماري والغضار¹. وينتشر هذا التكوين في الأجزاء العلوية للحوض على جبال الخليل، والاجزاء الجنوبية والشمالية للحوض. وتتميز الأجزاء العلوية من التكوين بالصلابة؛ لأنها صخور مكونة من الجير والصخر الدولومي، أما الأجزاء الجنوبية من هذا التكوين فأنها أقل صلابة كونها تتداخل مع صخور عصر السينومينيان.

¹ عابد ووشاحي، (1999)، مرجع سابق، ص 133.

وتبلغ المساحة التي تغطيها صخور الالبيان 0.7% من صخور الحوض كما هو موضح في الجدول رقم (3)، وتبلغ سماكته 20م في الأجزاء العلوية من الحوض.

2.4.2 السينومينيان

وتعود هذه الصخور إلى فترة الكريتاسي الأعلى الذي ينقسم في منطقة الدراسة إلى قسمين:

أ- السينومينيان الأعلى:

يتكون هذا الجزء من تتابع مستمر لصخور صلبة جيرية ودولمية ومارلية، حيث ينتشر على الأجزاء الشمالية والشمالية الغربية للحوض في منطقة الخليل والظاهرية ويطا وحورة. ويبلغ سمكه 80-270م¹ في أجزائه العليا.

ب- السينومينيان الأسفل:

يتتألف من الدولوميت والكلس² وينتشر على الأجزاء الجنوبية (الجنوب الشرقي) من الحوض في عده ووادي المشاش وعرب العصيات. ويبلغ سمك هذا التكوين بين 50-130م في أجزاء الجنوبية.

تتميز صخور السينومينيان بانها ذات مانع واضح للماء الجوفي؛ بسبب تكونه من المارل بشكل رئيسي وخاصة في مكافف الجزء العلوي للحوض، وتبلغ المساحة التي تغطيها صخور السينومينيان 330 كم² أي بنسبة 9.2% من مساحة الحوض.

3.4.2 التورينيان

تكتشف هذه الصخور في الجنوب الفلسطيني وتنتشر على الأجزاء الشمالية والجنوبية للحوض، وطبيعة هذا التكوين تتكون من الحجر الجيري والدولوميتي المتتنوع والغني

¹ عابد ووشاحي، (1999)، مرجع سابق، ص137.

² نزيه العدرة، (2007)، مرجع سابق، ص55.

بالمستحاثات، وتتميز معظم مكافئه بأنها مكونة من الحجر الجيري الناعم الصلب جداً الذي يستعمل كحجر للبناء¹. ويتراوح سمكه ما بين 90-130م، حيث يبدأ من الأسفل بصخور جيرية صلبة في يطا والاجزاء السفلية من الحوض ثم يعلو هذه الطبقات الحجر الجيري الناعم الحبيبات والذي ينتشر في الجزء الأعلى من الحوض في منطقة الخليل.

تحتل صخور التورينيان المرتبة الثانية من حيث درجة الانتشار في الحوض، حيث يغطي مساحة قدرها 930 كم² أي بنسبة 10.9% من المساحة الإجمالية للحوض، وتنشر في الخليل والظاهرية ويطا وعبد وعرب العصيات.

4.4.2 كامبينيان

ت تكون صخور الكامبينيان من تعاقب صخور الطباشير الطيرية مع صخور صلبة من الحجر الجيري والحجر الرملي والغضار والدولوميت والصوان والفوسفات². ينتشر هذا التكوين في الارتفاعات المتوسطة (350-600 م) داخل الحوض، حيث ينتشر في الدرجات وحورة ووادي المشاش، وتبلغ سماكته 160م، ويغطي مساحة 2.5% من مساحة الحوض الإجمالية.

ثانياً: حقب الحياة الحديثة (Cenozoic)

ينقسم هذا الحقب إلى فترتين هما: العصر الثلاثي وهو الاقدم والعصر الرباعي، تنتشر صخورهما على طول البلاد وعرضها مع كونها متركزة في السهل الساحلي وشمال فلسطين، أما العصر الرباعي الذي يتكون من عصر البلاستوسين والهولوسين فهو متركز في السهل الساحلي وغور الأردن.

¹ عابد ووشاحي، (1999)، مرجع سابق، ص142.

² المرجع السابق، ص84.

أ- العصر الثالثي (Tertiary)

5.4.2 باليوسين

يبداً ظهوره بالغضار الأخضر الذي يتكون من صخور المارل والغضار الجيري الغني بعقيدات الليمونيت والبايريت¹، وينتشر في الجزء الجنوبي للحوض في منطقة الصباين عزازمة، ويبلغ سمك هذا التكوين 50م وتبلغ مساحته 0.7% من الحوض.

6.4.2 الايوسين

وينقسم هذا العصر الى ثلاثة اقسام وهي كالتالي:

أ- الايوسين الأسفل

يتكون من صخور الرواهص، يتراوح حجم الحبات بين الرمل والجلاميد وسطحه العلوي مغطى بالتربة القديمة وتكون صخور الناري، ويتراوح سمكه بين 0-30م.² وتمتد تكويناته من شمال الحوض الى جنوبه، ويزداد عرضه في الوسط في منطقة شقب السلام ويحتل الدرجة الثالثة في درجة انتشاره في الحوض حيث يبلغ 330 كم² أي بنسبة 9.2%.

ب- الايوسين الأوسط

يبداً عند ظهور الصخر الطباشيري الطيني، اما سطحه العلوي غير موجود؛ وذلك لإذالته بسبب عمليات الحفارة، تغطيه رواهص تكوين باران الذي ينتشر وسط الحوض وعلى أجزاء من السهل الساحلي عند قطاع غزة، ويصل سمكه الى 210م في حين تبلغ مساحته التي يغطيها في الحوض الى 229 كم² أي بنسبة 6.3%.

¹ عابد ووشاحي، (1999)، مرجع سابق، ص86.

² المرجع السابق، ص97.

ت-الايوسين الأعلى

ينتشر على شكل مساحات صغيرة من الحوض في منطقة رهط في وسط الحوض تقريباً، حيث يتكون من رسوبيات الهولوسين.

7.4.2 ميوسين

يتكون من صخور جيرية ناعمة وصخور جيرية رملية مع مستحاثات دقيقة وكبيرة، وتنشر في شرق الحوض في العازمة ويصل سمكها إلى 130م وتغطي 2% من مساحة الحوض الإجمالية.

8.4.2 بليوسين

يتكون من صخور الكركار التي هي صخور رملية جيرية وفي الأصل كثبان رملية ساحلية تصلب بفعل ترسبات مواد جيرية بحرية ربطت حبات الرمل فتماسكت¹. حيث تندمج برسوبيات العصر الحديث وتنشر في وسط الحوض في نجمات ترابين، وتبلغ مساحتها 108 كم² من مساحة الحوض الإجمالية.

9.4.2 العصر الرباعي (Quaternary)

وهي الرسوبيات التي تغطي الجزء الأكبر من الحوض التي ترببت منذ 11000 سنة²، وما زالت تترسب فهي رسوبيات الهولوسين وتشمل على الكثبان الرملية ورسوبيات الشاطئ ورواسب الوديان في المناطق التي أقل من 500م عن مستوى سطح البحر، وكذلك رسوبيات النارى وحصبة السيل والغرى والطمي التي ترتفع أكثر من 500م عن مستوى سطح البحر حيث تعتبر أحدث الإرسالات الموجودة في حوض وادي غزة وهي قارية النشأة بفعل المياه الجاربة وتراجع البحر في عصر الهولوسين والبلاستوسين، وتقسم من حيث انتشارها في الحوض إلى قسمين:

¹ عابد ووشاحي، (1999)، مرجع سابق، ص100.

² المرجع السابق، ص111.

أولاً: الرسوبيات التي تقع على ارتفاع يزيد عن 500م في الجزء الشمالي في الحوض:

وتنقسم هذه الرسوبيات حسب نوع الرسوبيات إلى:

أ- السهل الفيضي

وتشير هذه الرسوبيات في المجرى المائي من حوض الخليل التي يقل انحدارها، مما يؤدي إلى وضع ارساباته الفيضية في المناطق المجاورة، تكون هذه الارسابات من مواد حطامية منقولة بفعل المياه الجارية¹، وتكون من الحصى والحصبة والتربة الطينية، وتناسب استدارة الحصى طردياً مع مسافة نقله.

ب- ارسابات الاودية

ت تكون من مواد مختلطة من الحصى والأتربة والجلاميد الصخرية الناجمة عن عمليات ألح الرأسى للأودية، حيث توضع الأودية هذه الحمولة عن مصباتها لعدم القدرة على حملها، حيث تعمل على تشكيل الأودية الممتئنة.

ث- المرابح الفيضية

تنتشر هذه الارسابات عند مخارج الأودية الجبلية في الشمال الشرقي من الحوض؛ حيث يقل الانحدار وتترسب على شكل مرابح فيضة تكون من الحصى والذي يتتساب استدارته طردياً مع مسافة نقله.

ت- تكوين النارى

ت تكون من قشرة رقيقة تظهر على أسطح الصخور والتي تكون من كربونات الكالسيوم، فهي تميز بأنها لا تشكل صخور ذات سمك ثابت؛ لوجودها ضمن مقاطع التربة.

¹ نزيه العدرة، (2007)، مرجع سابق، ص58.

ثانياً: الرسوبيات التي تقع على ارتفاع ينخفض عن 500م

أ- الكثبان الرملية

هي صخور رملية تصلبت مع مرور الزمن وهي منتشرة على السهل الساحلي بشكل عام من جنوبه حتى شماله وذلك بسبب تراجع منسوب سطح البحر المتوسط. تنتشر في الجزء الغربي من الحوض على الأجزاء القريبة من مصب وادي غزة الرئيسي.

ب- رسوبيات اللويس (الطميبة)

ت تكون هذه الرسوبيات من حبات رملية ناعمة فهي انعم من حبات الرمل في الكثبان الرملية وachsen من الصلصال، يتراوح سمكها من 25-30م⁽¹⁾، وتنتشر على جميع أجزاء الحوض الأوسط والأسفل والأجزاء السفلية من الحوض الأعلى.

¹ عابد ووشاحي، (1999)، مرجع سابق، ص113.

جدول (3): التكوينات الجيولوجية في حوض وادي غزة

الرمز	السمك m	النسبة المئوية	المساحة km^2	مناطق الانتشار	الفترة
حقب الحياة المتوسطة (Mesozoic)					
C1	20	0.2	5.97	الخليل	أليان
T	270 – 50	9.2	330.49	الشمال الشرقي والجنوب الشرقي	سينومينيان
C3	130 – 90	10.9	390.65	الشمال الشرقي والجنوب الشرقي	توروني
Ca	160	2.5	89.52	حورة وكسيفة ووادي المشاش	كامبينيان
Ma	–	0.7	24.89	كسيفه والصباخين عزازمة	مسترخي
Mz	–	1	4.2	كسيفه	سينوني
Sc	–	3.4	122.99	الشمال الشرقي والجنوب الشرقي	كامبينيان – سينومينيان
حقب الحياة الحديثة (Cenozoic) الثلاثي والرباعي					
Pa	50	0.7	0.7	وادي المشاش	باليوسين
ea	30 – 0	9.2	330.96	الوسط ورهط وشقيب السلام	أيوسين أسفل
Enm	210	6.3	226.57	الوسط والسعدين عزازمة	أيوسين أوسط
Ue	–	0.4	10.30	رهط	أيوسين أعلى
M	130	2	74.90	العزازمة وعرعرة	ميوسين
P	–	3	108.86	بئر السبع وترابين عزازمة	بليوسين
Nqc	–	1	35.46	يطا وحورة	نيوجين-رباعي
Qk	–	0.7	25.19	بجانب دير البلح	رباعي
Q	30 – 25	50.2	1798.7 3	وسط وأدنى الحوض	هولوسين

المصدر: من عمل الباحث بالاستعانة 1-الخرائط الجيولوجية لحوض وادي غزة. 2-عبد ووشاحي (1999)، ص42

.118

5.2 التربة

تنوع التربة في حوض وادي غزة وذلك نتيجة لتتنوع المناخ من حيث درجة الحرارة وكمية الأمطار، حيث يسود مناخ البحر المتوسط شبه الرطب في الأجزاء الغربية من الحوض وعلى المرتفعات الشمالية منه، ويسود المناخ شبه الجاف في الوسط والأجزاء الغربية من

الحوض الذي يقابل إقليم النقب، وجميع هذه العوامل أدت إلى وجود عدة أنواع من التربة في الحوض الذي أمكن من خلالها تصنيف التربة ومواصفات كل مجموعة إلى:

1.5.2 التربة الوردية الحمراء (التيراروزا)

وهي تربة ذات لون أحمر، تنشأ من عملية غسل الصخور الجيرية والدولوميتية بمياه الأمطار؛ حيث تذيب المياه كربونات الكالسيوم وتتجمع عناصر الصخر غير القابلة للإذابة ومن ضمنها (أكاسيد الحديد والسيликات) التي تعطي التربة لونها الأحمر¹. يتباين سمك هذه التربة حسب درجة الانحدار التي تتواجد عليها، حيث يتراوح سمكها بين سنتيمترات على المنحدرات إلى 1م تقريباً على درجات الانحدار الأقل².

تنتمي هذه التربة إلى تربة البحر المتوسط الحمراء، التي تتميز بقوامها الثقيل واحتواها على نسبة عالية من الطين، وهي ذات قدرة عالية على تخزين المياه والاحتفاظ بالرطوبة، أما نفاذيتها للمياه فقليلة؛ لذا فإن فرصة جريان المياه فوقها أكثر من تسربه، يتراوح الرقم الهيدروجيني (PH) فيما بين (7.2 – 8).³

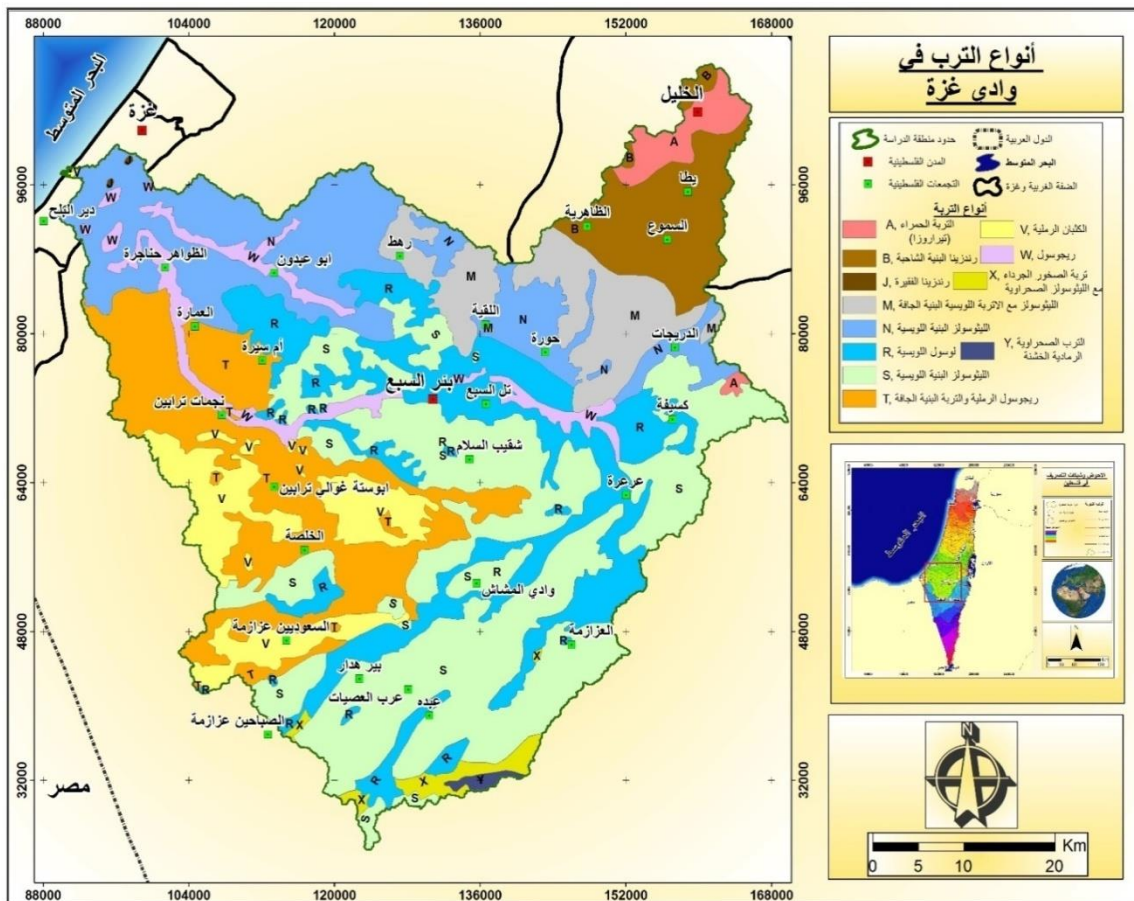
تحتوي هذه التربة في المناطق التي تسقط عليها كمية أمطار تتراوح بين (400 – 700 ملم) ودرجة حرارة بين (15 – 20)، حيث تنتشر في الطرف الشمالي من الحوض في جبال الخليل، وتبلغ مساحتها 63.5 كم² من مساحة الحوض الإجمالية، كما في الخريطة رقم (6) والجدول رقم (4).

¹ الحمامدة، فرج، (2003)، أثر المناخ والسطح على النبات الطبيعي في محافظة الخليل، رسالة ماجستير غير منشورة، جامعة النجاح، ص.50.

² أبو صفت، محمد، (2002)، التصنيف الجيوكيميائي لترب شمال الضفة، جامعة النجاح الوطنية، نابلس، ص.10.

³ الحاج، موسى، (1986)، الغطاء النباتي في وادي شعيب، رسالة ماجستير غير منشورة، الجامعة الأردنية، عمان، الأردن، ص.52.

⁴ مركز الأبحاث الأراضي (القدس)، (2006)، تقييم ومعالجة تدهور التربة في محافظة الخليل (دراسة بحثية تطبيقية)، الخليل، ص.17.



خرطة (6): أنواع الترب في حوض وادي غزة

المصدر: من عمل الباحث بالاستعانة بخرطة تصنيف التربة، وزارة الزراعة، دائرة الأبحاث الزراعية، قسم ري وحجر التربة، إسرائيل، 1973.

2.5.2 تربة الرندزينا

غالباً ما تكون تربة بنية ضحلة موجودة فوق مناطق صخور جيرية طرية أو كلسية، أي على الصخور الطباشيرية والرمال ولا تنشأ على الصخور الجيرية الصلبة أبداً⁽¹⁾. تتميز هذه التربة بسمكها الكبير نسبياً؛ والذي يعود إلى التكوينات التي اشتقت منها غير متماسكة وطباقية وسريعة التفكك بفعل ابتلالها في الماء. ويعكس ارتفاع محتواها الطيني على خاصية احتفاظها بالرطوبة ويطلق عليها محلياً بالترابة المرضعة⁽²⁾. وتتقسم تربة الرندزينا في منطقة الدراسة إلى نوعين:

¹ عليان، ربيحة، (2005)، الدراسات الاجتماعية والاقتصادية لموقع مشروع مكافحة التصحر في محافظة الخليل، رسالة ماجستير غير منشورة، جامعة النجاح الوطنية، ص60.

² أبو صطف، مرجع سابق، ص12.

أ- ريندينا البنية والشاحبة

- تنتشر على درجات حرارة من (18 - 20)° وكميات امطار تتراوح بين (300 - 600 ملم)¹ في الأجزاء الشمالية والشمالية الغربية من الحوض على جبال الخليل، وتبلغ مساحتها الاجمالية من الحوض 210 كم².

ب- ريندينا الفقيرة

وهي تربة فقيرة من المواد العضوية تنشر في مساحات صغيرة جداً في السهل الساحلي في وادي غزة، وتبلغ مساحتها 1.7 كم².

3.5.2 ترب المناطق الجافة وشبه الجافة (الليثوسولز)

تعرف هذه التربة بالترابة الصحراوية او السهبية، وتغطي الجزء الأكبر من النقب وتحول تدريجياً الى تربة شبه جافة بالاتجاه الى الشمال من النقب، وتتميز بقلة تماسكها وافتقارها الى المواد العضوية وارتفاع نسبة الاملاح²، وتغطي الجزء الأكبر من الحوض بنسبة تزيد عن 34% من مجموعة الترب الأخرى، وهي بذلك تنقسم الى نوعين:

أ- تربة الليثوسولز مع الارتبطة اللويسيّة البنية الجافة

تنتشر في القطاع الشمالي والشمالي الشرقي من الحوض التي تفصل المناطق الجافة عن المناطق شبه الجافة على معدل امطار (300 - 250 ملم) ودرجة حرارة بين (19 - 21)° وعلى الانحدارات الصخرية المتردية شديدة الانحدار³، وتغطي 254.7 كم² من المساحة الاجمالية للحوض.

¹ مركز الأبحاث الأراضي (القدس)، (2006)، ص17.

² الرجوب، محمد الحوامدة، عبد النبي، (1992)، الزراعة في محافظة الخليل، رابطة الجامعيين، الخليل، ص35.

³ مركز الأبحاث الأراضي (القدس)، (2006)، ص17.

ب- تربة الليثوسولز البنية واللويسية

وهي أكثر أنواع الترب انتشارا في الحوض، وتنشر على القطاع الأعلى للحوض شمالاً وجنوباً على معدل سقوط أمطار بين (80 - 200 ملم) ودرجة حرارة (17 - 23)¹، وتبلغ مساحتها 983.5 كم² من مجموع الترب الموجودة في الحوض.

4.5.2 مجموعة الترب الرملية والطمية الركامية

يغلب عليها وجود الرمل بكميات كبيرة، وتنشر بشكل رئيسي في السهل الساحلي ومعظم المناطق الجافة، وتنشر في حوض وادي غزة بعدة أشكال وهي كما يلي:

أ- لوسول البنية القاحلة (الكركاري)

يغلب على هذه التربة وجود الرمل بكميات كبيرة ويدخل في تركيبه بشكل أساسى الجير الذي تصل نسبته إلى أكثر من 30%⁽²⁾، وتشكل في المناطق الرئيسية القريبة من السهل الساحلي على كمية امطار من (150 - 250 ملم)، وتبلغ مساحتها 521.4 كم² من مجمل مساحة الترب في الحوض.

ب- لوسول اللويسي

تقع بين ظهور الكركاري او منطبة معه، تتكون من مجموعة من الترب السميكة وهي ناعمة يدخل في تكوينها بعض الحصى⁽³⁾، وقد تكون رملية مع كميات قليلة من الطين مع نسب متفاوتة من الجير؛ نتيجة لأندماجها مع رسوبيات الوديان المجاورة لها، تنتشر المناطق القريبة من تربة لوسول البنية الجافة في الوديان الجافة وشبه الجافة وخصوصاً في الوديان الجافة⁽⁴⁾، وتبلغ مساحتها 565.9 كم² من مساحة الحوض.

¹ مركز الأبحاث الأراضي (القدس)، (2006)، ص18.

² عابد ووشاهي، (1991)، مرجع سابق، ص334.

³ المرجع السابق، ص340.

⁴ مركز الأبحاث الأراضي (القدس)، (2006)، ص18.

ت- الكثبان الرملية

لا تشكل هذه الرمال تربة بالمعنى المتعارف عليه، تتكون أساساً من جبات الرمل المكونة من معدن المرو (الكوارتز)، توجد بها كميات قليلة من المواد الجيرية. سمك هذه الرمال يتراوح بين 1-2م¹ وقد تصل في بعض الحالات إلى 50م خاصة الكثبان الرملية القريبة من صحراء النقب، وتبلغ مساحتها 242.2 كم² من مساحة الحوض.

ث- تربة الصخور الجرداء مع الليثوسولز الصحراوية

تتوارد هذه التربة في الجزء ذو المناخ الشديد الجاف الذي يبلغ معدل أمطارها حوالي 80 ملم ومعدل درجات الحرارة بين (17 - 23) في الجنوب الشرقي من الحوض، حيث ان طبوعغرافية هذا الجزء عبارة عن جبال معراة شديدة الانحدار يتخللها اودية جافة بعضاها واسع. وتتكون من الحجر الجيري الصلب، والدولومايت، والطباشير وبعض السليكا²، وتبلغ مساحتها من المساحة الاجمالية للتراب في الحوض 37.7 كم².

5.5.2 مجموعة الترب الصحراوية

تمييز هذه المجموعة بأنها متطورة وقليلة السمك، وتحتوي على الطين والحجر الجيري والجبس وأحياناً على الملح، وتعد قليلة النفاذية لاحتوائها على الطين⁽³⁾، وتنشر على الترب ذات الأصل التي لم تتطور مع مرور الزمن، ويمكن تقسيمها إلى:

أ- الترب الصحراوية الرمادية الخشنة

غنية جداً بالماء الجيري مع قليل من الطين الريحي الأصل، يزداد سمكها في الوديان الصحراوية، ولا تتوارد إلى على المستوى السفلي من التربة، وتوجد على مساحة قليلة من الحوض.

¹ عابد ووشاحي، (1991)، مرجع سابق، ص339.

² مركز الأبحاث الأراضي (القدس)، (2006)، ص18.

³ عابد ووشاحي، (1991)، مرجع سابق، ص446.

ب- ريجوسول الرملية والتربة البنية الجافة

هذا النوع فقير جداً بالماء العضوي أو يكاد يخلو منها، وهي ناتجة عن تجميل الرواسب الغرينية المكونة بشكل رئيسي من معدن المرو (الكوارتز) مع القليل من الجير.¹ ويزداد الكوارتز في تربة الغرين نحو الغرب بينما يزيد الجير نحو الشرق، وتغطي مساحات واسعة من بئر السبع، وتبلغ مساحتها 553.7 كم^2 من المساحة الإجمالية للتراب في الحوض.

ت- ريجوسول:

تنشر في المناطق المنبسطة من الحوض القريبة من النقب التي معدل أمطارها يقل عن 100 ملم ويرتفع معدل الحرارة عن 24 ، تغطيها الحجارة². وهي ليست تربة حقيقة فهي تتكون من الحصبة الصوانية المتعاقبة من طبقاتها مع الغرين والطين والرمل، وتبلغ مساحتها من الحوض 136.8 كم^2 .

¹ عابد ووشاهي، (1991)، مرجع سابق، ص346.

² عابد ووشاهي، (1991)، مرجع سابق، ص349.

جدول (4): أنواع التربة في حوض وادي غزة

	نوع التربة	الرمز	المساحة كم ²	النسبة المئوية %
	التيراروزا	A	63.5	1.7
5.9	رندزينا	رندزينا البنية والشاحبة	B	210
0.1	-1	رندزينا الفقيرة	J	1.7
7.1	مجموع الترب الجافة وشبه الجافة (الليثوسولز)	الليثوسولز مع الاتربة اللويسية البنية الجافة	M	254.7
27.5		الليثوسولز البنية اللويسية	S	983.5
14.6	مجموعة الترب الرملية والطمية الركامية	لوسول البنية القاحلة	N	521.4
15.7		لوسول اللويسية	R	565.9
1.1		تربة الصخور الجرداء مع الليثوسولز الصحراوية	X	37.7
6.8		الكتبان الرملية	V	242.2
0.3	مجموعة الترب الصحراوية الرمادية الخشنة	التراب الصحراوية الرمادية الخشنة	Y	8.7
15.4		ريجوسول الرملية والتربة البنية الجافة	T	553.7
3.8		ريجوسول	W	136.8
100	المجموع			3579.9

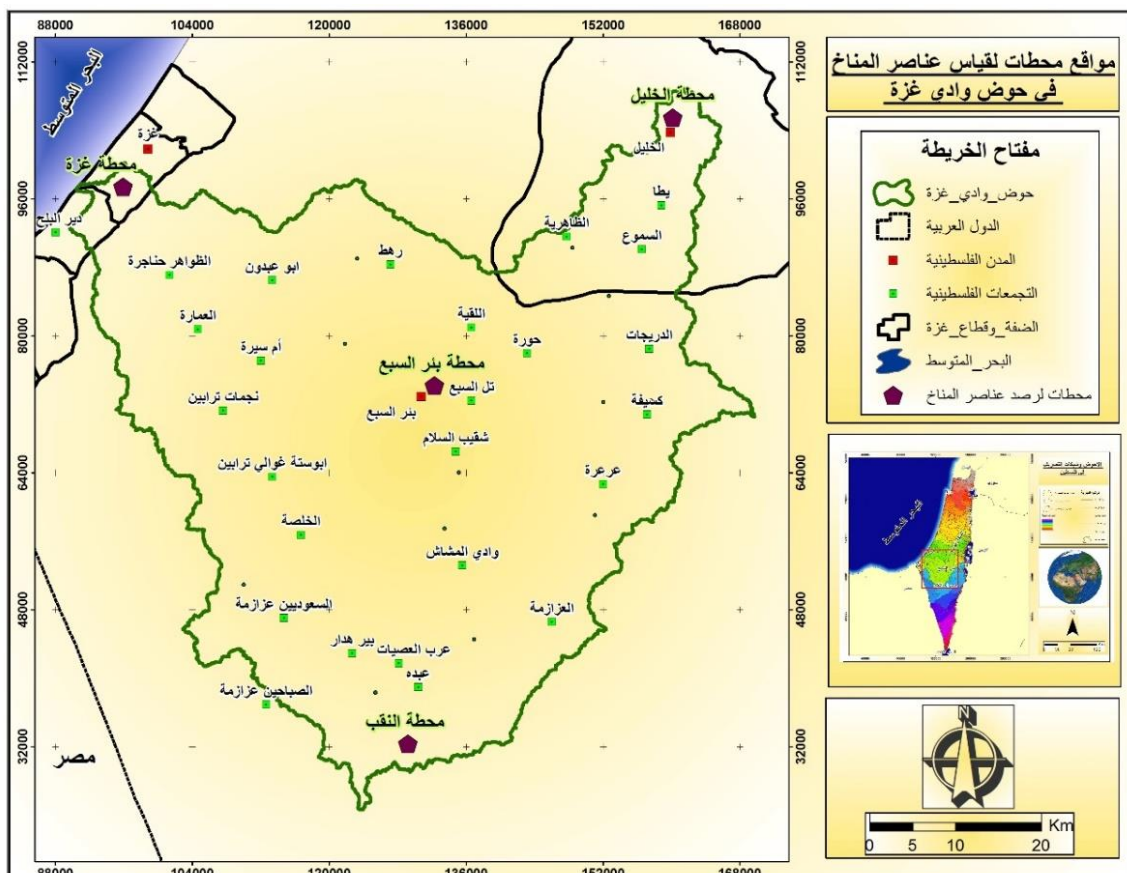
المصدر : من عمل الباحث اعتماداً في خريطة تصنيف التربة في وادي غزة

6.2 المناخ

إن أهمية دراسة المناخ وعناصره تأتي من تأثير الأحوال المناخية في العمليات الجيومورفولوجية المتمثلة في عمليات الحف، والنقل، والارسال، وكمية التصريف النهري، وكثافة الغطاء النباتي، ونوعه، وتوزيعه¹. ويختلف تأثير الظروف المناخية لأي منطقة بموقعها

¹ وليم دي ثورنيري، (1975)، أسس الجيومورفولوجيا، ترجمة وفيق الخشاب، منشورات جامعة بغداد، دار الكتب للطباعة والنشر، ص42.

من خطوط الطول ودوائر العرض وطبيعة المناخ الجافة او الرطبة، فالمناطق الرطبة تنشط فيها عمليات الحت والتعرية المائية على عكس المناطق الجافة التي تنشط فيها عوامل التعرية الريحية والتجوية، وتتأثر منطقة الحوض بمناخ إقليم البحر المتوسط، واعتمد الباحث في دراسة الخصائص المناخية على اربع محطات رئيسية تحيط بالحوض من جميع جهاته، محطة الخليل بارتفاع 1020 متر عن سطح البحر تليها محطة بئر السبع بارتفاع 300م، ثم تليها محطة غزة بارتفاع (39م)، تليها محطة النقب بارتفاع (488م) كما في الخريطة (7)، وتم الحصول على بيانات محطتي الخليل وغزة من محطة الأرصاد الجوية الفلسطينية في الضفة الغربية 2003 – 2012م، وبيانات محطة بئر السبع من أبحاث إسرائيلية للجنوب الفلسطيني واطلس إسرائيل، وموقع مناخية إسبانية، وتم تحليل المتوسطات الشهرية للمتغيرات المناخية (الحرارة، الامطار، الرطوبة النسبية، التبخر)، الجدول رقم (5) يوضح ذلك.



خرائط (7): موقع محطات الدراسة (الخليل-بئر السبع-غزة-النقب)

المصدر: من عمل الباحث

جدول (5): المتوسطات الشهرية والفصلية لبعض عناصر المناخ في محطات الدراسة 2003/2012

التبحر / ملم				الرطوبة النسبية %				متوسط الامطار / ملم				متوسطات درجة الحرارة				المحطة
النقب	غزة	بئر السبع	الخليل	النقب	غزة	بئر السبع	الخليل	النقب	غزة	بئر السبع	الخليل	النقب	غزة	بئر السبع	الخليل	
146	132	146	138.4	57	69	58.5	59	9	1	26.3	0	34.4	22.9	33	18.6	تشرين الأول
103	87	99	126.8	61	67	62	64	47	43.1	14.3	23.4	33.1	18.7	27.2	13.7	تشرين الثاني
86	69	77	92.5	68.5	68	71.5	73	0	31.7	11.8	43.9	17.6	15.1	22.3	8.1	كانون اول
82	68	76	50.5	69	67	70	74	2	159.5	12.9	153.1	18	13.4	20.8	7.1	كانون الثاني
86	76	86	79.6	68	67	68	72	0	98.8	29	109	16	13.7	22.1	8.1	شباط
120	115	120	174.6	66	70	64	66	0	69.7	0	103.2	26.7	15.6	25.5	10.5	اذار
143	142	143	208.8	54	70	59.5	55	0	0.5	0	9.4	31.4	18.7	31.1	14.7	نيسان
173	162	173	203.8	48	73	53	48	0	0.8	14	5.8	16	20.7	35.1	18.4	أيار
198	190	190	235	50	75	54	51	0	0	0	0	30.2	23.3	38.7	20.8	حزيران
201	193	192	266.5	59	76	59.5	57	0	0	0	0	34.2	25.4	39.9	22.1	تموز
195	183	186	234	62	75	62.5	60	0	0	0	0	32	25.8	39.8	22.1	آب
189	165	182	193	60	73	59.5	62	14	0	19.6	0	39.4	24.3	37.3	20.9	أيلول
143.5	131.8	139.2	166.9	60.2	71	61.8	62	83.8	405.1	117.9	447.8	27.4	19.8	31	15.5	المعدل

المصدر: 1-الأرصاد الفلسطينية بالضفة الغربية 2003/2012م.
2-الموقع الاسپاني .(/ <http://en.tutiempo.net>)

3- CSD-16/17 National Report Israel.

4- Yakov Livshitz, (2012) the Natural Water Resources between the Mediterranean Sea and the Jordan River.

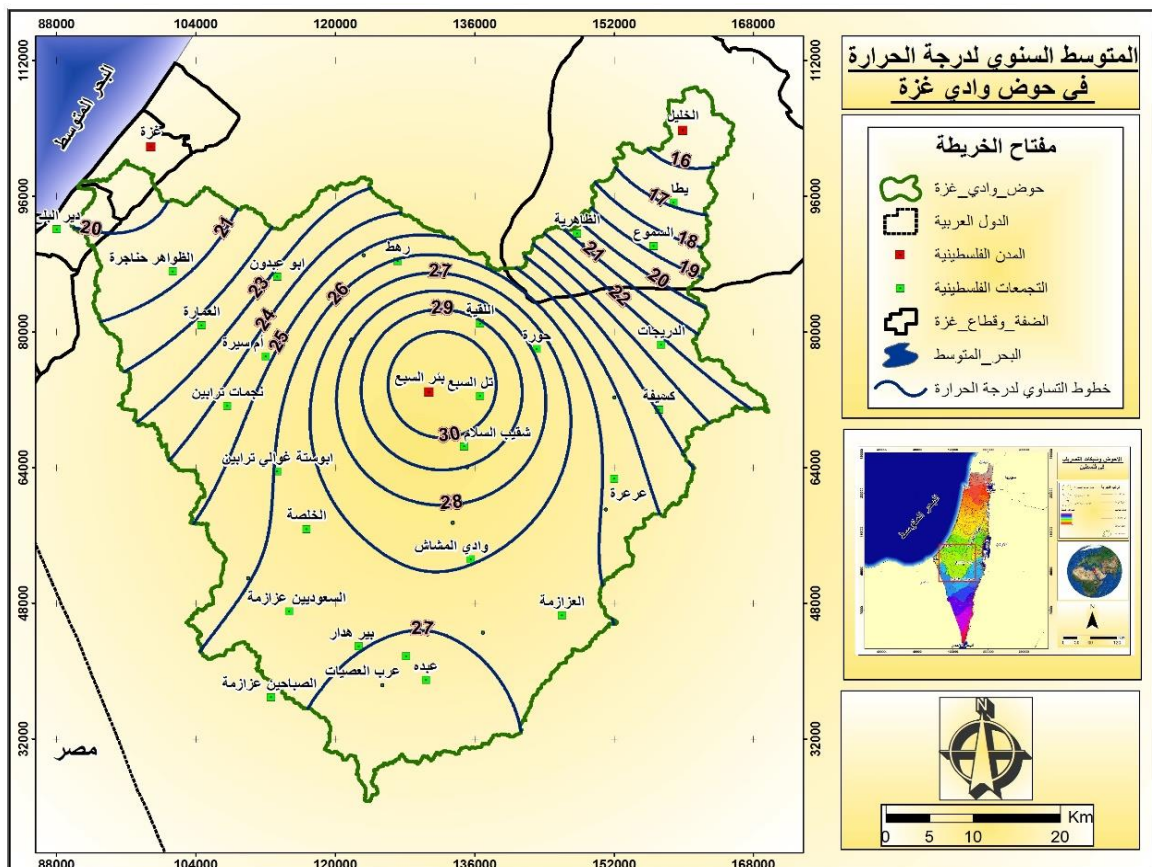
1.6.2 درجات الحرارة

يتحكم في معدل درجات الحرارة في حوض وادي غزة مجموعة من العوامل أهمها الموقع الفلكي، وعامل الارتفاع، والقرب والبعد عن البحر، إذ توجد علاقة ارتباط خطية مع معدل انخفاض درجات الحرارة الذي يقدر بـ (0.65) درجة مئوية لكل 100 متر ارتفاع¹، وبالاقتراب من الجنوب (صحراء النقب).

تبين معدلات درجات الحرارة في حوض وادي غزة من فصل آخر، ومن منطقة أخرى، إذ تصل إلى أعلى معدل لها في الوسط الذي يقترب من الجنوب وعلى ارتفاع (300) مترًا فوق مستوى سطح البحر وتتناقص نحو الجنوب والشرق، الخريطة رقم (8)، حيث المرتفعات التي تصل إلى (1020) مترًا فوق مستوى سطح البحر واقترابه من نقطة المصب (البحر المتوسط).

يظهر من الجدول رقم (6) أن معدلات درجات الحرارة الشهرية في محطة الخليل تصل ذروتها في بعض أشهر الصيف والخريف ممثلاً بأشهر حزيران، وتموز، آب، أيلول، حيث بلغت (20.8، 22.1، 22.9) على التوالي إذ بلغ المعدل السنوي لدرجة الحرارة في محطة الخليل (15.5) كأقل درجة حرارة، أما أعلى درجة حرارة سجلت في محطة بئر السبع بمعدل سنوي (31) حيث سجل شهر تموز أعلى درجة حرارة (39.9)، أما محطة غزة الواقعة في الجزء الأسفل من الحوض وعلى ارتفاع (39) متر فوق مستوى سطح البحر، فقد سجلت أعلى المعدلات الشهرية في أشهر تموز وآب (25.4-25.8 م°) على التوالي، وفي شهر حزيران، وأيلول نحو (23.8 م°) يراجع الجدول رقم (5)، أما معدل المدى الحراري لمحطة غزة فبلغ بحدود (12.4 م°)، في حين بلغ أدنى معدل درجة حرارة في شهري كانون أول، وكانون ثاني (13.4-15.1 م°) على التوالي، وتبينت درجة الحرارة لمحطة النقب فتراوحت أعلى وأقل درجة حرارة سجلت في المحطة بمعدل مدى حراري (23.4-39.4 م°).

¹ H.Y. Braggeman, Climatic Resources of Yemen Part 1AGRO climatic inventory database Management Exert Agricultural Research and Extension Authority Ministry of Agriculture And water resources, Dhamar, 1997, P12.



خريطة (8): المتوسط السنوي لدرجات الحرارة بمنطقة الحوض (2003-2012)

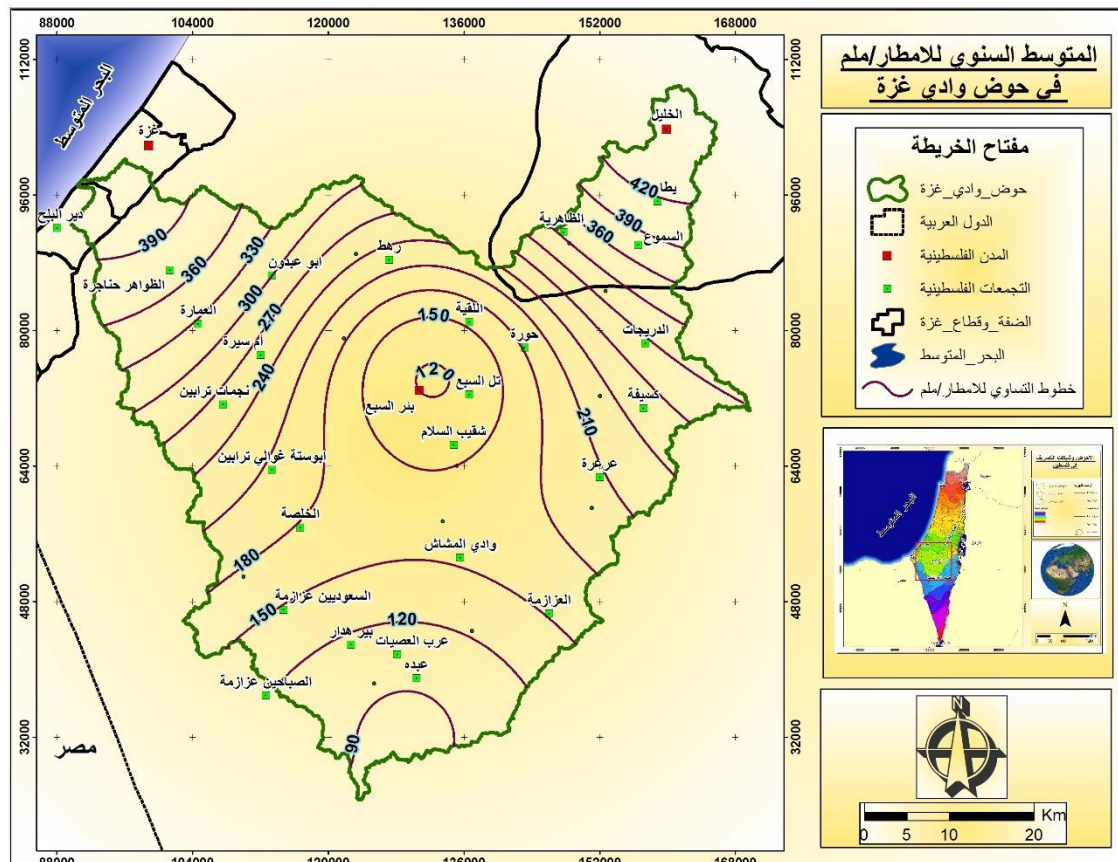
المصدر: من عمل الباحث بالاعتماد على الجدول (5)

2.6.2 الأمطار

يتأثر حوض وادي غزة بطبيعة الجبال التي تحيط به، إذ تحيط به السلسلة الجبلية موازية لمجرى الوادي من الشمال إلى الجنوب إلى الشرق. كما أن درجات الحرارة تتأثر هي الأخرى بعامل الارتفاع، إذ أن ارتفاع الكتل الهوائية فوق المناطق الجبلية يوفر نوعاً من ميكانيكية التبريد التي تحفز على سقوط الأمطار الغزيرة¹. ومن خلال المعطيات المناخية في محطات الخليل وغزة وبئر السبع والنقب، الجدول (5) والخريطة رقم (9)، يظهر أن كمية الأمطار تختلف من حيث توزيعها، وغزارتها، لاسيما في بداية ونهاية سقوطها من شهر آخر ومن سنة لأخرى، إذ يلاحظ أن معظم الأمطار ينحصر سقوطها ما بين أشهر شرين الثاني حتى نيسان وبنسبة (98.7%) من كمية الأمطار في محطة الخليل، وبنسبة (99.5%) في محطة غزة، وبنسبة (68%) في محطة النقب، وبنسبة (57.6%) في محطة بئر السبع، فضلاً عن

¹ H.y. Bruggeman ,Climatic resources of yemen,op.cit,p1.

تركز أعلى معدلاتها في شهر كانون الثاني، في حين تمثل الفترة الممتدة ما بين شهر ايار وتشرين الاول فترة الجفاف، وتزداد كمية الأمطار في الشمال والشرق من الحوض في محطة الخليل وغزة، إذ تسقط على الأجزاء الشمالية (محطة الخليل) (447.8 ملم/السنة)، في حين تقل كميتهما في الأجزاء الوسطى والجنوبية من الحوض، إذ يبلغ معدل الأمطار في محطة بئر السبع (117.9 ملم/سنة)، وفي محطة النقب (83.8 ملم/سنة).



خرائطة (9): المتوسط السنوي للأمطار/مم بمنطقة الحوض (2003-2012)

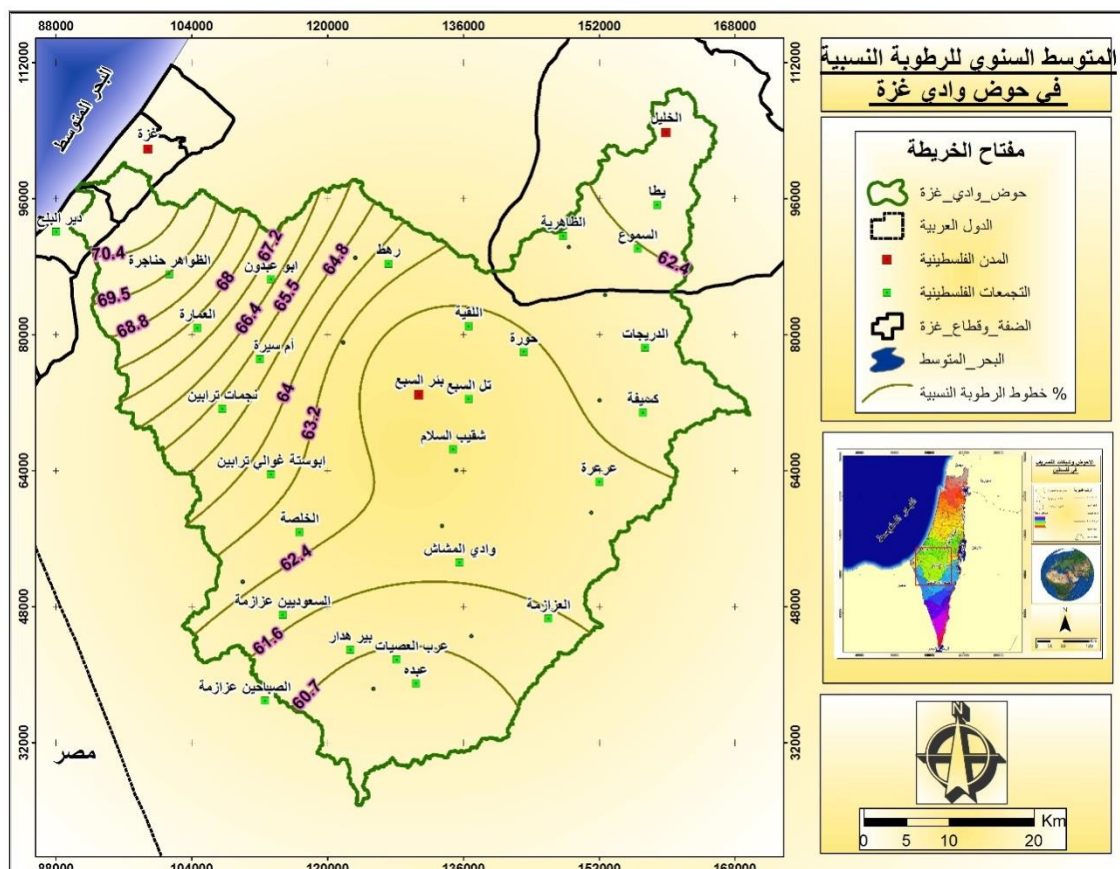
المصدر: من عمل الباحث بالاعتماد على الجدول (5)



شكل (2): المتوسط الشهري للأمطار الساقطة / ملم

3.6.2 الرطوبة النسبية

يتميز حوض وادي غزة بكون الرطوبة النسبية فيه مرتفعة، إذ بلغ المعدل السنوي للرطوبة النسبية بحدود (71%) في الأجزاء الغربية (محطة غزة)، في حين تنخفض في الأجزاء الجنوبية من الحوض (محطة النقب) إلى (60.2%) الخريطة رقم (10)، في حين بلغت الرطوبة النسبية في الأجزاء الشمالية (محطة الخليل) (62%)، وبلغت (61.8%) في الأجزاء الوسطى من الحوض (محطة بئر السبع)، يلاحظ الجدول رقم (5).



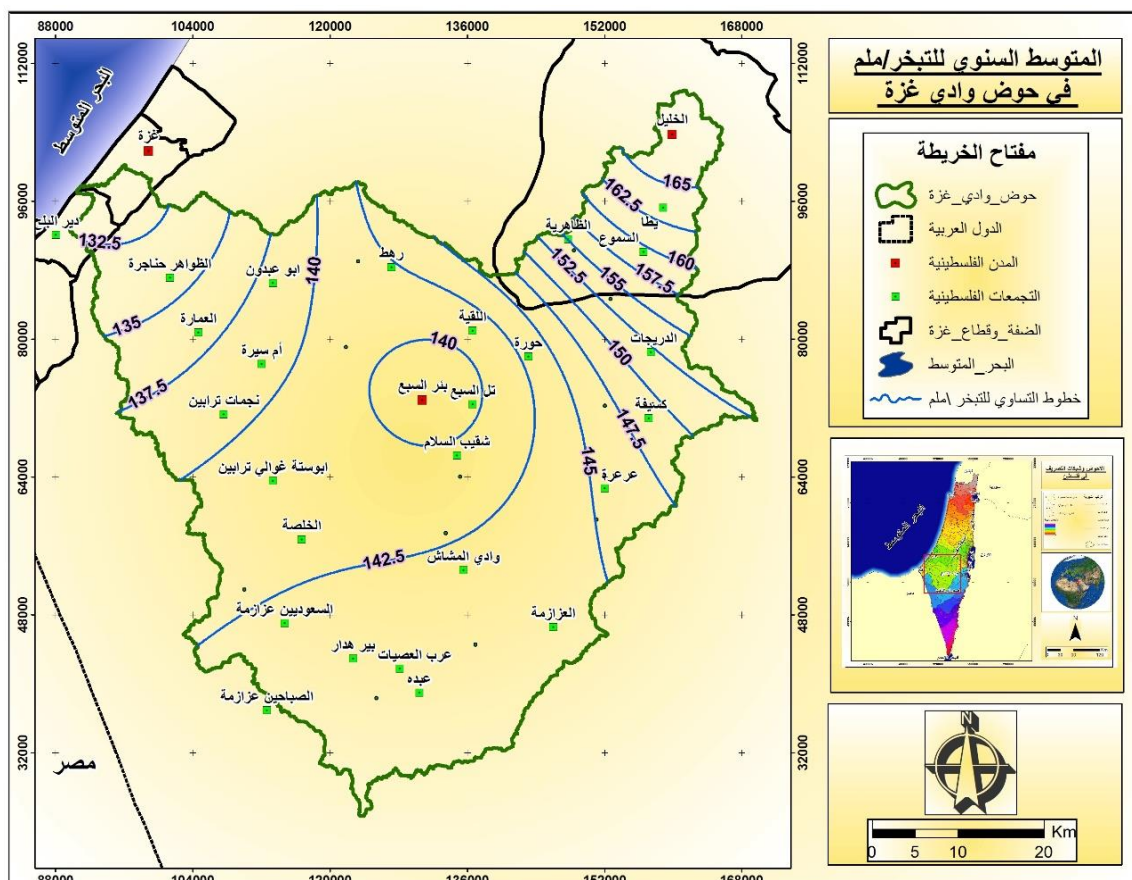
خريطة (10): المتوسط السنوي للرطوبة النسبية بمنطقة الحوض (2003-2012)

المصدر: من عمل الباحث بالاعتماد على الجدول (5)

4.6.2 التبخر والنتح

ويظهر الجدول رقم (5) بأن مجموع التبخر السنوي في محطة الخليل بلغ (5.300 ملم/ سنة)، في حين بلغ مجموع التبخر السنوي في محطة النقب (1722 ملم/ سنة)، وبلغ

المجموع السنوي للتبخر في محطة بئر السبع وغزة (1582 ملم/ سنة) ويشير الجدول إلى أن أعلى قيم التبخر في محطة الخليل تتركز في فصل الصيف ممثلة بأشهر: حزيران، وتموز، وآب، إذ تتراوح قيم التبخر ما بين (234-266.5 ملم) على التوالي الخريطة رقم (11)، في حين كانت أدنى قيم التبخر في محطة الخليل في أشهر الشتاء ممثلة بأشهر كانون أول، و كانون ثاني، وشباط، إذ بلغت القيم بحدود(79.6-92.5 ملم) على التوالي، أما محطة غزة فسجلت أعلى القيم في أشهر حزيران ، وتموز، وآب ، إذ تتراوح ما بين (183-193 ملم) ، في حين سجلت أدنى القيم في أشهر كانون أول، و كانون ثاني، وشباط، إذ بلغت 68-76 ملم) على التوالي.



خريطة (11): متوسط التبخر ملم/السنوي بمنطقة الحوض (2003-2012)

المصدر: من عمل الباحث بالاعتماد على الجدول (5)

الخلاصة

بلغ اعلى ارتفاع لحوض وادي غزة في اقصى الشمال الغربي على سفح جبال مدينة الخليل التي ترتفع (1020م) عن مستوى سطح البحر ، فيما كان اقل ارتفاع في الغرب من الحوض التي تتخفض (-5م) عن مستوى سطح البحر ، حيث قسمت الدراسة طبوغرافية الحوض الى جبال الخليل في الشمال الغربي من الحوض، الأجزاء الوسطى للحوض المتمثلة بحوض بئر السبع التي تتميز بقلة انحدارها، وارتفاعات وسط النقب التي تقع في الجنوب الشرقي من الحوض حيث تتميز بانها أقدم جبال فلسطين ، والسهل الساحلي الجنوبي الذي يمتد على طول الساحل الفلسطيني .

وتظهر جيولوجية المنطقة توعا في تشكيلاتها الصخرية حيث يغلب على الحوض صخور الهولوسين التي تتجاوز نسبته في الحوض 50%، ونتيجة لتتنوع المناخ فقد تنوّعت التربة فكان نصيب تربة اللوسول البنية اللويسيّة هو الاكبر في الحوض فبلغت نسبتها 27.5% من اجمالي الترب في الحوض.

واعتمد دراسة الخصائص المناخية على أربع محطات منتشرة في الحوض، فتبينت درجات الحرارة من محطة الى أخرى، وكانت اعلى درجة حرارة سجلت في محطة بئر السبع في شهر تموز (39.9°) وكانت أدنى درجة حرارة في محطة الخليل (7.1°)، وكان معدل الامطار في محطة الخليل ومحطة غزة بمعدل (447.8-405.1 ملم) على التوالي، حيث حصل شهر كانون الثاني على اعلى تساقط للمطر (153.1-159.5 ملم) على التوالي .

الفصل الثالث

آلية استخراج الخصائص المورفومترية

1.3 الحصول على خرائط (DEM)

2.3 استخراج حدود منطقة الدراسة (حوض وادي غزة)

.Arc hydro 2.0 3.3 استخراج شبكة المجاري المائية داخل

4.3 التقسيمات الطبيعية للحوض والخرائط التفصيلية

الفصل الثالث

آلية استخراج الخصائص المورفومترية

تمهيد

يعتمد نجاح برامج نظم المعلومات الجغرافية على الطرق السليمة والصحيحة في إدخال البيانات بمختلف أنواعها إلى قاعدة البيانات الجغرافية من أجل معالجتها وتحليلها ومن ثم تمثيلها في ضوء المتطلبات التي تحتاجها وتحددتها أهداف الدراسة، وتعتمد أهداف دراسة حوض وادي غزة بالدرجة الأولى على توظيف نظم المعلومات الجغرافية لبناء قاعدة بيانات جغرافية تحتوي على متغيرات مورفومترية، حيث تشمل على (المسافات، المساحات، الارتفاعات، الاتجاهات) والتي تعتبر العناصر الأساسية لإنشاء قاعدة البيانات المورفومترية¹، ومن ثم تطبيق المعادلات المورفومترية المحددة في الدراسة على ضوء تلك العناصر الأساسية المورفومترية وذلك لتوضيح دور نظم المعلومات الجغرافية في دراسة تلك الخصائص للوصول إلى نتائج الدراسة والتي من خلالها يمكن تحديد نسب النجاح لكل خاصية مقارنة مع الطرق التقليدية، ولا يقتصر دور نظم المعلومات الجغرافية في هذه الدراسة على بناء قاعدة بيانات جغرافية مورفومترية، بل تتعذر إلى معرفة المميزات والتطبيقات التقنية المتقدمة لتلك النظم في بناء هذا النوع من القواعد المورفومترية، والتي لم يتم توفيرها بالطرق التقليدية كالمعالجة والتحليل والتعميل والاستعلام والتحديث، وما لتلك العمليات من خصائص متمثلة في الدقة فيما يتعلق ببناء قاعدة البيانات الجغرافية المورفومترية الأمر؛ الذي ينعكس على مخرجاتها النهائية.

كذلك توفر لنا أجراء تلك العمليات باستخدام نظم المعلومات الجغرافية الجهد والوقت اللذان يمثلان إحدى الأمور التي كانت تعاني منها الطرق التقليدية والتي يمكن تخطيها بإتباع الطرق التي تتيحها أدوات التحليل في برامج نظم المعلومات الجغرافية، ونظرًا للتقدم التقني لوسائل رصد

¹ آل سعود، مشاعل بنت محمد، (1423هـ)، تطبيقات تقنية الاستشعار عن بعد والأساليب الجيوديسية المتقدمة في دراسة مورفومترية الوديان الجافة، بحوث جغرافية، الندوة السابعة، اقسام الجغرافيا بجامعات المملكة العربية السعودية، المملكة العربية السعودية، ص394.

البيانات المتمثلة في الأقمار الصناعية وما وفرته من مرئيات ذات جودة كبيرة كدرجة الوضوح المكاني العالية وكذلك أجهزة تحديد الموقع (GPS) وبياناتها المتمثلة في نموذج الارتفاعات الرقمية (DEM) ذات الدقة الكبيرة والتي ساهمت في بناء قاعدة بيانات جغرافية مورفومترية لحوض وادي غزة فسوف يعكس ذلك على تعدد طرق تحليل الخصائص المورفومترية المعتمدة في قاعدة بيانات حوض وذلك بالاعتماد على نظام التحويل من التمثيل الشبكي إلى التمثيل الخطى، لاستخراج شبكة التصريف في منطقة الحوض والتي يترتب عليها تطبيق وتحليل كافة المتغيرات المورفومترية، ولتحقيق ذلك مرت الدراسة بعدة مراحل:

1.3 الحصول على خرائط (DEM)

1.1.3 الحصول على نموذج الارتفاع الرقمي

تتعدد مصادر البيانات للحصول على نموذج الارتفاع الرقمي فيمكن توليدها من قبابات المساحات الأرضية بأجهزة المساحة الأرضية (Level) أو أجهزة النظام العالمي لتحديد الموقع (GPS) Global Positioning System ثم تستخدم تقنية نظم المعلومات الجغرافية لإنشاء نموذج الارتفاعات الرقمية لمنطقة الحوض، أو يمكن الحصول عليها من الصور الجوية ومن مرئيات الأقمار الصناعية للاستشعار عن بعد، كما تتوفر من خلال موقع متخصص بنماذج الارتفاعات الرقمية العالمية المجانية، وتتعدد مصادر نماذج الارتفاع الرقمي فمنها على سبيل المثال (GLOBE) و (ETOPO2) و (ASTER) و تختلف تلك النماذج من حيث قدرة التمييز المكاني، وتم الاعتماد في الدراسة على (ASTER)، وهي من تطوير كلا من وزارة الصناعة اليابانية ووكالة الفضاء الأمريكية، ونظرا لأهمية دقة الوضوح المكاني لتمثيل ظاهرات سطح الأرض فقد تم الاعتماد على الملفات داخل الموقع الرسمي (ASTER GDEM)⁽¹⁾ في الحصول على نموذج الارتفاع الرقمي (ASTER) كما في الشكل رقم (3)، بوضوح مكاني 2 ثانية، حيث يبلغ طول الخلية الواحد (pixel) 1 ثانية أي 30 متر، كما تم تصدير نموذج الارتفاع بصيغة (TIF) حتى يسهل التعامل معها داخل بيئة نظم المعلومات الجغرافية، وتكون

¹ <http://gdem.ersdac.jspacesystems.or.jp/>

الطبقة معرفة بنظام الاحداثيات العالمية بالدرجة، حيث يكون الملف مضغوط بصيغة (Zip)، ومن ثم نقوم بفك الضغط لإدخالها الى برنامج (Arc GIS 10.1).

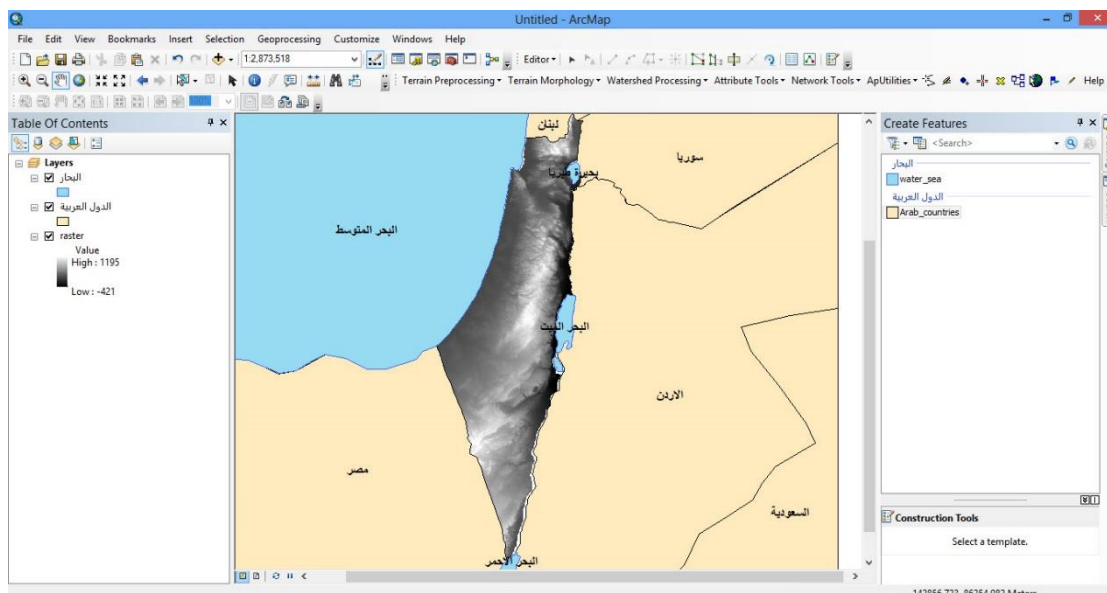


شكل (3): الحصول على نموذج الارتفاع الرقمي من موقع (ASTER GDEM)



2.1.3 ادخال نموذج الارتفاع الرقمي الى برنامج (Arc GIS 10.1)

تم ادخال طبقة DEM الى (Arc GIS 10.1) ولكن تظهر الطبقة سوداء من غير وجود معالم لان صيغة الطبقة (TIF)، ولذلك تم تصديرها الى صيغة Grid لإيضاح البيانات الموجودة بداخليها، ومن ثم اقتطاع clip الطبقة على حدود فلسطين التاريخية كما في الشكل رقم (4).



شكل (4): ادخال طبقة DEM واقتطاعها وادخلها الى برنامج (Arc GIS 10.1)

2.3 استخراج حدود منطقة الدراسة (حوض وادي غزة)

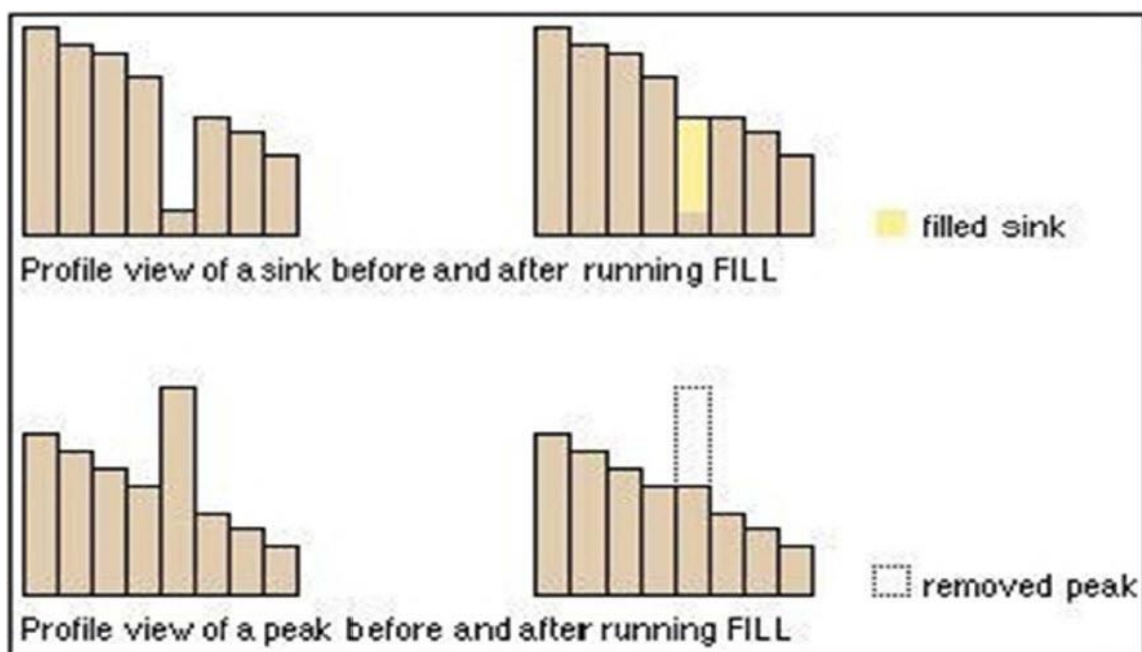
هناك عدة خطوات يجب تنفيذها على المرئية قبل استخلاص حدود منطقة الحوض واجراء التحليل الهيدرولوجي، وهي تحديد موقع وامتداد الحوض، ومن ثم التأكد من منابع ومصب الحوض عن طريق الخرائط الطبوغرافية (1:200000 و 1:500000) ومن خلال برنامج Google Earth، ومن ثم بدء التحليل الهيدرولوجي عليها من خلال برنامج Arc (GIS10.1).

1.2.3 معالجة القيم الشاذة في الارتفاع (Fill)

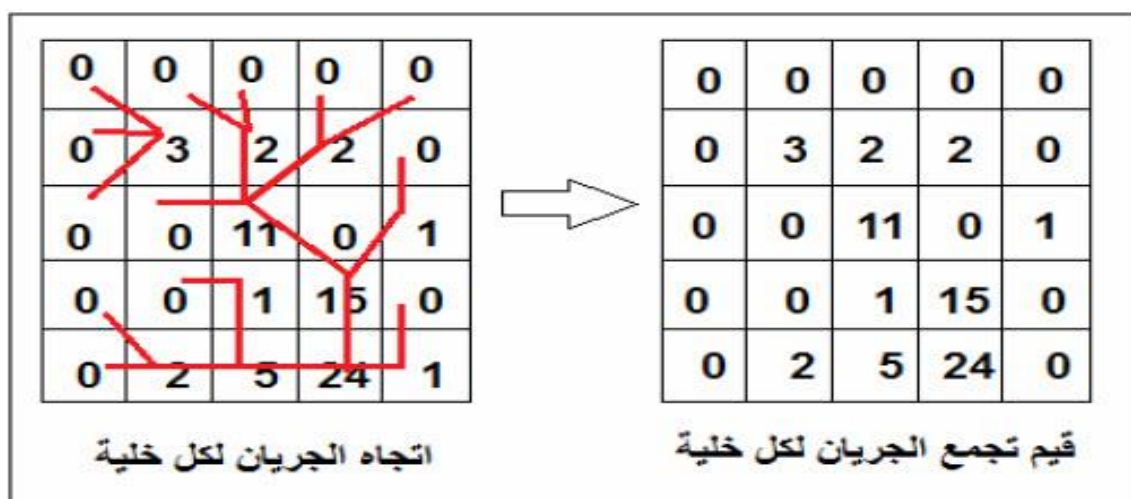
ملف الارتفاع يكون في صورة شبكية (Raster)، وكل خلية على ثلاثة ابعاد (X,Y,Z)، والخلايا ذات الارتفاع الأعلى تصب في الخلية ذات الارتفاع الأقل في سلسلة متتابعة وتتواءل هذه السلسلة المتتابعة من ارتفاع أكبر الى ارتفاع اقل الى اقل وهكذا، فاذا ما حدث شذوذ في هذا التتابع مثل وجود خلية ذات ارتفاع او انخفاض مثل وجود حفرة فهذا معناه نهاية الوادي ويبدأ بعدها احتساب وادي جديد، وما هو بالحقيقة الا نفس الوادي ولكن اعتراضه حفرة او تل لذا من البداية يجب ان نقوم بإزالة هذا الارتفاع الشاذة او هذه الحفرة وذلك بإعطائها متوسط قيم الخلايا المجاورة من خلال عملية Fill Sinks كما في الشكل رقم (5).

2.2.3 انشاء طبقة الاتجاهات الجريان (Flow Direction)

في هذه الخطوة نقوم بتحديد اتجاه الجريان للخلايا على أساس الارتفاع ونلاحظ في هذه الخطوة اننا نحل على مستوى الخلية وليس على مستوى الرافد بمعنى ان كل خلية تؤدي الى خلية مجاورة لها تكون اقل ارتفاعا منها والملف الناتج عن هذه العملية يكون صورة خلايا شبكية Raster وكل خلية لها رقم من 7 ارقام (1,2,4,8,16,32,64,128) وكل رقم له مدلوله عن الاتجاه، والشكل رقم (6) و(7) توضح هذه العملية:



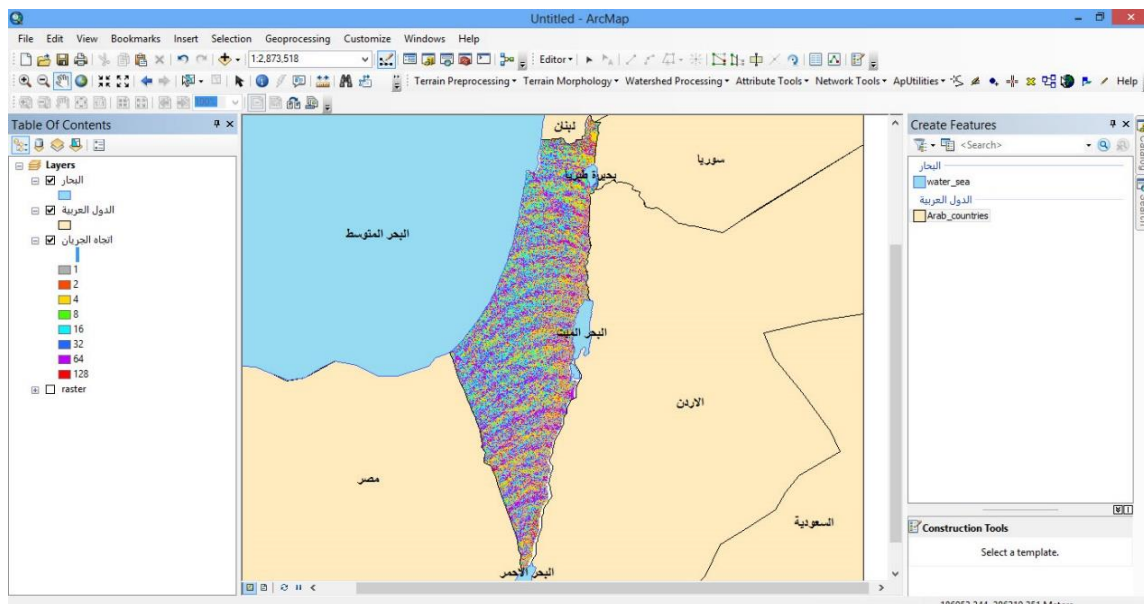
شكل (5): يوضح معالجة الخلايا الشاذة بطبقية نموذج الارتفاع الرقمي¹



شكل (6): يوضح اتجاه الجريان²

¹ <http://gis.joewheaton.org/assignments/labs/lab-8---choice/lab08a/task-1---watershed-delineation/2015>.

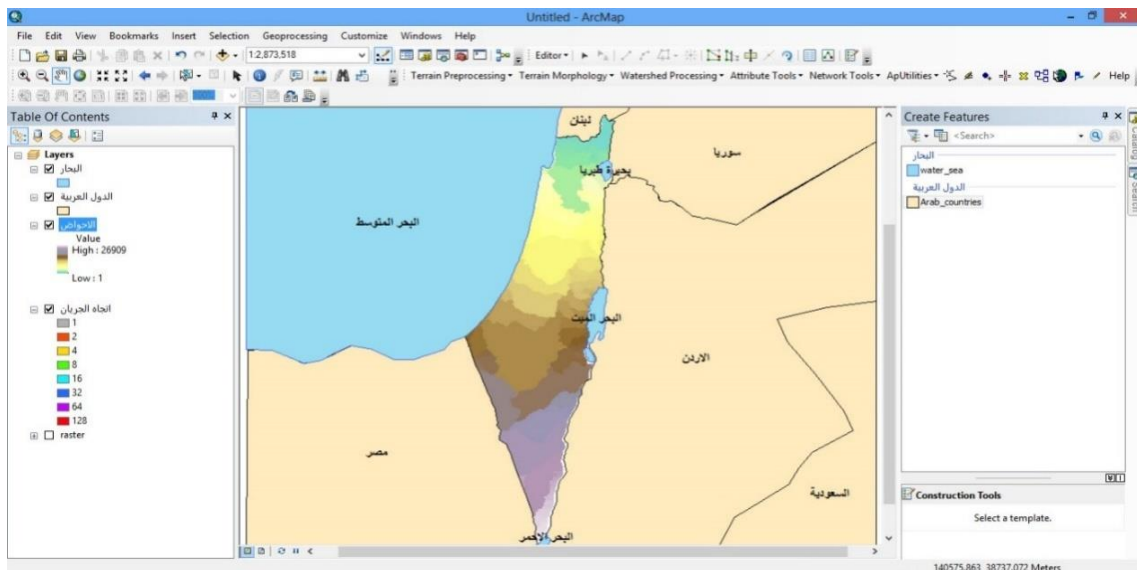
² <http://courses.washington.edu/gis250/lessons/hydrology/2015>.



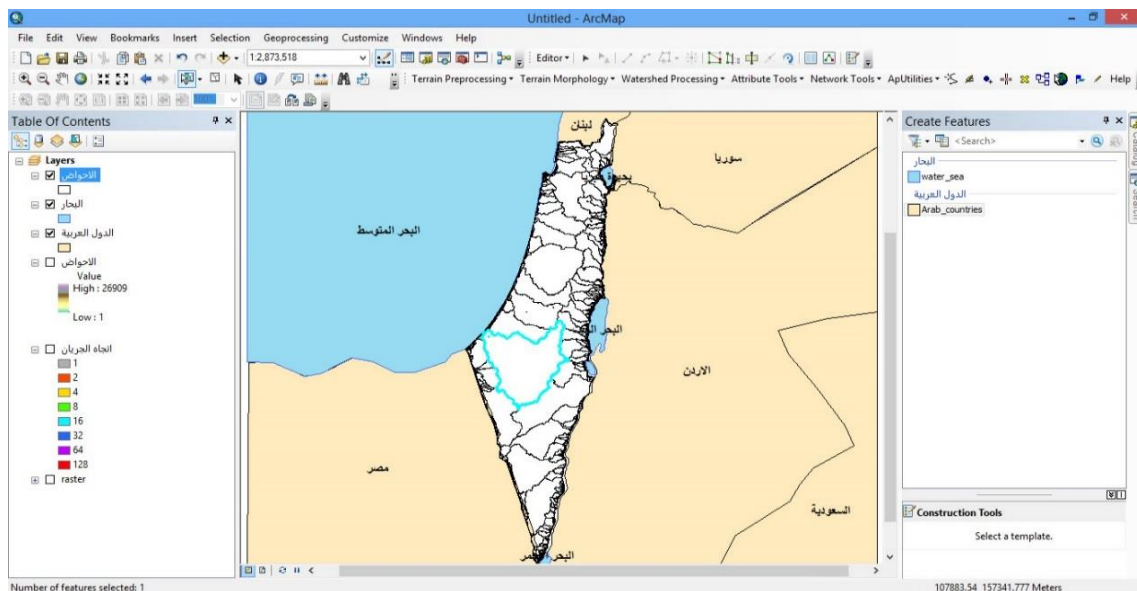
شكل (7): اتجاه الجريانات بطبقه(DEM)

3.2.3 تحديد احواض الجريان (Basin)

يمكنا هذا الامر من تحديد جميع الاحواض بطبقة نموذج الارتفاع الرقمي، كما يظهر بالشكل رقم (8) فينتاج لنا ملف شبكي من نوع Raster، واستخراج منطقة الحوض يجب تحويل تلك الاحواض من ملف Raster الى ملف Vector، ليتم تحديدها والتعامل معها بشكل مستقل عن باقي الاحواض، فينتاج طبقة الاحواض بهيئة مضلعات Shape File كما بالشكل رقم (9)، ومن ثم نعمل على تحديد منطقة الدراسة (حوض وادي غزة) من شريط المهام من خلال الامر تحديد Select Features، وعمل تصدير للطبقة المحددة Export data، وحفظ الطبقة الجديدة التي ستستخدم في استقطاع منطقة الحوض من الطبقة الاساس لإجراء التحليل الهيدرولوجي عليها من خلال تقنية ArcGIS 10.1 والبرنامج الملحق Arc hydro 2.0.



شكل (8): احواض التصريف بيئية (Grid)

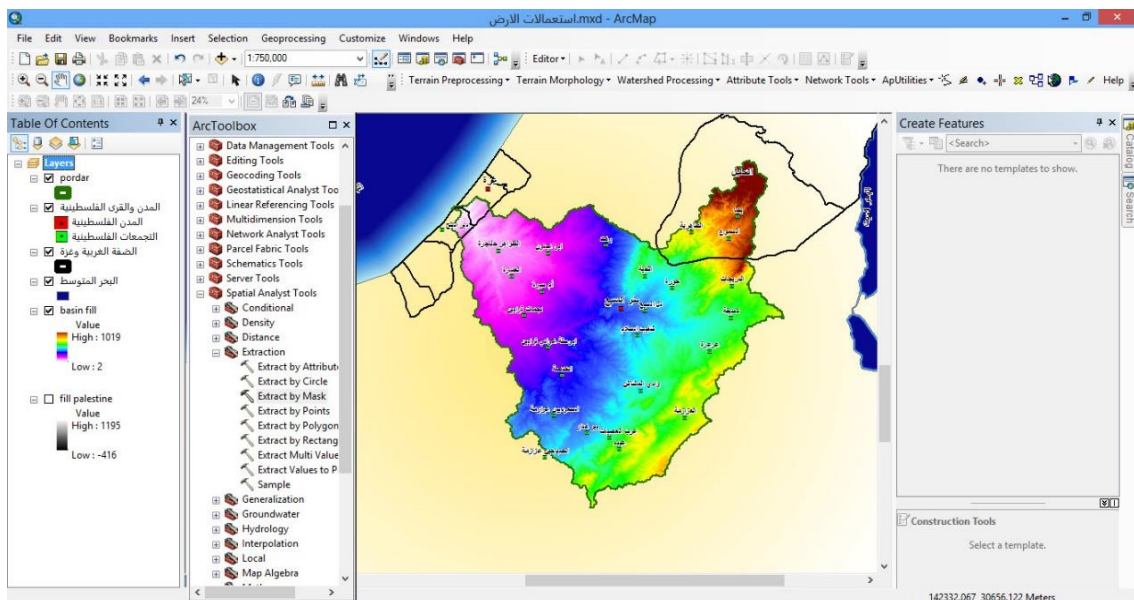


شكل (9): احواض التصريف بامتداد (Polygon)

4.2.3 استخراج منطقة الحوض من طبقة (Fill)

بعد استخراج الحوض بامتداد Shape file، أصبح بالإمكان الان اقتطاع الحوض من الطبقة التي تم معالجتها Fill، من خلال Spatial analyst tools Extraction ثم Spatial analyst tools Fill. الأمر Extract by Mask، وهي اخر الخطوات التي تم استخدامها في استخلاص منطقة الحوض من الصورة الشبكية Raster، كما تظاهر بالشكل رقم (10)، ومن ثم ننتقل للعمل داخل البرنامج الملحق Arc hydro 2.0.

البرنامج الملحق Arc hydro 2.0



شكل (10): اقتطاع طبقة حوض وادي غزة

3.3 استخراج شبكة المجاري المائية داخل Arc hydro 2.0.

قبل البدء في العمل على البرنامج الملحق Arc hydro 2.0 يجب تغيير نظام الاحداثيات لطبقة Raster من نظام الاحداثيات الجغرافية Coordinate Systems إلى نظام الاحداثيات المترية Projected Coordinate Systems، وهي من أهم الخطوات فإن لم يتم تغيير هذه الاحداثيات لصفحة العمل داخل GIS فان ما يقوم به من حسابات لخصائص الطبقة المكانية لن يكون دقيقاً، أي ستكون النتائج بالدرجات وليس بالكميلومترات، ويتم تغيير نظام الاحداثيات من خلال مجموعة إدارة البيانات Data Management Tools، كما يتطلب البرنامج أيضاً مساراً ليتم حفظ مخرجات البرنامج، وبدون هذه الخطوة لن يعمل برنامج Arc hydro.

1.3.3 إنشاء قاعدة بيانات Creation of a database

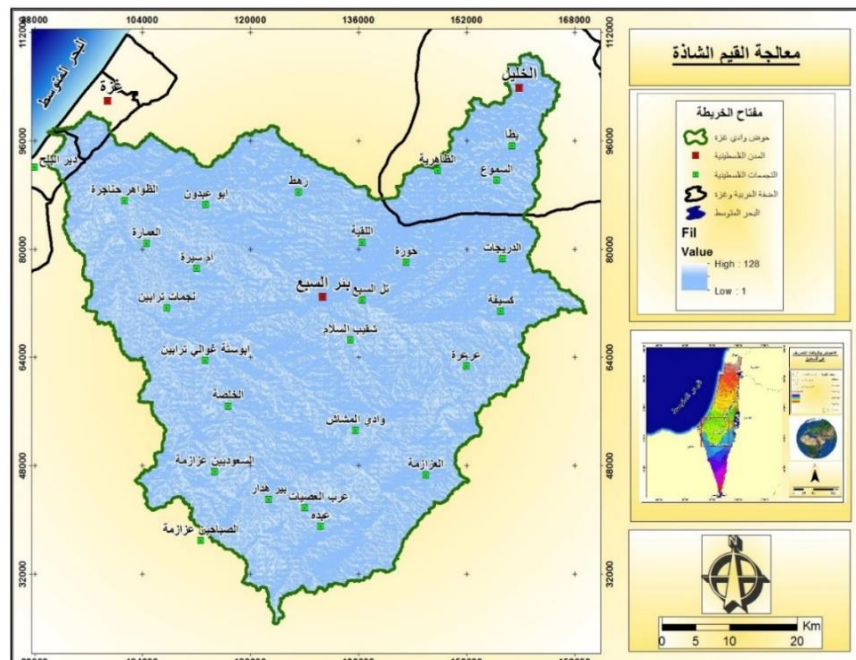
وتعتبر من أهم الخطوات عند إجراء التحليل المكاني، وينتيج برنامج Arc hydro إمكانية إنشاء قاعدة بيانات مستقلة يتم بها تحليل وتخزين كافة المخرجات سواء كانت خطية أو شبكية، من خلال أمر الملفات ApUtilities كما في الشكل رقم (11)، وهو ما يسهل عمل الباحثين في ترتيب وتنظيم والرجوع للبيانات بوقت وجهد أقل، وتبدأ أول مراحل التحليل على برنامج Terrain Preprocessing من خلال الأمر Arc Hydro.



شكل (11): نافذة تقوم بإنشاء قاعدة بيانات

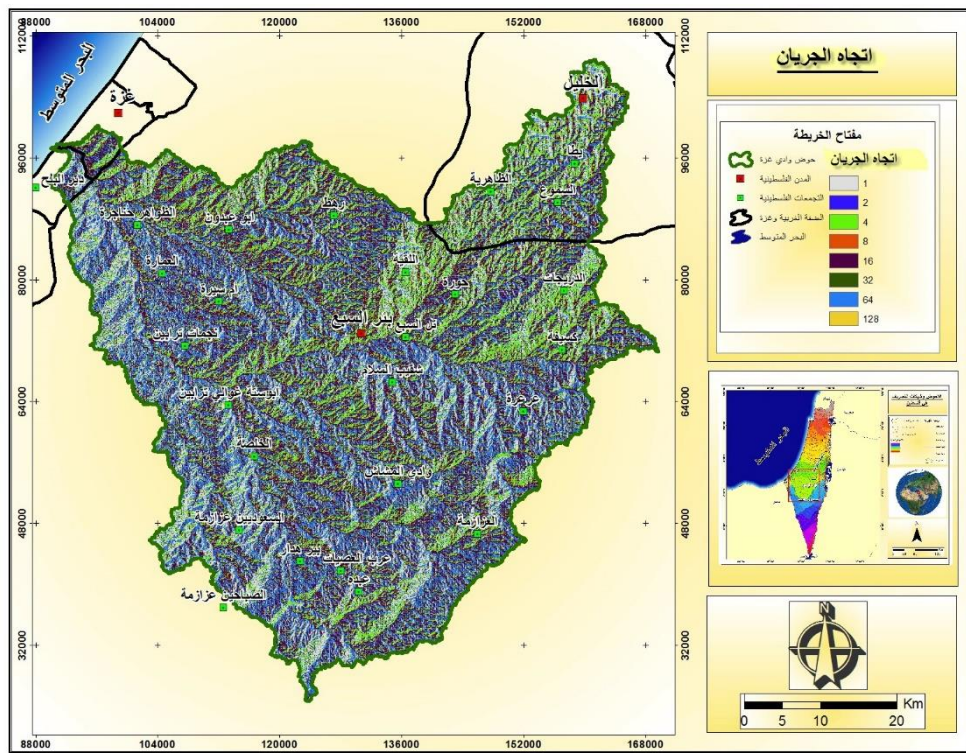
2.3.3 التحليلات التضاريسية المسبقة (Terrain Preprocessing)

من خلال هذه الاداة يبدأ العمل لاستنباط شبكة المجاري المائية بمنطقة الحوض وتحديد الاوحاض الفرعية ونقطة المصب لكل مجرى، ويطلق عليها وظائف تجهيز نموذج الارتفاع الرقمي (DEM)، وهي تستخدم من أجل إعداد المعلومات المكانية لاستخدامها لاحقاً، وتبدأ أولى تلك الخطوات بمعالجة القيم الشاذة Flow Direction، ثم تحديد اتجاه الجريان Fill Sink، كما في الخريطة رقم (12-13)، وتم شرحهما سابقاً، لذا سنتناول الان الى استخراج المجاري المائية وهي كالتالي:



خرائط (12): معالجة القيم الشاذة لمنطقة الدراسة

المصدر: من عمل الباحث.

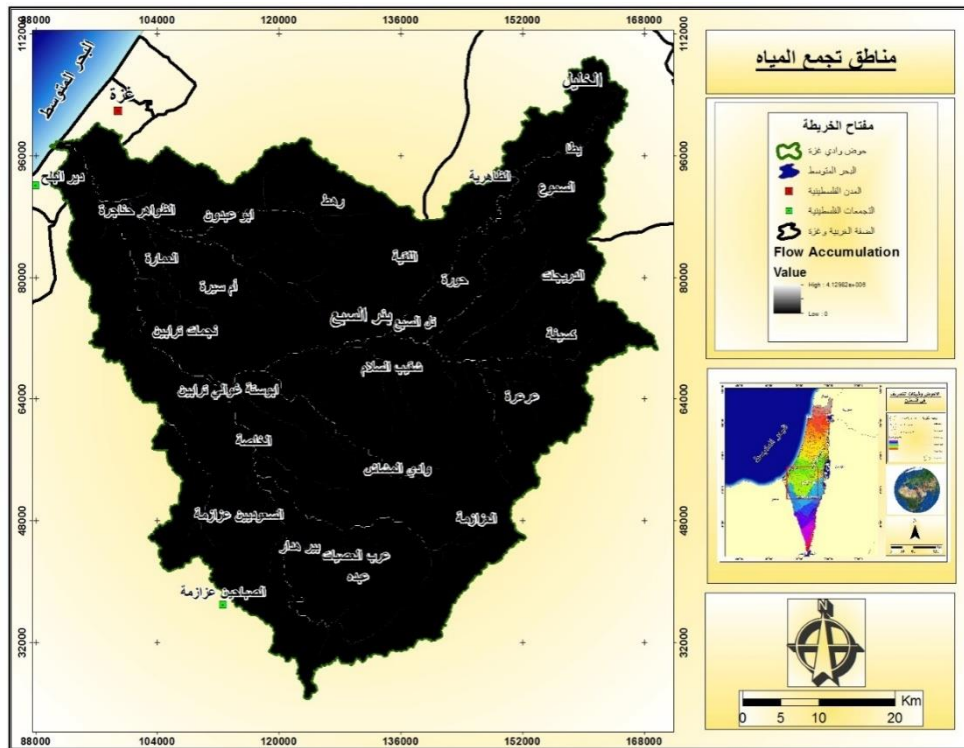


خريطة (13): اتجاه الجريان

المصدر: من عمل الباحث.

1.2.3.3 إنشاء طبقة الرتب النهرية (Flow Accumulation)

حساب الرتب النهرية ومعرفة عدد الرتب النهرية للوادي رقم ذا مدلول على قوة الوادي بالنسبة لجيومرفولوجية وليس بنفس الأهمية بالنسبة للهيدرولوجيا، وكما تعتمد الرتب النهرية على الاودية التي تجتمع فيها المياه للأودية التي تجتمع فيها المياه، ويجب معرفة ان المهم هو الخصائص المورفومترية المتعلقة بالنمذجة الهيدرولوجية مثل برنامج Water modeling System وذلك لعدم أهميتها من الناحية الهيدرولوجية بالإضافة الى عدم وضوحه والاتفاق على طريقة الترتيب، وتقوم أداة تجميع الجريان عند كل خلية بحساب عدد الخلايا التي ستصب المياه فيها، أي أن كل خلية في الملف الشبكي الجديد ستحتوي على عدد الخلايا التي ستتدفق منها المياه الى هذه الخلية، وبالتالي يمكن تحديد شكل المجرى الرئيسي بمنطقة الحوض بالخريطة رقم (14) وتظهر باللون الأبيض.

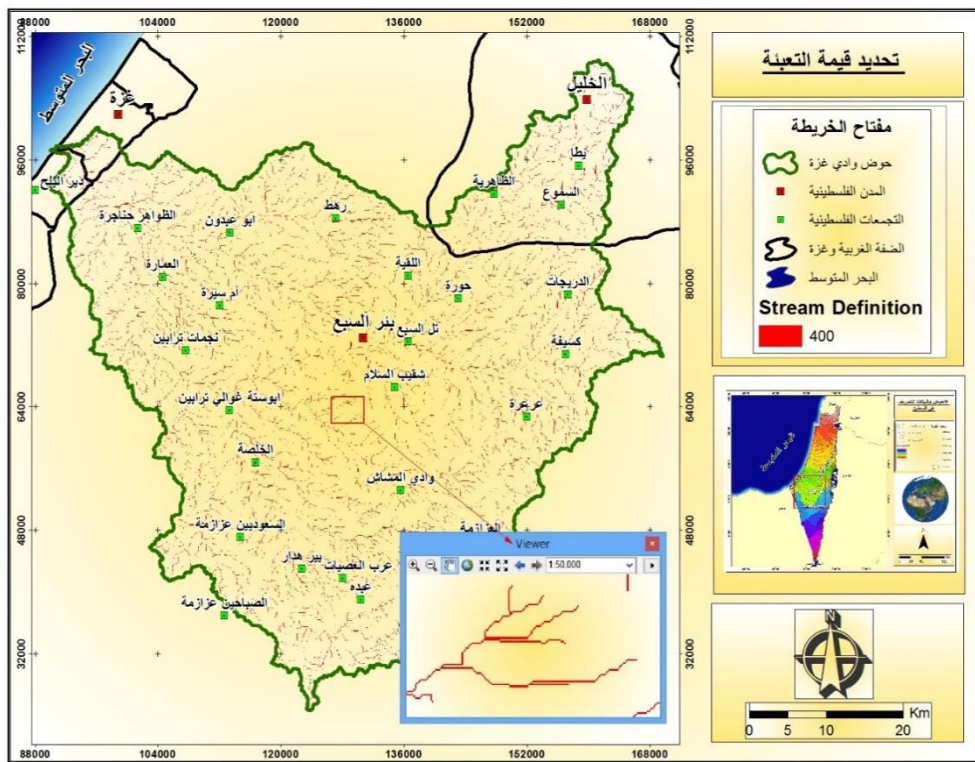


خريطة (14): مناطق تجمع المياه

المصدر: من عمل الباحث.

2.2.3.3 تحديد قيمة العتبة او التحسس (Stream Definition)

وتمثل قيمة العتبة الحد الادنى من الدقة في استخلاص شبكة التصريف من المسارات التي تحدد آليا فيما يتعامل باتجاه الجريان وتجمعاته، وليس هناك قيمة ثابتة للعتبة المشار إليها تصلح لكل حوض مائي، لذلك يجب اجراء العديد من المحاولات التجريبية حتى نقوم بمقارنة نتائج هذا الاسلوب مع شبكة مجار موثوق بصحتها، كشبكة مجري مستخلصة من صور جوية ذات مقياس رسم كبير، إذا فهي تستخدم لتحديد مستوى التفصيل المراد استخراجه لشبكة التصريف بمنطقة الحوض، واجريت العديد من التجارب على منطقة الحوض لتحديد قيمة العتبة الافضل والمطابقة للخرائط الموثقة بالدراسة كما في الخريطة رقم (15)، وتم تحديد قيمة العتبة 400 استخلاص شبكة التصريف بمنطقة الحوض، أي ان كل 400 خلية ستكون رافد من الدرجة الاولى.



خريطة (15): تحديد قيمة التعبئة او التحسس

المصدر: من عمل الباحث.

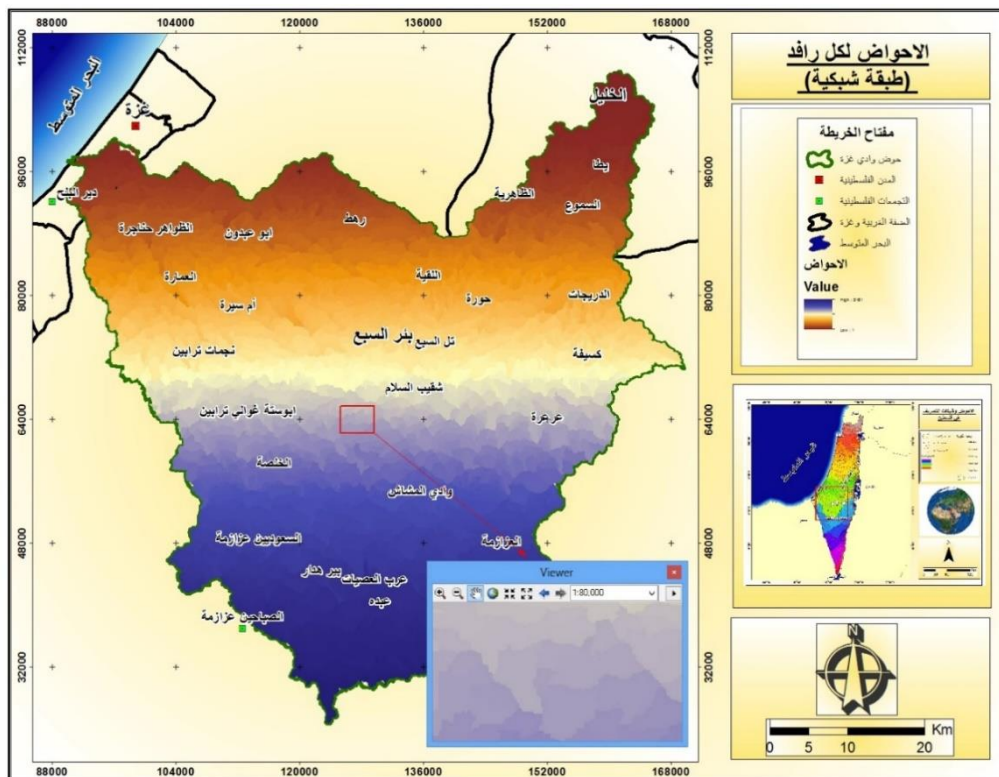
3.2.3.3 تجزئة الجداول Stream Segmentation

يتم بهذه الخطوة تجزئة خطوط الجريان ذات القيمة الموحدة الى خطوط جريان مستقيمة وتكون اطوال هذه الخطوط مقدرة بالخلية¹، وتعتبر من اخر الخطوات في رسم ملامح الشبكة النهرية النهائية بالامتداد الشبكي Raster، وتعتمد عليها الخطوة التي تليها في تحديد مناطق تغذية كل رافد او جزء لوحده.

4.2.3.3 تحديد احواض التغذية لكل رافد catchment grid delineation

تعتمد هذه الخطوة على الخطوة السابقة فعند تجزئة الروافد يبدأ البرنامج بإعطاء كل رافد مجزأ قيمة الرتبة، يبدأ من خلاله في تحديد مناطق التغذية لكل رافد كما توضح الخريطة رقم (16)، وجميعها حتى هذه الخطوة تعتبر بامتداد شبكي.

¹ Nongkynrih, J. Husain, Z. (2011), Morphometric analysis of the Manas river basin using earth observation data and Geographical Information System, international Journal of geometrics & geosciences, 2. (I2): 647 – 654.

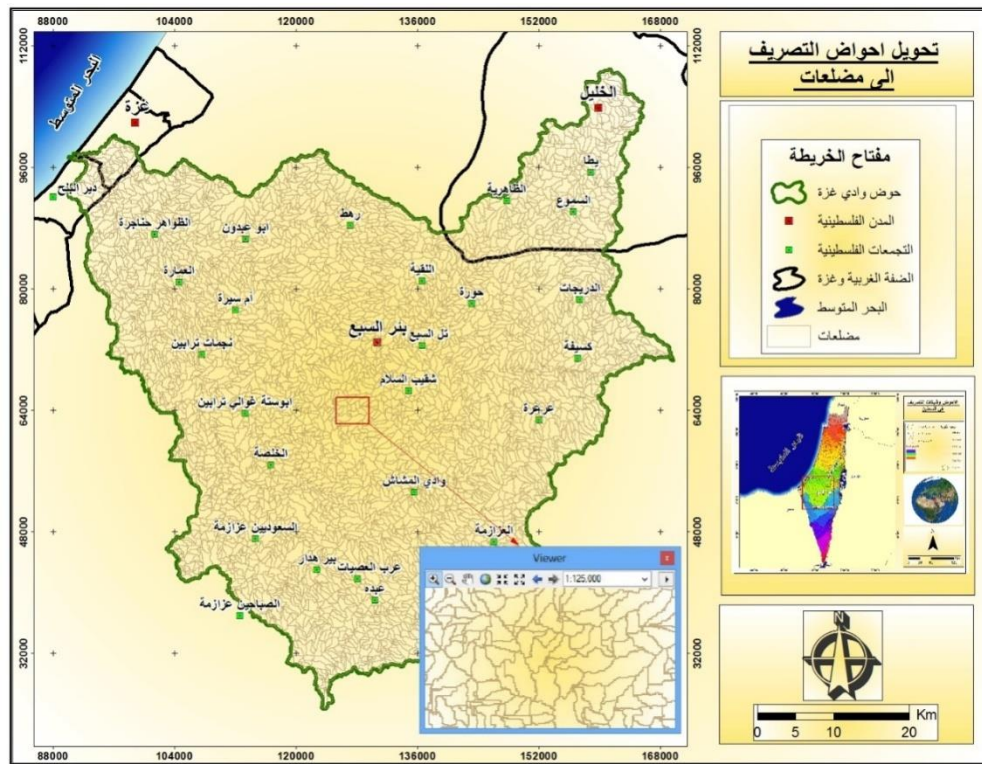


خريطة (16): استخراج الاحواض لكل راقد

المصدر: من عمل الباحث.

5.2.3.3 تحويل الاحواض لمضلعات Catchment Polygon Processing shape File

يبدأ البرنامج في تحويل احواض التغذية لكل راقد من الامتداد الشبكي الى الامتداد الخطى على شكل مضلعات او مساحات كما في الخريطة (17)، ومن خلال هذه الخطوة يقوم البرنامج باستخراج مساحة ومحيط كل راقد حسب الخطوة السابقة.



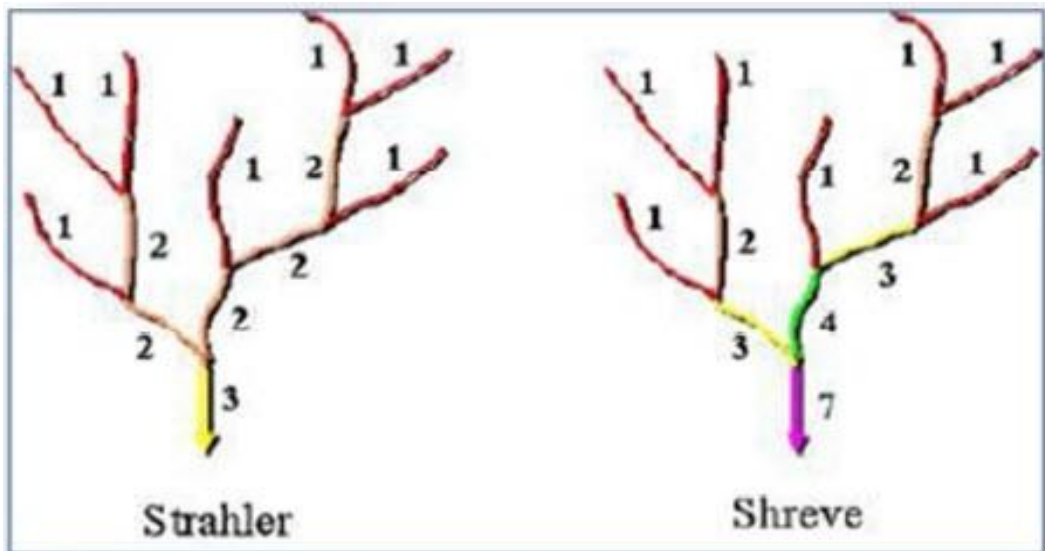
خرائطة (17): تحويل الاحواض من الشبكي الى الخطى

المصدر: من عمل الباحث.

6.2.3.3 استنبطارتب المجرى Stream Orders

نقوم في هذه الخطوة بالذهاب الى Arc Toolbox لاستنبطارتب المجرى لذى نقوم بترك arc hydro لأنه لا يعطي رتبة المجرى، لذلك سننتقل للعمل داخل صندوق الادوات من ثم لأدوات التحميل المكانى Spatial Analyst Tools ونختار ادوات التحليل الهيدرولوجي Stream Orders ثم Hydrology، ويتيح لنا هذا الامر امكانية تصنيف الرتب بمنطقة الحوض حسب كل من ستريلير¹ وشريف كما في الشكل رقم (12)، ونظرا لمرونة طريقة ستريلير المعدلة عن هورتن في التصنيف تم الاعتماد عليها في تصنيف شبكة المجرى بمنطقة الحوض، حيث حددت خصائص الصورة الشبكية الناتجة، ان رتب المجرى بمنطقة الحوض تصل الى الربطة السابعة.

¹ Strahler, A.N. (1952), **Hypsometric Analysis of Erosional Topography**, Bulletin of the Geological Society of America, 67: 571-596.



شكل (12): نموذج سترلير وشريف في تصنیف الرتب النهرية¹

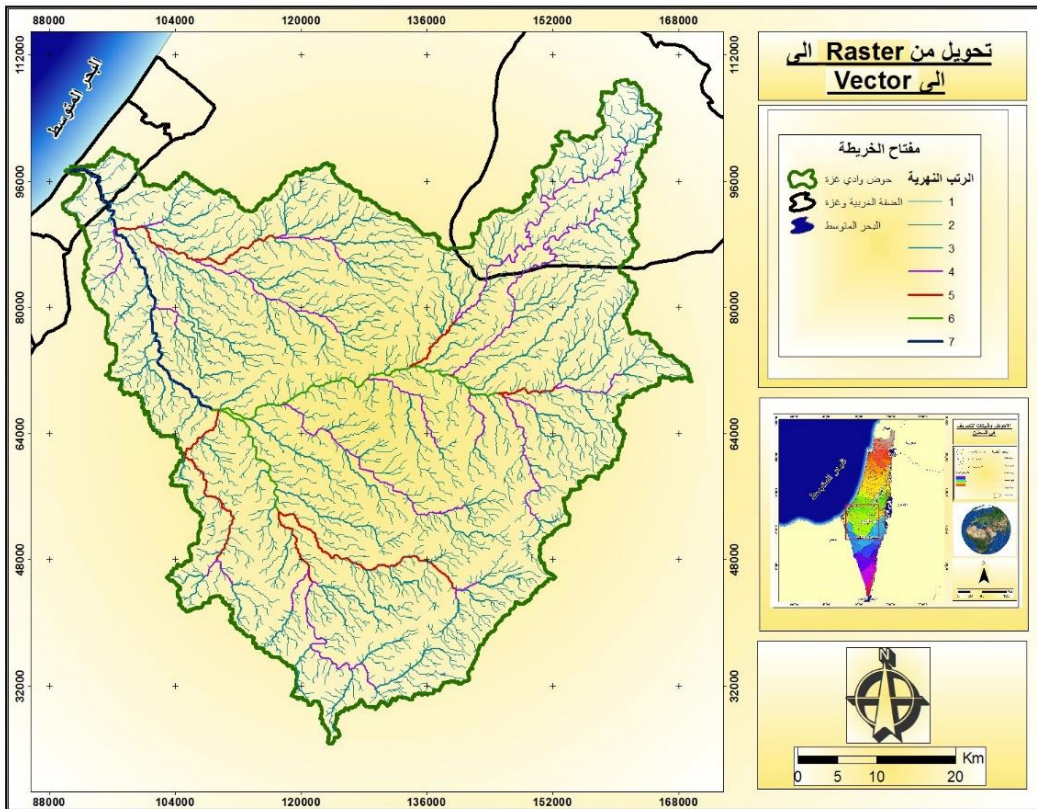
7.2.3.3 تحويل شبكة الرتب الى طبقة خطية (stream to Feature)

يتم تحويل ملف رتب المجاري من الصورة الشبكية Raster الى الصورة الخطية Vector لتصبح طبقة خطوط والخريطة رقم (18) توضح ذلك، حيث نحصل من خلايا على عدد واطوال الرتب بمنطقة الحوض من خلال الامر stream to Feature، وهي الخطوة التابعة للخطوة السابقة، كما يمكن تحويل تلك الطبقة ببرنامج Arc hydro من خلال الامر Drainage Line Processing حيث يؤدي نفس الامر stream to Feature في تحويل ملف الرتب من الصورة الشبكية الى الخطية.

8.2.3.3 تحديد احواض التصريف بطريقة تراكمية Processing Adjoint Catchment

حيث تعمل هذه الاداة على حساب مساحات ومحيطات الاحواض الفرعية بشكل تراكمي وصولا الى مجموع مساحة ومحيط منطقة الحوض، ونحتاج لهذه الخطوة في تحليل الاحواض الفرعية حسب الرتبة، وبدونها لا يمكن استخراج الاحواض الفرعية حسب الرتبة لذلك فهي مهمة في عملية التحميل المكاني.

¹ http://webhelp.esri.com/arcgisdesktop/9.3/printBooks_topics.cfm?pid=6050/2015.

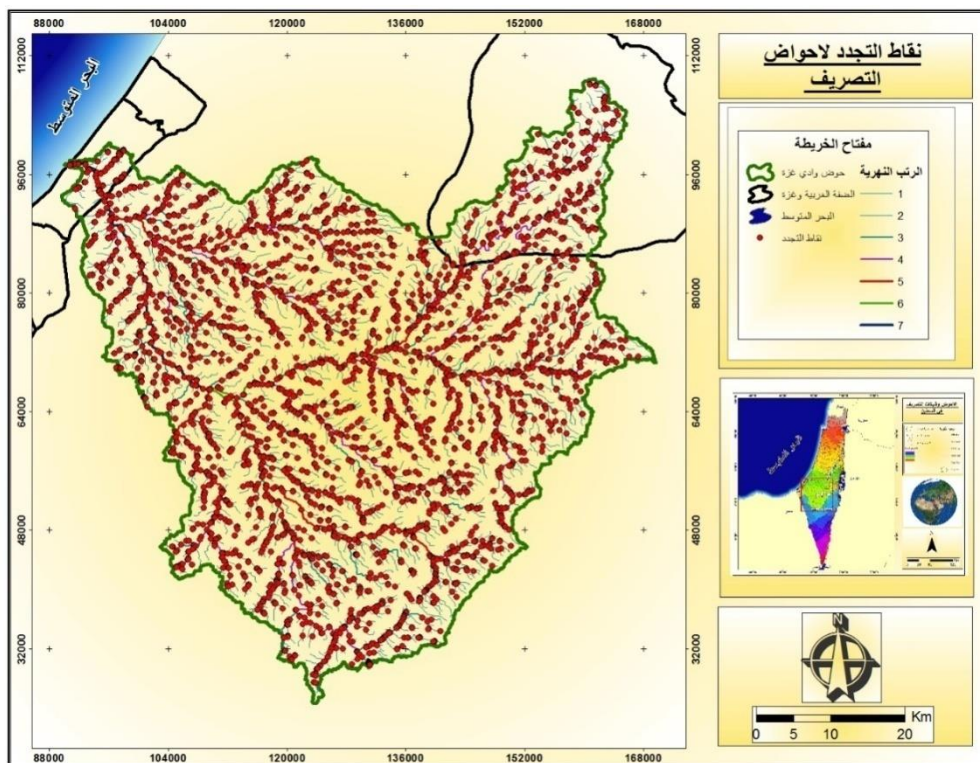


خرائط (18): تحويل المجاري المائية من الملف الشبكي الى الخطى

المصدر: من عمل الباحث.

9.2.3.3 تحديد نقطة المصب لكل حوض Drainage Point Processing

تعمل هذه الخطوة على تحديد نقطة المصب لكل حوض او راوند على حدة (نقطة تجديد)، ويعمل البرنامج على اعطاء كل نقطة تجديد عنوان (ID) داخل قاعدة البيانات تحمل نفس عنوان مستجمعات المياه، مما يسهل عملية تحديد كل راوند مع كل حوض كما في الخريطة .(19)



خريطة (19): نقاط المصب لكل حوض

المصدر: من عمل الباحث.

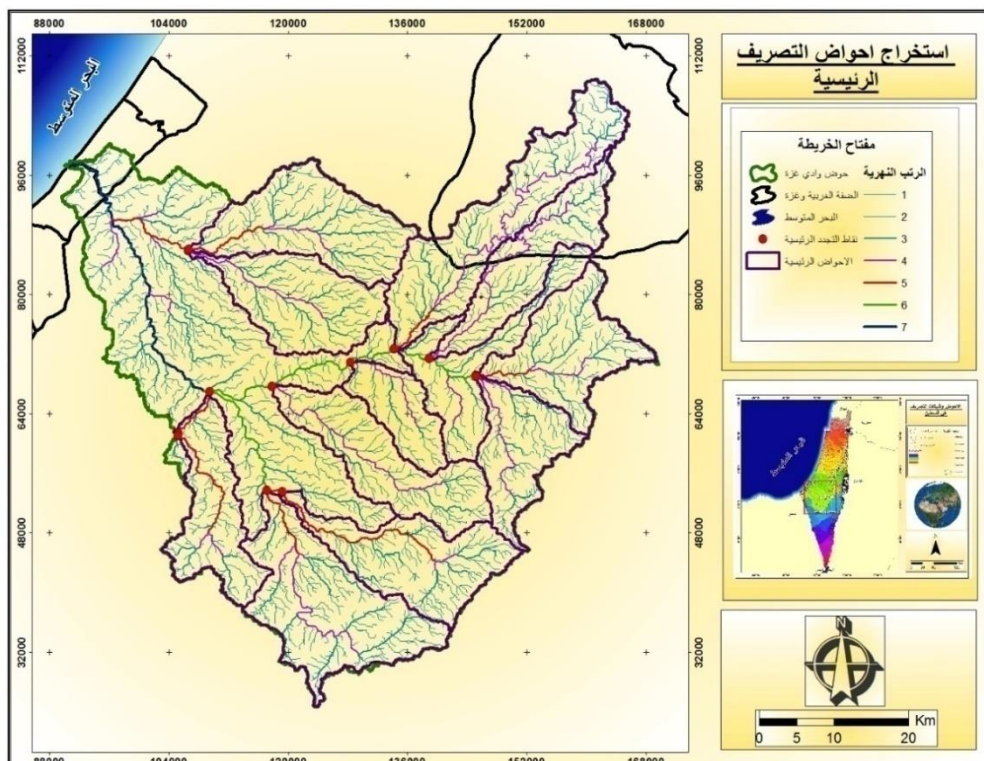
جميع الخطوات السابقة هي من اهم الخطوات في التحليل المكانى لطبقة (DEM)، كما يتحكم البرنامج من خلال اوامر التحليلات التضاريسية Terrain Preprocessing بجميع المدخلات والمخرجات، بتلك الخطوات يعطيك برنامج Arc hydro المعالم والملامح الأساسية للوحض والاحواض الفرعية بدون عامل الرتبة، وللعمل في استخلاص البيانات داخل البرنامج وفق المدخلات والمخرجات التي تحتاجها ننتقل للعمل على اداة تجهيز مستجمعات المياه حسب الرتبة Watershed Processing، وبهذه الخطوات سنستخلص مساحات ومحبيطات احواض الدراسة، ونقاط أدنى واعلى منسوب، واطول المسارات التي تجري فيها المياه بالإضافة لطول الحوض.

4.3.3 تجهيز الاحواض حسب الرتبة

بهذه الخطوة نحن من نتحكم بمدخلات ومخرجات البرنامج، وهي تختلف عن الخطوة التي سبقتها حيث كان البرنامج هو من يتحكم بالمدخلات والمخرجات، وهي كالتالي:

1.4.3.3 تحديد الاحواض Batch Watershed Delineation

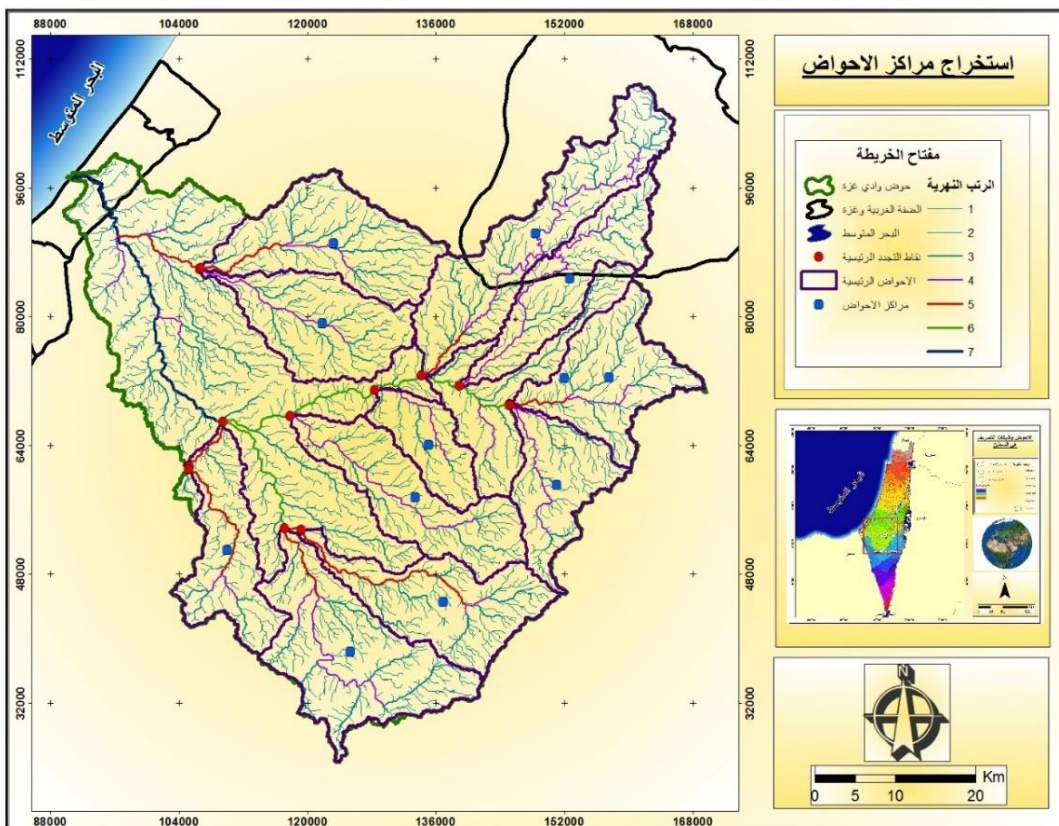
وتبدأ من خلال الايقونة الموجودة على شريط برنامج Arc hydro، ثم نضع Batch Point على نقطة المصب وندخل البيانات المطلوبة ثم نذهب الى الامر تحديد الحوض ثم موافق فنجد ان البرنامج قام بتحديد الحوض بناء على نقطة المصب التي قمنا بإدخالها، ونتبع نفس الخطوات لتحديد باقي الاحواض الرئيسية المشكلة لحوض وادي غزة، مع الاخذ بالحسبان ترتيب الرتبة لكل حوض، والخريطة رقم (20) توضح أحواض الرتبة الرابعة والخامسة والسادسة الرئيسية والمتدالة داخل منطقة الدراسة.



خريطة (20): الاحواض الرئيسية في حوض وادي غزة
المصدر: من عمل الباحث.

2.4.3.3 تحديد مركز الاحواض Drainage Area Centroid

ويتم من خلال هذا الامر تحديد مركز كل حوض كما في الخريطة رقم (21)، ونحتاج لهذه الخطوة في المستقبل لإيجاد طول الحوض، وبدونها لا يمكن استخراج اطوال الاحواض التي تم إنشائها حسب الرتبة.

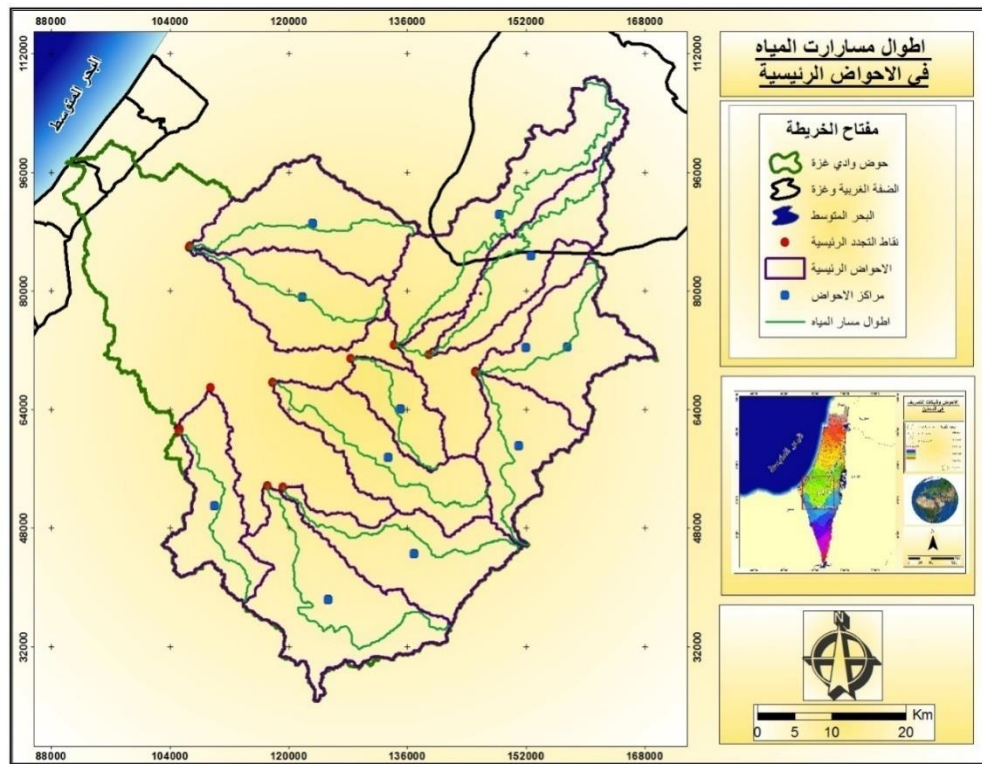


خرطة (21): مراكز الاحواض الرئيسية

المصدر: من عمل الباحث.

3.4.3.3 تحديد أطول مسار المياه لكل حوض Longest Flow Path

تعمل هذه الاداة على تحديد اطول مسار تجري بها المياه داخل كل حوض، ويبدأ من ادنى نقطة (المصب) وينتهي بأعلى نقطة بمنطقة الحوض (المنبع) كما تظهر الخريطة رقم (22) وتعد من الخطوات المهمة التي سيعتمد عليها البرنامج في تحديد طول الحوض، ويتعامل معها البرنامج على هيئة خطوط مع اطوالها داخل الجدول المخصص لنفس الطبقة بالكيلومتر.

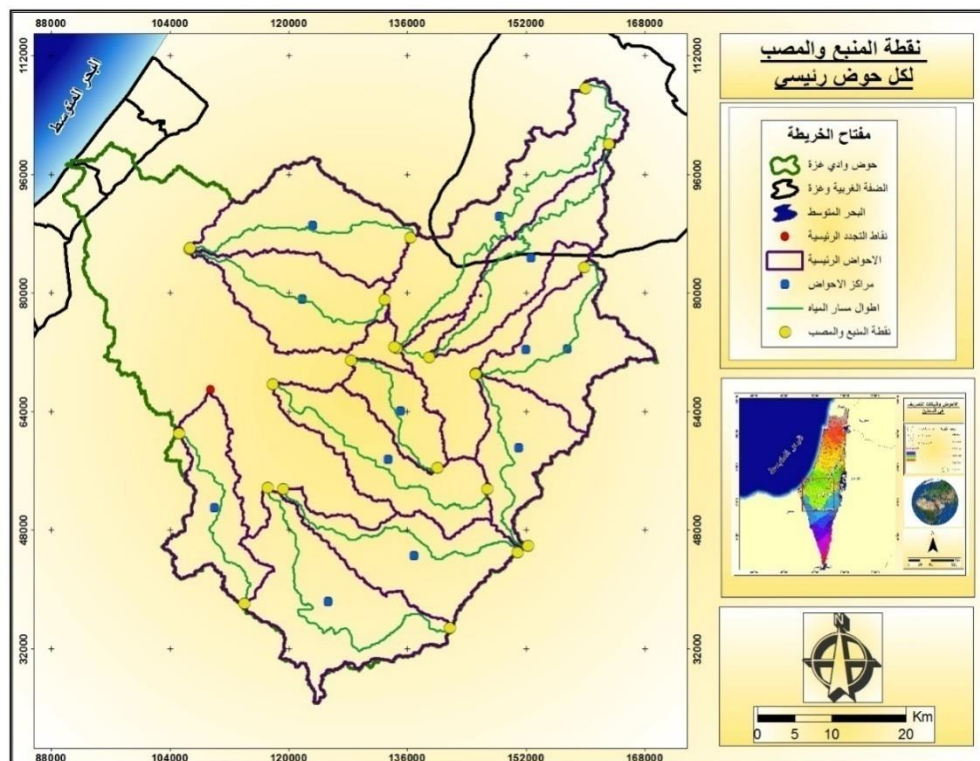


خريطة (22): مسارات المياه داخل الاحواض الرئيسية

المصدر: من عمل الباحث.

4.4.3.3 Basin Length Points

تعتمد هذه الخطوة على الخطوة التي سبقتها في تحديد أعلى نقطة للمنبع وأدنى نقطة للمصب، وتكون النتائج على هيئة نقاط كما في الخريطة رقم (23) معرفة داخل قاعدة البيانات.

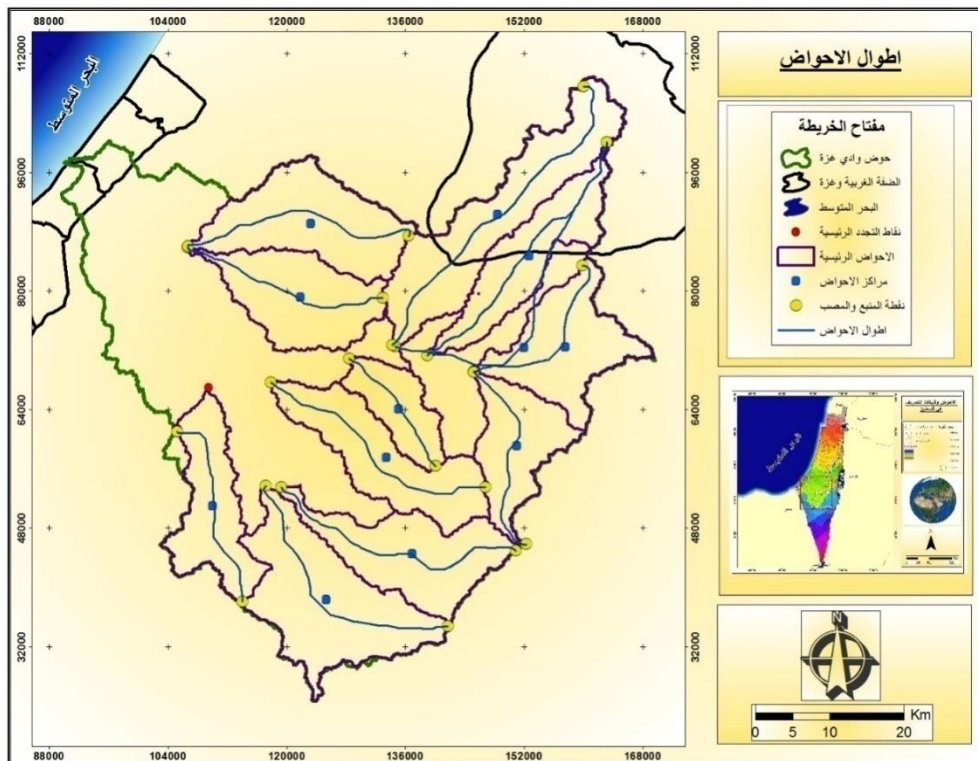


خريطة (23): نقطة المصب والمنبع للأحواض الرئيسية

المصدر: من عمل الباحث.

5.4.3.3 تحديد طول الأحواض Basin Length

يتم تحديد طول الحوض بناء على نقطة المنبع والمصب من الخطوة السابقة، ويعطينا البرنامج اطوال الأحواض بالميل، ومن ثم يتم تحويلها من الميل الى الكيلومتر داخل برنامج Arc GIS كما في الخريطة رقم (24).



خريطة (24): اطوال الاحواض

المصدر: من عمل الباحث.

4.3 التقسيمات الطبيعية للحوض والخرائط التفصيلية

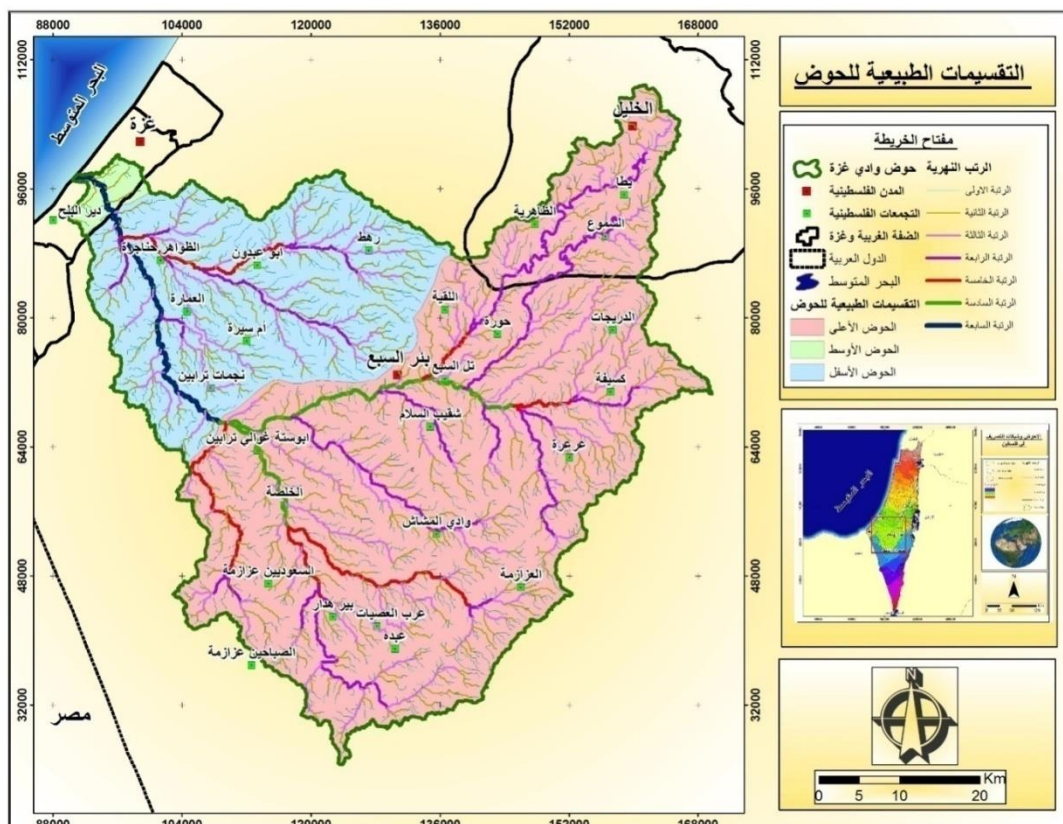
1.4.3 التقسيمات الطبيعية للحوض

أولاً: **منطقة الحوض العلوية**: وهي التي تبدأ من أعلى نقطة على خط تقسيم المياه من منسوب (1020م) فوق سطح البحر لغاية نقطة تجمع الأودية العلوية عند منسوب (220م) كما في الخريطة رقم (25)، وتشمل تلك المساحة الجزء الأعلى من حوض وادي غزة الأكثر نشاطاً للتعرية؛ وذلك لأنها الأكثر عرضة لاستقبال كميات كبيرة من المياه التي تصل إلى 700 ملم، فضلاً عن ذلك فإنها تتميز بتضررها وشدة انحدارها خاصة تلك السفوح الشمالية من الحوض التي يبلغ ارتفاعها (550-1020م)، والسفوح الجنوبية التي تعد جزءاً من مرتفعات النقب التي تعد الأكثر جفافاً في الحوض.

ثانياً: **منطقة الحوض الأوسط**: يتمثل هذا الجزء من الحوض منطقة قليلة الانحدار فهي منطقة شبه مستوية خاصة في المناطق القريبة من منطقة الحوض الأسفل التي تعد منطقة المصب

للحوض، حيث تقل سرعة تدفق المياه بالإضافة إلى تقليل تأثيرها بعملية النحت حيث تصبح غير موجودة في بعض المناطق. وتعتبر تلك المناطق أقل نشاطاً لعوامل التعرية والأكثر عرضة لتأثيرها بمخاطر الانجراف والأكثر تعرضاً لمخاطر السيول الفيضانات؛ وذلك لأنها تمثل المنطقة الأقل انحداراً في الحوض. وتم تقسيم هذا الجزء من الحوض إلى حوضين فرعيين وذلك بناءً على شبكة التصريف النهرية.

ثالثاً: منطقة الحوض الأسفل: وهي منطقة المصب التي تقع داخل حدود قطاع غزة المحاذية لساحل البحر المتوسط، حيث تفقد المنطقة تباينات الارتفاع وهي ذات انحدارات شبه معدومة ومعرضة للفيضانات.



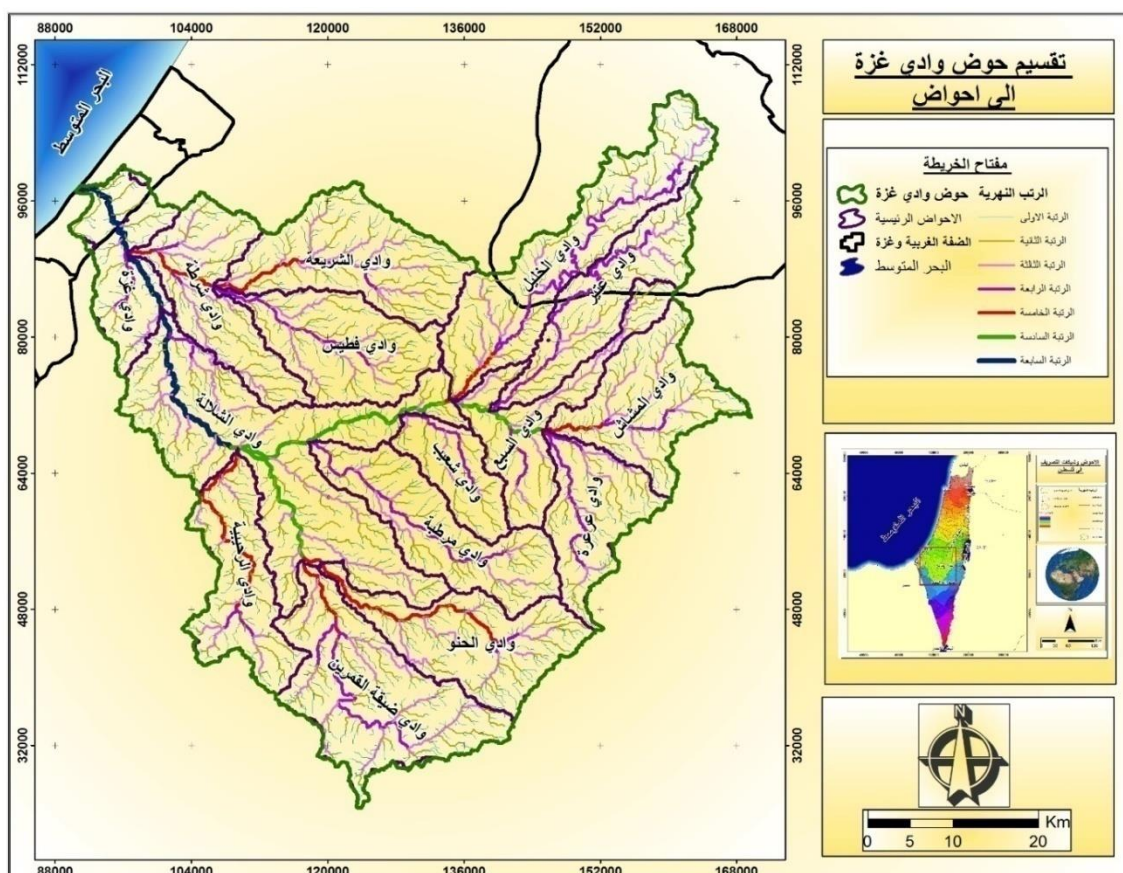
خرطة (25): التقسيمات الطبيعية للحوض

المصدر: عمل الباحث بالاعتماد

- 1-شبكة التصريف النهري للحوض
- 2-بالتعاون مع وزارة التخطيط الفلسطيني
- 3-خرائط فلسطين قبل النكبة، دار المعلم، سخنين، 2008م.
- 4-الخرائط الموجودة في كتاب جيولوجيا فلسطين للكاتب عابد ووشاحي، (1999).

2.4.3 الخرائط التفصيلية للحوض

لكي يتم تفادي التعميم في الخرائط فقد قام الباحث بإنتاج خرائط تفصيلية للحوض وذلك من خلال تقسيم الحوض طبيعياً حسب الرتب النهرية وإنماج خرائط تفصيلية لكل حوض على حدا كما في الخريطة رقم (26)، حيث تم الاعتماد على الخرائط القديمة التي تعود إلى الدولة العثمانية والاحتلال البريطاني؛ وذلك لتنشيط الوجود الفلسطيني داخل فلسطين التاريخية، نظراً لقيام الاحتلال الإسرائيلي بالسيطرة الشبه كافية لمنطقة الدراسة، والذي بدوره قام بتغيير أسماء الموقع وتهويدها.



خريطة (26): التقسيمات الطبيعية للحوض

المصدر: من عمل الباحث بالاعتماد

1-شبكة التصريف النهري للحوض

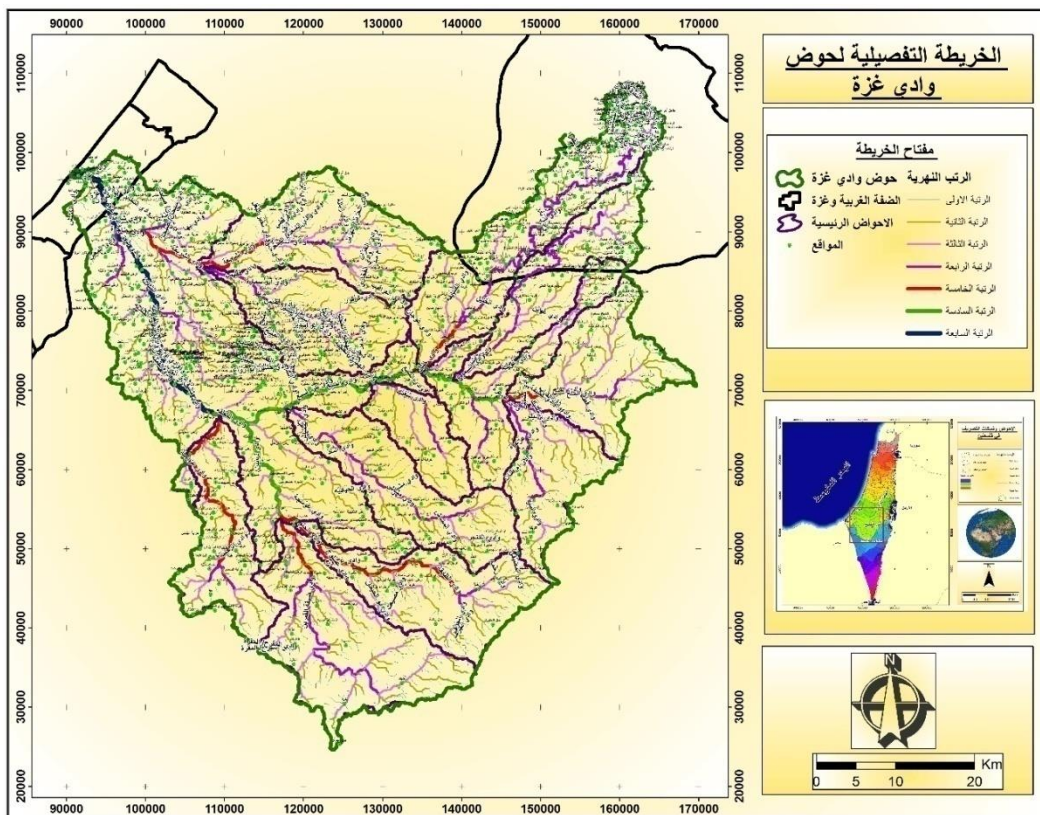
2-بالتعاون مع وزارة التخطيط الفلسطيني

وبالتعاون مع وزارة التخطيط الفلسطيني فقد أمكن تسمية المواقع داخل الحوض بالأسماء الفلسطينية التي هجر أهلها في مراحل الشتات التي تعرضت لها فلسطين التاريخية بعد سنة 1948م، وتم تسمية الوديان بالتسميات المحلية للقبائل والقرى التي كانت تسكن منطقة الدراسة قبل مراحل الشتات، حيث تم الاعتماد على الخرائط ذات المقاييس المختلفة (1:1000 - 1:100000) والتي تعود إلى العهد العثماني والاحتلال البريطاني لإنتاج خرائط تفصيلية تخلو من الأسماء الإسرائيلية ودمج الخرائط واسقاطها على الموقع والوديان داخل الحوض، والخريطة رقم (27) والجدول رقم (6) يوضح ذلك. (الملحق رقم (2))

جدول (6): الأقسام الرئيسية لحوض وادي غزة

رقم الملحق	النسبة %	المساحة كم ²	التصنيمات الرئيسية لحوض	الرقم
الحوض الاعلى				
ملحق (1)	9	321	جزء من حوض وادي الخليل	1
	5.4	193	حوض وادي عتير أو السموع	2
	6	216	حوض وادي المشاش	3
	4.6	166	حوض وادي عرارة	4
	6.5	233	حوض وادي مرطبة	5
	6.6	239	حوض وادي الحنو	6
	9.2	331	حوض وادي ضيقه القمرین	7
	5.5	196	حوض وادي الرحيبة	8
	4.9	174.9	حوض وادي السبع الاسفل	9
	3.1	107	حوض وادي شعيب	10
الحوض الأوسط				
ملحق (1)	15.6	559	حوض وادي الشلاله الأسفل	11
	5.6	201	حوض وادي شرطة	12
	7.4	264	جزء من حوض حوض وادي الشريعة	13
	6.2	220	وادي شرطة حوض وادي فطيس	14
الحوض الأسفل				
ملحق (1)	4.4	159	حوض وادي غزة الأسفل	15
	100	3579.9	المجموع	

المصدر: بالتعاون مع وزارة التخطيط الفلسطيني.



خريطة (27): الخريطة التفصيلية لحوض وادي غزة
المصدر: من عمل الباحث بالتعاون مع وزارة التخطيط الفلسطيني.

الخلاصة

يعتمد نظم المعلومات الجغرافية على نوعين من البيانات (Raster و Vector)، حيث تقدم هذه الدراسة نتائج تحويل البيانات المكانية (Raster) إلى بيانات رقمية لتضاريس السطح من خلال نموذج الارتفاع الرقمي DEM، وذلك بالاعتماد على نظام التحويل من التمثيل الشبكي إلى التمثيل الخطى، لاستخراج أحواض التصريف ومعرفة ابعاد الكميمية وشبكة التصريف بمنطقة الحوض والتي يترتب عملياً تطبيق وتحميل كافة المتغيرات المورفومترية، لأنها ذو قدرة كبيرة على جمع وتنظيم وتخزين البيانات مع إمكانية عرضها بسهولة، وإخراج خرائط ذات دقة عالية يستطيعون من خلالها الباحثون اثراء دراساتهم الطبيعية وخاصة الجيومفورولوجية.

ومن خلال هذا الفصل تم تقسيم حوض وادي غزة إلى 15 حوض ثانوي، لإعطاء نتائج دقيقة تكون مرجع للباحثين، حيث ان الجزء الاكبر من الحوض يقع داخل فلسطين 48، وتم الاعتماد على خرائط تعود إلى العهد العثماني والبريطاني لتبني الموقع بالأسماء الفلسطينية التي كانت تقطن منطقة الدراسة قبل سنة 1948م.

الفصل الرابع

الخصائص المورفومترية والشبكية لحوض وادي غزة

1.4 تطبيق المتغيرات المورفومترية والشبكية

2.4 مساحة وابعاد الاحواض

3.4 الخصائص الشكلية

4.4 الخصائص التضاريسية

5.4 الخصائص المورفومترية لشبكة الصرف المائي

الفصل الرابع

الخصائص المورفومترية والشبكية لحوض وادي غزة

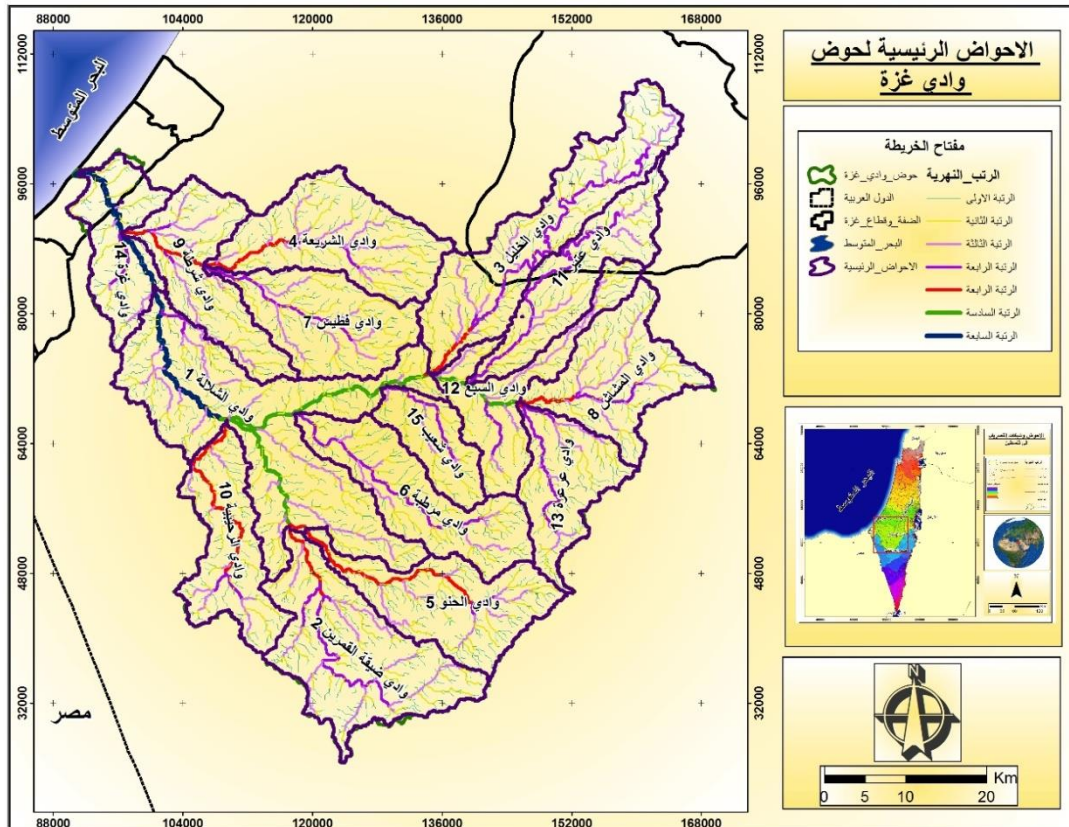
تمهيد

تمثل الدراسات المورفومترية أحد الاتجاهات الحديثة لدراسة الأحواض النهرية، لذا يعد حوض الصرف النهري الوحدة الأساسية لإجراء البحوث الكمية لأحواض الأنهر ويعد قياس الصفات الطبيعية للنظم النهرية أو الأودية من التطورات الحديثة في حقل الجيومورفولوجيا لكمية التي تعتمد على التحليل الإحصائي والرياضي لوصف الإشكال الأرضية¹، حيث تساعد الدراسات المورفومترية على تحديد شكل الحوض والمرحلة الحية للأحواض والمظاهر الأرضية التي تتطور عنها نتيجة التباين في عمليتي الحت والتربيب، فضلاً عن إمكانية الاستفادة من هذه الدراسات في اهتمامات علمية تطبيقية، كصيانة التربة وإدارة الموارد المائية، وفي الكثير من المنشآت الهندسية، ويمكن أن تعالج وتحلل ضمن مجموعة من القوانين التي تستند في أغلبها على قوانين هورتون التي نشرها عام 1945. لاسيما اعتماد الطرائق الأخرى التي جاء بها العديد من الباحثين أمثال ملر 1952 وستريلر 1958 وشوم 1956، حيث اظهرت تلك الدراسات أن الخصائص المورفومترية للأحواض النهرية هي نتاج العوامل الطبيعية²، وحسب تصنيفاتها المورفومترية الكمية سواء المساحية منها أو الشبكية والتضاريسية، وبنطبيق تلك المتغيرات على حوض وادي غزة نجد أن الحوض ينتهي بالرتبة السابعة حسب تصنيف ستريير، ونظراً لكبر الحوض الذي يعد أكبر الأحواض داخل فلسطين وتعدد روافده، فقد عمل الباحث إلى دراسة الحوض بشكل مستقل ومن ثم دراسة الأحواض الجزئية حسب عامل الرتب النهرية، فبلغ مجموع عدد الأحواض الجزئية للرتب داخل الحوض 3788 حوض، وقد قسم حوض وادي غزة إلى أحواض رئيسية وثانوية بالاعتماد على المراتب النهرية وضم هذا التقسيم

¹ احمد علي حسن البيواتي، (1995)، حوض وادي العجيج من العراق واستخدامات أشكاله الأرضية، أطروحة دكتوراه، (غير منشورة)، جامعة بغداد، كلية الآداب، ص 61.

² التوم، صبري محمد، (2011)، *التحليل الجيومورفولوجي للخصائص المورفومترية للجزء الأعلى من حوض وادي الرمدين وحوض نهر تكالا*، مجلة العلوم الإنسانية، جامعة البحرين، العدد 20، ص 238.

15 حوض، ومن خلال الخريطة رقم (28) تظهر بان الباحث قد قسم الحوض الى أحواض صرف مستقلة بهدف انتاج خرائط تفصيلية بعيدة عن نسبة التعميم للخرائط التي اكبر من 1:200000، وقد تم استخراج أحواض الرتب السادس والخامسة والرابعة والثالثة بهدف الوصول إلى تحليل كمي تفصيلي لمنطقة الدراسة وذلك لأن هذه الأحواض تعبر عن الخصائص المورفومترية لحوض وادي غزة ويمكن تعميمها على الحوض.



خريطة (28): تقسيم حوض وادي غزة

المصدر: من عمل الباحث بالأعتماد 1-شبكة التصريف النهري للحوض. 2-بالتعاون مع وزارة التخطيط الفلسطيني.

1.4 قوانين المتغيرات المورفومترية والشبكية

أ- الخصائص الشكلية

1- محیطات الأحواض (كم) (Basin Perimeter)

تم الاعتماد على تقنية نظم المعلومات الجغرافية في استخراج محیطات الأحواض من خلال طبقة نموذج الارتفاع الرقمي (DEM).

2- مساحات الاحواض (كم²) (Areas Basin)

تعمل تقنية نظم المعلومات الجغرافية على استخراج المساحات الحوضية من نموذج الارتفاع الرقمي.

3- اطوال الاحواض كم. (Length Basin)

تتيح اداة القياس Measurements داخل تقنية نظم المعلومات قياس اطوال الاحواض، ويتميز برنامج Arc Hydro باستخراج اطوال الاحواض بناء على نقطة المنبع والمصب مرورا بمركز الحوض، حيث تم الاعتماد عليه في استخلاص اطوال الاحواض.

4- متوسط عرض الاحواض كم. (Mean Basin Width)

يمكن الحصول عليها بالمعادلة التالية:¹

$$W = A/L$$

$W = \text{متوسط عرض الحوض، } A = \text{مساحة الحوض (كم}^2\text{)، } L = \text{طول الحوض (كم).}$

5- معامل الاستطالة (Basin Elongation)

قطر دائرة مساحتها تكافئ مساحة الحوض (كم²)

طول الحوض (كم)

وتحسب وفق المعادلة التالية:²

$$E = \frac{\sqrt[2]{A} * 1.128}{LB}$$

¹ Thomas, D. Benson, M. (1970), Generalization of Stream flow Characteristics From Drainage-Basin Characteristics, Geological Server Water-Supply, Library of Congress catalog-card No. 77: 1-55.

² Gregory, K.J. & Walling, D.E. (1973), Drainage Basin From and Process Geomorphological approach, Edward Arnold, London, p 60.

$A = \text{المساحة (كم}^2\text{)} \cdot 1.128$ ، نسبة تقريبية ثابتة، $LB = \text{طول الحوض (كم)}$.

6- معامل الاستدارة (Circularity Ratio)

$$\text{معامل الاستدارة} = \frac{\text{مساحة الحوض (كم}^2\text{)}}{\text{مساحة دائرة محيطها مساوى لمحيط الحوض (كم}^2\text{)}}$$

وتم استخلاصها من المعادلة التالية:¹

$$Rc = 12.57 * \left(\frac{A}{P^2} \right)$$

$Rc = \text{معامل الاستدارة}$ ، $12.57 = \text{رقم ثابت}$ ، $A = \text{المساحة (كم}^2\text{)}$ ، $P = \text{محيط الحوض (كم)}$.

7- معامل الشكل (Form Factor)

نحصل عليها من خلال المعادلة التالية:²:

$$F = \frac{A}{L^2}$$

$F = \text{معامل الشكل}$ ، $A = \text{مساحة الحوض (كم}^2\text{)}$ ، $L = \text{طول الحوض (كم)}$.

8- معامل الاندماج (Compactness Coefficient)

وتحسب وفق المعادلة التالية:³:

$$Cc = 0.2841 * \frac{P}{A^{0.5}}$$

$Cc = \text{معامل الاندماج}$ ، $0.2841 = \text{رقم ثابت}$ ، $P = \text{محيط الحوض (كم)}$ ، $A = \text{مساحة الحوض (كم}^2\text{)}$.

¹ Pareta, K. Pareta, U. (2012), **Quantitative Geomorphological Analysis of a Watershed of Ravi River Basin**, H.P. India, International Journal of Remote Sensing and GIS, 1, I (1) : 47-62.

² Gregory, K.J. & Walling, D.E. (1973), **Drainage Basin Form and Process Geomorphological approach**, Edward Arnold, London.

³ Pareta, K. Pareta, U. (2011), **Hydro morphological Study of Karawan Watershed Using GIS and Remote Sensing Techniques**, E-International Scientific Research Journal, III. I, (4): 243-268.

9- معامل الانبعاج (Lemniscate Ration)

ويتم استخلاصها من المعادلة التالية:¹

$$K = \frac{L^2}{4A}$$

K = معامل الانبعاج، L = طول الحوض (كم)، A = المساحة (كم²).

بـ-الخصائص التضاريسية

1- اقصى الارتفاع (Maximum Elevation)

هو أعلى منسوب على خط تقسيم المياه وتمثل بمنابع أحواض التصريف، وتتيح تقنية نظم المعلومات الجغرافية امكانية استبطاط ارتفاع أي نقطة من خلال نموذج الارتفاع الرقمي.

2- أدنى الارتفاع (Minimum Elevation)

وهو أدنى منسوب في الحوض ويمثل عادة مصب الحوض النهري.

3- درجة الانحدار (Degree of slope)

اتاحت تقنية نظم المعلومات الجغرافية امكانية دراسة اشكال السطح وعمل تصنيف لثلاث الاشكال، وصنفت فئات الانحدار بمنطقة الحوض الى سبع فئات حسب تصنيف يونج للانحدار بالدرجة (young,1972).

4- نسبة التضرس (Relief Ratio)

ويتم استخلاصها من المعادلة التالية:²

¹ Gregory, K.J. & Walling, D.E. (1973), **Drainage Basin Form and Process Geomorphological approach**, Edward Arnold, London.

² Etaz, R. (1995), **Drainage basine**, Initiation of Channels and Drainage Network, Chapter 5: p 152.

$$Rh = \frac{H}{L}$$

Rh = نسبة التضرس، H = تضاريس الحوض (متر)، L = طول الحوض (كم).

5- التضاريس النسبية (Relative Relief)

وتحسب وفق المعادلة التالية:¹

$$Rhp = \frac{H}{P}$$

Rhp = التضاريس النسبية، H = تضرس الحوض (متر) (فرق الارتفاع)، P = محيط الحوض (كم)

6- قيمة الوعورة (Ruggedness Number)

يمكن الحصول عليها بالمعادلة التالية:²

$$Rn = Dd * \left(\frac{H}{1000} \right)$$

Rn = قيمة الوعورة، Dd = الكثافة التصريفية، H = تضرس الحوض (متر) (فرق الارتفاع)

7- معدل النسيج الطبوغرافي (Texture Ratio)

وتحسب وفق المعادلة التالية:³

$$Rt = \frac{Nu}{p}$$

¹ Gregory, K.J. & Walling, D.E. (1973), **Drainage Basin From and Process Geomorphological approach**, Edward Arnold, London, p 60.

² Pareta, K. Pareta, U. (2011), **Hydro morphological Study of Karawan Watershed Using GIS and Remote Sensing Techniques**, E-International Scientific Research Journal, III. I, (4): p 264.

³ Horton, R.E. (1945), **Erosional development of streams and their drainage basins: Hydrophysical approach to quantitative morphology**, Geological Society of America Bull 56: p 286.

Rt =النسيج الطبوغرافي، Nu =مجموع اعداد المجرى، p =محيط الحوض (كم)

8- المنحني الهيسومترى (Hypsometric Analysis)

يعتمد المنحني الهيسومترى في حساباته على العلاقة بين النسب المساحية المحصورة في

ارتفاعات محددة لخطوط الكنتو¹.

المعامل الهيسومترى = الارتفاع النسبي

المساحة النسبية

ج- الخصائص المورفومترية للشبكة المائية

1- رتبة و عدد المجرى (Stream Order)

تم تصنیف رتبة المجرى بمنطقة الحوض حسب تصنیف ستريلير والمعدلة عن هورتون 1945م، وتتلخص طریقة ستريلير في ان كل رافذ ليس له رافذ يشكل مرتبة اولی، ومع التقاء كل رافدين من المرتبة الاولی يعطی مرتبة ثانية، وهكذا ودخول رافذ من مرتبة أدنی على مرتبة اعلى لا يؤثر على الترتيب الاعلى مثلا دخول مرتبة ثانية على رابعة.

2- نسبة التشعب (Bifurcation Ratio)

يتم استخلاصها وفق المعادلة التالية:²

$$Rb = \frac{No}{No_{+1}}$$

Rb =نسبة التشعب، No =عدد الرواڤد لرتبة ما، No_{+1} = عدد الرواڤد بالمرتبة التي تعلوها.

¹ Strahler, A.N. (1957), Quantitative Analysis Watershed Geomorphology, Transactions, American Geophysical Union, 38, (6): p 919.

² Etaz, R. (1995), Drainage basine, Initiation of Channels and Drainage Network, Chapter 5: p 152.

3- اطوال ومتوسط المجرى حسب الرتبة (Stream Order Length)

وهي تتمثل بالمعادلة التالية:¹

$$\frac{\text{مجموع اطوال المجرى بالرتبة}(\text{كم})}{\text{عدد المجرى بنفس الرتبة}}$$

4- تكرارية المجرى (Stream Frequency)

وستخرج وفق المعادلة التالية:²

$$Fs = \frac{Nu}{A}$$

. = تكرارية المجرى، Nu = عدد المجرى، A = مساحة (كم²) .

5- كثافة التصريف (Drainage Density)

يمكن الحصول عليها بالمعادلة التالية:³

$$Dd = \frac{\sum Lu}{A}$$

. = كثافة التصريف، Lu = اطوال المجرى (كم)، A = مساحة (كم²) .

6- معدل بقاء المجرى (Constant of Channel Maintenance)

ويتم استخلاصها من المعادلة التالية:

¹ Horton, R.E. (1945), **Erosional development of streams and their drainage basins: Hydrophysical approach to quantitative morphology**, Geological Society of America Bull 56: p 291.

² Horton, R.E. (1945), **Erosional development of streams and their drainage basins: Hydrophysical approach to quantitative morphology**, Geological Society of America Bull 56: p 285.

³ Horton, R.E. (1945), **Erosional development of streams and their drainage basins: Hydrophysical approach to quantitative morphology**, Geological Society of America Bull 56: p 283.

$$C = \frac{1}{Dd}$$

يعبر هذا المقياس عن متوسط المساحة الازمة لتغذية الوحدة الطولية من مجاري الشبكة وهو بهذا المعنى مقلوب جري لكتافة التصريف.¹

7 - شدة التصريف (Drainage Intensity)

وتحسب وفق المعادلة التالية:²

$$Di = \frac{Fs}{Dd}$$

Di = شدة الصرف، Fs = تكرارية المجاري، Dd = كثافة التصريف.

8 - رقم الترشيح (Infiltration Number)

وتحسب وفق المعادلة التالية:³

$$If = Fs * Dd$$

If = رقم الترشيح، Fs = تكرارية المجاري، Dd = كثافة التصريف.

2.4 الخصائص المساحية والشكلية

تظهر أهمية دراسة الخصائص المساحية والشكلية من خلال ارتباطها المباشر بالعوامل الطبيعية المتمثلة بالبنية الجيولوجية وطبيعة الصخور والمناخ، وان الأحواض النهرية التي

¹ Schumm, S.A. (1956), **Evolution of Drainage Systems & Slopes in Badlands at Perth Amboy**, New Jersey, Bulletin of the Geological Society of America, 67: p 605.

² Pareta, K. Pareta, U. (2011), **Hydro morphological Study of Karawan Watershed Using GIS and Remote Sensing Techniques**, E-International Scientific Research Journal, III. I, (4): p 264.

³ Pareta, K. Pareta, U. (2011), **Hydro morphological Study of Karawan Watershed Using GIS and Remote Sensing Techniques**, E-International Scientific Research Journal, III. I, (4): p 264.

تشابه في خصائصها الشكلية، لا بد وان تتمثل في خصائصها الجيومورفولوجية الأخرى، لأن مثل هذا التشابه لا بد أن ينبع عن العمليات الجيومورفولوجية نفسها¹.

تتناول الدراسة الخصائص المساحية والشكلية لحوض وادي غزة على النحو الآتي:

1.2.4 الخصائص المساحية (Area Characteristics)

أن لمساحة الحوض أهمية كبيرة ، لأنها تؤثر بشكل مباشر في حجم الجريان المائي، ومن الطبيعي أن تباين الأحواض المائية في مساحاتها؛ وذلك تبعاً لتباين عدد من العوامل منها المناخ السائد وتتنوع الصخور والحركات الأرضية والتضاريس والزمن وعوامل أخرى كالعوامل البشرية، كما إن الأحواض المائية تميل إلى الزيادة في مساحاتها، مع زيادة نشاط الحت المائي في ظل أحوال مناخية رطبة لاسيما إذا كانت الصخور لينة يسهل حتها، فحواض وادي غزة يعد من الأحواض المائية كبيرة المساحة، وهو من الأودية الموسمية الذي يصرف مياهه في الجهة الشرقية من الوادي في البحر المتوسط. ان الحوض يجري في منطقة متباعدة في الوحدات الجيولوجية الجيومورفولوجية، وتبلغ مساحة حوض وادي غزة (3579.9 كم²) والوحض يتكون من 15 حوض ما بين الرئيسية والثانوية تتباين في مساحتها، كما في الجدول رقم (7) والخرائط رقم (29)، إذ صفت مساحات الأحواض إلى ثلاثة أصناف، وقد احتلت الأحواض التي تشكل مساحتها أكبر 221 كم² المرتبة الأولى، بينما احتلت الأحواض التي مساحتها بين 161 – 221 كم² المرتبة الثانية، في حين احتل حوض وادي غزة الأسفل ووادي شعيب المرتبة الأخيرة في التصنيف، ومن جدول (9) يتبين ان مساحة الحوض الاول بلغت (1940.8 كم²) الذي يمثل نسبة مئوية بلغت(54.2%) من مجموع مساحة الحوض الكلية الذي يتكون من الحوض الأول والثاني والثالث والرابع والخامس والسادس (529.6 كم²)، (341.9 كم²)، (324.2 كم²)، (264.8 كم²)، (239.8 كم²)، (237.4 كم²) على التوالي والذي يمثل (6.5%)، (7.4%)، (9%)، (9.3%)، (14.8%) على التوالي من مساحة

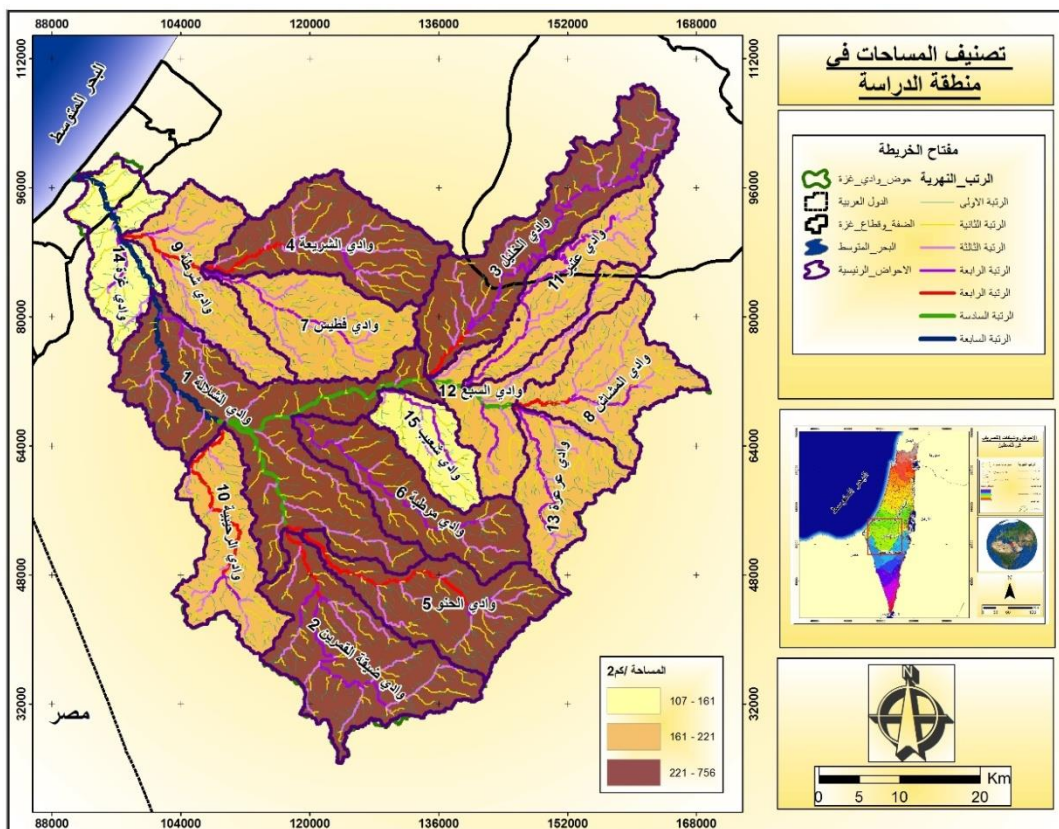
¹ حسن رمضان سلامة، (1982)، *الخصائص الشكلية ودلائلها الجيومورفولوجية*، نشرة دورية تصدر عن قسم الجغرافية، جامعة الكويت، الجمعية الجغرافية الكويتية، العدد (43)، الكويت، ص 5-6.

الحوض الكلية، وبلغت مساحة الأحواض التي تشكل التصنيف الثاني (1352.5 كم²) 37.8%) الذي يتكون من الحوض سابع والثامن والتاسع والعشر والحادي عشر والثاني عشر والثالث عشر (220.4 كم²، (216.9 كم²)، (201.9 كم²) ، (196.3 كم²)، (193.5 كم²، 5.5%)، (180.2 كم²) على التوالي والذي يمثل (6.2%) ، (% 6.1)، (% 5.6)، (166.3 كم²) على التوالي اما التصنيف الثالث الذي بلغ اقل مساحة في الاحواض حيث بلغت مساحته (286.5 كم²) وبنسبة (8%) الذي يتكون من الحوض الرابع عشر والخامس عشر (159.2 كم²)، (107.4 كم²) على التوالي الذي يمثل (4.5%) على التوالي من مساحة الحوض الكلية.

جدول (7): الخصائص المساحية للأحواض الثانوية في حوض وادي غزة

رقم الحوض	اسم الحوض	المساحة كم ²	النسبة %	طول المحيط / كم
1	وادي الشلالات	529.6	14.8	290
2	وادي ضيق القمرین	341.9	9.3	150
3	وادي الخليل	324.2	9	169
4	وادي الشريعة	264.8	7.4	119
5	وادي الحنو	239.8	6.7	131
6	وادي مرطبة	237.4	6.5	128
7	وادي فطيس	220.4	6.2	109
8	وادي المشاس	216.9	6.1	117
9	وادي شرطة	201.9	5.6	127
10	وادي الرحيبة	196.3	5.5	124
11	وادي عتير	193.5	5.4	129
12	وادي السبع	180.2	5	163
13	وادي عرعرة	166.3	4.7	102
14	وادي غزة	159.2	4.5	111
15	وادي شعيب	107.4	3.3	73
اجمالي الحوض				2042

المصدر: عمل الباحث بالاستعانة بخرائط (DEM) لتقسيم الاحواض.



خريطة (29): تصنیف المساحات للأحواض الرئیسیة

المصدر: عمل الباحث.

1.1.2.4 مساحة أحواض الرتبة السادسة

تشكل 69.9 % من إجمالي مساحة الحوض، وتشمل حوضين موزعين على حوض المرتبة السابعة كما هو موضح في الجدول رقم (8) والخريطة رقم (30)، وبلغ مجموع مساحة الحوضين (62.9 كم²) من إجمالي مساحة الحوض، ويتراوح مساحة الحوضين (925.7 - 1575.8 كم²) بمتوسط قدرة (325 كم²)، وهو ما يعكس تفاوت مساحات الحوضين.

جدول (8): عدد ومساحات أحواض الرتب العلية بمنطقة الحوض

الرتبة	عدد الأحواض	مجموع المساحات كم ²	المتوسط كم ²	الانحراف المعياري	أدنى قيمة كم ²	أعلى قيمة كم ²
3	93	1916	20.6	13.9	4.2	62.9
4	18	2325.6	129.2	77	1.5	260.1
5	7	2159.5	305.5	189	36	686.8
6	2	2501.6	1250.8	325	925.7	1575.8
7	1	3579.9	-	-	-	-

المصدر: عمل الباحث من خلال تحليل شبكات التصريفية.

2.1.2.4 مساحة أحواض الرتبة الخامسة

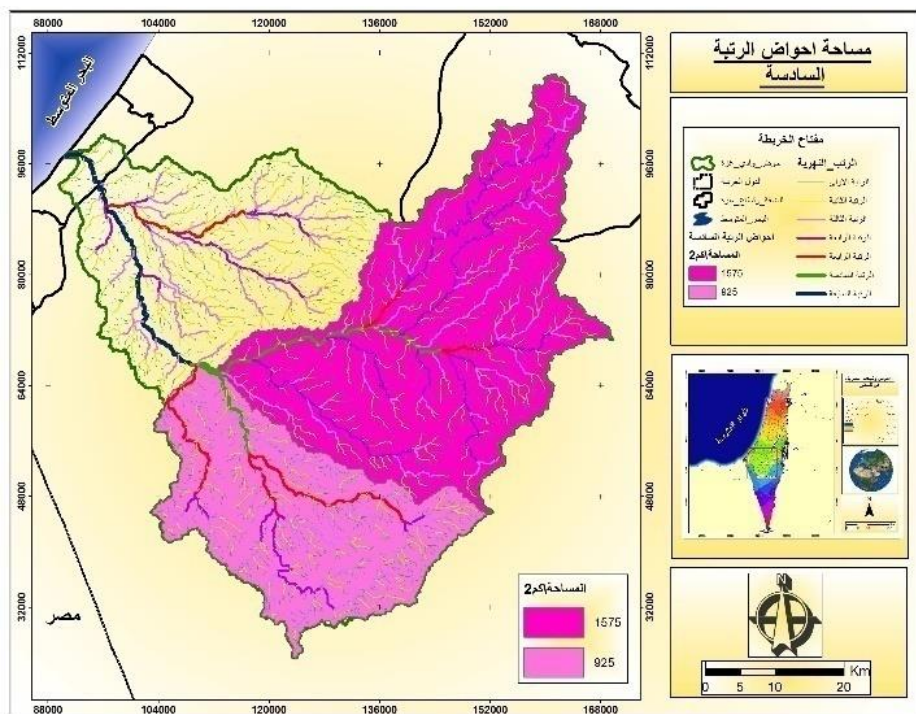
تكونت من 7 أحواض، وشكلت 60.3 % من مساحة الحوض الإجمالية، بمتوسط 189 كم²، واتضح ان مساحات الاحواض لمرتبة الخامسة الأعلى من 400 كم² شكلت ما يقارب 31.8 % من احواض نفس الرتبة كما هو موضح في الخريطة رقم (31)، ويعود ذلك الاختلاف في مساحات الاحواض الى طبيعة ونوعية الصخر التي يتكون منها الحوض والعامل البنائي بالإضافة الى درجة الانحدار.

3.1.2.4 مساحة أحواض الرتبة الرابعة

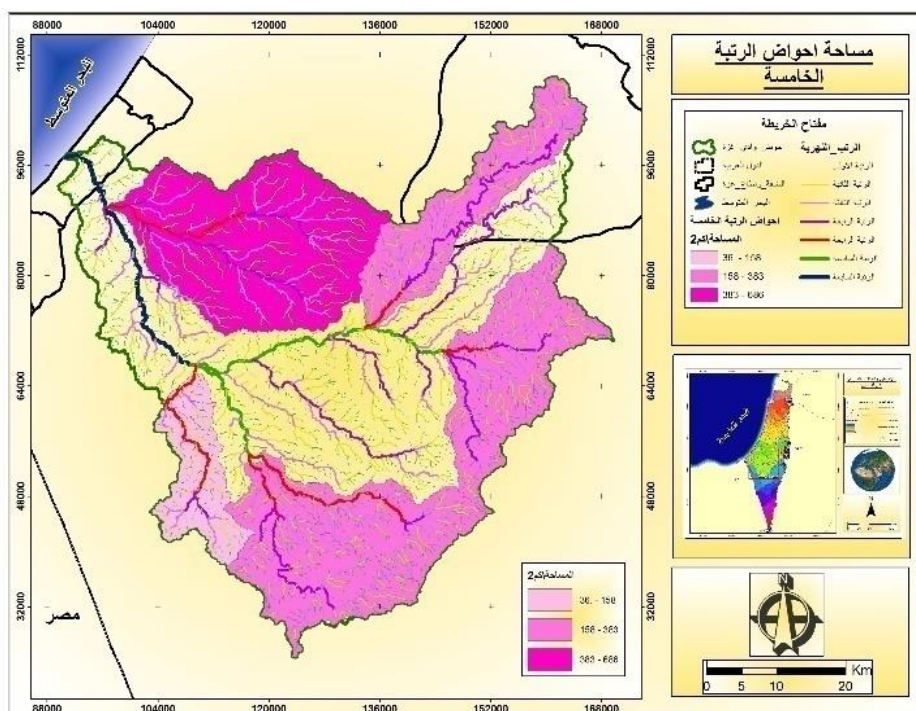
تنتشر احواض المرتبة الرابعة في جميع اجزاء الحوض فمن خلال الخريطة رقم (32) نلاحظ ان اغلب تلك الاحواض ملاصقة لخط تقسي المياه بمنطقة الحوض والاحواض المجاورة لمنطقة حوض وادي غزة، لذلك فهي تعكس اهمية الرتب الدنيا في تطور العمليات الجيومورفولوجية داخل الحوض، عدد احواض الرتبة الثالثة 18 حوض بمساحة 2325.6 كم² وتشكل 64.9 % من إجمالي مساحة الحوض، وبمتوسط قدرة 129.2 كم².

4.1.2.4 مساحة أحواض الرتبة الثالثة

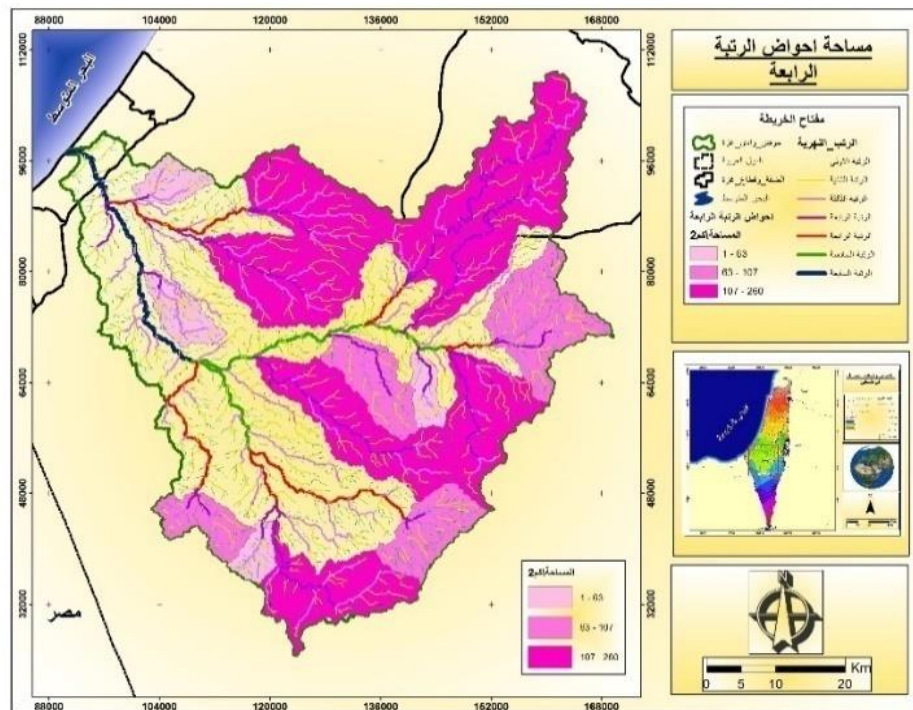
بلغت المساحة الإجمالية لأحواض المرتبة الثانية 1916 كم² بنسبة 11 % من إجمالي مساحة الحوض، اما عدد الاحواض داخل منطقة الحوض فكانت 93 حوض الخريطة رقم .(33)



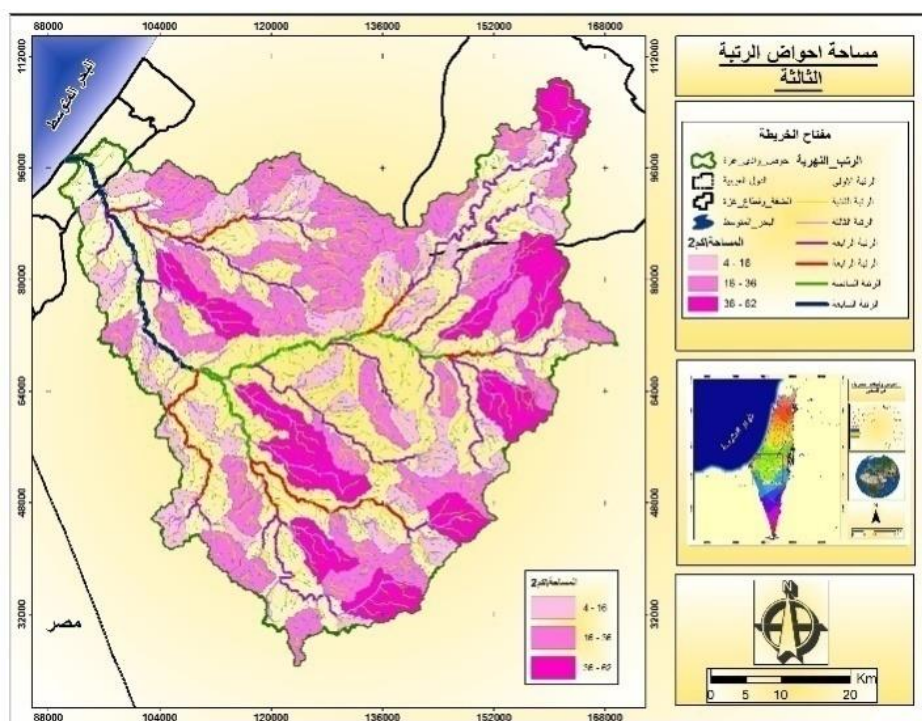
خرطة (30): مساحة احواض الرتبة السادسة



خرطة (31): مساحة احواض الرتبة الخامسة



خريطة (32): مساحة أحواض الرتبة الرابعة



خريطة (33): مساحة أحواض الرتبة الثالثة

2.2.4 أبعاد الأحواض

تشتمل أبعاد الأحواض على البعد الطولي والبعد العرضي وكما يأتي:

(Length Basins) 1.2.2.4 أطوال الأحواض

يمثل طول الحوض أحد المتغيرات المورفومترية المهمة التي ترتبط بالعديد من الخصائص الأخرى الخاصة بحوض الصرف، ويتحدد بخط يمتد فيما بين نقطة المصب النهري وحتى أعلى نقطة ضمن منطقة تقسيم المياه بأعلى النهر، كما وتناسب معدلات التسرب والبخر مع طول الحوض تناضلاً طردياً، وذلك لتباطؤ سرعة المياه الجارية بالاتجاه نحو مخرج الحوض، بسبب قمة انحدار السطح واتساع القنوات والمجاري المائية، يوجد العديد من الطرق لقياس طول الحوض وإن كان أشهرها طريقة كل من جريجوري وونج وهي متمثلة بقياس الخط الواصل بين المصب وأقصى نقطة تقع على محيط الحوض¹، أما طريقة شوم فيعبر عنها بالمسافة الممتدة من مصب المجرى الرئيس حتى بعد نقطة على محيطة، على أن يوازي هذا الخط المجرى الرئيس²، تم الاعتماد في تحديد الطول على طريقة شوم، وقد بلغ طول حوض وادي غزة 137.26 كم، الجدول رقم (9).

(Basins Width) 2.2.2.4 عرض الأحواض

المقصود بعرض الحوض هو المساحة المستقيمة العرضية ما بين ابعد نقطتين على محيط الحوض، حيث يؤدي عرض الحوض دوراً هاماً في تحديد شكل الحوض بالإضافة لارتباطه بالعديد من الظاهرات المورفومترية ويؤثر هذا المقياس على كمية استقبال المطر والجريان والتسرب وكذلك التبخر والنتح وكلما زاد عرض الحوض زاد استقباله للمطر وبالتالي زاد الجريان السطحي³، حيث بلغ متوسط عرض حوض وادي غزة (26.08 كم) لذا نجد متوسط عرضه كبير جداً بالنسبة لطوله.

¹ Gregory, K.J. & Walling, D.E. (1973), **Drainage Basin From and Process Geomorphological approach**, Edward Arnold, London. p 40.

² Schumm, S.A. (1956), **Evolution of Drainage Systems & Slopes in Badlands at Perth Anboy**, New Jersey, Bulletin of the Geological Society of America: p 597-646..

³ محسوب، محمد صبري، (1997)، **جيومرفلوجية الأشكال الأرضية**، دار الفكر العربي، القاهرة، ص 259

3.2.2.4 المحيط الحوضي (Basin Circumscription)

يمثل المحيط الحوضي خط تقسيم المياه بين الحوض وما يجاوره من أحواض أخرى، يستعمل هذا العامل لتوضيح مدى انتشار الحوض واتساعه، إذ كلما زاد طول محيط الحوض ازداد انتشاره وتوسيعه، وازداد تطوره الجيومورفولوجي، وبلغ محيط حوض وادي غزة نحو (414 كم).

جدول (9): متوسط ابعاد أحواض التصريف بالمراتب المختلفة

الرتبة	الاوحاض	الطول ا كم	العرض ا كم	المحيط ا كم
الرتبة الثالثة	29.7	8.86	2.4	
الرتبة الرابعة	82.5	22.5	5.7	
الرتبة الخامسة	135.2	34.6	8.8	
الرتبة السادسة	285.7	68.6	18.2	

المصدر: بالاعتماد على برنامج Arc hydro واداة Arc GIS 10.1.

3.2.4 الخصائص الشكلية (Form Characteristics)

ان الدراسة التطبيقية المورفومترية لسمات شكل الحوض لها اهميتها، لأنها تقيد في قياس معدلات أحت المائي، ومن خلال معرفة كمية المياه المؤثرة في تجهيز الماء الى المجرى الرئيس، وتحكمه بذروة التصريف المائي، ودلالة خطر الفيضان، مما له تأثير متفاوت في الاشكال الارضية الناتجة، ومساحة أحواضها¹.

تقارن أشكال الأحواض المائية عادة بأشكال هندسية مختلفة، مثل الشكل المستدير، والشكل المستطيل، والشكل المثلث. ولشكل الحوض تأثير كبير على تصريف المياه، وسرعة وصولها الى المصب الرئيسي. ان حوض النهر يمكن ان يكون دائرياً، وهذا شكل تصل مياهه من الفروع الى المصب الرئيسي في الوقت نفسه. فعندما تأتي عاصفة مطرية فإنها تغطي الحوض المستدير في مدة زمنية قصيرة، ومن ثم فانه سيحدث ارتفاع سريع في منسوب المياه

¹ M G. Anderson .Modeling Geomorphological System .New York. Jon Wiley & sons 1988. p 100.

ويصل التصريف الى ذروته في مدة قصيرة¹، وتمتاز الأشكال الحوضية المستطيلة جريان مائية منظم زمانيا، وبكمية تصريف قليلة، بسبب تعرض الموجات التصريفية الى عاملين التسرب والتبخّر خلال الجريان من المنبع الى المصب²، اذ تحتاج الى مدة زمنية أطول لكي تغطي العاصفة المطرية. وقد يكون شكل الحوض مثلاً، وهنا توجد حالتان لشكل الحوض المثلث:

الأولى: إذا كان رأس المثلث يمثل منطقة المصب، وفي هذه الحالة تصل مياهه متsequبة ولمدة زمنية طويلة، لأن في مثل هذه الحالة يحتاج الى مدة زمنية طويلة كي تصل مياهه الى نقطة المصب، نظراً بعد الجداول والمسيرات عن المصب الرئيس.

الثانية: إذا كانت قاعدة المثلث تمثل نقطة المصب، وفي هذه الحالة تصل مياهه الى المصب الرئيس بشكل سريع، وذلك نظراً لقرب الجداول والمسيرات من المصب الرئيس ومن ثم فان منسوب المياه يرتفع بشكل سريع، ويصل التصريف الى ذروته في وقت قصير³، توجد العديد من الطرق لقياس شكل الحوض، على الرغم من ان الكثير منها يؤدي الى نفس المدلول الجيومورفولوجي أو الهيدرولوجي، فهناك نسبة تماسك المساحة، ونسبة تماسك المحيط، ومعدل الاستطالة وجميعها تشير الى مدى اقتراب او ابعاد شكل الحوض عن شكل الدائري، أما معامل شكل الحوض فهو يشير الى مدى اقتراب او ابعاد الحوض من الشكل الثلاثي (المثلث).

1.3.2.4 نسبة تماسك المساحة (Circularity Ratio)

تشير هذه النسبة الى معرفة شكل الحوض ويعني ارتفاع القيم باتجاه الواحد الصحيح اقتراب شكل الحوض من الدائرة، وعكس ذلك كلما ابتعدت عنه⁴. تشير الأحواض المائية

¹ ام، أي، ولسون، (1983)، **الهيدرولوجيا الهندسية**، ترجمة نزار علي السبتي، لبيب خليل اسماعيل، مطبعة جامعة البصرة، ط 2، ص 151.

² ازاد جلال شريف، (2000)، **هيدرومورفومترية حوض نهر الخابور**، مجلة الجمعية الجغرافية العراقية، العدد (43)، بغداد، ص 183.

³ Gregory K .J. &D .E. Walling, (1973), Drainage basin, form & process, a geomorphological approach, Edward Arnold,London..P51.

⁴ مهدي الصحاف، وكاظم موسى، (1990)، **هيدرومورفومترية حوض رافد الخوارص، دراسة في الجيومورفولوجي التطبيقية**، مجلة الجمعية الجغرافية العراقية، العددان (24+25) مطبعة العاني، بغداد، ص 39.

المستديرة شكل إلى تقدم دورتها الحتية ويعود ذلك إلى ميل الانهار إلى حفر وعمق مجاريها قبل توسيعها، أما القيم المنخفضة فتعني ابتعاد الحوض عن شكل الدائري واقترابه من شكل المستطيل، ويعني ذلك عدم انتظام خطوط تقسيم المياه المحيطة بالحوض النهرى مما له تأثير في إطالة المجاري المائية.

وبلغت نتيجة معامل الاستدارة لحوض وادي غزة (0.26) وهي قيمة بعيدة عن المتوسط وهي تشير إلى تعرج خطوط تقسيم المياه للحوض والاحواض المجاورة، وتعبر القيمة الاستدارة لحوض وادي غزة عن ابتعاد الحوض عن الاتزان في دورته التحتانية، ويرجع ذلك إلى ارتفاع قيمة محيط الحوض الذي بلغت (414 كم) وطبيعة الصخور السائدة التي تتميز بقدرها على مقاومة عمليات التعرية المائية، فيما اختلفت قيم الاستدارة لأحواض الرتبة السادسة والخامسة عن أحواض الرتبة الرابعة والثالثة فبلغت قيمة متوسط الاستدارة لأحواض الرتبة السادسة والخامسة بمتوسط قدرة (0.19) وهي قيمة منخفضة تشير إلى ابتعادها عن الشكل الدائري وقربها أكثر إلى الشكل المستطيل، الجدول رقم (10)، أي ان أحواض المرتبة الخامسة والسادسة تتميز بعدم انتظام خطوط تقسيم المياه وان الدورة الحتية ما زالت تقوم بعملها، الخريطة رقم (34،35)، وبلغت قيمة معامل الاستدارة للرتبة الرابعة بمتوسط (0.23) وهي بعيدة عن الشكل الدائري والرتبة الثالثة بمتوسط (0.28) فهي أقرب الرتب إلى الشكل الدائري حيث شكلت الفئة (0.33 - 0.43) أكثر من 25% كما في الخريطة رقم (36،37).

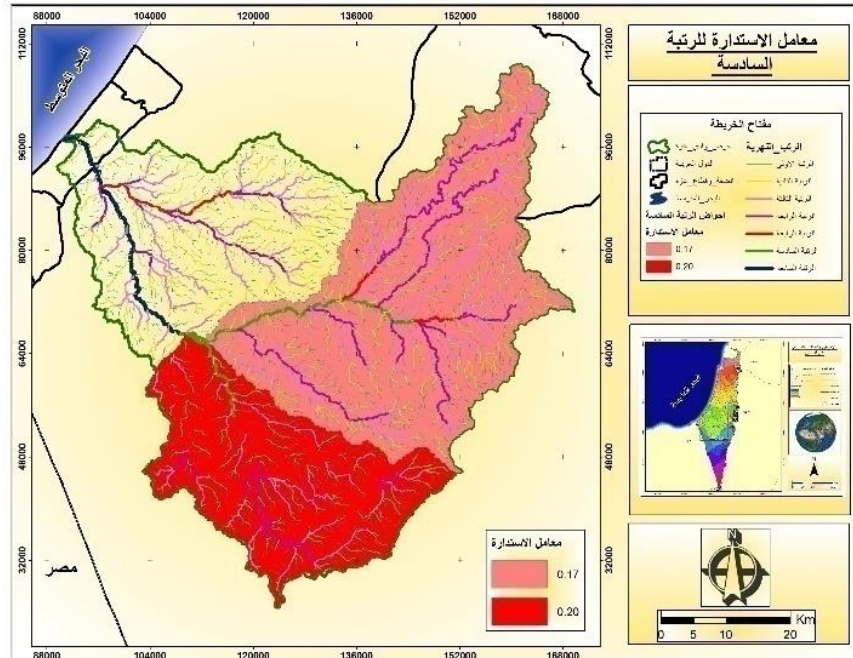
جدول (10): متوسطات الخصائص الشكلية للحوض

معامل الشكل	معامل الاستطاللة	معامل الاندماج	الاستدارة	الأحواض
0.28	0.59	2.30	0.19	الرتبة السادسة
0.015	0.13	2.32	0.19	الرتبة الخامسة
0.27	0.57	2.12	0.23	الرتبة الرابعة
0.29	0.59	1.91	0.28	الرتبة الثالثة

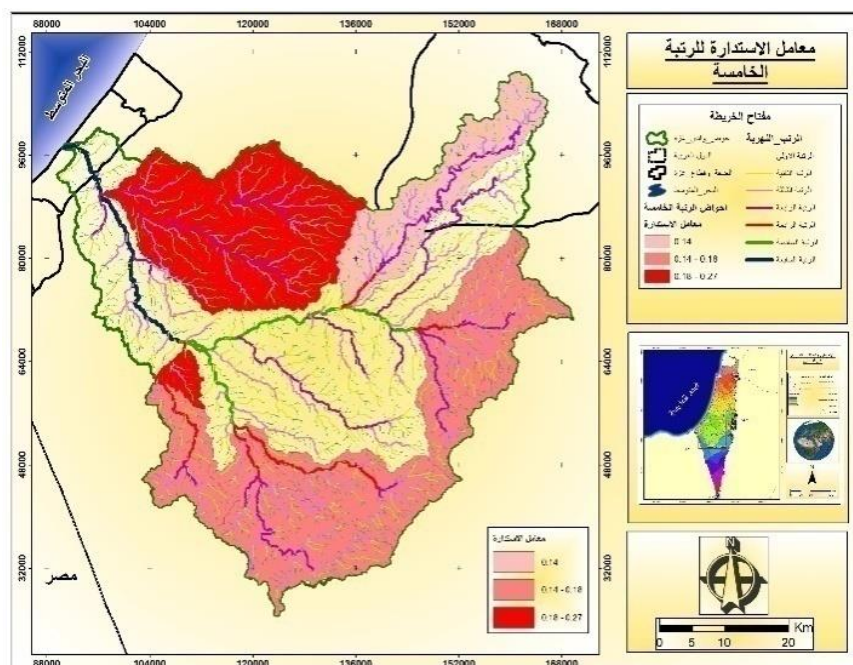
المصدر: بالاعتماد على برنامج Arc GIS 10.1 واداة Arc hydro

وبذلك تتفق قيم معامل الاستدارة مع قيم معامل الاستطاللة، ويعود ذلك إلى طبيعة التكوينات الصخرية السائدة التي تتكون من صخور جيرية تساعده على استطاله الأحواض وهو

ما اكده سميث¹، فنجد ان غالبية الفئات التي مالت الى الاستدارة بمنطقة الحوض تتوزع في الشمال الشرقي والغربي من الحوض وذلك بسبب التعرض للتعرية المائية مما أدى الى ارتفاع معدل الاستدارة.

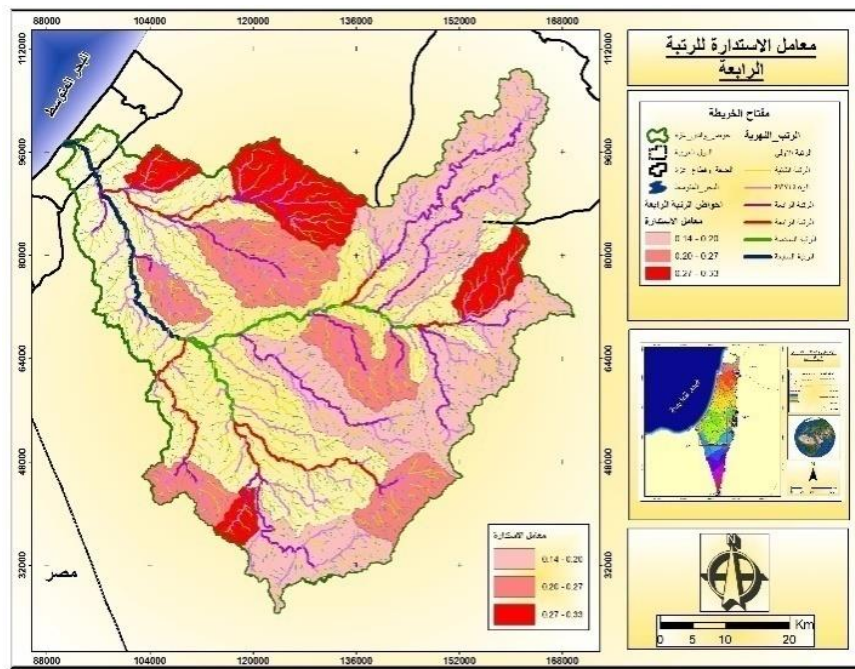


خرطة (34): معامل الاستدارة للرتبة السادسة

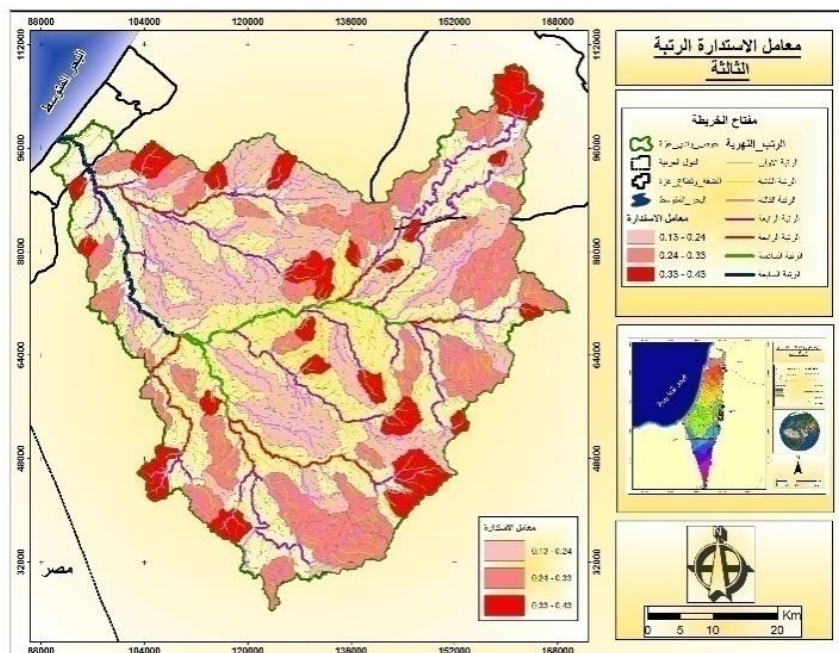


خرطة (35): معامل الاستدارة للرتبة الخامسة

¹ Smith, K. (1950), Standard for Grading Textures of Erosional Topography- Am. Jour SCI, p 659.



خرطة (36): معامل الاستدارة للرتبة الرابعة



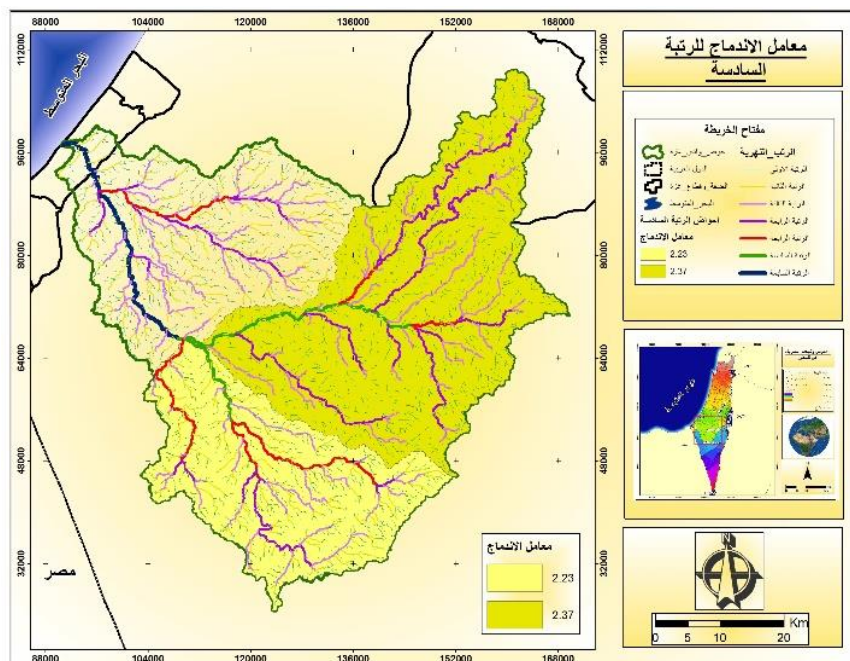
خرطة (37): معامل الاستدارة للرتبة الثالثة

2.3.2.4 نسبة تماس المحيط (معامل الاندماج Compactness Factor)

يعد مقياس نسبة تماس المحيط مقياسا آخر لتأكيد اقتراب أو ابعاد الحوض من شكل الدائري، فكلما كان الناتج قريبا من الواحد الصحيح، كان شكل قريبا من شكل الدائري، والعكس

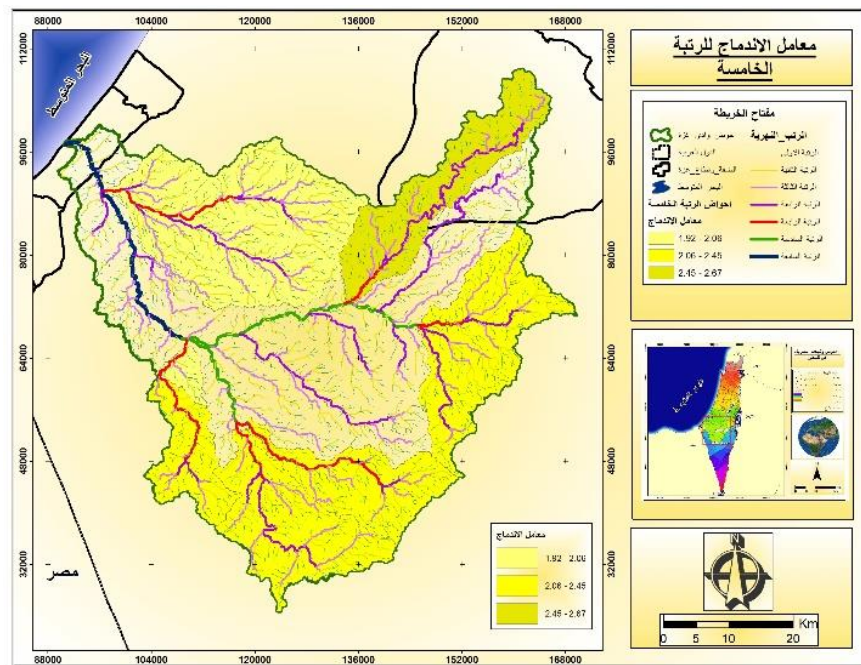
صحيح، مع العلم ان الناتج دائماً أكثر من الواحد الصحيح¹، وتستخرج نسبة تماسك المحيط من مقارنة محيط الحوض بمحيط دائرة لها نفس مساحة الحوض النهري.

و عند تطبيق المعادلة على حوض وادي غزة، ظهر ان نسبة تماسك المحيط (1.96) وهي نسبة مرتفعة مما يعني ابتعاده عن شكل المستدير المنتظم، أي ضعف الترابط بين اجزاء الحوض، وعدم انتظام خطوط تقسيم مياهه، اما احواض الرتبة السادسة والخامسة والرابعة، سجلت نسبة مرتفعة اذ بلغت نسبة تماسك المحيط بمتوسط (2.30 ، 2.32 ، 2.12) على التوالي، لذا تقترب اشكال الاحواض من الشكل المستطيل، الخريطة رقم (38، 39، 40)، اما احواض الرتبة الثالثة فبلغت نسبة تماسك المحيط اقل نسبة بين احواض الرتب الأخرى بمتوسط (1.91)، وعلى الرغم من انها اقل رتبة الا انها تعد نسبة مرتفعة و تقترب من الشكل المستطيل، الخريطة رقم (41) والجدول رقم (10).

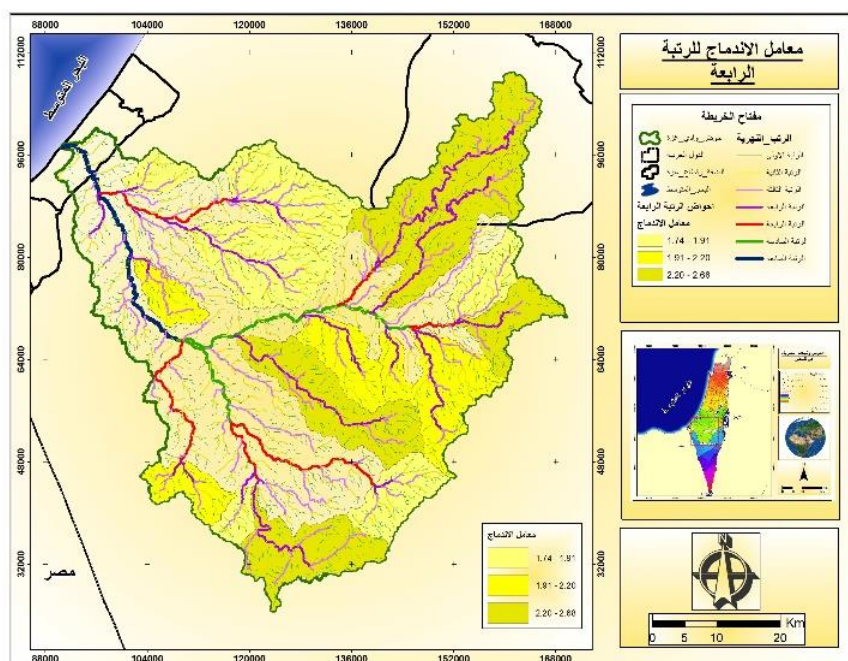


خريطة (38): معامل الاندماج للرتبة السادسة

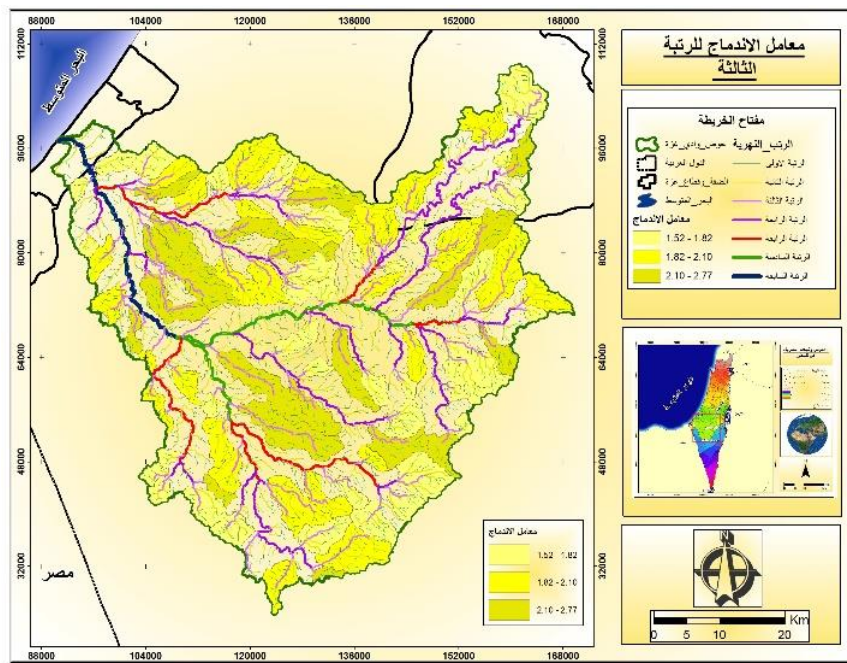
¹ ازاد جلال شريف، مصدر سابق، ص 208.



خرطة (39): معامل الاندماج للرتبة الخامسة



خرطة (40): معامل الاندماج للرتبة الرابعة



خرطة (41): معامل الاندماج للرتبة الثالثة

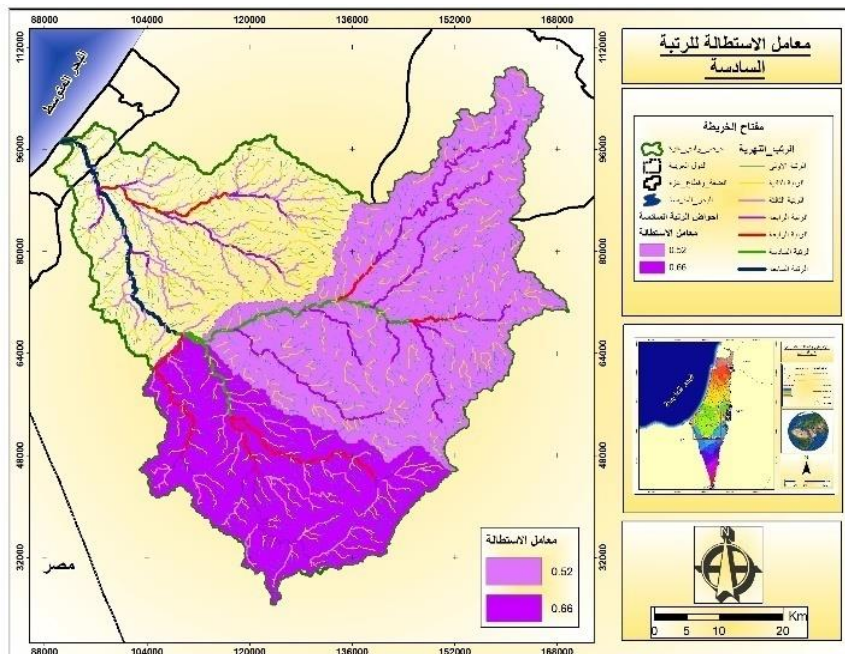
(Elongation Ratio) 3.3.2.4

تدل على اقتراب شكل الحوض او ابعاده عن شكل المستطيل، فكلما كان الناتج أقرب الى الواحد الصحيح، كان أقرب إلى شكل المستطيل والعكس صحيح. تزيد هذه النسبة في الاحواض الطويلة، وتقل في الاحواض التي يختلف عرضها مع امتدادها، وقد صنفت قيم تلك الاحواض بناء على قيمة عامل الاستطالة وهي كالتالي: (0.9-0.8) دائري، (0.9-0.8) بيضاوي، (0.7-0.6) مستطيل، أدنى من (0.5) اقل زيادة في الاستطالة.¹.

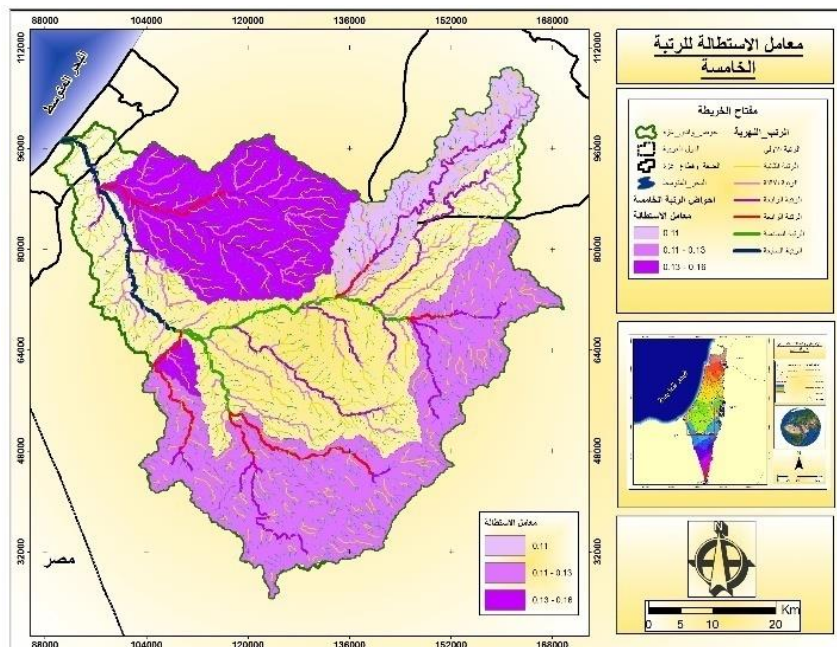
ومن تطبيق هذه معادلة عامل الاستطالة، يظهر ان حوض وادي غزه، بلغ معدل الاستطالة فيه (0.49)، وهذا يعني اقتراب الحوض من شكل المستطيل، وتباين النسب بين احواض الرتب، اذ ترتفع النسب في احواض الرتبة السادسة والرابعة والثالثة بمتوسط (0.59)، (0.57) على التوالي، وهذا يعني ان استطالة الأحواض كبيرة، الخريطة رقم (42، 43)

¹ Pareta, K. Pareta, U. (2011), Quantitative Morphometric Analysis of a Watershed of Yamuna Basin, India using ASTER (DEM) Data and GIS, International, p 274.

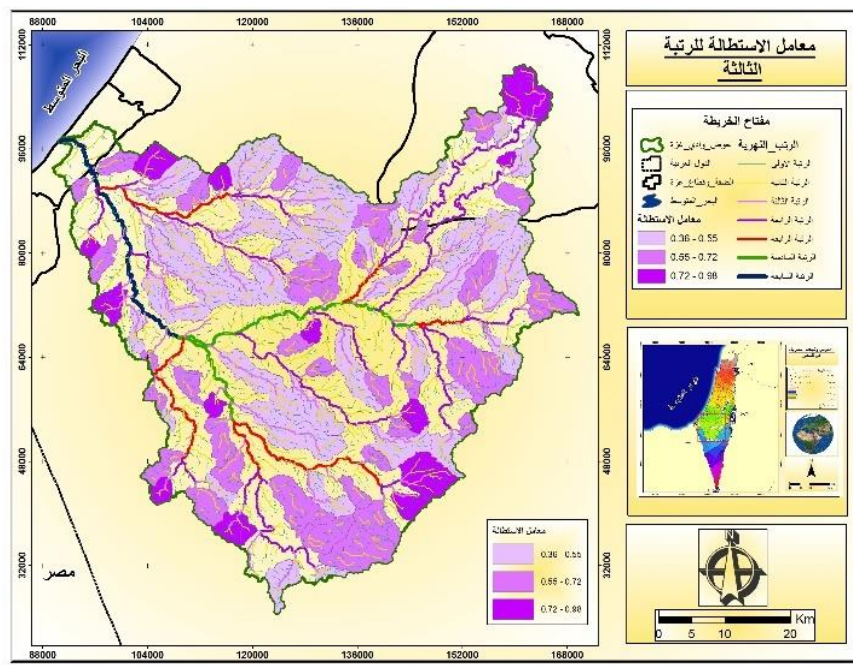
(44)، في حين بلغت معلم استطالة احواض الرتبة الخامسة بمتوسط (0.13)، الخريطة رقم .(45)



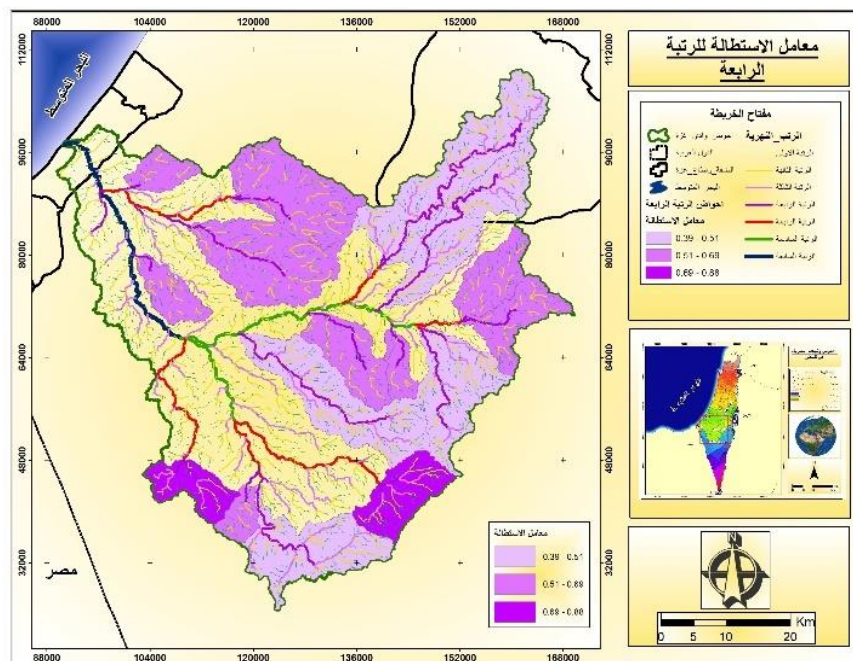
خرائط (42): معامل الاستطالة للرتبة السادسة



خرائط (43): معامل الاستطالة للرتبة الخامسة



خرطة (44): معامل الاستطالة للرتبة الرابعة



خرطة (45): معامل الاستطالة للرتبة الثالثة

خلاصة ذلك يتضح ان اختلاف نسبة الاستطالة ما بين الاحواض ناتج عن اختلاف التكوينات الجيولوجية، والحركات الباطنية، والاحوال المناخية، التي سادت المنطقة خلال العصور الجيولوجية المختلفة، إن شكل الحوض له تأثير في الشبكة المائية لأن المراتب الدنيا تكون قصيرة مع طول المجرى الرئيس مما يؤدي الى فقدان حمولة النهر على جوانب الودية

لاسيما كبر كمية المياه المفقودة، إذ تتسرب إلى باطن الأرض عبر المسامات، والفوائل، والشقوق في التكوينات الصخرية فقدانها بفعل التبخر قبل وصولها إلى المصب.

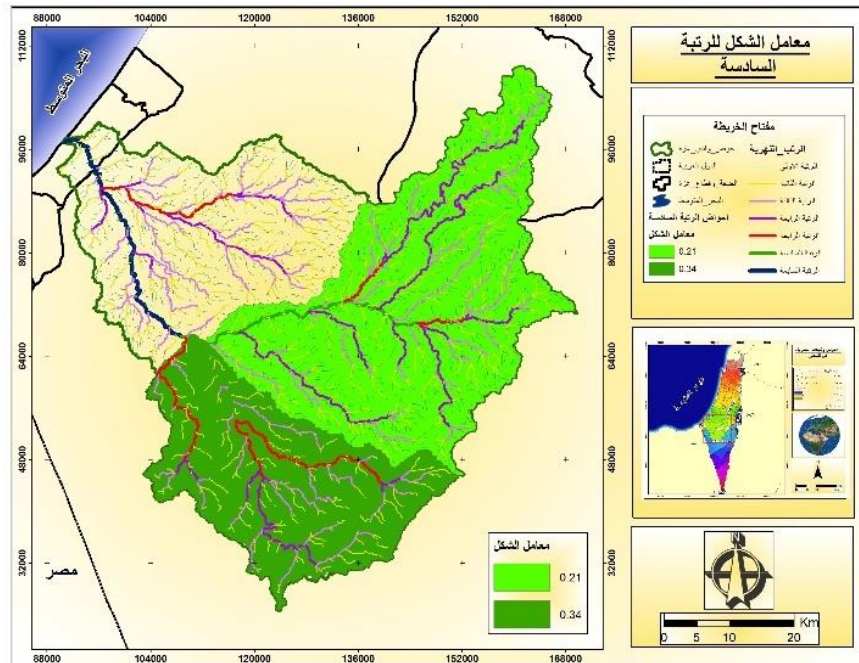
4.3.2.4 معامل شكل الحوض (Basin Form Factor)

يشير هذا العامل إلى مدى تناسق العلاقة بين طول الحوض وعرضه بالنسبة لمساحة الحوض، إذ يستدل منه على تناسق أجزاء الحوض، ففي حالة اقتراب قيمة المعامل من الواحد صحيح يدل على زيادة نسبة المساحة إلى الطول، أما انخفاض المعامل فيدل على اقتراب شكل الحوض من شكل المثلث¹، وبذلك تتراوح قيمة معامل الشكل ما بين الصفر للخط المستقيم و 0.754 لدائرة كاملة الاستدارة²، إن هذا المعامل يصف مدى انتظام عرض الحوض المائي على طول امتداده من منطقة المنابع وحتى بيئة المصب، فمع ثبات طول الحوض فإن عرضه يخضع لعدة إشكال منها المستطيل إذا كان طوله أكبر من عرضه أو الشكل المربع إذا تساوى كل من طوله وعرضه أو المثلث، ويرجع التباين لمعامل الشكل الـ مـدى تـقدـمـ الـحـتـ الجـانـبـيـ ونـوـعـ الصـخـرـ وـطـبـيـعـةـ الـمـناـخـ.

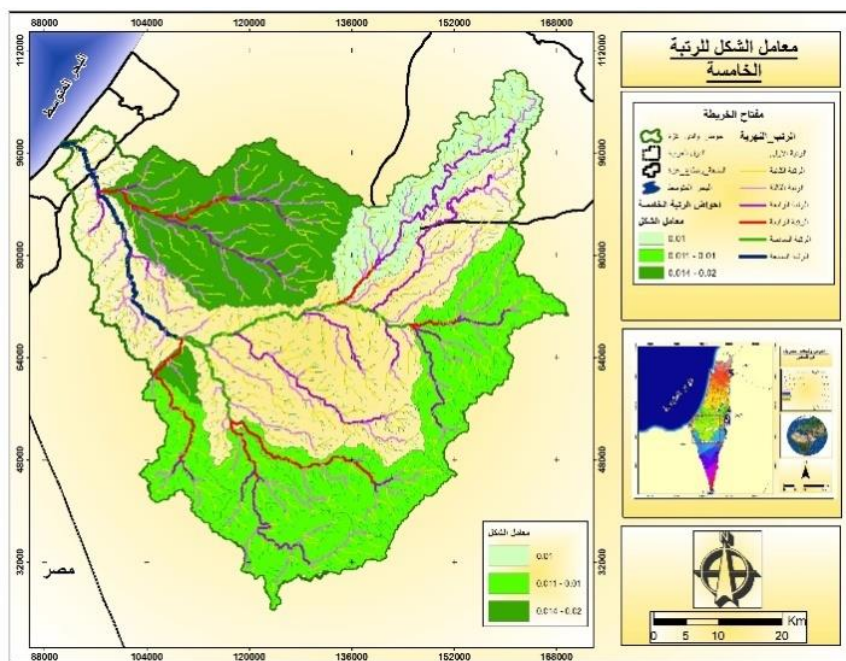
من تطبيق هذه المعادلة على حوض وادي غزة، يظهر أن نسبة معامل شكل الحوض، بلغت (0.190) وهذا يعني اقتراب شكل الحوض من شكل المثلث. وتباين قيم معامل شكل بين الأحواض الثانوية حيث نجد أن متوسط عامل الشكل للأحواض الرتب السادس والرابعة والثالثة (46، 0.28، 0.27، 0.29) على التوالي، مما يشير إلى اقترابه من الشكل المثلث الخريطة رقم (47)، أما متوسط معامل الشكل لحوض الرتبة الخامسة فبلغ (0.01) مما يشير إلى قربها الشديد من شكل المثلث الخريطة رقم (49)، إن سبب هذا التباين يعود إلى البنية الجيولوجية التي تعرضت لها المنطقة، لا سيما الانكسارات التي تؤدي دوراً كبيراً في تقليل قيمة هذا المعامل، والسبب الآخر تعرُّض الكميات التصريفية إلى عاملي التسرب والتبخر خلال عملية الجريان.

¹ مهدي الصحاف وكاظم موسى، (1988)، هيدرومorfومترية حوض دبى، دراسة في الجيومورفولوجيا التطبيقية، مجلة آداب مستنصرية، العدد (16)، ص 788.

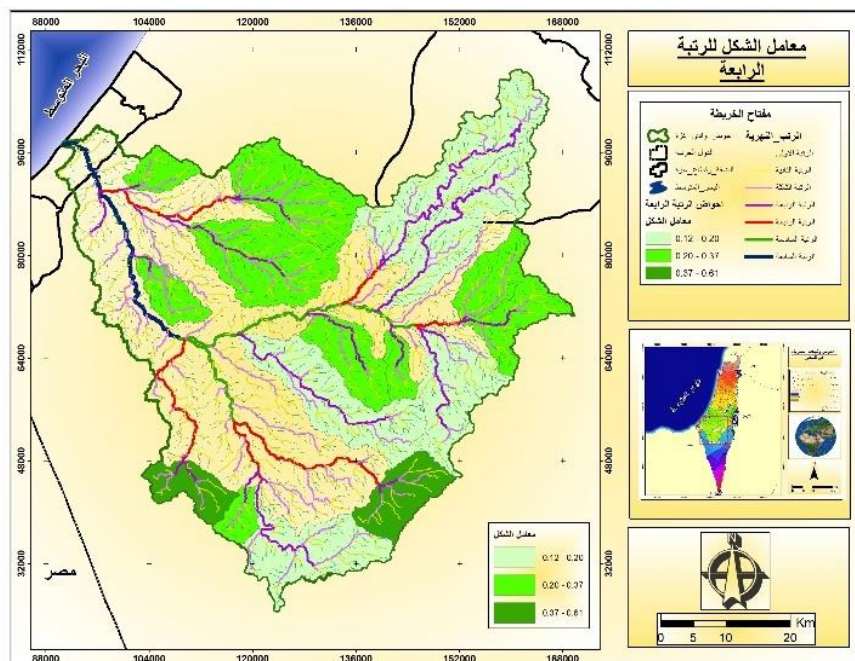
² سلامة، حسن رمضان، (2010)، أصول الجيومورفولوجيا، ط3، دار الميسرة، عمان، الأردن.



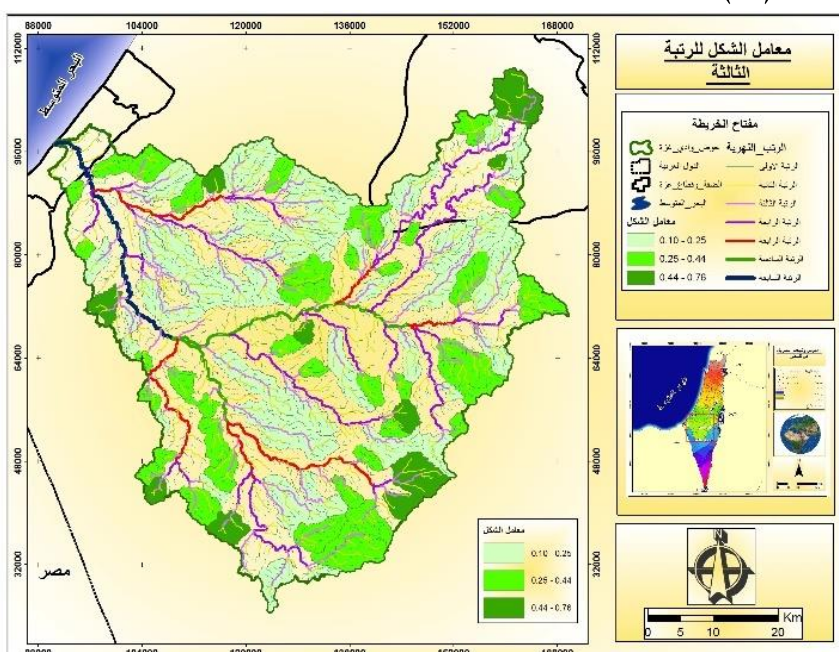
خريطة (46): معامل الشكل للرتبة السادسة



خريطة (47): معامل الشكل للرتبة الخامسة



خرطة (48): معامل الشكل للرتبة الرابعة



خرطة (49): معامل الشكل للرتبة الثالثة

4.2.4 الخصائص التضاريسية (Topological Characteristics)

تعد دراسة الخصائص التضاريسية ذات اهمية كبيرة في دراسة الاحواض المائية وخصائصها المورفومترية والجيومرفولوجية؛ لأنه من خلال نتائجها يمكن فهم معرفة طبوغرافية المنطقة، وطبيعة الاشكال الارضية المرتبطة بها وذلك من خلال ما يأتي:

1.4.2.4 نسبة التضرس (Relief Ratio)

تعد درجة التضرس مقياساً مهماً لمعرفة الطبيعة الطبوغرافية لمنطقة ما أو لا يحوي، كما أنها تعد مؤشراً جيداً لتخمين الرواسب المنقولة، إذ تزداد نسبتها مع زيادة التضرس، كما أن تأثيرها قد يمتد إلى مسافات بعيدة عنها، وتسهم في تكوين أشكال جيومرفولوجية مختلفة، وأنها تسهم في زيادة سرعة وصول الموجات المائية، وينعكس ذلك في زيادة فعالية التعرية المائية وما يرتبط بها من نقل كميات كبيرة من الرواسب.¹

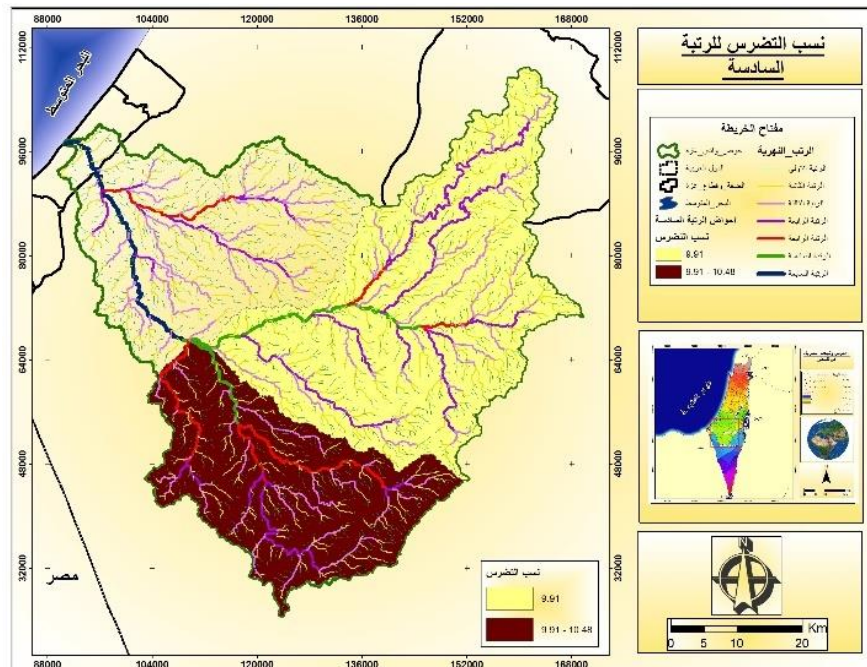
ومن تطبيق المعادلة نسبة التضرس ان نسبة تضرس حوض وادي غزة، بلغت (7.46 م/كم)، وهي نسبة منخفضة تدل على ان الحوض قد قطع شوطاً كبيراً في دورته التحتائية، اذ بلغ فرق الارتفاع 1025م مقابل طول الحوض 132 كم، ويعود انخفاض نسبة التضرس لمنطقة الحوض إلى وجود مساحة كبيرة لا تتجاوز طبوغرافيتها من (5 - 250م) فوق مستوى سطح البحر، وأيضاً وجود السهل الساحلي الذي استحوذ على ما يقارب 30% إجمالي المساحة، ومن خلال الجدول رقم (11) يلاحظ وجود تفاوت في نسبة التضرس بين أحواض الرتب المختلفة، حيث هناك وجود تشابه في نسب التضرس بين أحواض الرتبة السادسة والخامسة بمتوسطات (10.19، 10.35 م/كم) على التوالي، ويعود ذلك إلى ابتعاد الأحواض عن السهل الساحلي وعن المناطق قليلة التفاوت في الانحدار ليقع أغلبها ضمن مناطق سفوح الجبال بمنطقة الحوض الخريطة رقم (51-50)، بينما بلغت قيمة التضرس في أحواض الرتبة الرابعة التي تتراوح ما بين (7.04 - 25.73 م/كم) بمتوسط (13.66 م/كم)، يعود ذلك إلى موقع هذه الأحواض التي تقع في المناطق المرتفعة، الذي يتميز سطحه الهضبي بالانحدار الشديد، الخريطة رقم (52)، ولعوامل التعرية (المائية بصورة خاصة) خلال مرحلة العصور المطيرة، أما أعلى نسبة تضرس سجلت في أحواض الرتبة الثالثة اذ بلغت نسبة التضرس بمتوسط (17.58 م/كم) فيما تراوحت القيم ما بين (4.2 - 43.48 م/كم) حيث شكلت الفئة ما بين (43.4 - 27.4 م/كم) نسبة 16.2 % من إجمالي أحواض الرتبة الثالثة الخريطة رقم (53)، ويعود ذلك إلى صغر المساحة بالنسبة لطول الحوض، كما وتقع معظم أحواضها ضمن السهل الساحلي والمناطق قليلة الانحدار.

¹ Strahler A. N. (1957), Quantitative Analysis of Watershed geomorphology, Trans Amer. Geophys. Union. V38, p913-920.

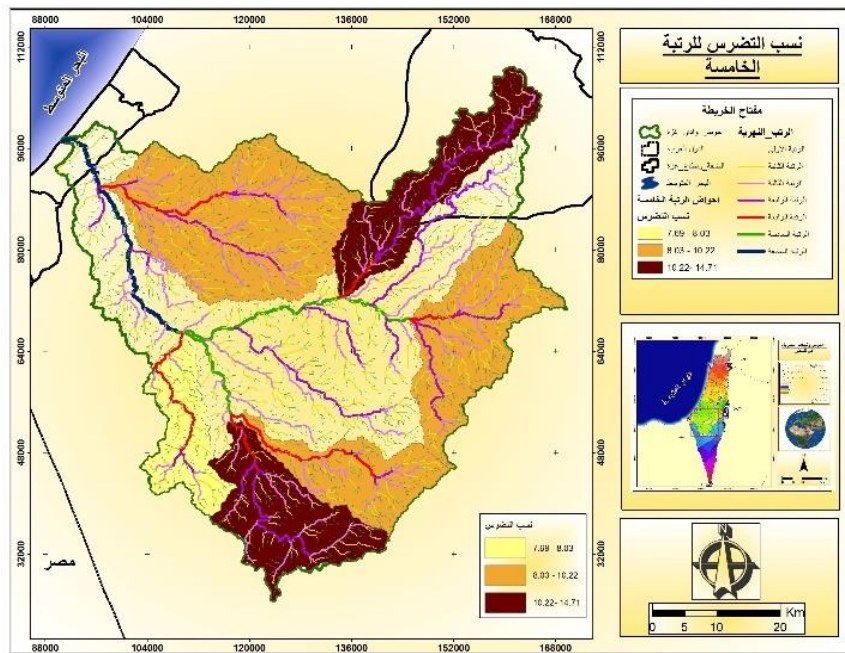
جدول (11) متوسطات الخصائص التضاريسية للأحواض الثانوية في حوض وادي غزة

معدل النسيج الطبوغرافي	قيمة الوعورة	التضاريس النسبة	نسبة التضرس	الأحواض
4.67	0.93	10.19	10.19	الرتبة السادسة
5.13	1.12	10.48	10.48	أعلى قيمة
4.20	0.74	9.91	9.91	أقل قيمة
3.09	0.64	2.79	10.35	الرتبة الخامسة
5.28	0.96	4.31	14.7	أعلى قيمة
1.77	0.42	1.87	7.97	أقل قيمة
2.63	0.42	3.71	13.66	الرتبة الرابعة
5.64	0.89	7.69	25.73	أعلى قيمة
1.16	0.03	2.07	7.04	أقل قيمة
0.66	0.19	5.05	17.58	الرتبة الثالثة
1.84	0.70	12.14	43.48	أعلى قيمة
0.16	0.02	0.87	4.02	أقل قيمة

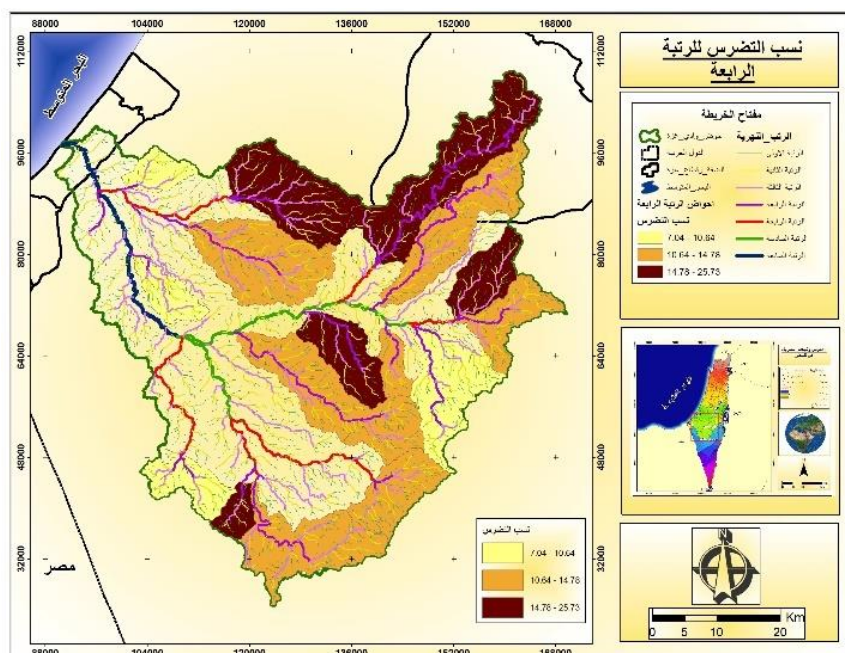
المصدر: من عمل الباحث بالاستعانة ببرنامج ArcGIS



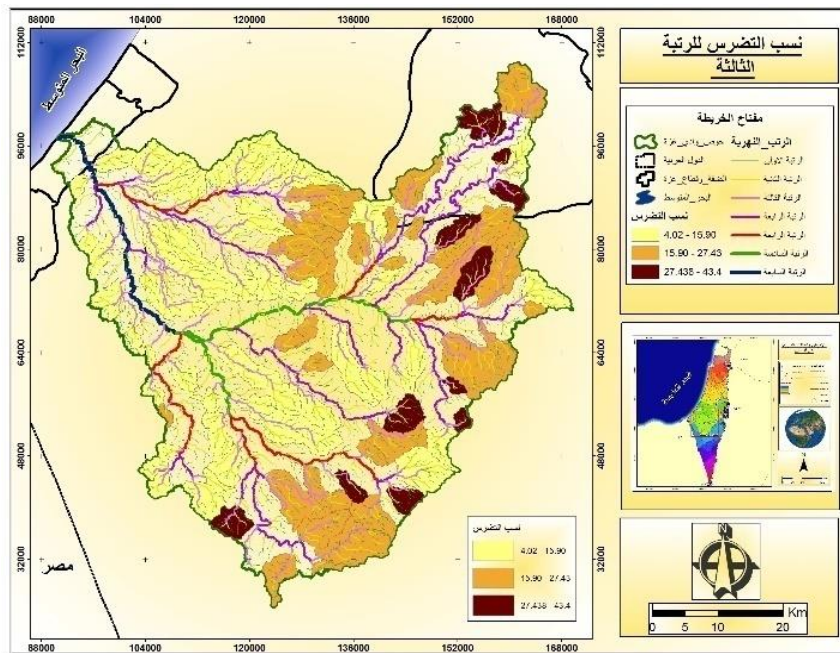
خريطة (50): نسبة التضرس للرتبة السادسة



خرطة (51): نسبة التضرس للرتبة الخامسة



خرطة (52): نسبة التضرس للرتبة الرابعة



خريطة (53): نسبة التضاريس للرتبة الثالثة

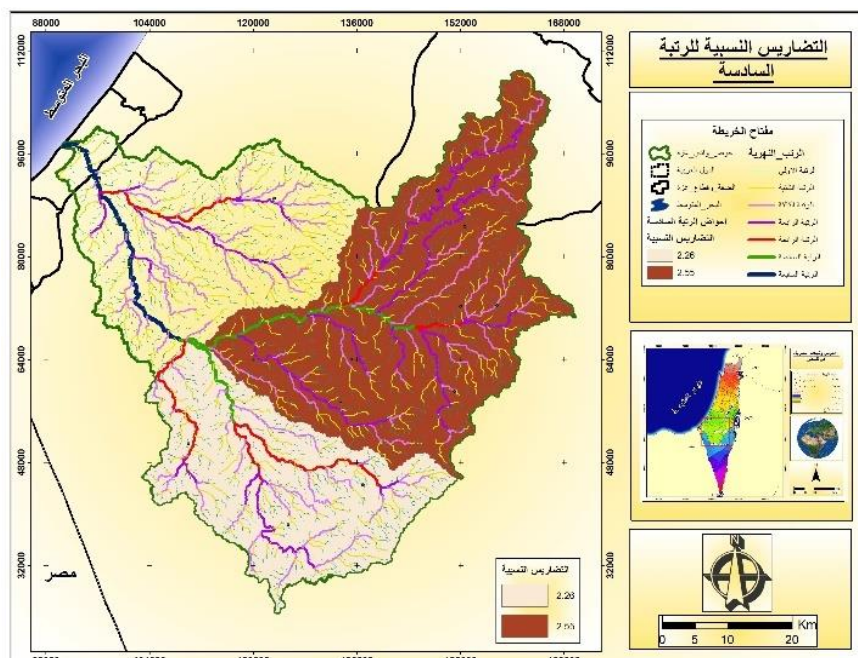
2.4.2.4 التضاريس النسبية (Relative Relief)

تمثل التضاريس النسبية العلاقة بين قيمة التضاريس النسبي، ومقدار محيط الحوض، وتوجد علاقة ارتباطية سالبة بين التضاريس النسبية ودرجة مقاومة الصخور لعمليات التعرية عند تشابه الأحوال المناخية في حين تدل القيم المرتفعة لمقاومة الصخر وضعف عوامل التعرية، وأكد شومان وجود علاقة ارتباط عكسيّة بين التضاريس النسبية وبين درجة مقاومة الصخر عند ثبات الظروف المناخية⁽¹⁾، كما تعطي صورة عن مساحة الحوض فالقيم المرتفعة تشير إلى صغر المساحة الحوضية.

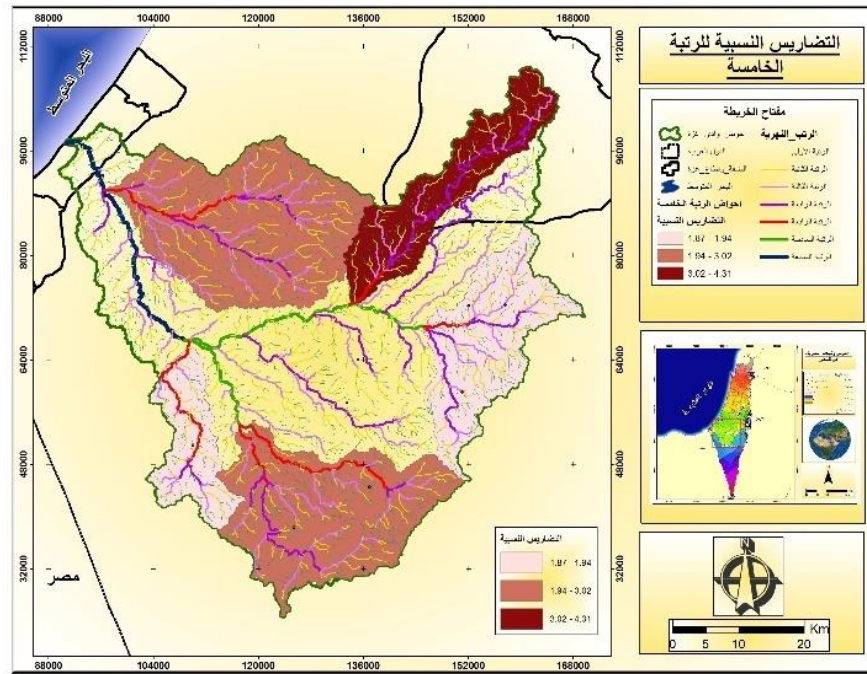
من تطبيق معادلة التضاريس النسبية يظهر إن قيمة التضاريس النسبية في حوض وادي غزة بلغت نحو (2.48 م/كم) وهي قيمة منخفضة جداً تشير إلى كبر مساحة الحوض وبانه قطع شوطاً كبيراً في دورته التحتائية، ومن مراجعة جدول (13) تشير النتائج إلى تقارب النسب في أغلب الأحواض، وهي نسب ضعيفة وقليلة ، يعود هذا بطبعه الحال إلى قلة معدلات الانحدار

¹ ابو رية، احمد محمد، (2007)، المنطقة الممتدة فيما بين القصیر ومرسى ام غیج، دراسة جیومرفولوجیة، رساله دكتواراه غير منشورة، قسم الجغرافیا ونظم المعلومات الجغرافية، كلية الآداب، جامعة الإسكندرية، ص 57.

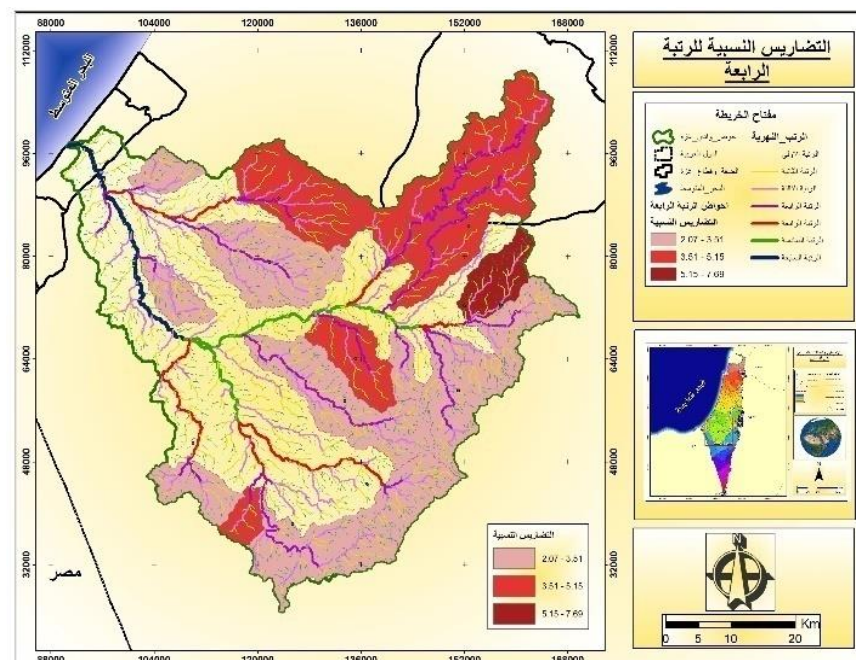
لكل احواض، وذلك كون المنطقة تمثل سطح هضبي متدرج الارتفاع، وتقل فيه الأشكال الأرضية المتضرسة، عليه جاءت النسب ضعيفة ولا سيما قلة التساقط، مما يقلل من فرص الجريان السطحي، ويرافق ذلك هشاشة الصخور المكسوقة؛ مما ساعد على التعرية المائية في عصور سابقة ، مما قلل من التضرس وجعل المنطقة شبه مستوية في جزء كبير منها، او هضبة متدرجة الارتفاع، ولم تختلف احواض الرتبة السادسة عن حوض وادي غزة حيث بلغت قيمتها بمتوسط (10.9 م/كم)، في حين لم تزد النسبة في احواض الرتبة الخامسة عن متوسط (2.79 م/كم)، وهي ما يدل عن ضعف مقاومة الصخر لعوامل التعرية في الرتب العليا، الخريطة رقم (54)، في حين بلغت قيمة احواض الرتبة الرابعة بمتوسط (3.71 م/كم)، وسجلت اكبر قيمة في احواض الرتب الثالثة بمتوسط حيث سجلت قيمتها بين (12.14 - 0.87) بمتوسط (5.05 م/كم)، الخريطة رقم (56).



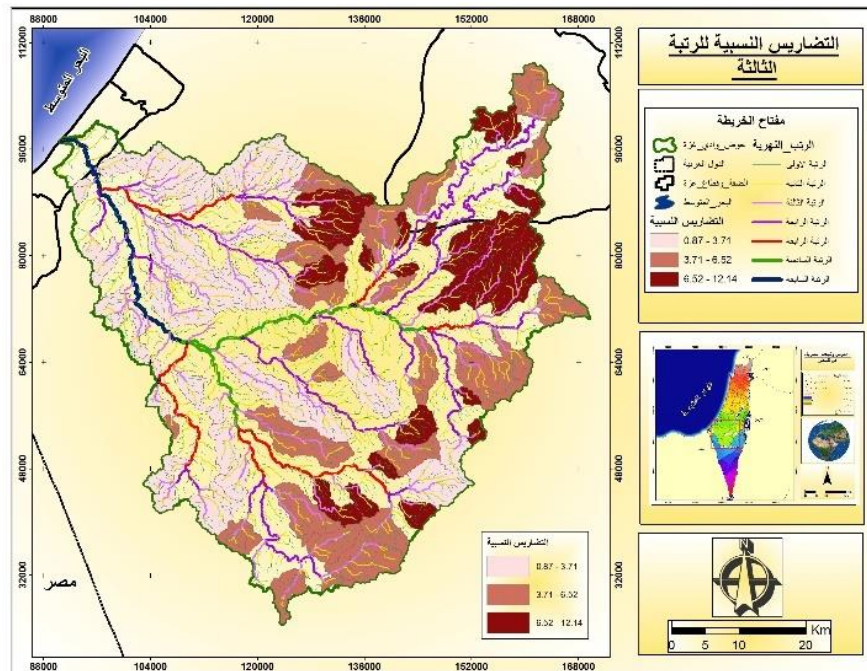
خرطة (54): التضاريس النسبية للرتبة السادسة



خريطة (55): التضاريس النسبية للرتبة الخامسة



خريطة (56): التضاريس النسبية للرتبة الرابعة



خرائط (57): التضاريس النسبية للرتبة الثالثة

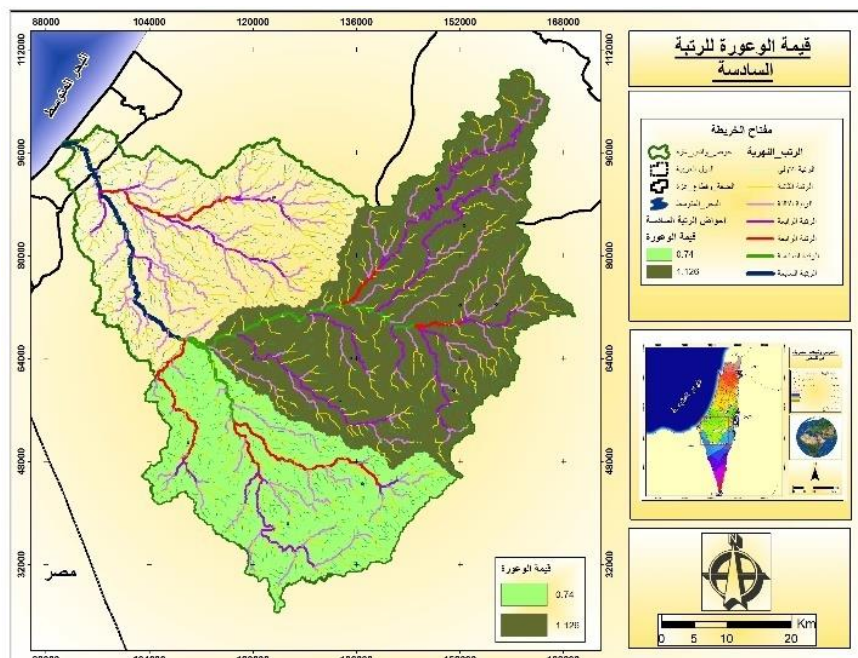
(Ruggedness Value) 3.4.2.4

تشير قيمة الوعورة إلى مدى تضرس الحوض، ثم مدى انحدار المجرى المائي فيه، بالاعتماد على كثافة الصرف الطولية للحوض، وارتفاع هذه القيمة يعني شدة التضرس وسيادة التعرية المائية ونقل الرواسب في المنابع العليا للأحواض إلى أسفل المنحدرات أي أن قيمة الوعورة تزداد قيمتها مع زيادة الكثافة التصريفية في الحوض من ناحية ومع زيادة التضرس من ناحية أخرى، وبالتالي زيادة عمليات أحت المائي ونقل التربسات¹، وقد اجرى كل من Patton & Baker & عدة اختبارات على أحواض الولايات المتحدة لوضع مؤشر للتنبؤ بالفيضانات، ووجدا ان المعاملات المساحية لكل من كثافة التصريف وتكرارية المجرى شكلت اكثرا النماذج قدرة على التنبؤ بقمة حدوث الفيضان جنبا الى جنب لقياس التضاريس المعروف بقيمة الوعورة، والذي هو نتاج قيمة التضاريس وكثافة الجريان، ووجدا ان الأحواض المعرضة للفيضانات زادت فيها قيمته الوعورة على عكس الأحواض التي نالت قيم متدنية من الوعورة،

¹ Abdulla, H. (2011), **Morphometric parameters study for the lower part of lesser zap using GIS technique**, Earth Science Department, College of Science, University of Baghdad, Baghdad, Iraq, P 170.

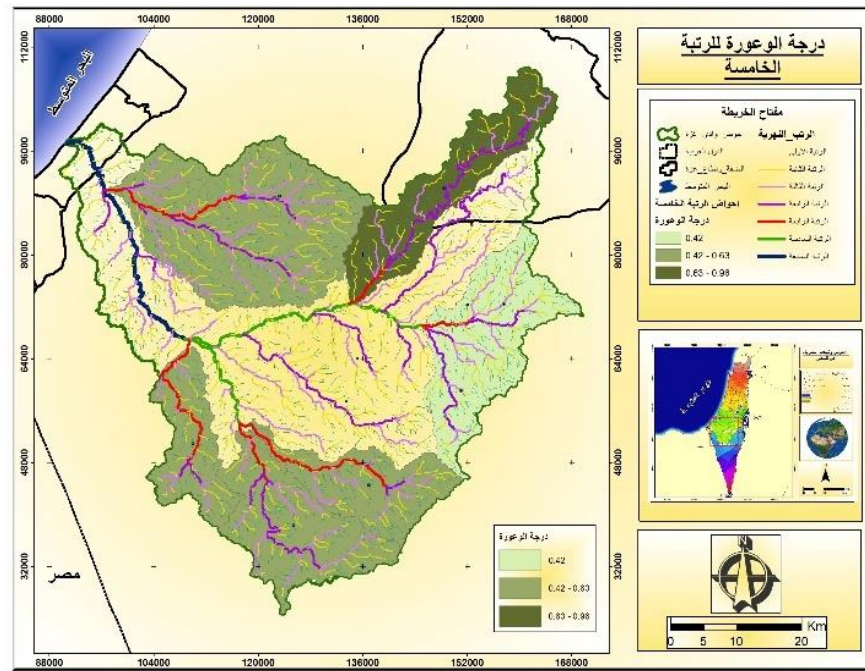
كما و جداً علاقة ارتباط قوية موجبة ما بين قيمة الوعورة وكثافة الجريان وتضاريس الأحواض، وتمثلت القيم المرتفعة للوعورة بأحواض الدراسة بما يقارب $(10.95 - 4.60)^1$.

ومن مراجعة الجدول رقم (11)، تبين ان قيمة الوعورة في حوض وادي غزة (1.25)، وهي قيمة منخفضة بشكل عام ويعود ذلك الى انخفاض الكثافة التصريفية للحوض، اما على مستوى الأحواض الجزئية داخل الحوض نفسه فنجد ان أعلى قيمة لدرجة العورة حصلت عليها أحواض الرتبة السادسة بمتوسط (0.93) الخريطة رقم (58)، بينما يلاحظ انخفاضها في الرتبة الخامسة والرابعة والثالثة بمتوسط (0.64، 0.42، 0.19) على التوالي الخريطة رقم (59، 60، 61)، يعود هذا الى طبيعة صخور المنطقة، كون الصخور قابلة للتعرية وهي صخور كلسية بصورة عامة وتكون الصخور الكلسية الفتاتية والطينية والرمليّة، اكثر استجابة لعمليات التعرية المائية من غيرها من الصخور الكلسية الصلبة ذات التطبق الجيد والصخور الدلومايتية وهذا ما يتفق وجود اكثـر من 50% من صخور العصر الحديث (المهلوسين).

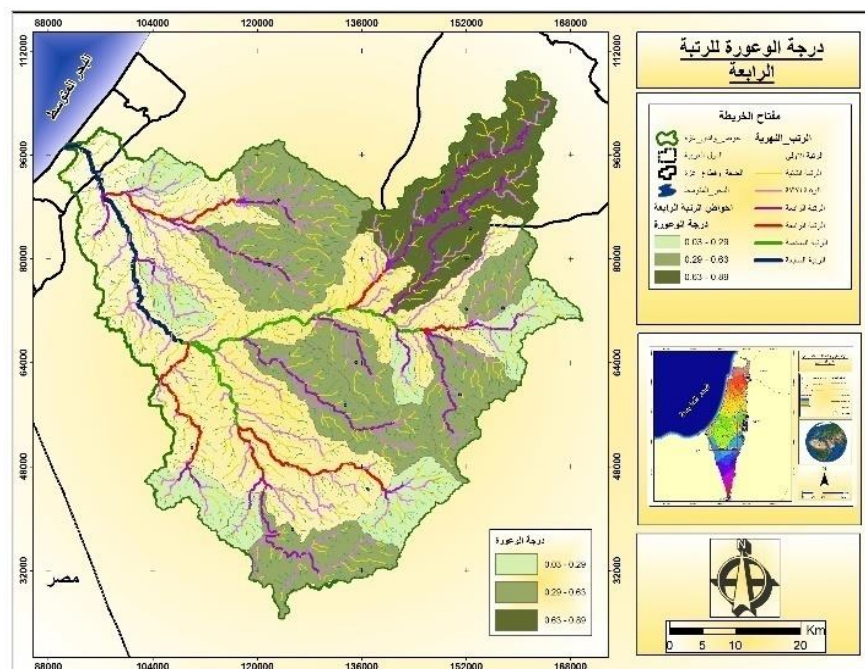


خريطة (58): قيمة الوعورة للرتبة السادسة

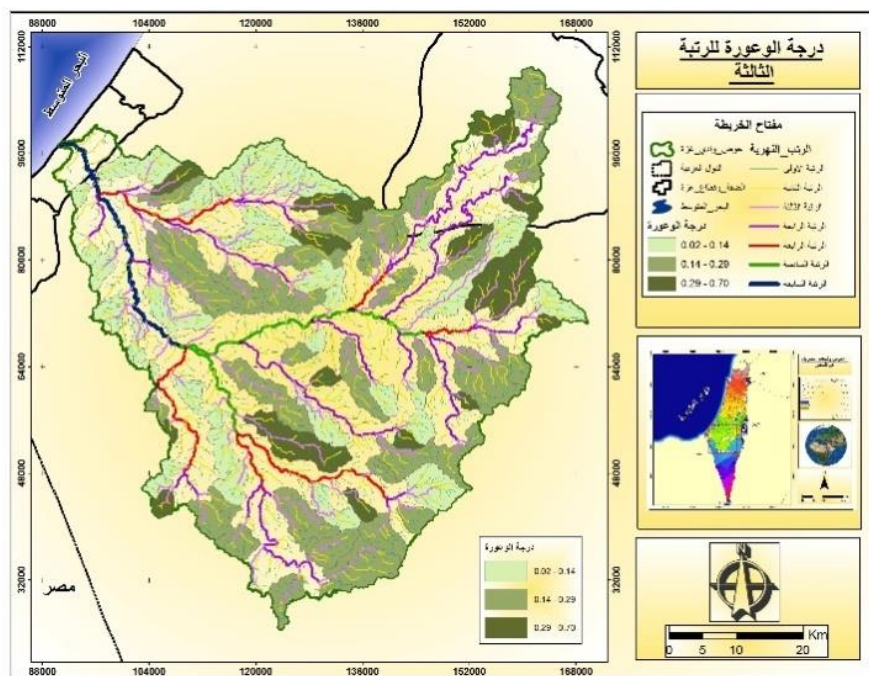
¹ Patton, P.C. Baker, VR. (1976), **Morphometric and Flood in Small Drainage Basins Subject to Diverse Hydro geomorphic Controls**, Water Resources Research, 12 , (5) : 941-952.



خرطة (59): قيمة الوعورة للرتبة الخامسة



خرطة (60): قيمة الوعورة للرتبة الرابعة



خرطة (61): قيمة الوعورة للرتبة الثالثة

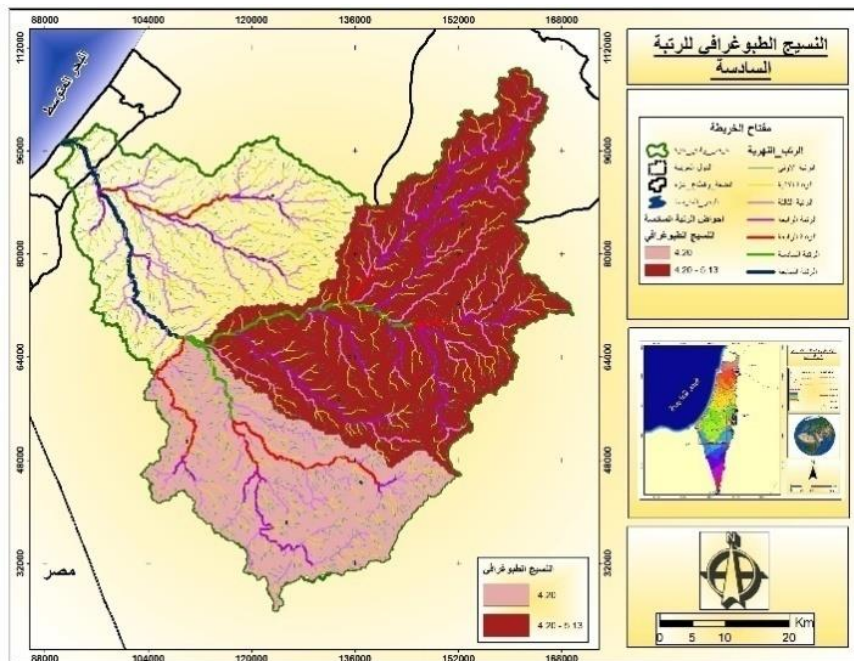
4.4.2.4 معدل النسيج الطبوغرافي (نسبة التقطع (Texture Ratio

يعبر عن درجة تقطع سطح الحوض بمجاري الشبكة التصريفية، أي مدى تقارب او تباعد هذه المجاري ببعضها عن بعض دون وضع اطوالها بالاعتبار، وذكر Howard ان هناك عوامل طبيعية تأثر بنسيج الصرف داخل احواض التصريف وهي: طبيعة المناخ وشدة وهطول الامطار وتضاريس السطح والصخر ونوع التربة ومدى قدرتها على تسريب المياه والغطاء النباتي، فالغطاء النباتي الكثير يعمل على عدم تطور الجداول الصغيرة، كما ان نسيج الجريان بالمناخ الرطب احسن من مناطق المناخ الجاف، وقد يختلف نسيج الصرف ضمن حدود نمط التصيف الواحد، وذلك تبعا لطبيعة الصخور المكشوفة¹، وصنف Smith النسيج الطبوغرافي الى خمسة انماط وهي: (اقل من 2) خشن جدا، (من 2-4) خشن، (من 4-6) معتدل، (من 6-8) جيد، (أكثر من 8) نسيج ناعم².

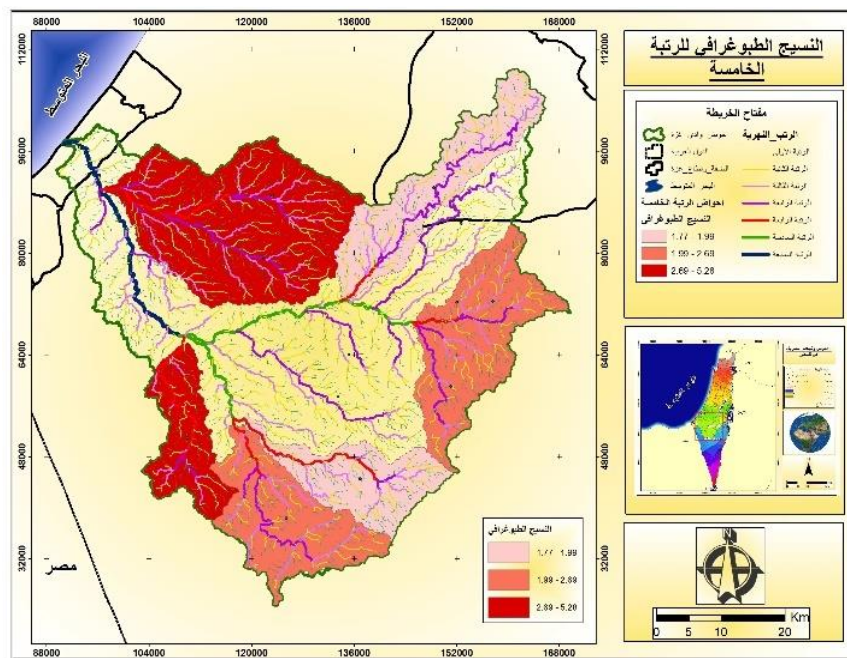
¹ Howard, A.D. (1967), **Drainage Analysis in Geologic Interpretation a Summation**, the American Association of Petroleum Geologists Bull, 51, (11): P 2255.

² Smith, K. (1950), **Standard for Grading Textures of Erosional Topography- Am. Jour SCI.** P 657.

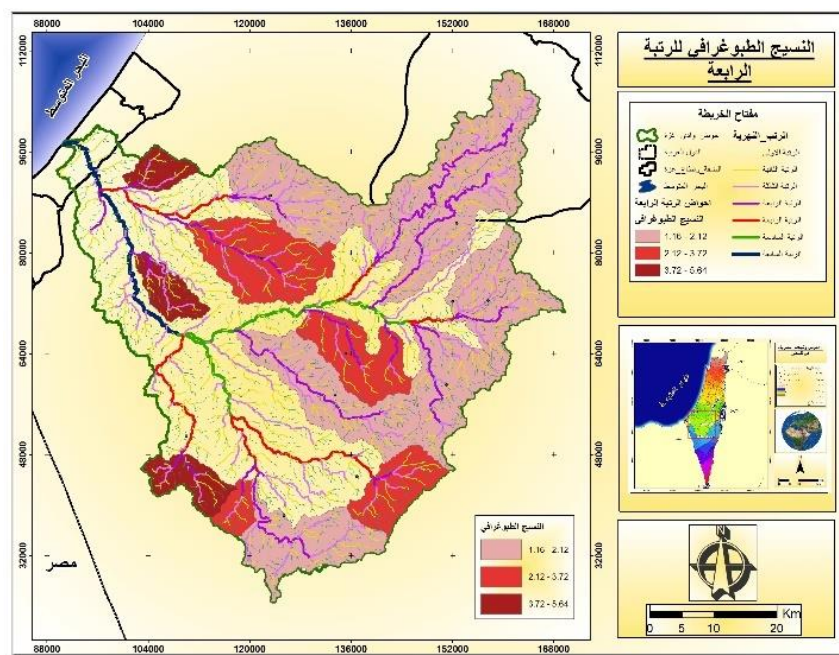
وبتطبيق تصنيف سميث على حوض وادي غزة، نجد انها بلغت (9.15 مجرى/كم)، وهي قيمة مرتفعة تقع ضمن النمط الرابع ذات النسيج الناعم، ويعود ذلك الى كبر المساحة الحوضية، بينما هناك تباين في احواض الرتب، فحصلت احواض الرتبة السادسة ما بين 5.13 للحوض الاعلى و 4.20 للحوض الأدنى بمتوسط (4.67 مجرى/كم)، وهي قيمة متوسطة تدل على نسيج طبوعرافي معتدل الخريطة رقم (62)، فيما بلغ متوسط احواض الرتبة الخامسة (3.9 مجرى/كم) الخريطة رقم (63)، وهي تقع ضمن النسيج الخشن، وبلغ النسيج الطبغرافي لأحواض الرتبة الرابعة بمتوسط (2.63 مجرى/كم) الخريطة رقم (64)، ونجد ان احواض الرتبة الثالثة حصلت على اقل قيمة بمتوسط (0.66 مجرى/كم)، وذلك بسبب صغر المساحات لأحواض الرتبة الثالثة الخريطة رقم (65).



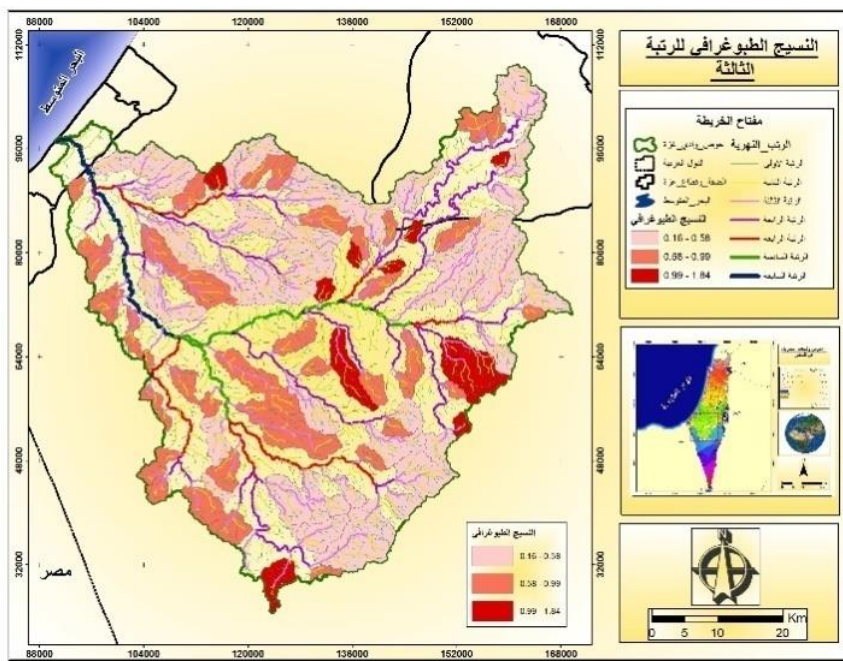
خريطة (62): النسيج الطبغرافي للرتبة الرابعة



خرطة (63): النسيج الطبوغرافي للرتبة الثالثة



خرطة (64): النسيج الطبوغرافي للرتبة الرابعة



خرائط (65): النسيج الطبوغرافي للرتبة الثالثة

5.4.2.4 التكامل الهايسومترى (Hypsometric Integral)

أسلوب لمعرفة عمر الأحواض النهرية بالاعتماد على مساحة الحوض وتضاريسه، اذ نستطيع تحديد طول الدورة الحتية في اي حوض نهري وهو من المقاييس سهلة التطبيق¹. أن زيادة المساحة الحوضية، يقابلها انخفاض في تضاريس الحوض، وتعني القيم المرتفعة في تكامل الحوض، أي انه احتل مساحة واسعة ايجابية على زيادة أطوال وأعداد الشبكة النهرية، لاسيما من المراتب الدنيا التي تصل أعدادها الى المئات، مؤدية الى زيادة كثافة الصرف، وزيادة نشاط وفعالية عمليات الــhot المائي التي عملت على تسوية اغلب أجزاء الحوض.

عند تطبيق هذه العلاقة على حوض وادي غزة، يظهر بان قيمة التكامل بلغت (3.29 km^2/m)، في حين تباينت القيم في احواض الرتب المختلفة في تكاملها الهايسومترى حيث بلغ متوسط قيمتها في احواض الرتبة السادسة ($1.88 \text{ km}^2/\text{m}$) وفي احوض الرتبة الرابعة الى ($0.88 \text{ km}^2/\text{m}$)، وفي احواض الرتبة الرابعة ($0.40 \text{ km}^2/\text{m}$)، وحصلت الرتبة الثالثة على اقل متوسط حيث بلغ ($1.44 \text{ km}^2/\text{m}$) نتيجة لتأثيرها بالحركات التكونية، وان معظم الأحواض لازالت في مرحلة الشباب، يلاحظ الجدول رقم (12) والخريطة رقم (66، 67، 68، 69).

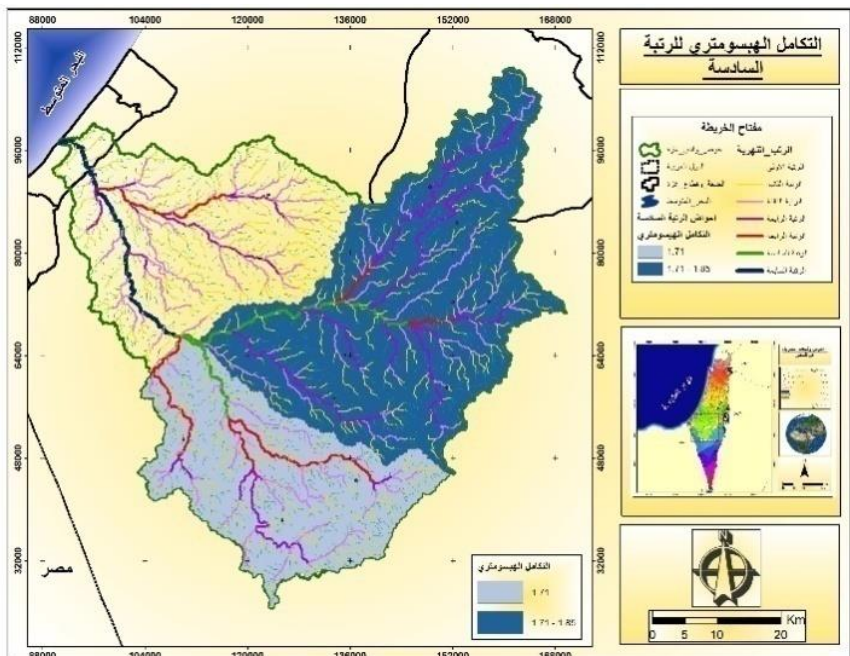
¹ محمد مجدي تراب، مرجع سابق، ص 272.

جدول (12) متوسطات التكامل الهيسومترى فى أحواض وادى غزة

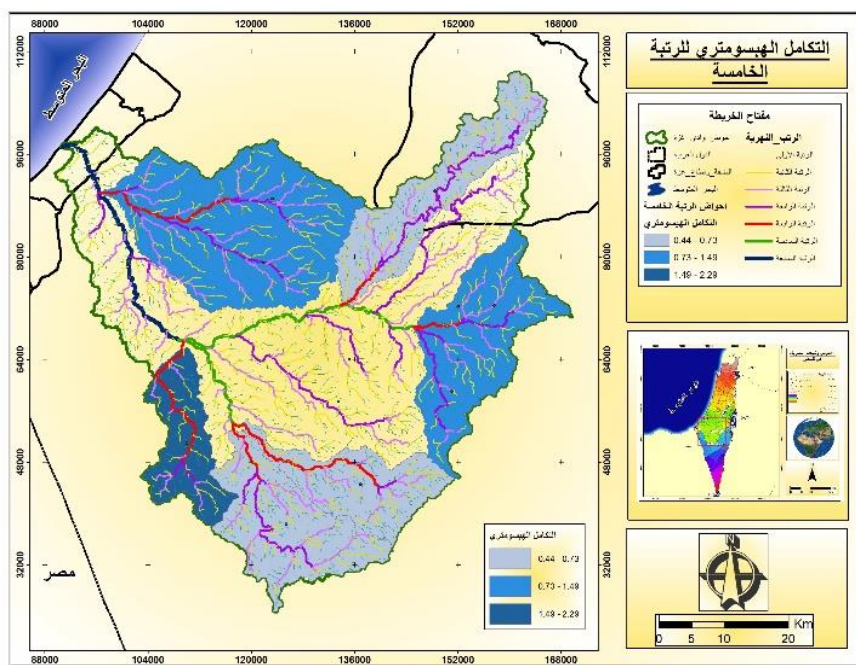
التكامل الهيسومترى $\text{كم}^2/\text{م}$	فارق الارتفاع / م	المساحة / كم^2	رقم الحوض
3.29	1025	3579.9	حوض وادى غزة
1.88	665	1250.80	احواض الرتبة السادسة
0.88	406.66	359.92	احواض الرتبة الخامسة
00.4	335.29	136.37	احواض الرتبة الرابعة
40.1	144.17	20.60	احواض الرتبة الثالثة

المصدر / اعد جدول بالاعتماد على جدولين (10) و (13)

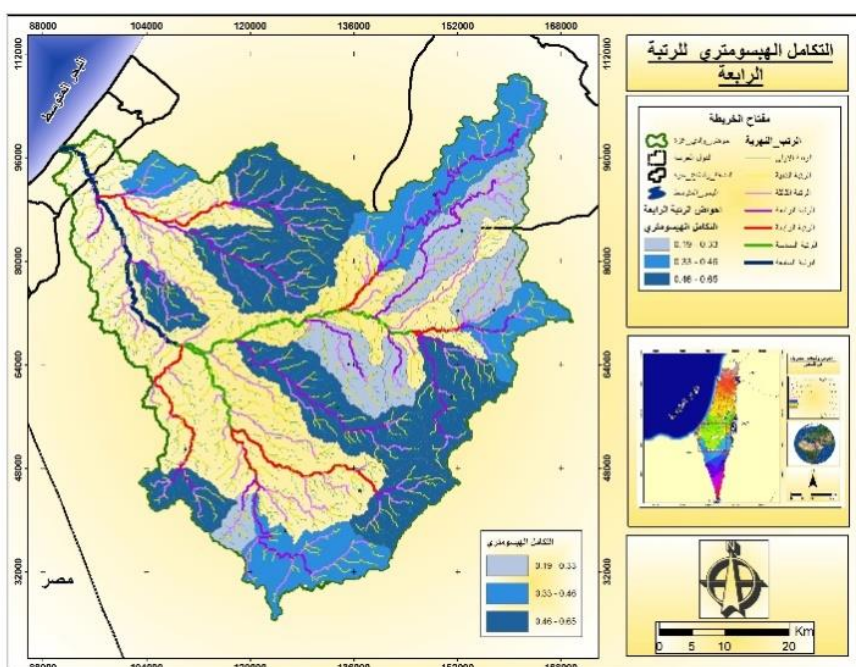
حيث الأودية التي تمتاز بانخفاض قيم التكامل، والبالغ نسبتها (84%) من مجموع أودية الحوض، تشير الى أنها أودية حديثة صغيرة المساحة، تقع في بداية التطور الجيولوجي، أدركتها ظروف الجفاف قبل أن تتقدم في مرحلتها الحتية، وهي تعد اليوم من أكثر الأحواض تضرسا والأكثر نشاطا في عمليات الاحت والنقل، مقارنة في الأحواض الكبيرة المساحة، والبالغ نسبتها (16%) التي يرتفع فيها قيم التكامل الهيسومترى، على الرغم من قلة أعدادها.



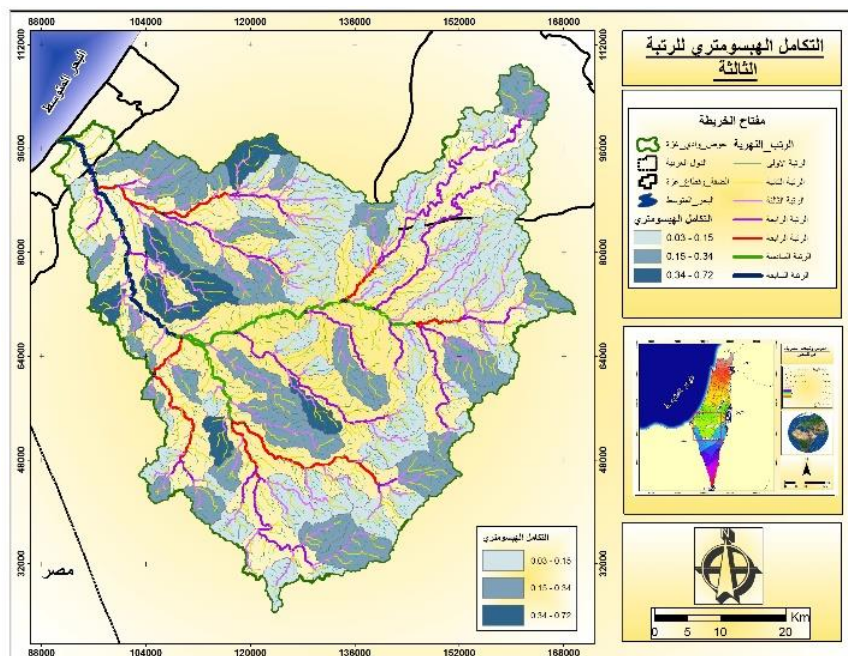
خرائط (66): التكامل الهيسومترى للرتبة السادسة



خرطة (67): التكامل الهيسومترى للرتبة الخامسة



خرطة (68): التكامل الهيسومترى للرتبة الرابعة



خرائط (69): التكامل الهيسومترى للرتبة الثالثة

6.4.2.4 المعامل الهيسومترى (Hypsometric Factor)

هو مقياس ارتفاع كمي يوضح المرحلة الزمنية للدورة الحتية في الأحواض المائية، إذ تتناقص قيمته مع استمرار هذه الدورة ونشاطها، كما يشير إلى كمية المواد الصخرية التي لا تزال تنتظر دورها في العملية الحتية¹.

ويعد المنحني الهيسومترى أحد الوسائل التي تصف مورفولوجية المرحلة التي وصل إليها الحوض كلياً أو أي جزء منه، فالأجزاء التي تكون شديدة الانحدار وحسب رأي ديفز تدل على أنَّ المنطقة ما زالت في حالة الشباب وبداية النضوج، في حين الأجزاء القليلة الانحدار تدل على مرحلة متقدمة ووصلت إليها المنطقة من الدورة الحتية².

الارتفاع النسبي

$$\text{المعامل الهيسومترى} = \frac{\text{الارتفاع النسبي}}{\text{المساحة النسبية}}$$

¹ حسن رمضان سلامة، أصول الجيومورفولوجيا، دار المسيرة للنشر والتوزيع، عمان، ط الأولى، 2004، ص 183.

² أحمد عبد الستار جابر العذاري، مصدر سابق، ص 149.

النسبة بين ارتفاع أي خط كنتور مختار / م

الارتفاع النسبي =

أقصى ارتفاع في الحوض / م

النسبة بين المساحة المحصورة بين أي خط كنتور ومحيط الحوض

المساحة النسبية =

المساحة الكلية لنفس الحوض

وتمثل خطوطه وفق طريقة هورتون (Horton) كالتالي¹ :

1- المساحة الكلية للحوض ويرمز لها بـ (A).

2- المساحة المحصورة بين كل خط ارتفاع متساوي ومحيط الحوض ويرمز لها بـ (a).

3- قيمة (x) ونحصل عليها بقسمة لكل خط كنتور .

4- رمز قيمة ارتفاع كل خط كنتور .

5- (H) رمز أعلى ارتفاع في الحوض.

6- حساب قيمة (y) يكون بقسمة.

7- نرسم المنحنى الهمسومترى باستخدام قيم (x) نسبة المساحة وقيم (y) نسبة الارتفاع.

وحدد هورتون مراحل الحوض النهرية كالتالي:

1- مرحلة الشباب: إذا كان القسم الأكبر من الحوض المائي غير متعرى عن طريق التصريف المائي، وتسمى بمرحلة عدم التوازن أي إن عملية التعرية تتفوق على عملية الترسيب.

2- مرحلة النضج: إذا كانت (45%) من مساحته متعرى ويكون النهر في مرحلة التوازن (عملية التعرية والترسيب متساوية ومتوازنة).

¹ زهير نورز ياسين الآلوسي، مصدر سابق، ص100-102.

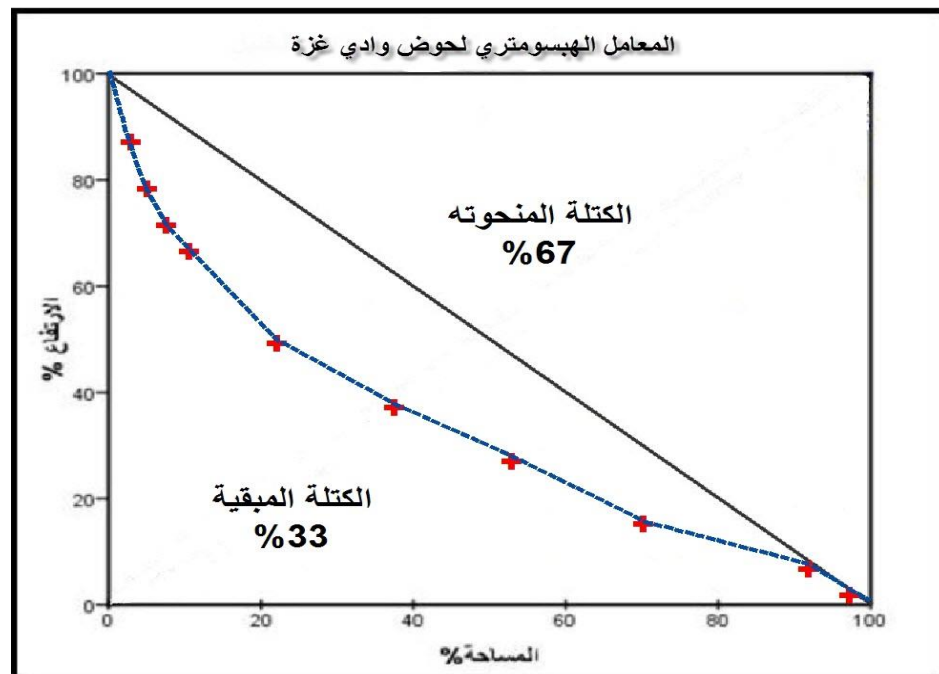
3- مرحلة الشيخوخة: إذا كانت نسبة (55%) فأكثر من مساحة الحوض المائي قد أزيلت، أي تكون عملية الترسيب أكثر من عملية التعرية.

وعند تطبيق هذا المعامل على حوض وادي غزة يظهر من خلال الجدول رقم (13) والشكل رقم (13)، ان المعامل الهيسومترى لحوض وادي غزة، قد بلغ (67%), وهذا يعني ان الحوض قد قطع (67%) من الدورة الحتية، وان (33%) من التكوينات الصخرية لا زالت في انتظار دورتها الحتية، وهذا يشير الى ان الحوض في مرحلة الشيخوخة، وتكون عملية الترسيب اكبر من عملية التعرية، ويرجع ذلك الى عدة اسباب مثل نشاط عوامل التعرية لفترات طويلة من الزمن بحيث استطاعت ان تزيل تكوينات العصر الثلاثي بفترة الاوليغوسين، وطبيعة الصخر فهي تتكون من صخور جيرية طباشيرية ودولوميت، حيث انها غير قادرة على مقاومة عوامل التعرية وخاصة المائية منها، وأيضا استحوذ السهل الساحلي على مساحة كبيرة مساحة الحوض، ووفق تصنيف هورتون يعد الحوض في مرحلة الشيخوخة إذا كان القسم الاكبر قد ازيل من خلال الحت، وفي هذه المرحلة تتفوق عملية الحت على عملية الإراساب، بينما يكون الحوض في مرحلة الشباب إذا تعرت اقل (35%) من مساحته، وما تتصف به من خصائص مرحلة التوازن بين عملية الحت المائي والترسيب. ويكون الحوض في مرحلة النضوج إذا ازيلت (45 - 55%) من مساحته فأكثر، وهنا تزداد عملية الحت المائي وتتحفظ عمليات الارساب الى حدتها الادنى، وتصبح السيادة لعمليات الحت الريحية.

جدول (13): المعامل الهيسومترى في حوض وادي غزة

المساحة النسبية %	المساحة التراكمية / كم ²	المساحة / كم ²	الارتفاع النسبي %	منسوب الخط	رقم الخط
1.2	43.3	43.3	88	- 900 1020	1
2.7	97	53.7	78	900 - 800	2
5.5	198.4	101.4	68	700 - 800	3
9.8	352.8	154.2	58	600 - 700	4
22.1	793.6	440.8	49	500 - 600	5
38.7	1387.9	594.3	39	400 - 500	6
56.2	2014.3	626.4	29	300 - 400	7
74.9	2681.4	667.1	19	200 - 300	8
91.8	3289	607.6	9	100 - 200	9
99.8	3579	291.1	1	5 - 100	10

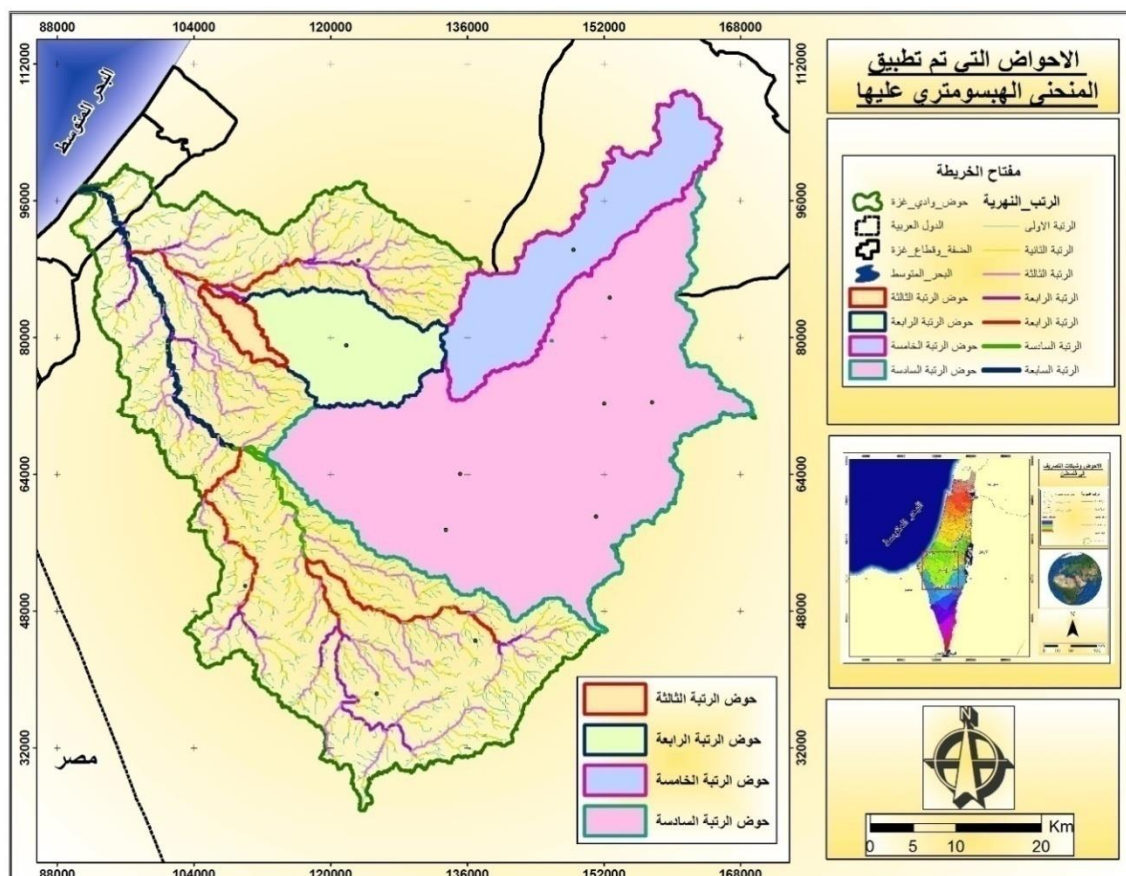
المصدر: من عمل الباحث بالاعتماد على الخريطة الطبقافية (DEM).



شكل (13): المنحنى الهيسومترى لحوض وادي غزة

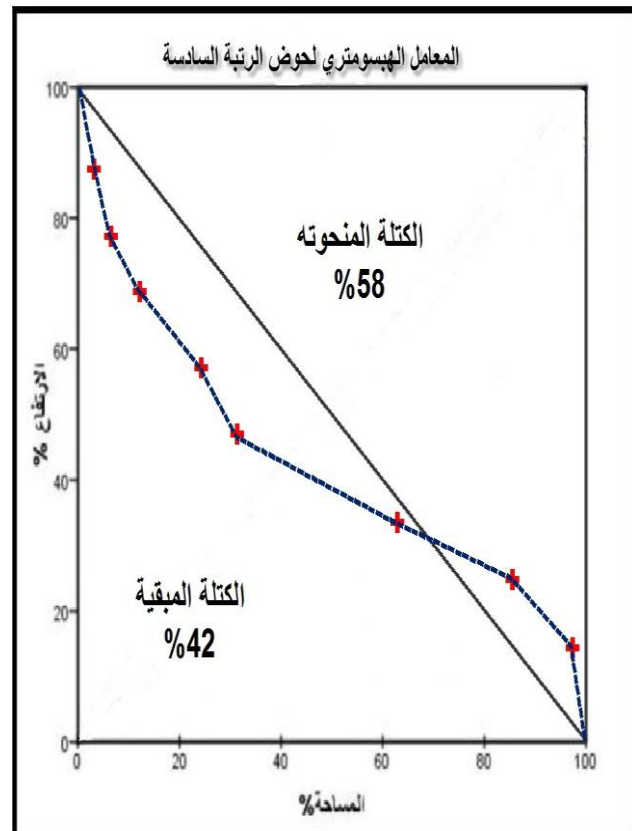
المصدر: من عمل الباحث بالاعتماد على الخريطة الطبقافية (DEM).

وقد تم اختيار حوض من كل رتبة من الاحواض بشكل عشوائي لتطبيق المنحنى الهيسومترى عليها كما في الخريطة (70)، فوجد هناك تبايناً بين الاحواض من ناحية حجم الكتلة المتبقية، فقد بلغت الكتلة المتبقية لحوض الرتبة السادسة 42%，اما الكتلة المنحوته بواسطة عوامل التعرية 58%， وهو بذلك ضمن مرحلة الشيخوخة حسب تصنيف هورتين (14)، اما حوض الرتبة الخامسة فبلغت الكتلة المتبقية 49%， وهذا يدل على انه ضمن مرحلة النضج حيث ان عوامل التعرية والحت استطاعت ان تزيل 51% من تضاريس سطحه؛ ويعود السبب الى الانحدار الشديد الذي يغلب على الحوض الشكل رقم (15)، اما حوض الرتبة الرابعة فقد توافق مع حوض وادي غزة حيث بلغت قيمة الكتلة المنحوته 65% فوقع ضمن مرحلة الشيخوخة الشكل (16)، فيما بلغت الكتلة المنحوته في حوض الرتبة الثالثة 44% فهو قريب من حوض الرتبة السادسة كما في الشكل (17).

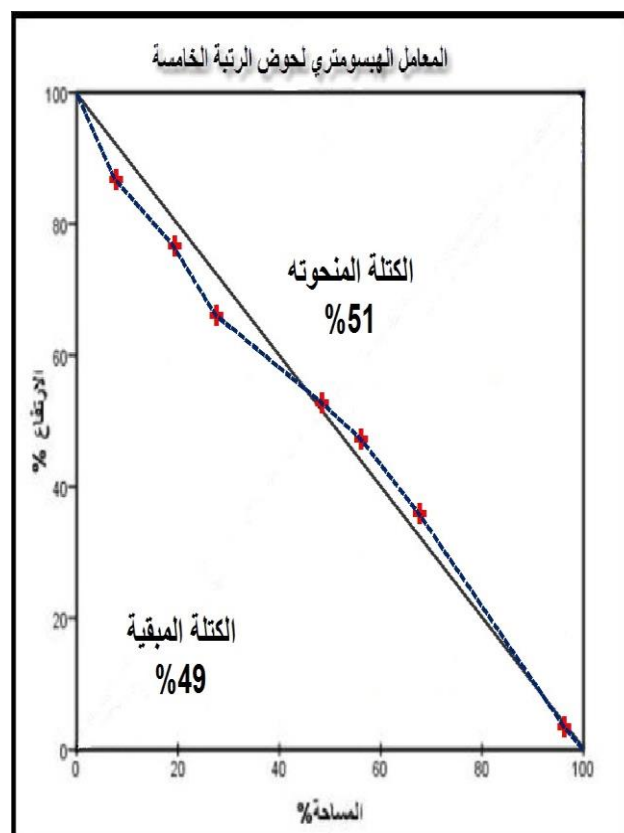


خرائط (70): الاحواض التي تم تطبيق المنحنى الهيسومترى عليها

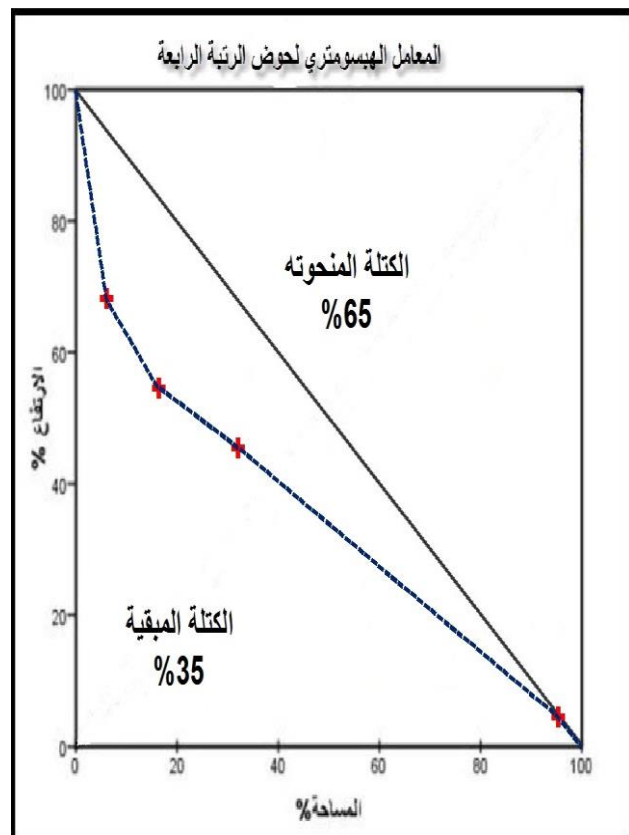
المصدر: بالاعتماد على خرائط الاحواض للرتب المختلفة.



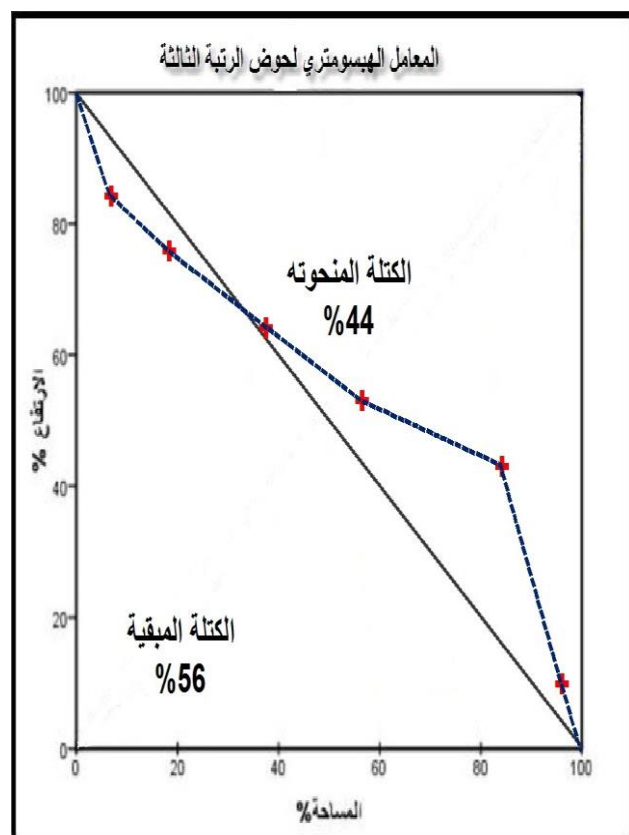
شكل (14): منحنى للرتبة السادسة



شكل (15): منحنى للرتبة الخامسة



شكل (16): منحنى للرتبة الرابعة



شكل (17): منحنى للرتبة الثالثة

3.4 الخصائص الشبكية لشبكة الصرف المائي لحوض وادي غزة

بعد شكل العام لروافد الوادي برتبها المختلفة انعكاساً للعلاقات ما بين خصائص الصخور، وشكلها التركيبية من جانب، واحوال المناخ من جانب اخر. كما يعكس خصائص الصخور من حيث درجة التفانية، والصلابة، والانحدار العام للسطح، والصورة التركيبية من الصدوع، والفوائل، والشقوق وغيرها. تبرز كل تلك الخصائص في تعديل المظاهر العام لشكل التصريف النهري وتحديد نشاط اوديته، فضلاً عن درجة التطور الجيولوجي للحوض.¹.

❖ وسوف يتناول البحث الخصائص المورفولوجية لشبكة التصريف على النحو الآتي:

1.3.4 الخصائص الشكلية

تهدف دراسة الخصائص الشكلية لشبكات التصريف إلى إعطاء صورة عن الخصائص المورفولوجية لهذه الشبكة وتشكل ما يلي:

(Stream Orders) 1.1.3.4 المراتب النهرية

تم حساب المراتب النهرية لحوض وادي غزة، وفق منهج ستريير (1958)، التي تتلخص في أن المسيلات المائية والجداول الصغيرة التي لا تصب فيها مسילות او وديان اخرى تنتمي الى المرتبة الأولى، وعند القاء مجرى مائي من المرتبة الاولى مع مجرى اخر من المرتبة نفسها يشكلان مجرى مائي من المرتبة الثانية، وعند القاء وديان المرتبة الثانية يشكلان مجرى مائي من المرتبة الثالثة، وهكذا حتى تصل الى المصب الرئيس للنهر⁽²⁾. ووفق هذه الطريقة فقد قام الباحث بتصنيف شبكة الصرف لحوض وادي غزة إلى مراتبها وقد أثبتت بأن الوادي الرئيسي يتكون من سبعة مراتب نهرية كما هو موضح في الجدول رقم (14) والخريطة رقم (71).

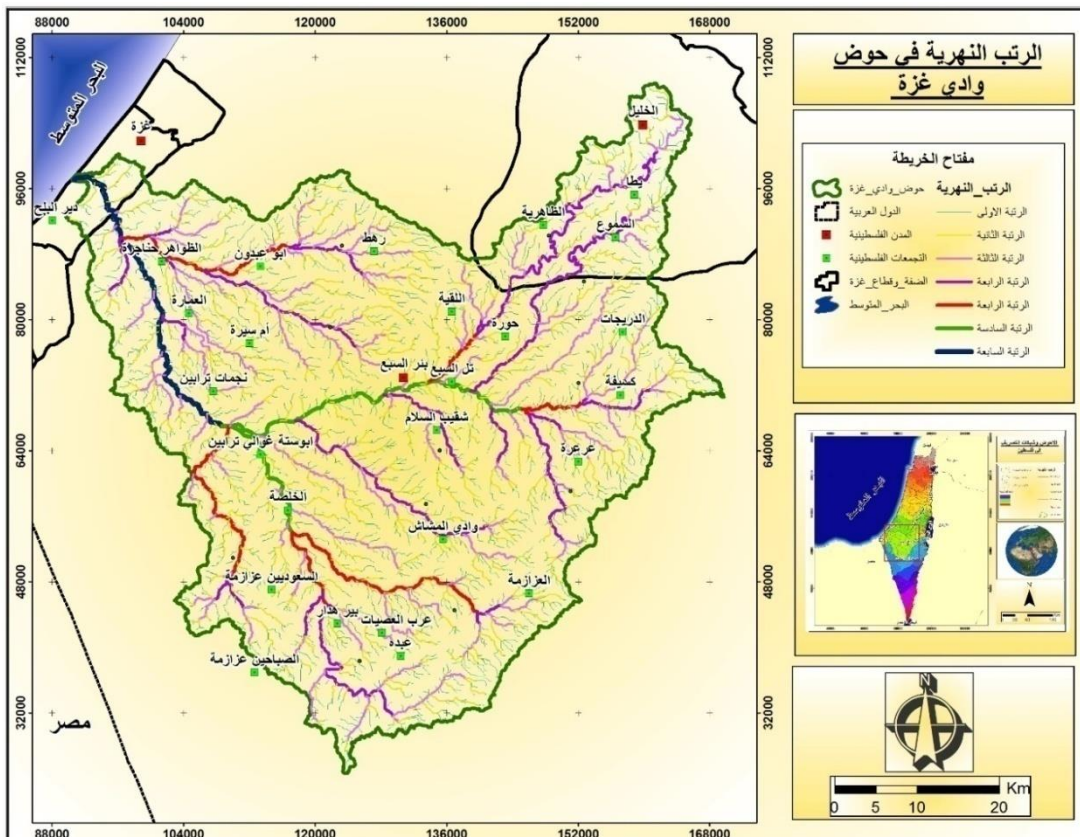
¹ محمد صبري محسوب، جيومرفولوجية الاشكال الارضية، مرجع سابق، ص 210.

² آرثر ستريير، اشكال سطح الارض، دراسة جيومرفولوجية، مرجع سابق، ص 203.

جدول (14): المراتب النهرية في حوض وادي غزة

أطول الروافد في الرتبة	أقصر الروافد في الرتبة	النسبة %	مجموع الاطوال كم	النسبة %	عدد الروافد في كل رتبة	الأحواض
5.38	0.043	51.4	2460.61	76.1	2885	الرتبة الاولى
5.49	0.040	24	1149.85	17.6	668	الرتبة الثانية
6.28	0.41	12.3	590.48	5.4	207	الرتبة الثالثة
6.76	0.45	6.6	318.10	0.47	18	الرتبة الرابعة
14.96	2.58	3	146.07	0.18	7	الرتبة الخامسة
37.84	16.26	1.5	72.46	0.05	2	الرتبة السادسة
45.10	45.10	0.9	45.10	0.02	1	الرتبة السابعة
		100	4782.67	100	3788	المجموع

المصدر: عمل الباحث بالاعتماد على قياسات شبكات التصريف.



خرائطة (71): الرتب النهرية في حوض وادي غزة

المصدر: عمل الباحث بالاعتماد على قياسات شبكات التصريف.

ومن الجدول رقم (14)، يظهر إن مجموع المجاري المائية لحوض وادي غزة بجميع رتبها بلغ (3788) واد، في حين بلغ اعداد مجاري الرتبة الاولى (2885) واد، بنسبة (%) من مجموع اودية الحوض، اما عدد مجاري الرتبة الثانية (668) واد، وبنسبة (%) 76.1 والرتبة الثالثة (207) واد، بنسبة (%5.4). واحتلت المراتب المتبقية اعداد قليلة مسجلة أدنى النسب.

2.1.3.4 أطوال المجاري المائية

بلغ مجموع أطوال المجاري المائية لجميع اودية الحوض (4782.67 كم)، يلاحظ جدول (18)، تمثل اطوال روافد المرتبة الاولى منها نحو (2460.61 كم) وبنسبة (%) 51.4 من مجموع اطوال المجاري المائية، في حين تمثل اطوال روافد المرتبة الثانية (1149.85 كم) وبنسبة (24%) وكانت حصة المرتبة الثالثة (590.48 كم) بنسبة (%12.3) وكانت نسبة المرتبة الرابعة (318.10 كم) ونسبتها (%6.6) وسجلت المرتبة الخامسة (146.07) وبنسبة (3%) اما المرتبة السادسة فبلغ مجموع اطوال روافدها (72.46 كم) ونسبتها (%1.5)، وجاءت المرتبة السابعة (45.10 كم) وبنسبة (0.9%) من مجموع اطوال المجاري المائية في المنطقة.

إن التباين في اطوال الروافد النهرية ما بين اجزاء الحوض المختلفة، يعود ذلك الى التشوہات البنیوية، والفوائل، والانکسارات، والتکوینات الصخرية، ونمط التصريف، لاسیما الدورة الحتية التي لاتزال في مرحلة الشباب.

3.1.3.4 نسبة التشعب (Bifurcation Ratio)

المقصود بنسبة التشعب النسبة بين عدد الفنوات المائية لمرتبة ما وبين عدد الفنوات المائية للمرتبة التي تليها مباشرة، وتکمن اهمية هذه النسبة بانها تتحكم في كمية التصريف، اذ كلما كانت قيم نسبة التشعب منخفضة زاد خطر الفيضان؛ وذلك بسبب سرعة وصول الموجات المائية إلى المجرى الرئيسي والمصب، وتعد نسبة التشعب انعکاس الاحوال المناخية والتضاريسية والجيولوجية للإقليم المدروس، فضلا عن كثافة الصرف وذروة الجريان ومظاهر

سطح الارض للحوض النهري، وتتراوح نسبة التشعب في الاحواض النهرية العادبة غالباً ما بين (3-5).¹

تعد نسبة التشعب أحد المؤشرات التي توضح تماثل بيئه الحوض الجيولوجية وظروفه المناخية او انعدام مثل هذا التماثل، اذ ان اقتراب نسب قيم التشعب بين مجاري مراتب النهر من (3-5) دليل على تشابه حوض النهر جيولوجيا ومناخيا²، وان ارتفاع او انخفاض هذه النسب عن الحدود المذكورة انفا دليل على عدم تماثل الحوض جيولوجيا ومناخيا.

جدول (15): نسب التشعب لحوض وادي غزة

الرتبة النهرية	عدد المجاري	نسبة التشعب	الرتبة النهرية	* النسبة العدد	اعداد المجاري لكل رتبتين متاليتين
المجموع		27.1	3788	4690	19980.4
1	2885				
2	668	4.3			3553
3	207	3.2			875
4	18	11.5			225
5	7	2.6			25
6	2	3.5			9
7	1	2			3

$$\text{معدل نسبة التشعب: } 4.26 = \frac{4690}{19980.4}$$

من تحليل جدول (15)، يظهر أن نسب التشعب لحوض وادي غزة، بلغت (4.5)، ومعدل نسبة التشعب (4.26) وهو ما يتفق مع المدى الذي حدده ستريلير، وبدراسة نسبة التشعب نجد ان مجاري الرتبة الأولى تمثل أربعة أمثال الرتبة الثانية تقريباً، فيما شكلت الرتبة الرابعة نسبة تشعب عالية جداً، ويعود ذلك الى ان معظم مجاري الرتبة الرابعة تقع في المناطق الأقل رطوبة على العكس من مجاري الرتبة السادسة التي تقع في المناطق الأكثر رطوبة، ويعود

¹ Strahler, A.N. (1964), **Quantitative Geomorphology of Drainage Basin and Channel Network**, Handbook of Applied Hydrology: p 39-76.

² مهدي الصحاف وكاظم موسى، هيدرومورفومترية حوض رافد الخوصر، مرجع سابق، ص44-54.

سبب ارتفاع نسبة التشعب بشكل عام عادة الى نوعية الصخور السائدة المكونة من الجير والمارل التي تعمل على تعطيل العمليات الحت المائي، وأيضا يعود الى شدة الانحدار.

2.3.4 كثافة شبكة التصريف

تعبر الكثافة التصريفية عن مدى تأثير الاحواض بعمليات التعرية النهرية، والتي تتأثر بالعديد من العوامل منها نوع الصخر وطبيعة التضاريس والغطاء النباتي ونفاذية التربة والمناخ الذي يتوقف عليه نشاط او توقف تلك العوامل في عمليات التعرية داخل احواض التصريف.

1.2.3.4 كثافة الصرف (Drainage density)

المقصود بكثافة الصرف درجة انتشار شبكة المجاري النهرية وتفرعها ضمن مساحة محدودة¹، وتكمم اهمية هذا القياس بكونه أحد العوامل المؤثرة في جريان المياه في اثناء سقوط الامطار، ولकثافة الصرف علاقة مباشرة بالأحوال المناخية وطبيعة تركيب الطبقات الصخرية المقاومة لعوامل التعرية وطبوع رافية الحوض، ويعد المناخ وشكل سطح الارض مسؤولاً عن الكثافة التصريفية بنسبة (97%).

❖ وكثافة الصرف نوعين هما:

1.1.2.3.4 كثافة الصرف الطولية

تعني نسبة اطوال المجاري في الحوض كاملة لمساحة التغذية ويعبر عنها من خلال مجموع اطوال المجاري على مساحة الحوض، حيث انها تعد من أكثر المعادلات المورفومترية التي لاقت اهتماماً من قبل الهيدرولوجيين والجيومورفولوجيين؛ ذلك لأنها تعكس نصيب كل واحد كيلو متر مربع من مساحة الحوض من شبكة المجاري المائية بالكيلومتر، فكلما ارتفعت كثافة التصريف ارتفعت كفاءة الشبكة في نقل المياه والحمولة المتداقة حولها.

¹ ار. جي. كورلي، حوض التصريف كوحدة جيومورفولوجية اساسية، المدخل لدراسة العمليات النهرية، دراسة في الجيومورفولوجيا، ترجمة وفيق الخشاب جامعة بغداد، مطبعة جامعة بغداد، 1979، ص 66.

عند تطبيق المعادلة كثافة الصرف الطولية يظهر إن كثافة الصرف في حوض وادي غزة بلغت ($1.33 \text{ كم}/\text{كم}^2$)، وتباين الأحواض الثانوية عن هذه القيمة بشكل بسيط جدا، إذ تراوحت ما بين ($1.31 \text{ كم}/\text{كم}^2$) في أحواض الرتبة الثالثة كأقل قيمة، بينما كانت أعلى القيم ($1.37 \text{ كم}/\text{كم}^2$) في أحواض الرتبة الثالثة، يلاحظ الجدول رقم (16).

جدول (16): متوسطات خصائص كثافات شبكة التصريف للأحواض الثانوية وحوض غزة

رقم الترشيح	شدة الصرف	معدل بقاء المجرى كم^2	كثافة الصرف العددية $\text{كم}/\text{كم}^2$	كثافة الصرف الطولية $\text{كم}/\text{كم}^2$	مجموع اطوال الاودية / كم	مجموع اعداد الاودية	/ المساحة كم^2	الحوض
1.39	0.78	0.74	1.05	1.33	4782.67	3788	3579.9	حوض وادي غزة (الرتبة السابعة)
1.42	0.79	0.74	1.06	1.34	1681.9	1336	1250.80	احواض الرتبة السادسة
1.49	0.79	0.72	1.09	1.37	493.2	395.1	359.92	احواض الرتبة الخامسة
1.98	1.10	0.74	1.48	1.34	183.5	202.5	136.37	احواض الرتبة الرابعة
1.15	0.67	0.76	0.88	1.31	27	18.3	20.60	احواض الرتبة الثالثة
1.48	0.83	0.74	1.1	1.33				المعدل

المصدر: بالاعتماد على الجدول (15)، وعلى قياسات شبكات التصريف.

أن قلة كثافة الصرف الطولية يمكن ان يفسر بكبر مساحات الاحواض، والى وقوعها ضمن مناطق تعرضت الى تسوية شديدة، بفعل عمليات الحفر والتجويف الكيماوية التي تنتشر عليها رواسب العصر الرباعي والصخور الدولوماتية. اما الاحواض التي ترتفع فيها قيم كثافة الصرف، تعود بالأساس الى طبيعة كثافة صخورها الكلسية، واحتواها على نسب عالية من الطين، مما يؤدي الى تقليل النفاذية وزيادة حجم الجريان السطحي على حساب معدل الرشح. عليه تمثل معرفة الكثافة الطولية لأودية اهمية كبيرة، لأنثرها في عمليات الحفر والارسال، اذ

كلما ازدادت اطوال المجاري ازدادت سرعة الجريان على اعتبار ثبات العوامل الأخرى، وكلما ازدادت سرعة الجريان ازدادت عمليات الحث، ومن ثم ازدادت عمليات الإرساب.

2.1.2.3.4 كثافة الصرف العددية (التكرار النهرى Stream Frequency)

تعبر كثافة الصرف العددية عن مجموع عدد الأودية او الروافد المائية في وحدة المساحة ضمن حوض التغذية ويعبر عنها بمجموع اعداد الاودية بجميع رتبها على مربع المساحة للحوض، حيث تشير القيم المرتفعة لتكرارية المجاري الى إمكانية عالية لتجميع المياه داخل حوض التصريف ومن ثم حدوث جريان مائي بصورة اكبر، وعادة ما تتحفظ تكرارية المجاري في الاحواض الكبيرة وتزداد في الاحواض الصغيرة؛ وذلك بسبب ان الاحواض الكبيرة تكون قد فقدت كميات كبيرة من محتوى موادها الصخرية ذات القابلية الشديدة للتعرية المائية وبالتالي تقل بها مسارات التصريف المائي للوحدة المساحية^١، بينما يوافق زيادة معدل اطوالا لمجاري في الوحدة المساحية زيادة أخرى في عددها.

من مراجعة الجدول رقم (18)، يظهر بان التكرار النهري لحوض وادي غزة (1.05 وادي /كم²)، في حين اقترب معدل مجموع الاحواض الثانوية المكونة للحوض (1.1 وادي/كم²)، وتفاوتت الاحواض الثانوية عن هذا المعدل ما بين (0.88 وادي/كم²) في احواض الرتبة الثالثة، وبين (1.48 وادي /كم²) في احواض الرتبة الرابعة.

ترتبط قيم التكرار النهري بالطبيعة الصخرية، والمناخ والعوامل التضاريسية، ومدى وفرة وتوارد النبات الطبيعي، ومن خلال الدراسة السابقة لهذه العوامل والعمليات المرتبطة بها، وجد نوع من الارتباط بين نوعية الصخور وقيم التكرار النهري، اذ تزداد القيم في حالة الصخور الصلبة التي لم تتعرض الى عمليات رفع تكتونية، وللمطر الفعال دوره الرئيس في زيادة الكثافة العددية التي تزداد مع زيادة الانحدار وسيادة الصخور الرسوبية الصلبة، وهذا ينطبق على حوض وادي غزة.

¹ سلامة، حسن رمضان، (2010)، *أصول الجيومورفولوجيا*، ط3، دار الميسرة، عمان، الأردن، ص122.

2.2.3.4 معدل بقاء المجرى (Stream remains ratio)

يستخدم هذا العامل للدلالة على متوسط الوحدة المساحية الازمة لتغذية الوحدة الطولية (كم) في مجاري شبكة التصريف، وكلما زادت قيمة هذا العامل كلما ابتعدت المجاري بعضها عن البعض الآخر.

بتطبيق هذه العلاقة على حوض وادي غزة، يظهر ان معدل بقاء المجرى بلغ (0.74 كم²/كم)، وبلغ معدل مجموع الاحواض الثانوية (0.74 كم²/كم)، تراوحت عن المعدل ما بين (0.72 كم²/كم) في الحوض الخامس وبين (0.76 كم²/كم) في الحوض الاول، يراجع الجدول رقم (18).

يلاحظ أن معدل بقاء المجرى يرتبط بالمرحلة الحتية، اذ ان تقارب هذه الاودية من بعضها البعض، وتقلص المساحات الفاصلة بينها في اودية الحوض، التي تمر بمرحلة الشباب، اذ تصل قيمة معدل بقاء المجرى الى حدتها الاندی، والعكس صحيح. ان معدل بقاء المجرى لا يتأثر بالمرحلة الحتية ذاتها، وانما بالطبيعة الصخرية من حيث المسامية، والنفاذية. فكلما كان معدل الجريان أكثر من معدل التسرب زاد من شدة الاحت المائية بنوعيها. كما يسهم عامل التضرس، وقلة النبات الطبيعي، في قلة معدل بقاء المجرى.

3.2.3.4 شدة الصرف (Drainage Intensity)

أوجد Faniran شدة الصرف من خلال نسبة تكرارية المجاري على الكثافة التصريفية، وتشير القيم المنخفضة لشدة الصرف لانخفاض الجريان السطحي للمياه، فيترتب على ذلك بطء في عملية ازالة اسطح الاحواض مما يجعلها تحتاج الى مدة اطول من الزمن لتسوية تضاريسها، ويرتبط مع انخفاض الجريان حدوث انهيارات ارضية ولكنها لا تعزى الى الجريان وانما لعوامل أخرى.

بلغت شدة الصرف لحوض وادي غزة (0.78) وهي قيمة منخفضة جداً تشير الى بطء الجريان السطحي بمنطقة الحوض؛ وذلك لانخفاض قيم كل من الكثافة التصريفية وتكرارية

المجاري في المنطقة، حيث بلغ المتوسط العام لشدة الصرف في احواض الرتب المختلفة إلى (0.74) وهي نفس قيمة حوض وادي غزة.

4.2.3.4 رقم الترشيح (Infiltration Number)

يعطى فكرة عن مدى تسرب المياه إلى باطن الأرض وما يترب على ذلك من سرعة او ببطء الجريان السطحي للمياه، فتدل القيم المرتفعة إلى سرعة الجريان السطحي وجود تربة او صخور غير منفذة للمياه، بينما تشير القيم المنخفضة إلى بطء الجريان السطحي وتواجد تربة ذات نفاذية عالية تسمح بترشيح المياه للخزان الجوفي¹، كما توجد علاقة عكسية بين كثافة الشبكة المائية من جهة وطاقة التسرب من جهة أخرى، فمع زيادة التسرب تنخفض الكثافة التصريفية لمشبكة النهرية²، وهو ما يؤخر الجريان السطحي للمياه بسبب النفاذية العالية للمواد السطحية التي يتكون منها الأحواض.

ومن خلال الجدول (18) بلغ المتوسط العام لقيم الترشيح بمنطقة الحوض (1.48) وهي قيم منخفضة، وتتفق مع قيم الكثافة التصريفية وتكرارية المجاري المائية وشدة الصرف، وبلغ معامل الترشيح لحوض وادي غزة (1.39) وهي أيضاً قيمة منخفضة جداً، وتقارب القيم من في الأحواض الثانوية حيث حصل أحواض الرتبة الثالثة على أقل قيمة ترشيح (1.15)، في حين حصلت أحواض الرتبة الرابعة على أعلى قيمة ترشيح (1.98).

3.3.4 معامل الانعطاف (Sinuosity Factor)

يعبر عنه بالطول الحقيقي للمجرى المائي للنهر او الوادي إلى الطول المثالي للمجرى، ويقصد بالطول الحقيقي للمجرى، بأنه المسافة التي يقطعها النهر على اليابس، اما الطول المثالي فهو أقصر طريق يسلكه المجرى بين المنبع والمصب، ويكون عادة الطول الحقيقي أكبر من الطول المثالي.

¹ Pareta, K. Pareta, U. (2012), Quantitative Geomorphological Analysis of a Watershed of Ravi River Basin, H.P. India, International Journal of Remote Sensing and GIS, p 56.

² Carlston, C. (1963), Drainage Density and Streamflow, Physiographic and Hydraulic Studies of Rivers: C1-C8.

تأتي أهمية هذا العامل من ناحية التأثير في سرعة الجريان وانسياب المجرى، ومدى ارتباط درجة الالتواء مع كميات التبخر والتسرب المائي من النهر او الوادي، التي تزداد مع ازدياد الالتواء، لاسيما معرفة المرافق الجيولوجية للنهر وقدرته على عملية التعرية الجانبية في اي اتجاه، وهذا له اثر في استخدام الاراضي بصورة عامة في المنطقة.

❖ وهناك من قسم شكل المجرى النهرى او مجرى الوادي بحسب التدرج الى ثلاثة اشكال¹:

1- إذا كانت النسبة اقل من (1.1) يكون النهر او الوادي مستقيماً.

2- إذا كانت النسبة ما بين (1.1-1.5) يكون ملتوياً.

3- إذا كانت أكثر من (1.5) يكون النهر او الوادي منعطفاً.

من خلال الجدول رقم (17) يتضح بان حوض وادي غزة يمتاز بالتواء حيث بلغت قيمة معامل الانعطف (1.1)، وذلك بسبب الاودية التي اثرت فيها البنية الجيولوجية والتضاريس التي جعلت تلك الاودية تسلك طريقها بتعرجات مختلفة، اذ ان الالتواء يقلل من سرعة وصول جريان المياه، وكذلك يؤدي الى قلة كميات المياه الجارية لزيادة كميات التبخر والتسرب المائي، وتتفق جميع الاحواض الثانوية بانها تقع ضمن النسبة (1.5-1.1).

جدول (17): متوسطات معامل الانعطف للأحواض الثانوية وحوض وادي غزة

معامل الانعطف	الطول المثالي / كم	الطول الحقيقي / كم	رقم الحوض
1.11	152.8	137.26	حوض وادي غزة (الرتبة السابعة)
1.30	89.2	68.6	احواض الرتبة السادسة
1.26	43.8	34.6	احواض الرتبة الخامسة
1.29	29.2	22.5	احواض الرتبة الرابعة
1.13	10.1	8.86	احواض الرتبة الثالثة

المصدر: الاعتماد على الجدول (11)، والتحليل داخل ArcGIS.

¹ خلف حسين علي الدليمي، مصدر سابق، ص 174.

الخلاصة

ينتهي حوض وادي غزة بالرتبة السابعة، وبلغ مجموع عدد المجاري لجميع الرتب 3788 كم، وتعتبر احواض التصريف ذات الشكل المستطيل بينما وأكدت احواضه الثانوية أيضا على اقترابه من الشكل المستطيل أكثر من الشكل الدائري وهذا يعني ان خطورة حدوث فيضانات قليلة نسبيا، كما وأكدت نسب معامل الاستطاله على قربه من الشكل المستطيل، وأكّدت نسب معامل الشكل على قربه من الشكل المثلث لذى يدعم هذا المعامل على ابعاده من الشكل الدائري، ودلت الخصائص التضاريسية على ان الحوض قد قطع شوطا كبيرا في دورته التحتائية اذ بلغ فارق الارتفاع بين اعلى واقل نقطة في المصب 1025م مقابل طول الحوض 132 كم، ودلت قيمة الوعورة على انحدار المجرى المائي في حوض وادي غزة، ومن خلال تطبيق معامل نسبة التقطيع أظهرت ان الحوض يقع ضمن النسيج الناعم، وبتطبيق المنحنى الهبوتمي على الحوض اتضح بان الحوض يقع ضمن مرحلة النضج.

ومن خلال تطبيق معادلات كثافة التصريف على حوض وادي غزة تبين ان كثافة الصرف للحوض بلغت ($1.33 \text{ كم}/\text{كم}^2$)، وان قيم الترشيح في الحوض منخفضة وذلك بسبب قيم الكثافة التصريفية وتكرارية المجاري وشدة الصرف التي تعطي مدلولا على ان الحوض انخفاض قيمة التصريف، وبقسمة طول المجرى الحقيقي للحوض على المجرى المثالى (طول الحوض) تبين ان حوض وادي غزة يمتاز بالالتواء.

الفصل الخامس

استغلال الأمطار الجارية اقتصاديا في الأجزاء الداخلية لحوض وادي غزة من محافظة الخليل

1.5 مصادر المياه في منطقة الدراسة

2.5 الحصاد المائي

3.5 استغلال المياه المخزنة لاستخدامها في الزراعة

4.5 التنمية الاقتصادية

الفصل الخامس

استغلال الأمطار الجارية اقتصاديا في الأجزاء الداخلية لحوض وادي غزة من محافظة الخليل

تمهيد

تعد الموارد المائية أحد أهم متطلبات بناء المجتمعات المدنية والريفية وتتطورها، فاللتقطيط وتقدير وإدارة الموارد المائية أصبح واحدا من أهم المواضيع في حياة البشرية، خاصة في المناطق الجافة وشبه الجافة مثل المناطق الجنوبية من الضفة الغربية بسبب محدودية الأمطار الساقطة وتوزيعها بالإضافة إلى قلة المتوفر من المياه الجوفية. وقد يعود السبب في ذلك إلى التغيرات المناخية الكبيرة التي شهدتها كوكب الأرض مؤخراً، ومواحة الجفاف الكبيرة التي تعاني منها المنطقة علاوة على قلة الواردات المائية في المنطقة لاستيلاء الاحتلال الإسرائيلي على معظم المياه الجوفية في فلسطين وتحديد كمية المياه المستخدمة للزراعة، أصبح موضوع إيجاد مصادر للمياه مع استغلال المتوفر منها بالطريقة المثلثة في غاية الأهمية، حيث يمثل حصاد المياه أهم وأقدم التقنيات المعروفة في هذا المجال.

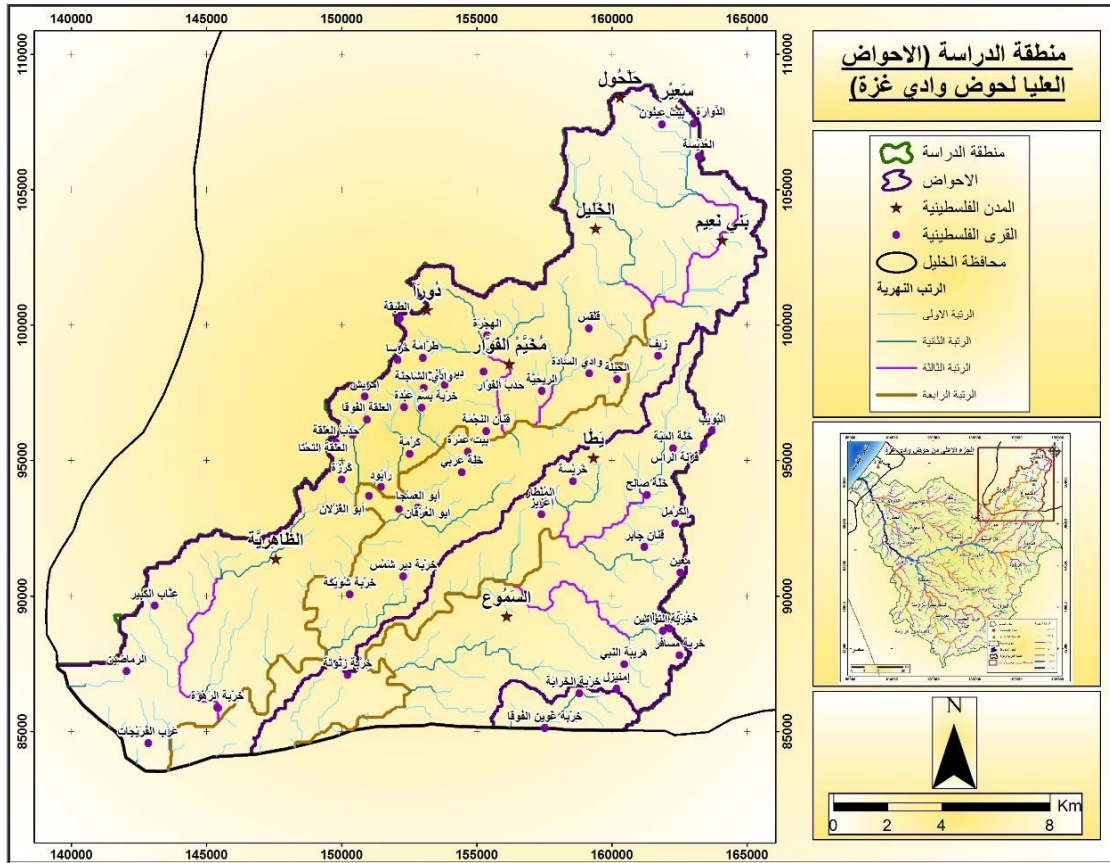
إن عملية اختيار موقع السدود أو الآبار الصناعية في المناطق الجافة تواجه كثيراً من الصعوبات لعدة أسباب، تتمثل بكون هذه المناطق غير مأهولة، وتنقفر إلى البنى التحتية مما جعل من التنقل فيها عملية صعبة جداً خصوصاً إذا علمنا أن وديان المنطقة ذات مساحات شاسعة، لذلك فإن عملية البحث عن وسائل جديدة لتجاوز هذه الصعوبات يعد من الأهمية بمكان. وقد اكتسب تطبيق نظم المعلومات الجغرافية في مجال دراسة إدارة المياه بعداً استراتيجياً خاصاً أن الماء يعتبر من أكثر العناصر البيئية التي تحتاج إلى إدارة وترشيد¹، بل ويمكن اعتباره العنصر الأكثر تحكماً في الإدارة البيئية والمؤشر الأكثر وضوحاً في رصد التغيرات البيئية المختلفة، وبعد الربط بين نظم المعلومات الجغرافية وتحليل البيانات المكانية أمراً بالغ الأهمية

¹ سعيد، محمد عقوب محمد، (2006)، تطبيقات نظم المعلومات الجغرافية في دراسة المياه، جامعة الإمارات العربية المتحدة.

في البحث والاستكشاف¹، واستخلاص العديد من البيانات مثل مساحات الجبليّة والمساحة السطحية من اختيار السد بارتفاع معين وكمية الخزن وطول السد وارتفاعه.

تأتي أهمية هذا الفصل في استثمار الموارد المائية لأغراض الزراعة والصناعة ومياه الشرب ان أمكن وغيرها من الاستخدامات في الجزء العلوي من حوض وادي غزة الذي يتقطع مع حدود محافظة الخليل الداخلية كما في الخريطة رقم (72)؛ حيث يجب تقييم هذه الموارد من حيث الكم والنوع؛ وذلك لأن عملية التقييم مستمرة تأخذ صفة الديمومة والتتابع كون حجم المياه الذي يوفرها أي نظام مائي خلال فترة زمنية محددة ليست ثابتة وخاصة بان منطقة الدراسة تختلف مناخيا من سنة لأخرى، لذا لا بد من تحديث دورى للمعلومات المتعلقة بالمناخ، ولهذا لا بد من استخدام تقنيات تساعد على تحسن عمليات الرصد المائي والمتابعة من خلال تخزين البيانات بشكل متتابع، وتأتي أهمية نظم المعلومات الجغرافية أولاً: بإعطاء صورة لما هو موجود بمنطقة ما من كمية تساقط للأمطار وكمية التبخر وغيرها من العناصر الأخرى، وثانياً: بيان مدى دقة تطابق المعلومات الخاصة بأعمال اختيار موقع السدود والمتمثلة بكمية الخزن والارتفاع والمساحة السطحية باستخدام نظم المعلومات الجغرافية مع السدود او التي يمكن الاعتماد عليها في سد بعض الاحتياجات المائية، وتوصيلها بأفضل الطرق لاستغلالها بالشكل المناسب.

¹ الديوكات، قاسم محمد، (2003)، **أنظمة المعلومات الجغرافية**، جامعة مؤتة، الأردن، الطبعة الثانية.



خريطة (72): الجزء الداخلي من الحوض في محافظة الخليل

المصدر: من عمل الباحث بالاعتماد على خريطة حوض وادي غزة

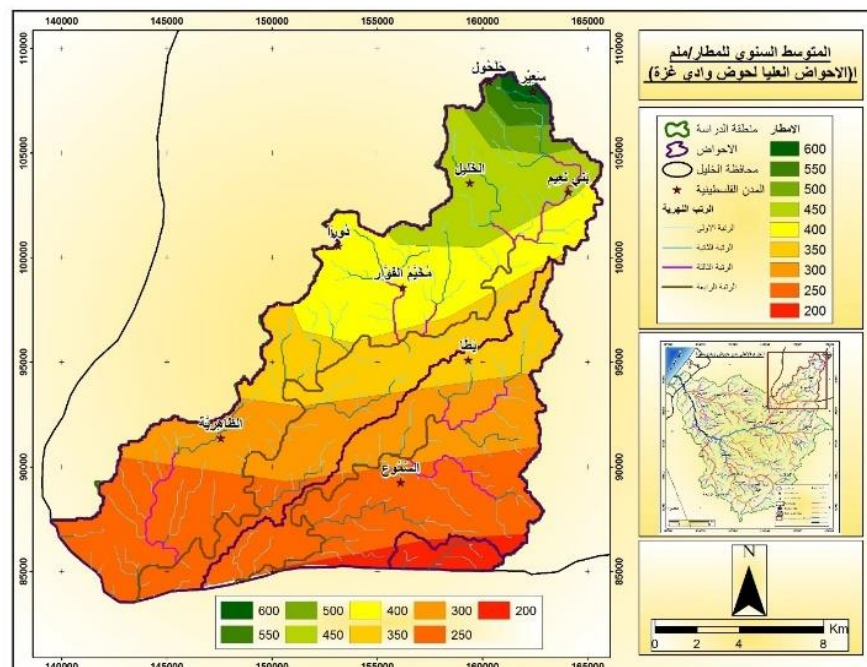
1.5 مصادر المياه في منطقة الدراسة

تعد المياه من أهم الموارد الطبيعية، لأن باقي النشاطات البشرية الأخرى تعتمد عليها بشكل مباشر في الزراعة والصناعة والاستخدامات المنزلية الأخرى، وبشكل غير مباشر في عمليات النقل أو التبريد في الصناعة، وللمسطحات المائية إمكانيات مهمة يمكن استثمارها في السياحة الطبيعية، وتزداد أهميتها في المناطق الجافة وشبه الجافة بشكل كبير، لأن وجودها وتوزيعها يحدد توزيع السكان وكثافة نشاطاتهم، وتزداد أهميتها بتقدم الزمن بسبب نمو حجم السكان وت pari مطالبات التنمية والحاجة إلى توفير الأمن الغذائي الذي يعتمد تحقيقه على وفرة المياه للزراعة، حيث سيتم في هذا البحث عرض واقع حال الموارد المائية وفق الإحصاءات الرسمية.

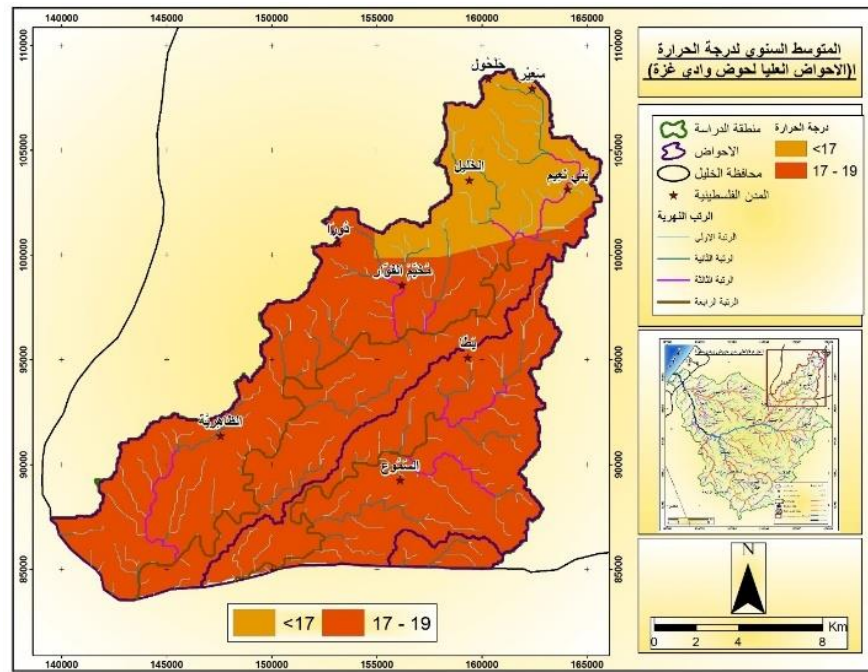
❖ تقسيم مصادر المياه في منطقة الدراسة:

1.1.5 التساقط

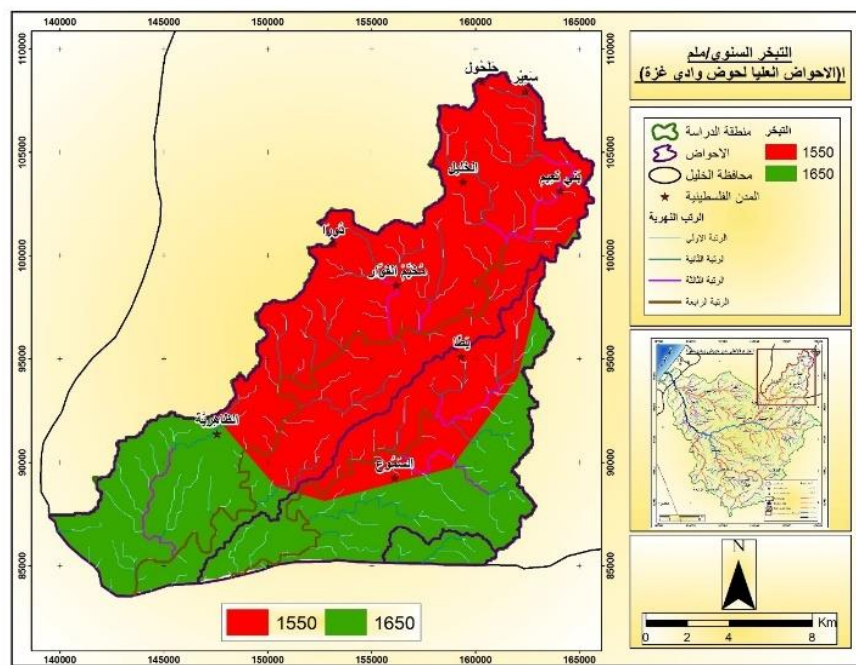
يكون التساقط أما على شكل أمطار أو ثلوج وبرد كما في المناطق الباردة والمرتفعة، ومعظم التساقط في منطقة الدراسة يكون على شكل أمطار، وبسبب طبيعة المناخ شبه الجاف في الجنوب من منطقة الدراسة تتصف الامطار بالشح والتذبذب، وحتى الأجزاء الرطبة وشبه الرطبةأخذت تعاني من التذبذب بسبب التغيرات المناخية شمال من منطقة الدراسة والتي يقع ضمنها مدينة الخليل؛ حيث يتضح من الخريطة رقم (73) ان المعدل السنوي للأمطار يتراوح بين 200 ملم في الجنوب من منطقة الدراسة الى 600 ملم في الشمال منها، لذا فان الاستفادة من الامطار التي تسقط على الجنوب من محافظة الخليل قليلة وذلك بسبب فقدان معظمها بالتبخر وارتفاع درجة الحرارة والتسلب إلى داخل الأرض كما في الخريطة رقم (74-75-76). أما الكمية التي يستفاد منها فهي التي يكون فيها معدل الامطار أكثر من 300 ملم؛ وذلك في مجال حصاد المياه عن طريق انشاء السدود والابار التي يتم فيها تجميع مياه الامطار.



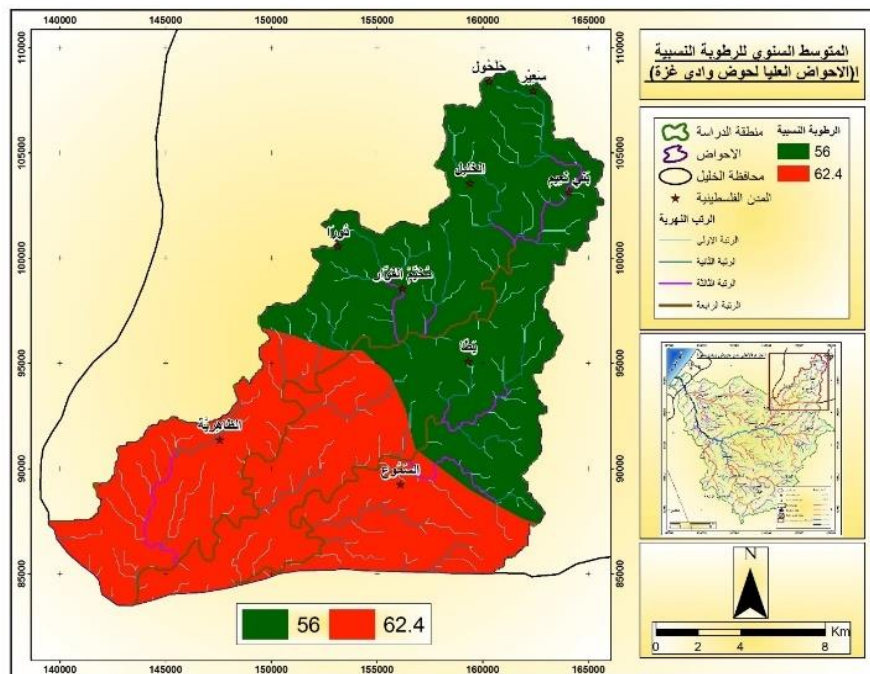
خريطة (73): المعدل السنوي للأمطار



خريطة (74): المتوسط السنوي لدرجات الحرارة



خريطة (75): التبخير السنوي

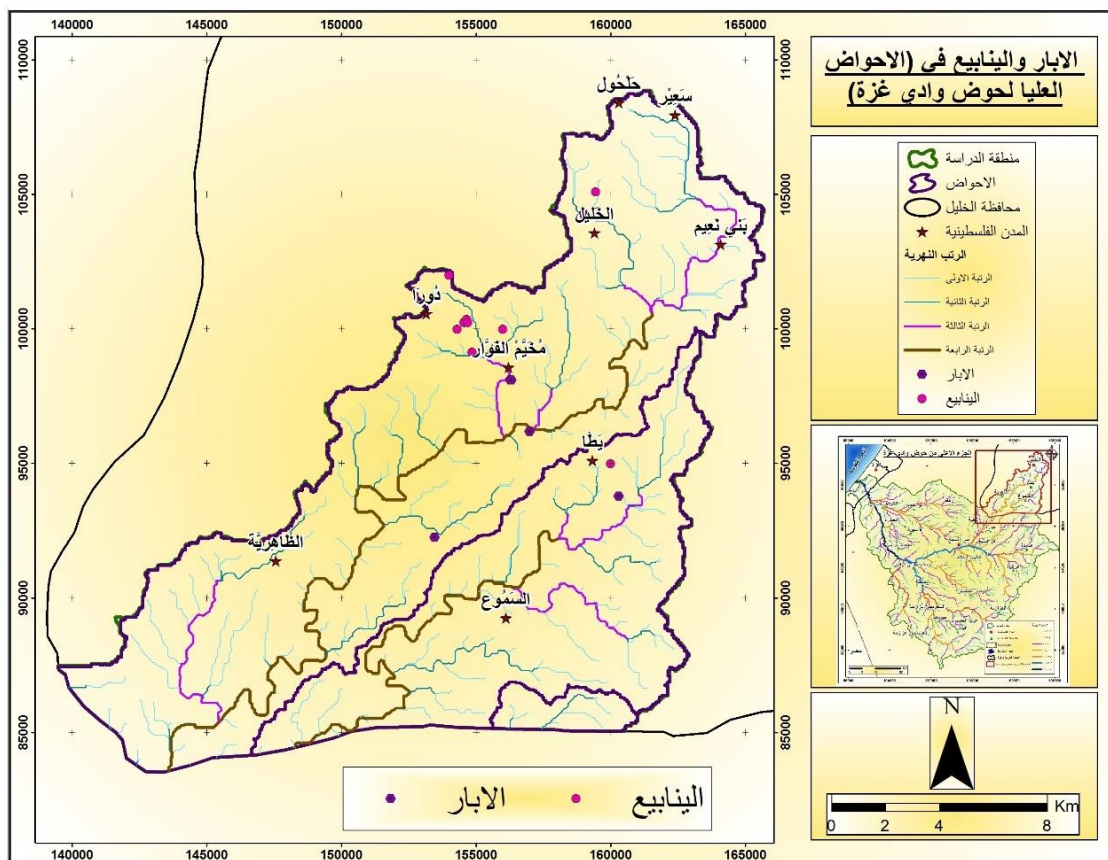


خرطة (76): المتوسط السنوي للرطوبة النسبية

2.1.5 المياه الجوفية

هي المياه التي تتوارد في باطن الأرض وتنقسم إلى قسمين: الأول المياه الجوفية المتتجدة أو تحت السطحية لأنها قريبة من سطح الأرض، وتعتمد في تغذيتها على مياه الأمطار أو التسربات الناتجة عن ترشيح وسريان مياه الأنهار والسيول، وأحواضها وكمياتها تكون صغيرة. أما الثاني: وهي المياه الجوفية العميقة غير المتتجدة ويرجع تجميعها إلى العصور الجيولوجية القديمة.

تؤدي المياه الجوفية دورا هاما في المناطق الصحراوية لأنها المصدر الوحيد للمياه في المناطق الجافة ولهذا أصبحت مناطق تجميع المياه الجوفية ذات أهمية كبيرة في تلك المناطق، ويوجد في منطقة الدراسة (4) ابار و(9) ينابيع كما في الخريطة رقم (77)، ولكن انتاجيتها محدود ويقتصر استخراج المياه في الابار على 5% من المياه الجوفية العلوية، أما الينابيع فإن انتاجيتها محدودة بسبب الانتهاكات القسرية لاستخراج المياه من قبل سلطات الاحتلال الإسرائيلي الذي أشارت إليه سلطة المياه الفلسطينية.



خرطة (77): الابار والينابيع في منطقة الدراسة

المصدر: من عمل الباحث بالاستعانة بخريطة الينابيع والابار من وزارة التخطيط الفلسطيني

2.5 الحصاد المائي

يطلق مصطلح الحصاد المائي على أية عملية مورفولوجية أو فيزيائية تتفذ على الأرض من أجل الاستفادة من مياه الأمطار، سواءً بطريقة مباشرة عن طريق تمكين التربة من تخزين أكبر قدر ممكن من مياه الأمطار الساقطة عليها وتخفيض سرعة الجريان الزائد عليها -هذا الأمر من شأنه إن يسهم في تقليل الانجراف -أو بطريقة غير مباشرة، وذلك بتجمیع مياه الجريان السطحي في منطقة تصريف وتخزين غير معرضة للانجراف واستخدامها لأغراض الري التكميلي للمحاصيل الزراعية أو للشرب أو سقاية الحيوان أو تغذية المياه الجوفية¹.

¹ المنظمة العربية للتنمية الزراعية، (2003)، تعزيز استخدام تقنيات حصاد المياه في الدول العربية.

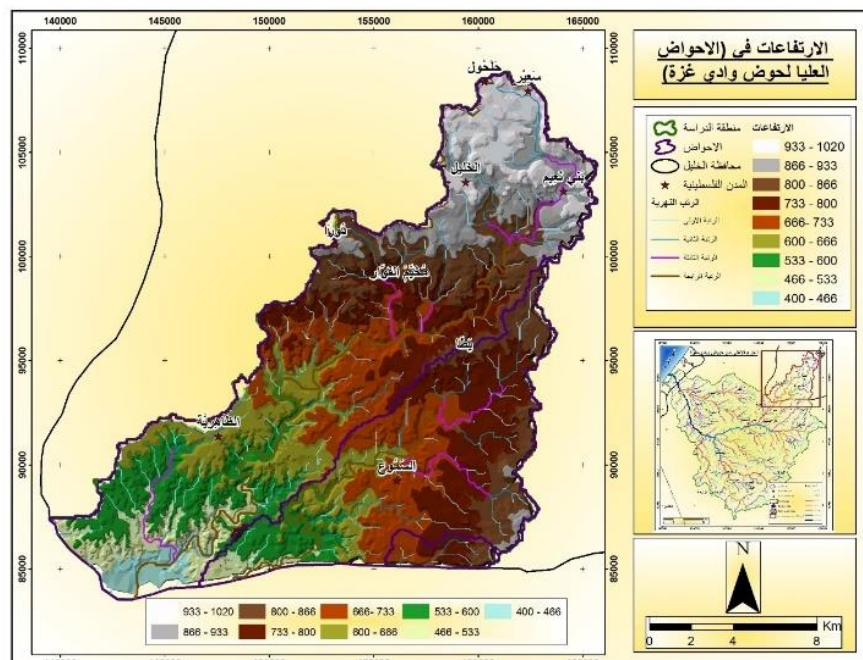
1.2.5 تحديد أفضل المواقع لإنشاء السدود

لقد قام الباحث على اعتماد معايير محددة لاختيار أفضل المواقع لإنشاء السدود من أجل عملية الحصاد المائي، وذلك بما يتلاءم مع واقع الدراسة؛ حيث تم الأخذ بعين الاعتبار كل من العوامل ذات العلاقة وهي الوضع الطبوغرافي، والوضع الجيولوجي والتربة والوضع الديموغرافي (التجمعات السكانية والمستعمرات)، وأشكال المياه الجوفية (الابار والينابيع)، والوضع الهيدرولوجي (كثافة المسيلات المائية)، واستعمالات الأرض.

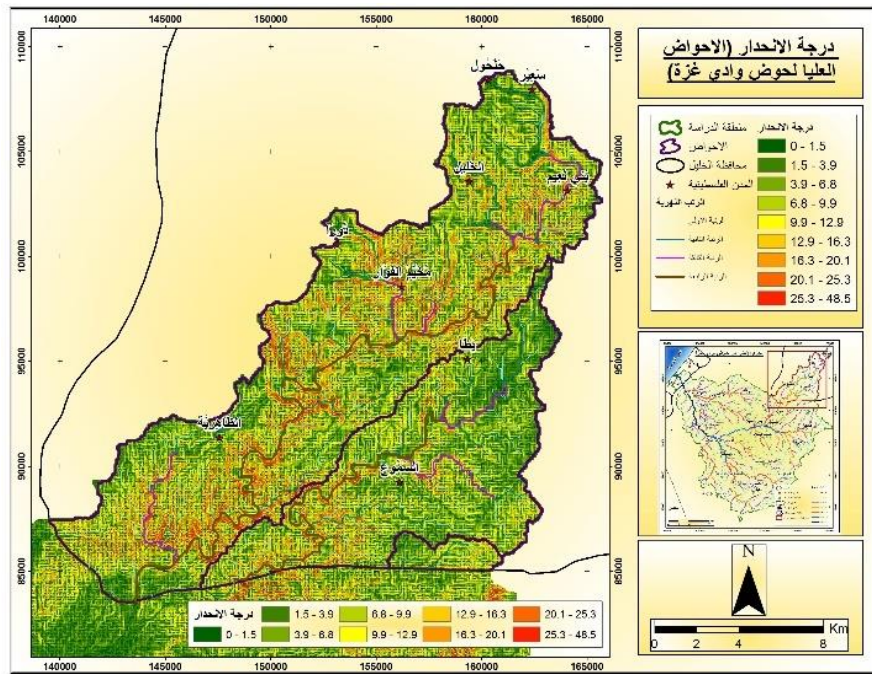
وقام الباحث بتطبيق هذه المعايير على شرائح تم استنبطها باستخدام برنامج GIS من خلال المدخلات الرئيسية التالية:

1.1.2.5 المعايير الطبوغرافية

تم تطبيق المعايير الطبوغرافية على شريحة مخطط الانحدارات كما في الخريطة (78)، حيث تم الاعتماد على أن يكون الانحدار مقبولاً لسطح الأرضي التي يقع ضمنها موقع السدود وهي من (0-11) وفقاً للمعايير العالمية، بحيث تكون الأرضي التي تقع عليها مواقع السدود منبسطة وذات ميل بسيطة لتخزين أكبر كمية من المياه.



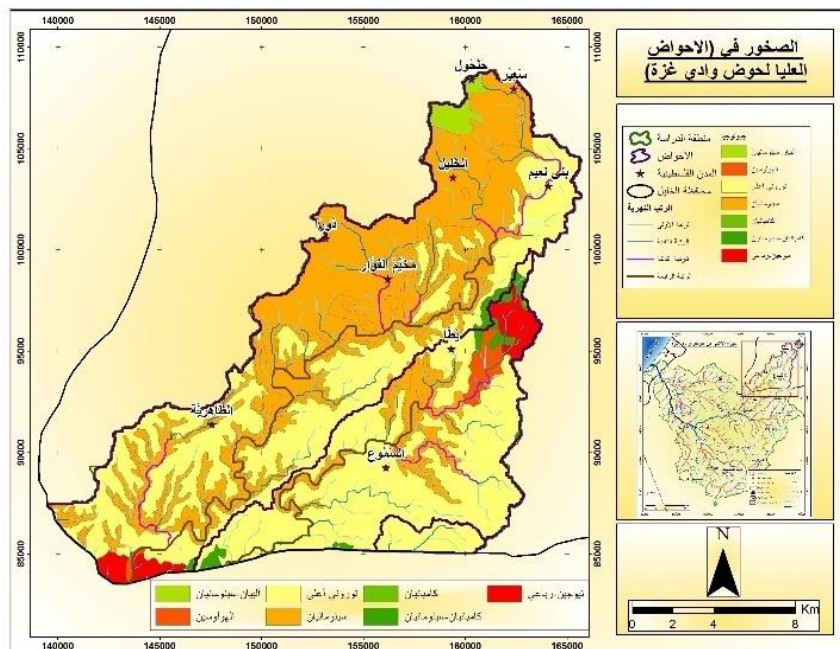
خرائط (78): طبوغرافية المنطقة



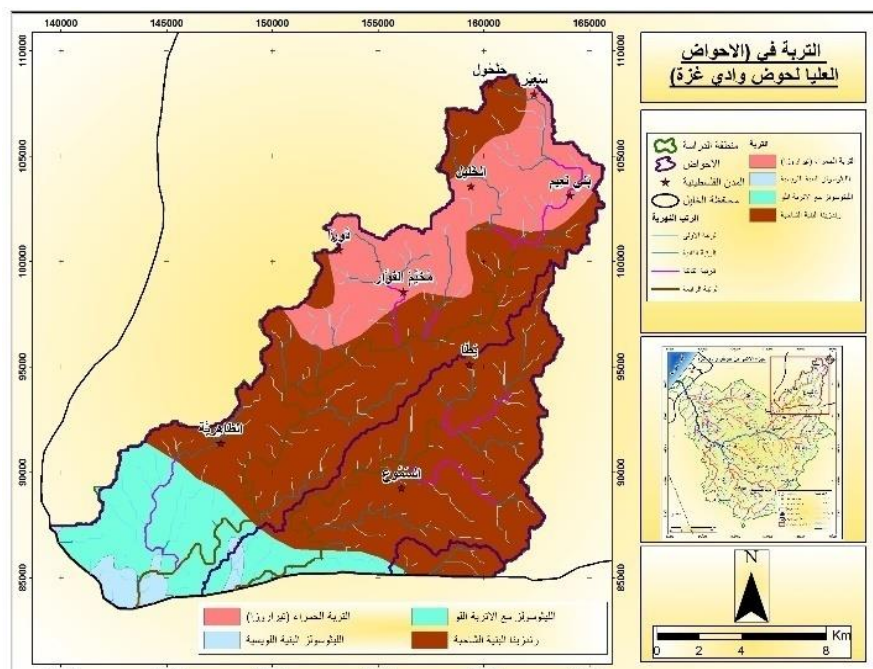
خريطة (79): درجة الانحدار

2.1.2.5 المعايير الجيولوجية والتربة

يجب الاخذ بعين الاعتبار الشريحة التكتونية في تعين موقع السدود؛ حيث يجب ان تكون المواقع المختارة واقعة على ارض ذات أساس متين بعيدة عن التخلعات التكتونية التي غالبا ما تكون نطاقات ذات نفاذية عالية، ومن واقع منطقة الدراسة فان مثل هذه التخلعات قليلة نسبيا؛ وذلك لأن تعرض المنطقة للزلزال اشبه بالمدعومة كما في الخريطة (80)، اما فيما يتعلق بالترابة التي تم وضعها مع المعايير فقد رأى الباحث انها ليست بالأمر المهم عدا أنواع التربة الغنية وذات الخصوبة العالية فيجب الابتعاد عنها، الخريطة (81)، وتم مراعات هذا المعيار في استعمالات الأرض.



خرطة (80): الصخور

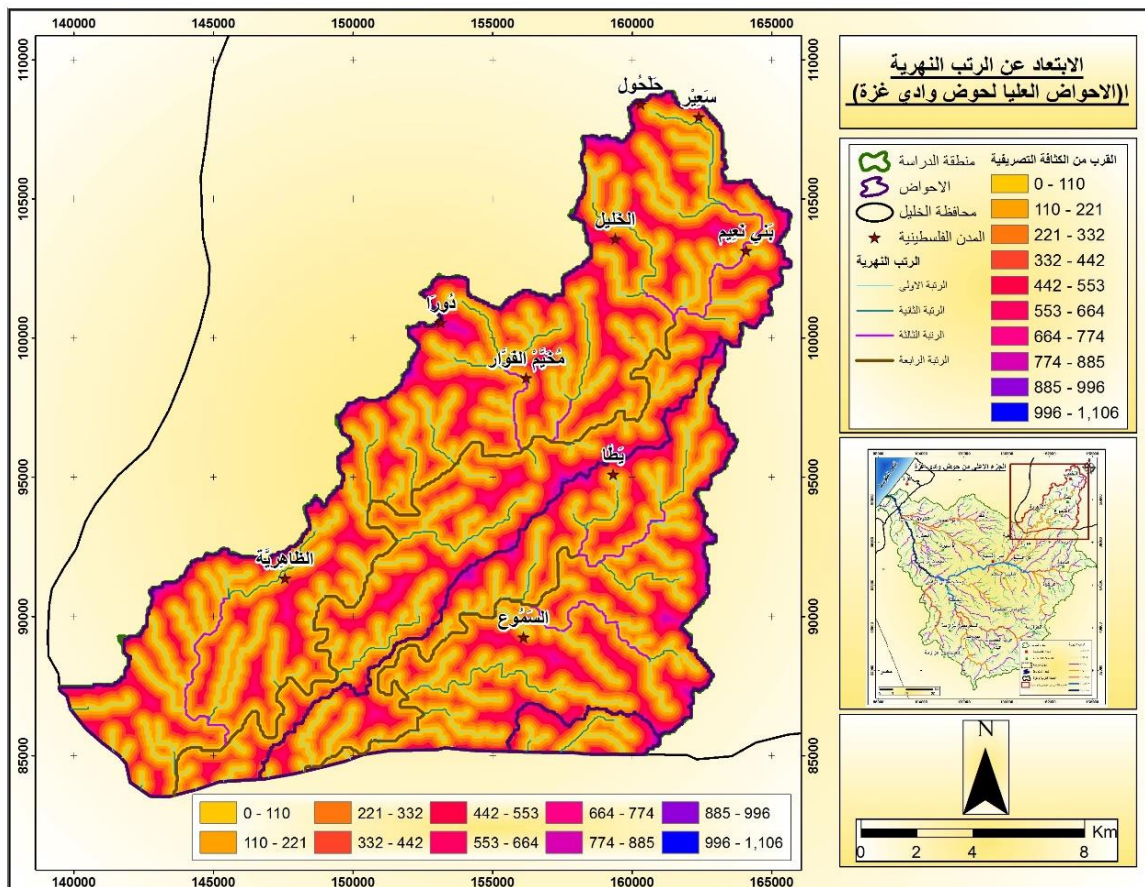


خرطة (81): الترفة

3.1.2.5 المعايير الهيدرولوجية (الكتافات السريانية)

المعيار الأهم لاختيار الموقع هو ان تقع موقع السدود ضمن شبكة المسبلات المائية وبالأخص المسبلات المائية ذات الرتبة الكبيرة؛ حيث يتم الاعتماد على انشاء السدود في الرتب

الكبيرة أولاً والرتب الأصغر ثانياً على خريطة الهيدرولوجية لمنطقة الدراسة، كما في الخريطة .(82)



خريطة (82): الكثافات السريانية في منطقة الدراسة

المصدر: من عمل الباحث

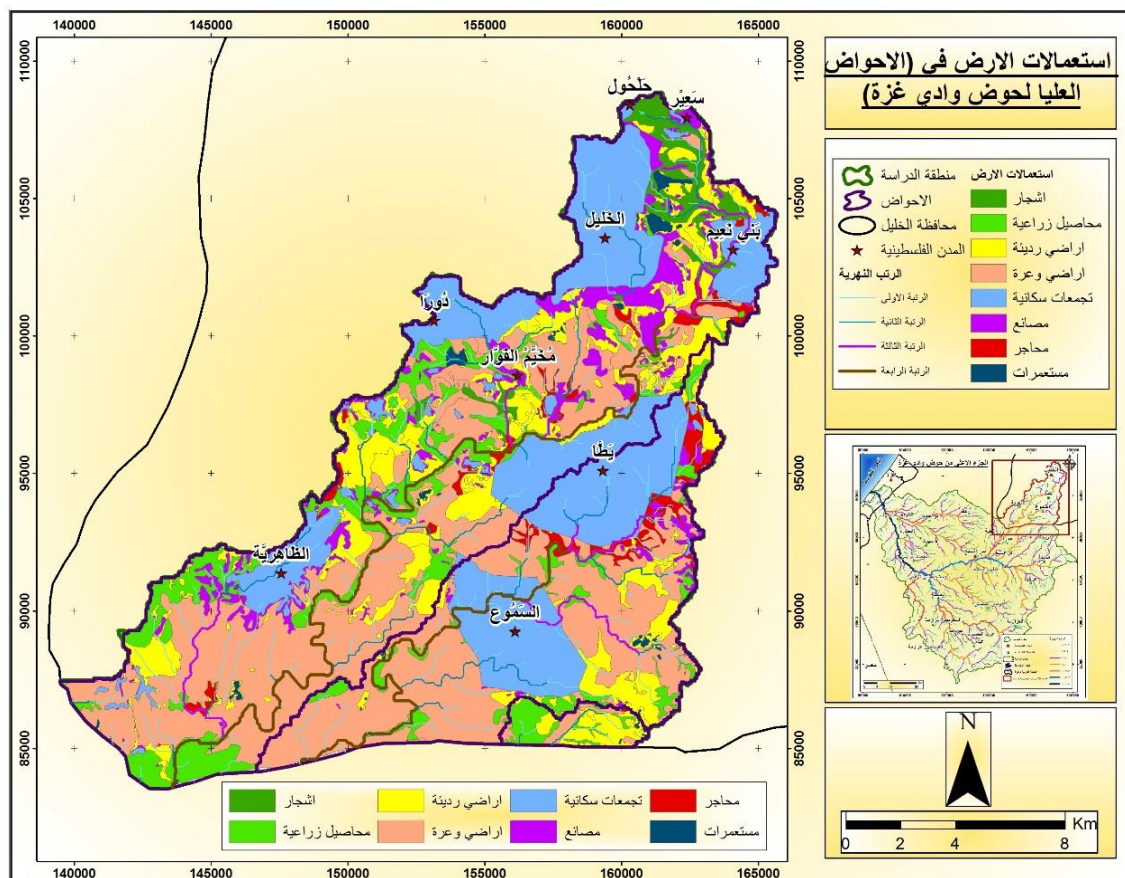
4.1.2.5 معايير استعمالات الأرض

هناك العديد من الأنظمة التي يمكن استخدامها في إعداد مخططات استعمالات الأراضي وهي تبني أساساً على اشكال استعمال الأرضي المحلي؛ بحيث يتلاءم مع المتطلبات والغرض من الدراسة كما في الخريطة (83)، حيث قام الباحث بدراسة النظم المتوفرة وتم من خلالها اقتراح نظام خاص بمنطقة الدراسة يمكن تلخيصه في الجدول رقم (18).

جدول (18): أنظمة استعمالات الأرض الذي اعتمد الباحث في وضع مخطط لإنشاء السدود

الرقم	استعمال الأرض	الوصف	المعيار
1	اراضي شجرية	أشجار مثمرة - زيتون - عنب	مرفوض
2	محاصيل زراعية	محاصيل مروية - محاصيل بعلية	مرفوض
3	أراضي رديئة	تكشفات صخرية - ترب فقيرة	مقبول
4	أراضي وعرة	جبل - انحدارات	مقبول
5	تجمعات سكانية	عمران - طرق	مرفوض
6	أراضي صناعية	المناشير - المصانع	مرفوض
7	محاجر	أراضي لاستخراج الأحجار - مقالع	مرفوض
8	مستعمرات اسرائيلية	مقرات عسكرية	مرفوض امنيا

المصدر: عمل الباحث بالاعتماد على المقابلات الشخصية مع السكان المحليين وذوي الخبرة



خرائطة (83): استعمالات الارض

المصدر: من عمل الباحث بالاعتماد على بيانات استخدامات الارض في وزارة الحكم المحلي، 2007.

من خلال الجدول السابق يلاحظ بان الأراضي الوعرة والأراضي الرديئة ذات التكتشفات الصخرية والجبال والترب الفقيرة هي الأفضل لإنشاء موقع السدود والابار الصناعية، اما الأرضي الشجرية فهي ذات قيمة اقتصادية كبيرة لما تحتويه من أشجار معمرة، والمحاصيل الزراعية فان قيمتها الاقتصادية عالية فهي تنتج الخضراوات والفواكه ولا يمكن الاستغناء عنها من قبل السكان، اما المحاجر والأراضي الصناعية فإنها ذات قيمة اقتصادية ولن يسمح أهلها بإنشاء السدود داخلها.

2.2.5 بناء النموذج الهيكلي (Model builder)

بعد تحديد المعايير وأصنافها ودرجة أهميتها، تم بناء النموذج الكارتوجرافي في برنامج ArcGIS من خلال النموذج الهيكلي (Model Builder) والذي يعتمد على أساس تبسيط المشاكل المعقدة والتدخل في البيانات وعلاقاتها المكانية والوصفية، لذلك يتم صياغة هذا النموذج لتبسيط المشكلة الأساسية وصياغة طريقة حلها من خلال ما يسمى بالخطيط البياني لمراحل العمل Flowchart، هذا التخطيط البياني يعتمد اساساً على مراحل ووظائف العمل للتحليل المكاني، مع إضافة أساليب أخرى من أجل تبسيط المشكلة الرئيسية وتقسيمها إلى عدة مشاكل فرعية، كما انه عبارة عن نسج للأفكار والأساليب والطرق.¹.

❖ مراحل بناء النموذج الهيكلي (Model builder) في منطقة الدراسة:

المرحلة الأولى: التحليل التراكيبي

تعتمد المرحلة الأولى على إضافة الطبقات وتحليلها بناءً على المطلوب من الدراسة، حيث اعتمدت على التحليل المسافي للطبقات للابتعاد والاقتراب من الموقع المدرسوة كما توضحه الخريطة رقم (84)، فقادت الدراسة على الابتعاد عن التجمعات السكانية بالإضافة إلى موقع الابار والينابيع بمسافات بما يتلاءم مع متطلبات الدراسة، في حين عملت الدراسة على

¹ أبو جباب، صهيب، (2012)، التطوير العمراني المستقبلي في محافظة خانيونس في ضوء المحافظة على الموارد البيئية باستخدام GIS وRS، رسالة ماجستير غير منشورة، الجامعة الإسلامية، غزة-فلسطين، ص211.

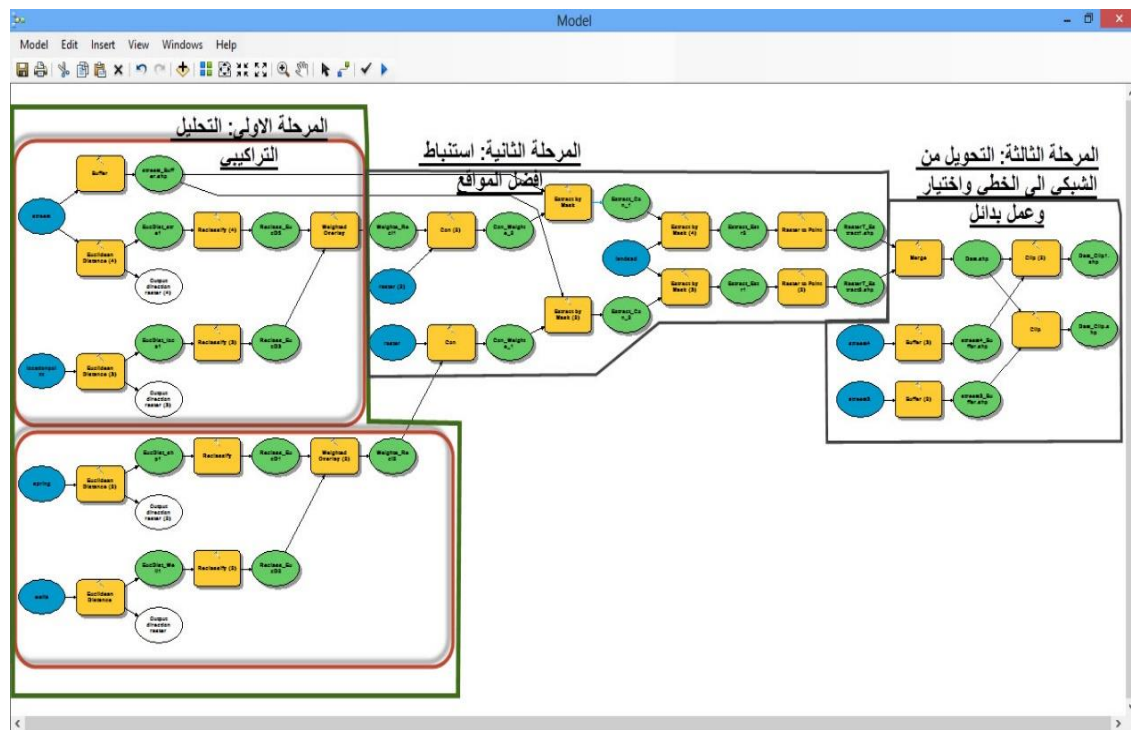
الاقتراب من موقع الكثافة التصريفية (كثافة السريانات) لأغراض الدراسة كما في الشكل رقم (18).

المرحلة الثانية: استنباط أفضل المواقع

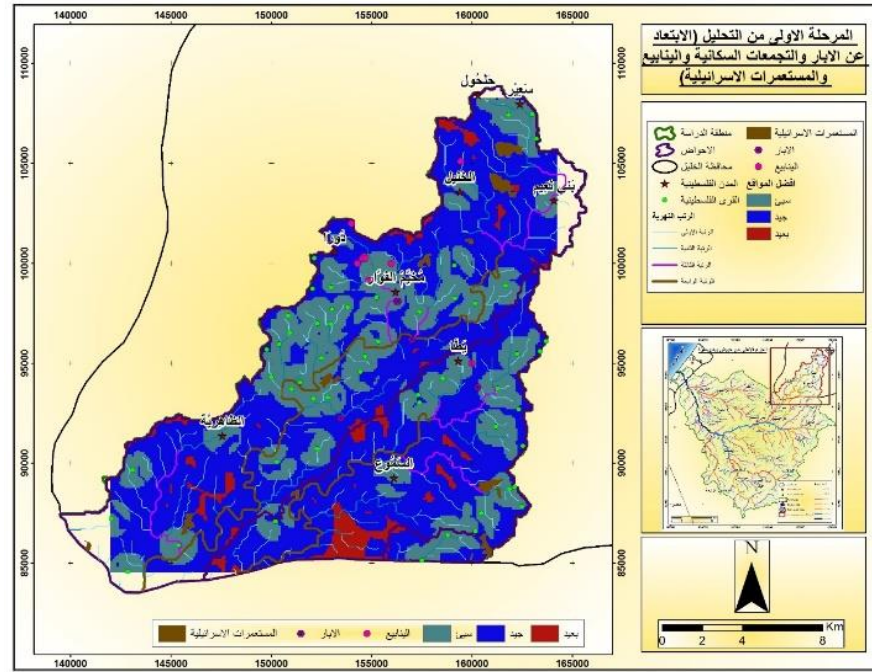
في هذه المرحلة تم دمج الموقع البعيدة عن موقع التجمعات السكانية والآبار والينابيع مع الموقع القريبة من الكثافات التصريفية، مع إعطاء أهمية للنواحي الطيوجرافية والجيولوجية لتحديد أفضل الموقع التي تلائم إنشاء السدود أو الآبار الصناعية، والخريطة رقم (85) تبين أفضل الموقع.

المرحلة الثالثة: التحويل من النظام الشبكي (Raster) إلى النظام الخطي (Vector)

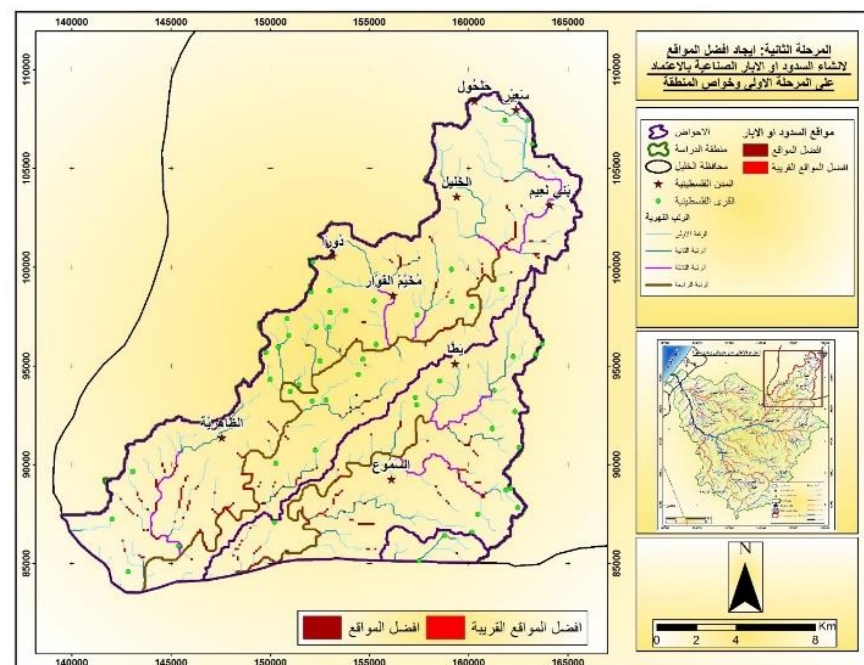
يتم التحويل في هذه المرحلة من النظام الشبكي (Raster) إلى النظام الخطي (Vector) لتثبيتها والتعامل معها ميدانياً كما هو موضح في الخريطة رقم (86).



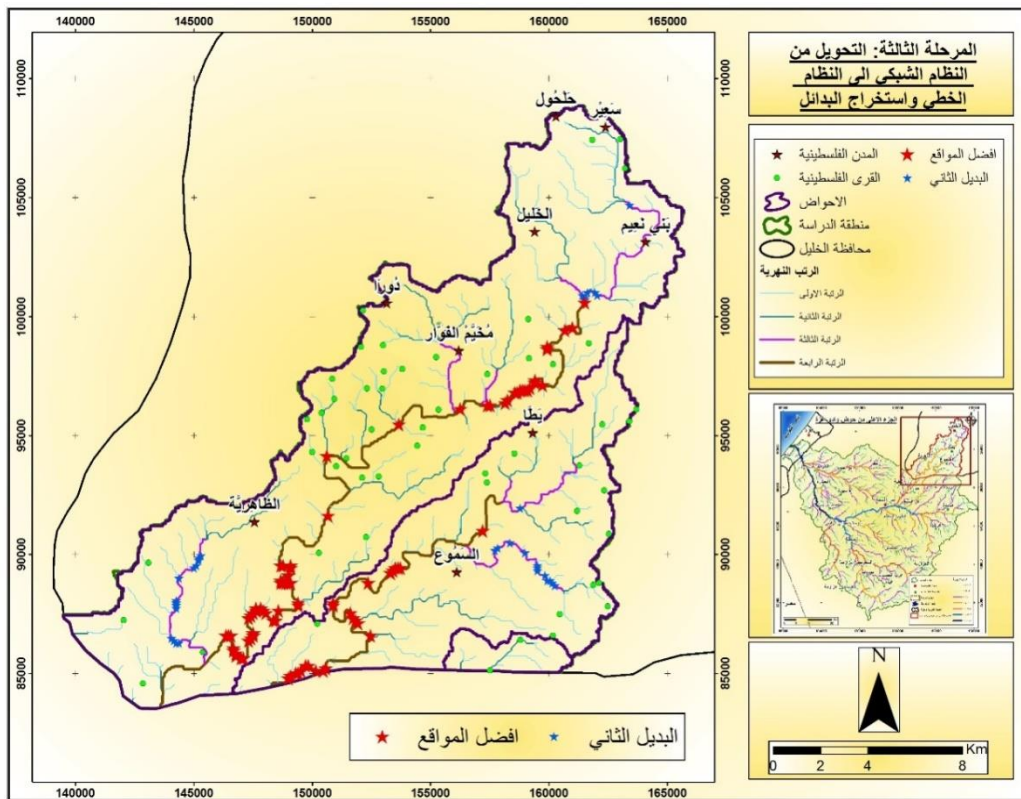
شكل (18): نموذج موديل لتحديد أفضل الموقع لإنشاء السدود
المصدر: من عمل الباحث بالاستعانة بالمعايير السابقة في تحديد أفضل الموقع لإنشاء السدود



خرطة (84): المرحلة الأولى (التحليل التراكمي)



خرطة (85): المرحلة الثانية (أفضل المواقع)



خريطة (86): المرحلة الثالثة التحويل إلى النظام الخطي

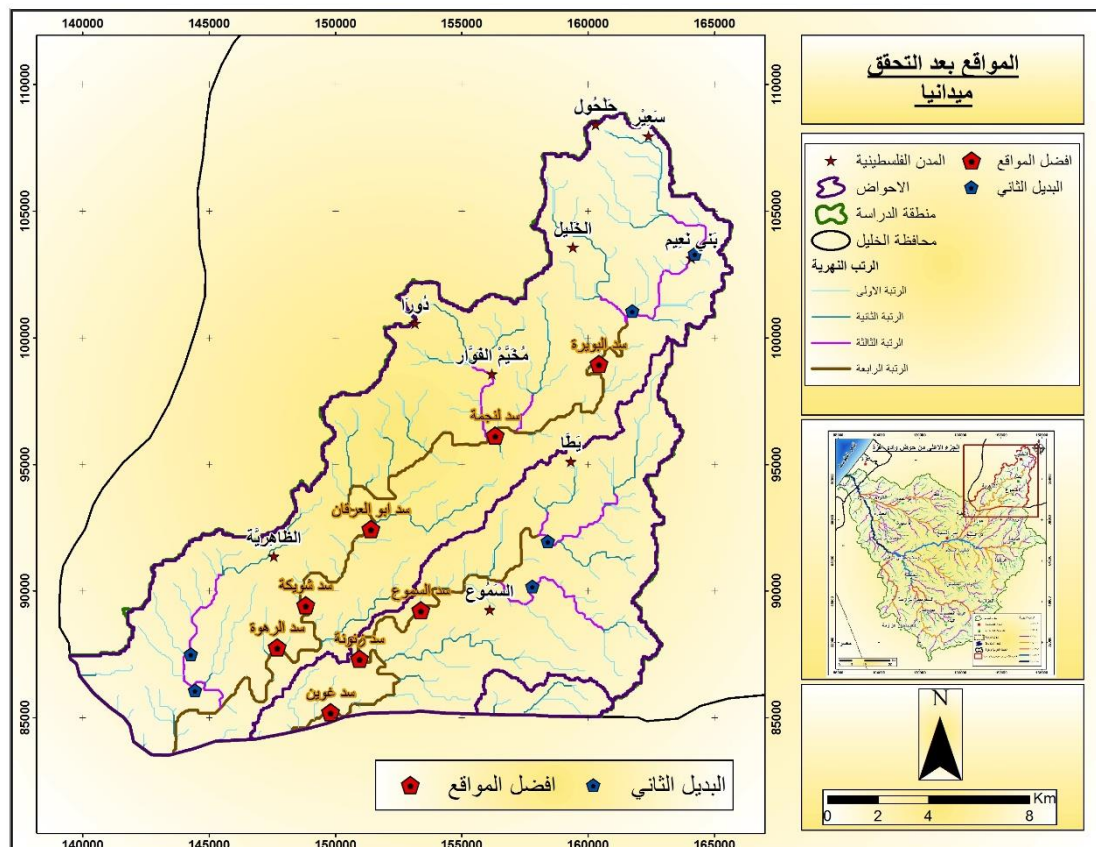
المصدر: المخرجات من تحليل الموديل

ومن خلال التحليل الذي تم في المرحلة الثالثة تم استخراج 83 موقعاً كأفضل المواقع لإنشاء السدود، و26 موقعاً من الدرجة الثانية، ويعود هذا الرقم من السدود كبيراً جداً لمنطقة لا تتجاوز مساحتها (315 كم^2)، لذا تحتاج إلى تقليص عدد الموقع لتكون الدراسة منطقية من الناحية العلمية والتطبيقية.

3.2.5 الدراسة الميدانية للتأكد من مواقع السدود

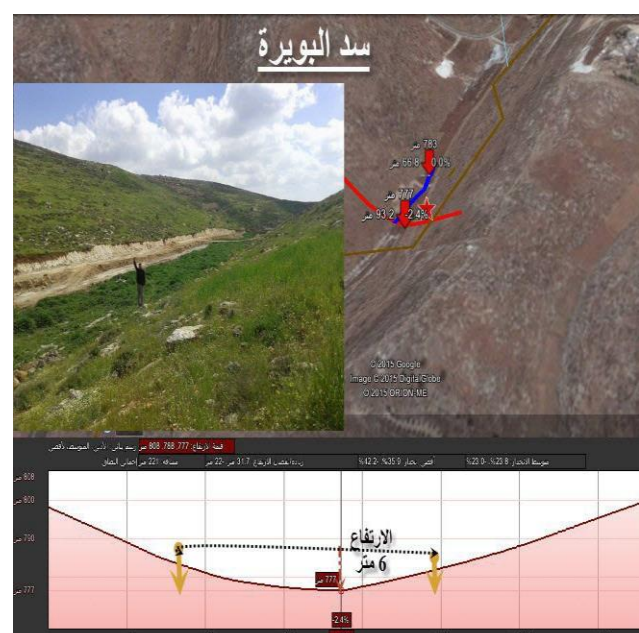
اتاحت تقنية نظم المعلومات الجغرافية (GIS) من تحليل الموديل تعين 83 موقعاً ملائماً لإقامة سدود تخزينية في المنطقة الداخلية لمحافظة الخليل، وكانت الأولوية لـ 8 مواقع تم اختيارها ميدانياً لتكون الدراسة أقرب إلى الواقع كما في الشكل (19-20-21-22-23-24-25-26) موزعة جغرافياً على كامل منطقة الدراسة، و6 مواقع من الدرجة الثانية من أصل 26 موقع كما في الخريطة رقم (87)، مما يحقق الغرض المطلوب وهو تامين الاحتياجات المائية

لأنشطة الزراعية، وتم تسمية موقع السدود بأسماء القرى والمناطق التي تقع بداخلها أو على جانبها لسهولة التوصل إليها مكانيًا.

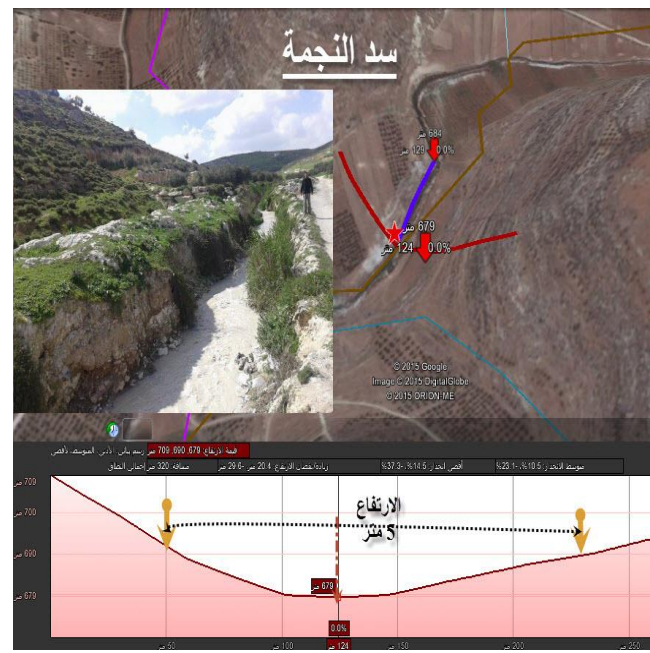


خرطة (87): الموقع السدود بعد التحقق ميدانياً

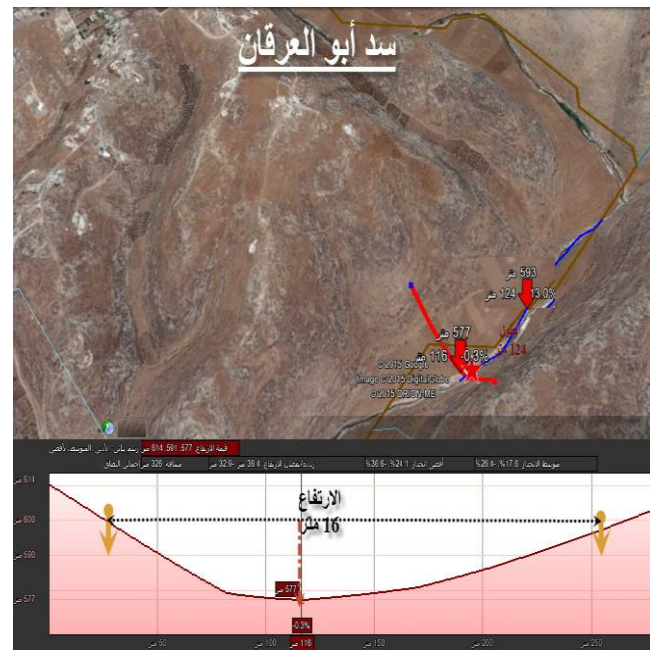
المصدر: من عمل الباحث بالاستعانة بالدراسة الميدانية



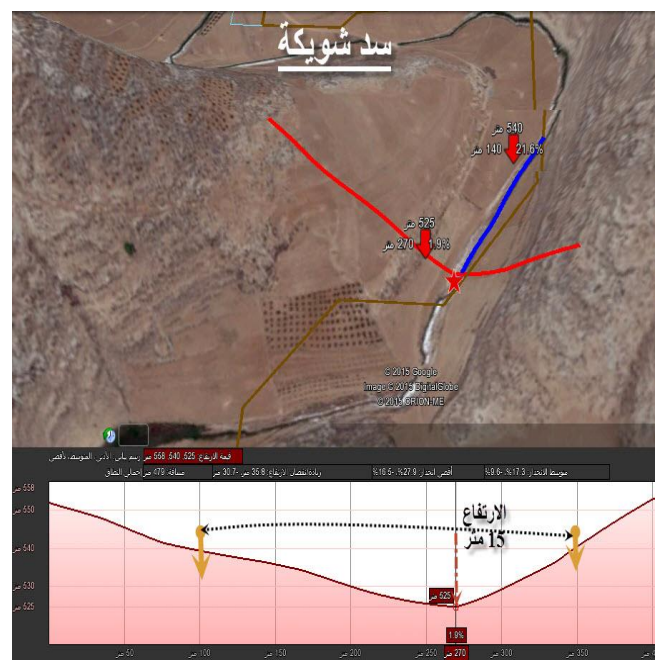
شكل (19): سد البويرة



شكل (20): سد النجمة



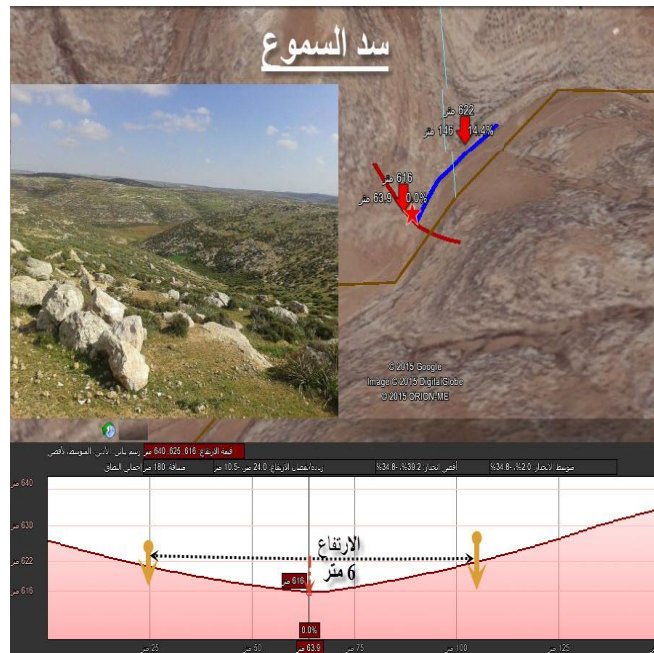
شكل (21): سد أبو العرقان



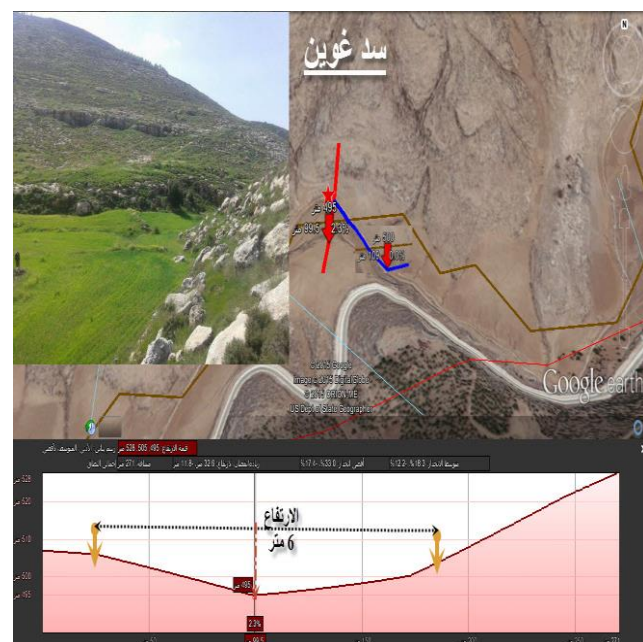
شكل (22): سد شويكة



شكل (23): سد الرهوة



شكل (24): سد السموع



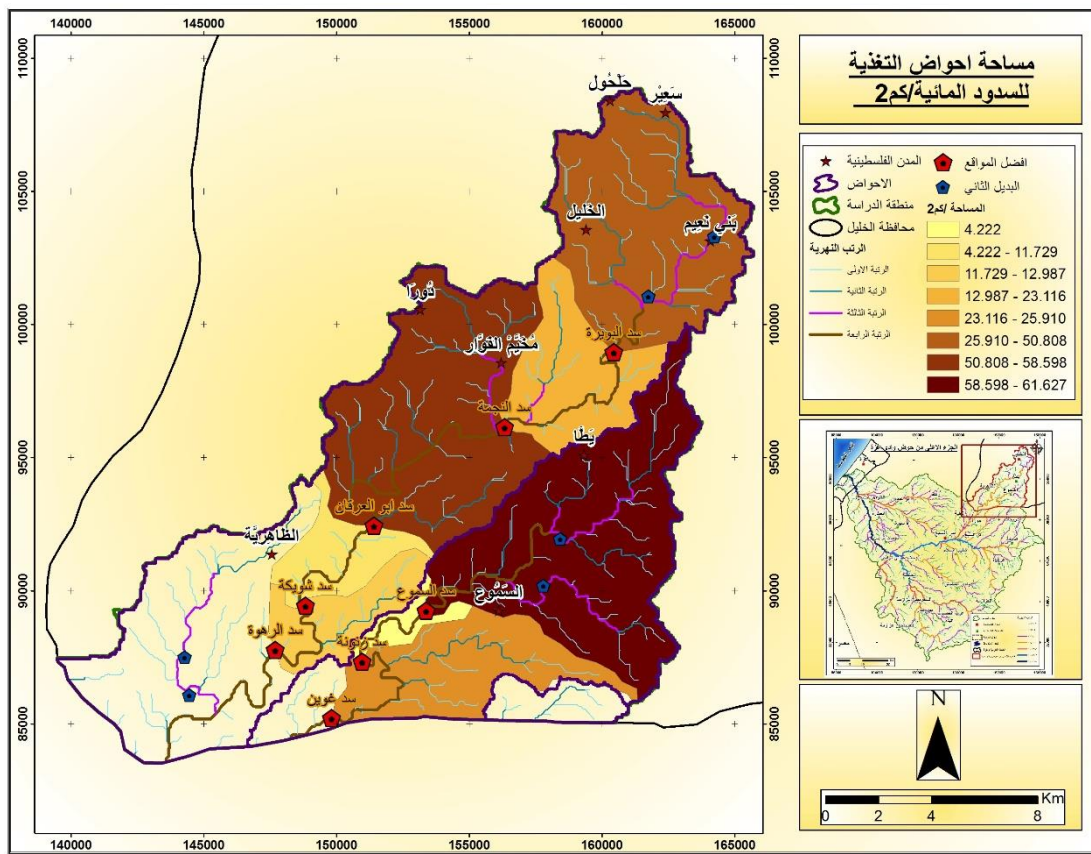
شكل (25): سد غوين



شكل (26): سد زنونة

4.2.5 كمية المياه في السدود

تعد السدود من أكبر المنشآت الهندسية التي ينفذها الإنسان في الطبيعة، ولا شك في أن لها آثاراً إيجابية وأخرى سلبية، ومن آثارها الإيجابية توفير المياه الازمة للنمو الاقتصادي والاجتماعي وخصوصاً في منطقتنا شبه الجافة، لذى لا بد أن تكون إيجابيات مشروع السد الاقتصادية والاجتماعية والبيئية أكبر من سلبياته المحتملة من أجل تسويف إنشاء السد، واقتصرت الدراسة انشاء 8 سدود من الدرجة الأولى كأفضل المواقع لإنشائها، لاستغلال اكبر كمية مياه جارية في المنطقة، وقد قامت الدراسة على تحديد احواض التغذية للسدود كل على حدى من أجل حساب المياه الجارية الفعلية، والخريطة رقم (88) تبين احواض التغذية لجماعات المياه، وحساب المخزون المائي الذي سوف يحتويه كل سد.



خرطة (88): اهواض التغذية للسدود المائية

المصدر: من عمل الباحث بالاستعانة بالتحليل الهيدرولوجي

اولاً: كمية المياه الجارية في اهواض السدود

تم حساب كمية المياه الجارية من خلال حساب معدل الامطار السنوية مع استخراج قيمة التبخر والنتح الحقيقي في كل منطقة، وحساب قيمة التسرب، مع العلم ان هناك علاقة طردية بين التسرب وطبوغرافية المنطقة؛ فكلما زاد الانحدار قل تسرب المياه والعكس صحيح؛ حيث قامت الدراسة على حساب كمية المياه الجارية لكل منطقة تغذية للسدود للاستفادة من قدرة المياه الجارية على تعبئة السد.

جدول (19): كمية الامطار الجارية (الفائضة) في أحواض التغذية لكل سد

الحوض	x	Y	مساحة حوض السد/كم ²	معدل الامطار السنوي/مم	التبخر السنوي من كمية الامطار الساقطة/%	فأقد الامطار %	التسرب %	كمية الامطار المتبقية /%	كمية المياه الجارية فعلاً/م ³	كمية الامطار الجارية فعلاً/م ³	كمية الامطار الجارية فعلاً/م ³ (الفائضة) ¹
سد البويرة	160435.34	98960.31	51	500	67.5	82.5	15	17.5	87.5	4462500	
سد النجمة	156326.79	96146.16	23	400	67.5	83	15.5	17	68	1564000	
سد أبو العرقان	151404.81	92450.47	59	375	67.5	83	15.5	17	63.75	3761250	
سد شوكية	148831.39	89444.58	12	300	67.5	82.5	15	17.5	52.5	630000	
سد الرهوة	147695.95	87775.78	13	275	69	85	16	15	41.25	536250	
سد السموع	153377.80	89248.32	62	300	67.5	83.5	16	16.5	49.5	3069000	
سد زنونة	150958.68	87337.08	4	250	67.5	83	15.5	17	42.5	170000	
سد غوين	149816.74	85220.47	26	250	69	84	15	16	40	1040000	
المجموع										15233000	

المصدر: من عمل الباحث بالاعتماد على:
 1-الخراط المناخية لمنطقة الدراسة
 2-الجهاز المركزي للإحصاء الفلسطيني، الأحوال المناخية في الأرضي الفلسطينية، 2003-2012.
 3-مركز المعلومات الفلسطيني -وفا <http://www.wafainfo.ps/atemplate.aspx?id=2229>

¹ كمية الامطار الساقطة على حوض م³ = مساحة الحوض / م² * كمية الامطار الفعلية/ م

كمية الامطار الفعلية/م=معدل الامطار الساقطة - فأقد الامطار

فأقد الامطار % = التبخر و النتح الكامن + التسرب

كمية الامطار المتبقية % = 100 - فأقد الامطار

من الجدول رقم (19) يتضح بان مجموع كمية المياه الجارية الفعلية في احواض منطقة الدراسة بلغت (15233000 م³)، وبلغت كمية المياه الجارية لحوض سد البويرة (4462500 م³) أي بنسبة 29% من الكمية الاجمالية للمياه الجارية في احواض السدود، ويعد حوض سد البويرة أكبر الاحواض المنتجة للمياه؛ وذلك لأن المعدل السنوي للأمطار يتجاوز 500 ملم، وطبوغرافية الحوض التي تتمثل بالانحدار المتوسط، بالإضافة إلى كبر حجم الحوض، بينما حصل حوض زنونة على أقل الاحواض؛ حيث بلغت كمية الامطار الجارية (170000 م³)؛ وذلك بسبب صغر حجم حوض التغذية للسد.

ثانياً: قدرة السدود على تخزين المياه

تم الاعتماد على حساب مساحة كمية التخزين المائي للسد على حساب المساحة الكلية للمياه التي ستغطي منطقة السد على متوسط الارتفاع للمياه التي ستغطي المساحة الكلية بالمياه، وتم استخدام الخرائط الكنتوريه بالاستفاده من البيانات الرقمية، وتوضيح النموذج الرقمي الذي يمثل التضاريس على سطح الأرض بالاعتماد على برامجيات نظم المعلومات (GIS) التي تعتبر ذات أهمية كبيرة في تصميم السدود والمتمثلة بطول السد وارتفاعه كما هو موضح في الاشكال السابقة، وكذلك مقطع عرضي للموقع التي تم اختيار موقع السد عليها، والذي يعتبر الارتفاع الأول الذي من خلاله تم معرفة تحديد أعلى وأقل ارتفاع مناسب للخزان وعلى هذا الأساس تم احتساب متوسط الارتفاع والمساحة السطحية للخزان من خلال دمج كل من بيانات برنامج (Google Earth) وبرنامج (GIS).

جدول (20): حجم المياه المخزنة داخل السدود

حجم المياه الذي يستوعبه السدام 3	المساحة /م ²	طول السد /م	متوسط الارتفاع / م	ارتفاع السد /م (الاسمنت)	السد
1739184	289864	67	6	6	سد البويرة
386673	128891	129	3	5	سد النجمة
1507545	167505	124	9	16	سد أبو العرقان
384125	54875	140	7	15	سد شويكة
430165	86033	330	5	2	سد الرهوة
1662884	415721	146	4	6	سد السموع
962715	192543	205	5	14	سد زنونة
406544	101636	99.5	4	6	سد غوين
7479835	1335432				المجموع

المصدر: من عمل الباحث بالاعتماد على تحليل الخريطة الكنتورية

من الجدول رقم (20) يتضح بان كمية المياه التي ستخزن خلف السدود تبلغ (7479835 م³)، وكان اكبرها سد البويرة وسد السموع وسد أبو العرقان بكمية مياه مخزنة (1507545-1662884-1739184 م³) وبنسبة (21.3-23.5-24.5 %) على التوالي من حجم التخزين داخل السدود الثمانية، في حين بلغ حجم المياه في سد النجمة وسد شويكة وسد الرهوة على اقل كمية مخزون، حيث بلغت كمية حجم التخزين (386673-384125-430165) م³ وبنسبة تخزين (5.4-5.4-6 م³) على التوالي من حجم التخزين، ويعود ذلك الى طبغرافية المنطقة بالشكل الرئيسي، ومعدل سقوط الامطار على المنطقة.

من خلال مقارنة الجدول (19) مع الجدول (20) يتضح لنا ان كمية المياه الجارية في احواض السدود أكبر بالضعف من حجم التخزين داخل السدود، حيث بلغ حجم الجريان السطحي في الاحواض (15233300 م³)، في حين بلغ حجم التخزين لجميع السدود (7479835 م³)، وبالمقارنة بين سد البويرة وسد زنونة فقد بلغ الجريان السطحي في حوض سد البويرة

(4462500 م^3)، في حين بلغ حجم التخزين (1734184 م^3)، وبلغ الجريان السطحي في حوض سد زنونة (170000 م^3) في حين بلغ حجم التخزين للسد (962715 م^3)، وبسبب التفاوت في كمية المياه الجارية وحجم التخزين من سد آخر فيجب على السدود اخذ وضعية الاواني المستطرقة¹؛ وذلك لضمان تعبئة السدود بالمياه.

3.5 استغلال المياه المخزنة لاستخدامها في الزراعة

تنتشر الأراضي الزراعية في منطقة الدراسة بشكل عشوائي؛ حيث تتبادر في قربها وبعدها من الموقع المقترحة لإنشاء السدود، فمنها ما ينتشر على مقربة من الموقع ومنها ما ينتشر على الأطراف من المنطقة، كما في الخريطة رقم (89)، وسيتم استغلال المياه المخزنة داخل السدود في:

1.3.5 استغلال الأراضي الصالحة للزراعة

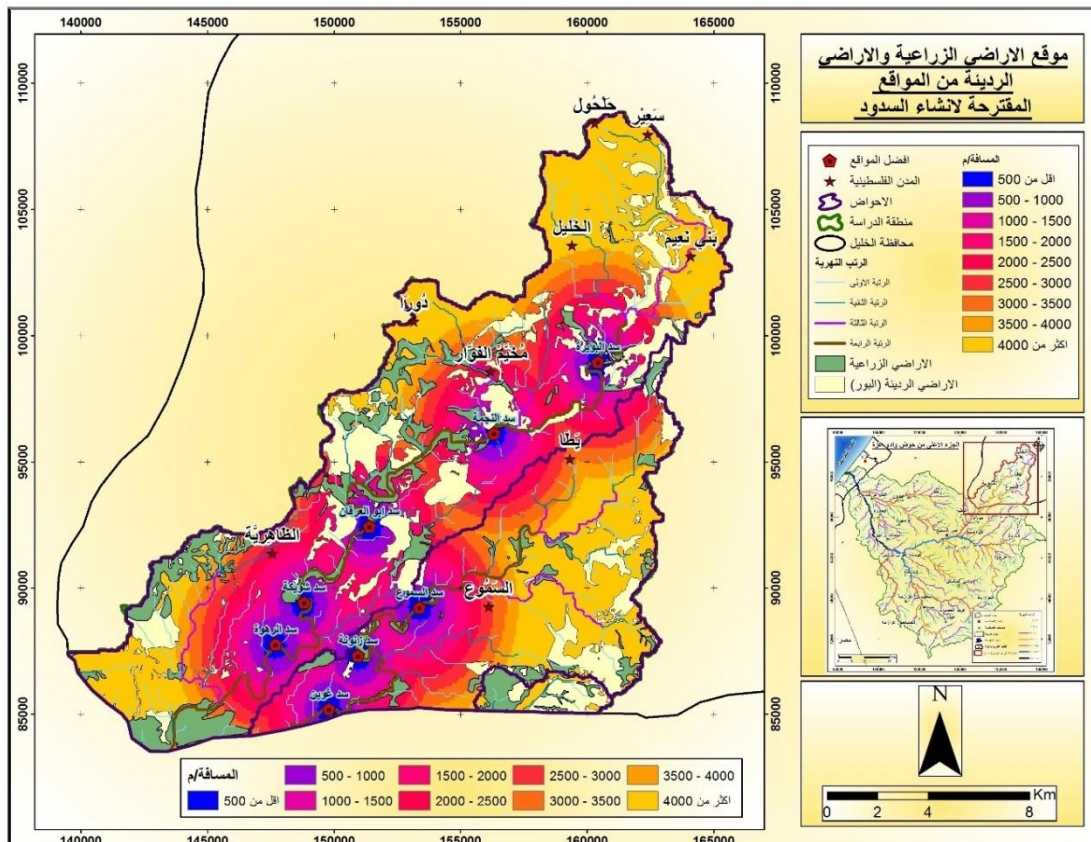
بلغت مساحة الأراضي الزراعية في الأجزاء الداخلية لمحافظة الخليل (34 كم^2) أي ما يعادل (34000 دونم)، وتم حساب المسافة بين الموقع المقترحة للسدود والأراضي الزراعية من خلال التحليل المكاني داخل برنامج GIS، حيث تم تقسيم المسافات إلى 5 نطاقات، فكان نصيب النطاق الأول من الأراضي الزراعية التي تبتعد عن موقع السدود (1000 م) على (2.4 كم^2) بما يعادل (2400 دونم) من الأراضي الزراعية كما في الجدول رقم (23)، وحصل النطاق الثاني من الأراضي الزراعية التي تبتعد على مسافة (2000 م) على (8.2 كم^2) بما يعادل (8200 دونم)، وكانت مساحة الأراضي الزراعية التي تبتعد مسافة (3000 م) استحوذ على (11.9 كم^2)، أما النطاق الخامس الذي يبتعد عن الموقع المقترحة للسدود مسافة (5000 م) حصل على (26.2 كم^2) من الأراضي الزراعية.

¹ الأواني المستطرقة هي أداة اختبارية توضح أن ضغط السائل عند قاع الإناء لا يعتمد على شكل أو حجم الإناء وإنما يعتمد على ارتفاع السائل في الإناء، ولذلك وحيث أن جهاز الأواني المستطرقة هو مجموعة من الأواني مختلفة الشكل إلا إن ارتفاع السائل فيها متساوي وهذا يعني أن الضغط فيها متساوي أيضاً وهذا ما يعبر عنه رياضياً كالتالي:

$$\text{ضغط السائل عند نقطة داخل الإناء} = \text{ارتفاع السائل فوق تلك النقطة} \times \text{كتافة السائل} \times \text{عجلة الجاذبية الأرضية}$$

2.3.5 تنمية الأراضي الرديئة (البور)

بلغت مساحة الأراضي الرديئة في الأجزاء الداخلية لمحافظة الخليل (47.4 كم^2) أي ما يعادل (47400 دونم)، حيث حصل النطاق الأول الذي يبعد عن الموقع المقترحة لإنشاء السدود (1000 م) من الأراضي الرديئة (2.6 كم^2)، بينما حصل النطاق الخامس الذي يتبع مسافة (5000 م) على 31.7 كم^2 من مساحات الأرضي الرديئة، الجدول رقم (21).



خرطة (89): موقع الأراضي الزراعية والرديئة من موقع السدود

المصدر: من عمل الباحث

جدول (21): مساحة الأراضي الزراعية والرديئة التي تقع ضمن مسافات بالابتعاد عن السدود

النطاق	مساحة النطاق / م	مساحة الاستخدام التي تقع ضمن النطاق / م	النطاق / كم ²	الاراضي الزراعية / كم ²	الاراضي الرديئة (البور) / كم ²
1	1000	2.4	2.6	2.4	0.2
2	2000	8.2	11	8.2	2.8
3	3000	11.9	19.5	11.9	7.6
4	4000	17	26.9	17	9.9
5	5000	26.2	31.7	26.2	5.5

المصدر: من عمل الباحث

4.5 التنمية الاقتصادية

تعتبر التنمية الاقتصادية والاجتماعية مستحيلة بدون مياه، لذلك فإن القرارات التي يتخذها صانعو القرار في قطاع المياه تأثيرات لا تقتصر على الأبعاد الاقتصادية فحسب، بل تشمل أيضاً وبنفس الدرجة من الأهمية شروط سلامة الإنسان وصحته وبقاءه وما يرتبط بهذه الشروط من أبعاد اقتصادية واجتماعية، أما اليوم فإن تزايد السكان ومعدلات البطالة في تزايد في مختلف أنحاء الدولة الفلسطينية، ومن هنا تتضح أهمية التنمية الاقتصادية للتقليل من البطالة وزيادة الإنتاج المحلي.

نتيجة لإنشاء السدود في منطقة الدراسة سيتوفر أكثر من (7) مليون متر مكعب من مياه الجريان السطحي، وتميز منطقة الدراسة بقدرتها على الإنتاج وتوافر الأراضي الزراعية غير المستغلة من قبل السكان المحليين لندرة المياه وما يواجهونه من انتهاكات قسرية لاستخدام المياه للزراعة، وباستغلال كمية المياه التي تخزن داخل السدود فإننا نستطيع زراعة 11507 دونم بنдорة مكشوفة مروية، وهذا يحتاج إلى حوالي 7.4 مليون متر مكعب من المياه، وتستطيع المياه المخزنة داخل السدود إنتاج مثل هذه الكمية، وستعود باقتصاد حوالي 30 مليون دينار وتشغيل أكثر من 1600 عاطل عن العمل¹، والجدول رقم (22) يوضح المردود الاقتصادي في حال زراعة أنواع أخرى من المحاصيل.

¹ الاحتياج للأيدي العاملة = كل 10 دونم من الأرض تحتاج بمتوسط 3 أشخاص.
المصدر: المقابلة الشخصية مع المزارعين.

جدول (22): القيمة الاقتصادية من زراعة الأرضي باستخدام المياه المجمعة (مياه السدود)

الصنف	كمية المياه الاستهلاكية لكل دونم / م³ للموسم	كمية الإنتاج / طن	متوسط السعر للطن	متوسط السعر للدونم بالدينار	قدرة الإنتاج من المياه المخزنة بالدونم بالدينار	القيمة الاقتصادية للزراعة بالدينار (¹)
بندورة مروية مكشوفة	700-600	7-6	400	2600	11507	29918200
بندورة متسلقة محمية	1000-800	25-20	500	11250	8310	93487500
الكوسا المروي	400	1.4	700	980	18699	18325020
الذرة الصفراء (الذرة الشامية)	700-600	3	700	2100	11507	24164700
قرنبيط	400	5-4	500	2250	18699	42072750
لفت	400	3-2.5	550	1375	18699	25711125
المحاصيل الورقية (سبانخ-بقدونس-جرجير)	300	0.5-0.3	1200	480	24932	11967360

المصدر: من عمل الباحث بالاعتماد 1-الدراسة الميدانية والمقابلة الشخصية للمزارعين في منطقة الدراسة.

2-المقابلة الشخصية مع الدكتور حازم الباكي، كلية الزراعة، جامعة الخليل.

3-بالاعتماد على الجدول (19) والجدول (20)

الخلاصة

تعد المياه من أهم الموارد الطبيعية، لأن باقي النشاطات البشرية الأخرى تعتمد عليها بشكل مباشر، كما في الزراعة والصناعة والاستخدامات المنزلية الأخرى، وتنقسم مصادر المياه في منطقة الدراسة إلى قسمين: أولهما التساقط والثانية المياه الجوفية، حيث بلغ التساقط السنوي في الأجزاء الجنوبية 200 ملم، بينما كان التساقط في الأجزاء الشمالية 600 ملم، وتوجد في

^¹ متوسط السعر للدونم = كمية الإنتاج بالطن * متوسط السعر للطن
 قدرة الإنتاج من المياه المخزنة = كمية المياه المخزنة * كمية المياه الاستهلاكية
 القيمة الاقتصادية للزراعة = متوسط السعر للطن * القرفة الانتاجية من المياه المخزنة

المنطقة 4 ابار و 9 ينابيع ولكن كمية الاستهلاك محدودة، وتم انشاء 8 سدود كأفضل المواقع من الدرجة الاولى، و 6 مواقع من الدرجة الثانية؛ حيث أقيمت السدود على عدد من المعايير منها المعيار الطبوغرافي والجيولوجي والهيدرولوجي والقياسات المورفومترية والدراسة الميدانية التي قامت بتحديد أفضل 8 مواقع.

بلغت كمية الامطار الجارية في منطقة الدراسة في احواض السدود 15 مليون متر مكعب، يبلغ حجم التخزين فيها 7.4 مليون متر مكعب، وهذه الكمية من المياه ستعمل على تسمية الأراضي الزراعية والرديئة (البور) في منطقة الدراسة حسب نوع الزراعة.

الفصل السادس

النتائج والتوصيات

1.6 النتائج

2.6 التوصيات

الفصل السادس النتائج والتوصيات

1.6 النتائج

اعتمدت هذه الدراسة نموذجاً تطبيقياً لاستخدام تقنية نظم المعلومات الجغرافية والبرنامج الملحق (Arc Hydro) في إنشاء قاعدة بيانات للخصائص المورفومترية لحوض وادي غزة؛ للاستدلال على مدلولها الجيومورفولوجي، حيث قامت الدراسة على الاعتماد على نموذج الارتفاع الرقمي بدقة 30 متر لكامل الحوض، وخطوط كنتور بفاصل كنوري 10 متر للأجزاء المتداخلة مع محافظة الخليل، وقد خلصت الدراسة بالنتائج التالية:

- .1 يبلغ اعلى ارتفاع لحوض وادي غزة على منسوب (1020 م) فوق سطح البحر في الشمال على جبال الخليل، وبلغ أدنى منسوب للحوض عند المصب بارتفاع (-5 م) تحت منسوب سطح البحر على ساحل البحر المتوسط، وتم تقسيم حوض وادي غزة الى أربع مناطق طبوغرافية وهي جبال الخليل في الشمال الشرقي من الحوض، وسهول بئر السبع في الوسط من الحوض، ومرتفعات وسط النقب التي تقع في الجنوب الشرقي من الحوض، والسهل الساحلي الذي يقع عند نقطة المصب لحوض وادي غزة.
 - .2 تغطي الكثبان الرملية ورسوبيات الشاطئ العائدة الى فترة الاهولوسين أكثر من 50% من اجمالي الحوض، واظهرت منطقة الدراسة تنوعا في التربة حيث كان النصيب الاكبر من الترب هي تربة الليثوسولز البنية ولويسية التي تغطي أكثر من ربع مساحة الحوض الاجمالية.
 - .3 تباين درجات الحرارة في منطقة الدراسة حيث تصل درجات الحرارة ذروتها في أشهر الصيف اذ بلغت اعلى درجة حرارة في محطة الخليل 22.1 درجة في شهر تموز واب، بلغت اعلى درجة حرارة في محطة بئر السبع التي بلغت 39.9 درجة، وحصلت محطة الخليل على اعلى معدل امطار الذي بلغ 447.8 ملم.

4. ينتهي حوض وادي غزة بالمرتبة السابعة وفقاً لترتيب ستريلير، ويعد من الأحواض الكبيرة حيث بلغت مساحته 3579.9 كم^2 ، ويكون من 3788 حوضاً للرتب كافة ابتداءً من الرتبة الأولى وانتهاءً بالرتبة السابعة وبطول بلغ 4782 كم، وقد تبينت الأحواض في خصائصها المساحية والشكلية والتضاريسية وخصائص شبكة التصريف المورفومترية بناءً على الخصائص الطبيعية في الحوض.
5. تقسم حوض وادي غزة إلى 15 حوض ثانوي، وإنماح خريطة تفصيلية لكل حوض على حدٍ، وأمكن تسمية المواقع بالأسماء الفلسطينية بالاعتماد على خرائط تعود إلى العهد العثماني والبريطاني لتنبيت المواقع بالأسماء الفلسطينية التي كانت تقطن منطقة الدراسة قبل 1948 م.
6. تقترب أحواض التصريف من الشكل المستطيل بينما أكدت أحواضه الثانوية أيضاً على اقترابه من الشكل المستطيل أكثر من الشكل الدائري وهذا يعني أن خطورة حدوث فيضانات قليلة نسبياً.
7. يمتاز حوض وادي غزة بالالتواء حيث بلغت قيمة معامل الانعطاف (1.1)؛ وذلك بسبب الأودية التي اثرت فيها البنية الجيولوجية والتضاريس التي جعلت تلك الأودية تسلك طرقها بتعرجات مختلفة، إذ ان الالتواء يقلل من سرعة وصول جريان المياه.
8. بلغ المتوسط العام لقيم الترشيح بمنطقة الحوض (1.48) وهي قيم منخفضة، تتفق مع قيم الكثافة التصريفية وتكرارية المجرى المائي وشدة الصرف.
9. وتبيّن ان نسب التشغّل لحوض وادي غزة بلغت (4.5)، ومعدل نسبة التشغّل (4.26) وهو ما يتفق مع المدى الذي حدده ستريلير.
10. بلغ المعامل الهيسومترى لحوض وادي غزة (67%)، وهذا يعني ان الحوض قد قطع (67%) من الدورة الحتية، وان (33%) من التكوينات الصخرية لا زالت في انتظار دورتها الحتية، وهذا يشير إلى ان الحوض في مرحلة الشيخوخة.

11. بلغ المعدل السنوي للأمطار في الأجزاء الداخلية لمحافظة الخليل ما بين 200 ملم في الجنوب من المنطقة الى 600 ملم في الشمال منها، لذى فان الاستفادة من الامطار التي تسقط على الجنوب من محافظة الخليل قليلة وذلك بسبب فقدان معظمها بالتبخر وارتفاع درجة الحرارة والتسرب إلى داخل الأرض.

12. تم استخراج 83 موقعا كأفضل الموقع لإنشاء السدود، و26 موقعا من الدرجة الثانية من خلال تحليل الموديل، وكانت الأولوية لـ 8 مواقع تم اختيارها ميدانياً موزعة جغرافياً على كامل منطقة الدراسة، و6 مواقع من الدرجة الثانية.

13. أظهرت الدراسة بان مجموع كمية المياه الجارية الفعلية في احواض منطقة الدراسة بلغت (15233000 م^3) أي ما يعادل 782 ألف خزان مياه يتسع (20 م^3) من المياه كما أظهرت الدراسة بان كمية المياه التي ستخزن خلف السدود تبلغ (7073291 م^3) .

14. تم تقسيم المسافات الابتعاد عن موقع السدود الى 5 نطاقات، فكان نصيب النطاق الخامس الذي يبتعد عن الموقع المقترحة للسدود مسافة (5000 م) قد حصل على (26.2 كم^2) من الأراضي الزراعية وهو ما سيعمل على استغلال جميع المياه المخزنة.

15. واظهرت الدراسة بان كمية المياه التي ستخزن داخل السدود تستطيع زراعة 10881 دونم بنдорه مكشوفه مروية، وهذا يحتاج الى حوالي 6.5 مليون متر مكعب من المياه وستعود باقتصاد حوالي 28 مليون دينار، في حال زراعة القرنبيط فان كمية المياه التي ستخزن ستعمل على زراعة 7859 دونم، وستعود باقتصاد حوالي 88 مليون دينار، وسيعمل على تشغيل أكثر من 1500 شخص عاطل عن العمل.

2.6 التوصيات

من خلال النتائج التي تم التوصل اليها في هذه الدراسة نوصى بالتالي:

1. ضرورة توظيف تقنية نظم المعلومات الجغرافية ونماذج الارتفاعات الرقمية في الدراسات الطبيعية المتعلقة بالخصائص المورفومترية لأحواض التصريف بمنطقة العربية عامة والفلسطينية خاصة، لما توفره من جيد ووقة.
2. الاعتماد على برنامج (Arc Hydro) في استخلاص كافة القياسات المورفومترية والهيدرولوجية بدقة عالية بجانب تقنية نظم المعلومات الجغرافية، مع اجراء العديد من التحليلات للأحواض الجزئية للمراتب واستخلاص المتغيرات الأساسية للخصائص المورفومترية.
3. ضرورة الاعتماد على مصادر البيانات الرقمية ذات الدقة العالية لما تتيحه من دقة عند اجراء القياسات الكمية الذي يعكس بدوره على النتائج وتمثيل الخرائط بكل سهولة عبر التقنيات الحديثة المتمثلة بنظم المعلومات الجغرافية.
4. اجراء دراسات تطبيقية مماثلة لكافية احواض التصريف المائية في فلسطين بالاعتماد على التقنيات الحديثة، وتكوين مرجع او بنك للمعلومات لكل من المتخصصين بالدراسات الجيومورفولوجية والهيدرولوجية.
5. تفعيل اتفاقية مشاركة المياه، فقد بينت الدراسة ان غالبية منطقة الحوض تقع ضمن الأراضي التي تتبع للسلطة الوطنية الفلسطينية والتي لا تستطيع الاستفادة منها بسبب انتشار المستوطنات الصهيونية، وبما ان منطقة المصب تقع ضمن الأرضي التي تستوطنها اسرائيل فهي المستفيد الوحيد من مياه حوض وادي غزة، لذا يتوجب على المفاوض الفلسطيني ان يضع في سلم أولوياته تفعيل اتفاقية المياه بين الجانبين.
6. العمل على بناء السدود المقترحة لحجز الامطار الجارية للافاده منها في موسم سقوط الامطار كما هو الحال في عدد من دول العالم، لاسيما الصحراوية منها لغرض استغلالها في الزراعة وتنمية الأرضي الرديئة (البور).

7. تشجيع ودعم البحوث التطبيقية في مجال الموارد المائية من خلال تخصيص مبالغ مجزية لإنجاز هذه البحوث من قبل الجهات المعنية بالموارد المائية وهي (وزارات الزراعة والموارد المائية والبيئية) وتخصيص نسب من عائدات هذه البحوث عند الاستفادة الميدانية منها إلى الباحث.
8. تطوير هذه الدراسة والأخذ بها من قبل الباحثين، لتصبح الدراسة أكثر واقعية من حيث التكلفة والأمور الفنية.
9. العمل على الاستفادة من موقع السدود البديلة لاستغلال أكبر كمية من الامطار القابلة للضياع في حال لم تخزن.
10. في حال إنشاء السدود فيجب زيادة كثافة التربة والصخور بواسطة:
- أ- حقن جوانب الحفرة وقاعها بالأسفالت السائل لمنع تسرب المياه إلى المياه الجوفية.
- ب- تغطية قاع السد بغطاء بلاستيكي مقوى، ثم تغطيته بطبقة من الجلاميد الصخرية صغيرة الحجم.

قائمة المصادر والمراجع

أولاً: المراجع العربية

ال سعود، مشاعل بنت محمد، (1423هـ)، تطبيقات تقنية الاستشعار عن بعد والأساليب الجيوديسية المتطرورة في دراسة مورفومترية الوديان الجافة، بحوث جغرافية، الندوة السابعة، اقسام الجغرافيا بجامعات المملكة العربية السعودية، المملكة العربية السعودية.

أبو جباب، صهيب، (2012م)، التطوير العمراني المستقبلي في محافظة خانيونس في ضوء المحافظة على الموارد البيئية باستخدام RS و GIS، رسالة ماجستير غير منشورة، الجامعة الإسلامية، غزة- فلسطين.

أبو صفت، محمد، (2002م)، التصنيف الجيوكيميائي لترسبات شمال الضفة، جامعة النجاح الوطنية، نابلس.

ابوريه، احمد محمد، (2007م)، المنطقة الممتدة فيما بين القصير ومرسى ام غويج، دراسة جيومرفولوجية، رسالة دكتوراه غير منشورة، قسم الجغرافيا ونظم المعلومات الجغرافية، كلية الآداب، جامعة الإسكندرية.

احمد علي حسن البواتي، (1995م)، حوض وادي العجيج من العراق واستخدامات أشكاله الأرضية، أطروحة دكتوراه، (غير منشورة)، جامعة بغداد، كلية الآداب.

ار. جي. كورلي، (2003م)، حوض التصريف كوحدة جيومرفولوجية أساسية، المدخل لدراسة العمليات النهرية، دراسة في الجيومروفولوجيا، ترجمة وفيق الخشاب جامعة بغداد، مطبعة جامعة بغداد.

ازاد جلال شريف، (2000م)، هيدرومorfومترية حوض نهر الخابور، مجلة الجمعية الجغرافية العراقية، العدد (43)، بغداد.

ام، أي، ولسون، (1983م)، **الهيدرولوجيا الهندسية**، ترجمة نزار علي السبتي، لبيب خليل اسماعيل، مطبعة جامعة البصرة، ط 2.

التوم، صبري محمد، (2011م)، **التحليل الجيومورفولوجي للخصائص المورفومترية للجزء الأعلى من حوض وادي الرمدان وحوض نهر تكلا**، مجلة العلوم الإنسانية، جامعة البحرين، العدد 20.

الحاج، موسى، (1986م)، **الغطاء النباتي في وادي شعيب**، رسالة ماجستير غير منشورة، الجامعة الأردنية، عمان، الأردن.

الحربي، نوير مسري ناعم، (1428هـ)، **النمذجة الآلية لحوض وادي ملكان باستخدام نظم المعلومات الجغرافية ونماذج الارتفاعات الرقمية دراسة من منظور جيومورفولوجية**، جامعة ام القرى، المملكة العربية السعودية.

حسن رمضان سلامة، (1982م)، **الخصائص الشكلية ودلائلها الجيومورفولوجية**، نشرة دورية تصدر عن قسم الجغرافية، جامعة الكويت، الجمعية الجغرافية الكويتية، العدد (43)، الكويت.

حسن رمضان سلامة، (2004م)، **أصول الجيومورفولوجيا**، دار المسيرة للنشر والتوزيع، عمان، ط الأولى.

الحمامدة، فرج، (2003م)، **أثر المناخ والسطح على النبات الطبيعي في محافظة الخليل**، رسالة ماجستير غير منشورة، جامعة النجاح.

الحمدان، لطفي، (1998م)، **جيومورفولوجية حوض التصريف النهري الأعلى والوسط من وادي الزومر**، رسالة ماجستير غير منشورة، جامعة النجاح الوطنية، نابلس.

الدويكات، قاسم محمد، (2003م)، **أنظمة المعلومات الجغرافية**، جامعة مؤتة، الأردن، الطبعة الثانية.

الرجوب، محمد الحوامدة، عبد النبي، (1992م)، الزراعة في محافظة الخليل، رابطة الجامعيين، الخليل.

سعيد، محمد عقوب محمد، (2006م)، تطبيقات نظم المعلومات الجغرافية في دراسة المياه، جامعة الإمارات العربية المتحدة.

سلامة، حسن رمضان، (2010م)، أصول الجيومورفولوجيا، ط3، دار الميسرة، عمان، الأردن.

سلمى، ناصر محمد، (1420هـ)، مدخل إلى علم الخرائط ونظم المعلومات الجغرافية، الطبعة الأولى، مكتبة الملك فهد الوطنية، الرياض، المملكة العربية السعودية.

صبرى حمدان وصالح أبو عمرة، (2010م)، بعض الخصائص المورفومترية للجزء الأعلى من حوض الرميمين وسط غرب الأردن باستخدام الطرق التقليدية وبرمجيات نظم المعلومات الجغرافية (دراسة مقارنة)، مجلة جامعة الازهر، المجلد 12، العدد 2، غزة.

صهيب خضر ورائد فيصل، (2011م)، الدلالة الهيدرولوجية السطحية لحوض وادي العجيج باستخدام نظم المعلومات الجغرافية GIS، مجلة التربية والعلم - المجلد (18)، العدد (1)، جامعة الموصل، العراق.

عادل سعيد الراوي، قصي عبد المجيد السامرائي، (1990)، المناخ التطبيقي، وزارة التعليم العالي والبحث العلمي، جامعة بغداد.

عبد القادر عساج محمد، (1998م)، مناخ اليمن دراسة في الجغرافيا المناخية، مركز عبادي للدراسات والنشر، صنعاء.

عبد القادر وصايل وشاحي، (1999م)، جيولوجية فلسطين والضفة الغربية وقطاع غزة، مجموعة الهيدرولوجيين الفلسطينيين، فلسطين.

العدرة، نزيه، (2007م)، **جيومرفلوجية حوض التصريف النهري الأعلى من وادي الخليل**، رسالة ماجستير غير منشورة، جامعة النجاح الوطنية، نابلس، فلسطين.

عليان، ربيحة، (2005م)، **الدراسات الاجتماعية والاقتصادية لموقع مشروع مكافحة التصحر في محافظة الخليل**، رسالة ماجستير غير منشورة، جامعة النجاح الوطنية.

الغامدي، سعد أبو راس، (2004م)، **استخلاص شبكة التصريف السطحي للمياه باستخدام المعالجة الآلية لبيانات الأقمار الصناعية: دراسة على منطقة جبال نعمان**، مجلة ام القرى للعلوم التربوية والاجتماعية والإنسانية، المجلد (16)، العدد (2)، مكة المملكة العربية السعودية.

الغزاوي، علي عبد عباس، (2000م)، **استقراء المعلومات من نموذج التدرس الرقمي لدعم النماذج الهيدرولوجية لحوض وادي أشور شمال العراق باستخدام نظم المعلومات الجغرافية**، قسم الجغرافيا، كلية التربية، جامعة الموصل، جمهورية العراق.

الغليان، حنان عبد اللطيف، (2008م)، **توظيف نظم المعلومات الجغرافية في بناء قاعدة بيانات جغرافية ذات متغيرات مورفومترية لأحواض الأودية الجافة (دراسة تطبيقية لحوض وادي لبن)**، قسم الجغرافيا خرائط ونظم معلومات جغرافية، كلية الآداب، جامعة الملك سعود.

لحاج، موسى، (1986م)، **الغطاء النباتي في وادي شعيب**، رسالة ماجستير غير منشورة، الجامعة الأردنية، عمان، الأردن.

محسوب، محمد صبري وأحمد فوزي ضاحي، (2006م)، **الدراسة الميدانية والتجارب المعملية في الجيومرفلوجيا**، الاسراء للطباعة، القاهرة، مصر.

محسوب، محمد صبري وآخرون، (1999م)، **دراسات في جغرافية المملكة العربية السعودية الجوانب الطبيعية**، دار الفكر العربي، القاهرة، مصر.

محسوب، محمد صبري، (1997م)، **جيومرفلوجية الاشكال الأرضية**، دار الفكر العربي،
القاهرة.

محمد فوزي خطاب وبسمان يونس الطائي، (2004م)، **هيدروجيومورفلوجية كمية لحوض
وادي الملح شمال العراق**، مجلة علوم الرافدين، المجلد 16، العدد 2 الخاص بعلوم
الارض، جامعة الموصل، العراق.

المنظمة العربية للتنمية الزراعية، (2003م)، **تعزيز استخدام تقنيات حصاد المياه في الدول
العربية**.

مهدي الصناف وكاظم موسى، (1988م)، **هيدرومorfومترية حوض نيل**، دراسة في
الجيومورفلوجيا التطبيقية، مجلة آداب مستنصرية، العدد (16).

مهدي الصناف، وكاظم موسى، (1990م)، **هيدرومorfومترية حوض راقد الخوارص**، دراسة
في **الجيومورفلوجيا التطبيقية**، مجلة الجمعية الجغرافية العراقية، العددان (24، 25)
مطبعة العاني، بغداد.

وليم دي ثورنبرى، (1975م)، **أسس الجيومورفلوجيا**، ترجمة وفيق الخشاب، منشورات
جامعة بغداد، دار الكتب للطباعة والنشر.

ثالثاً: المراجع الأجنبية

Abdulla, H. (2011), **Morphometric parameters study for the lower part
of lesser zap using GIS technique**, Earth Science Department,
College of Science, University of Baghdad, Baghdad, Iraq.

Alwokkman. Martin Taylor, (1993), **Hussein Alshami Geological Survey
and Minerals Exploration Board**, Ministry of oil, Sanaa.

Carlston, C. (1963), **Drainage Density and Streamflow**, Physiographic and Hydraulic Studies of Rivers: C1-C8.

Etaz, R. (1995), **Drainage basine, Initiation of Channels and Drainage Network**, Chapter 5.

Gregory, K.J. & Walling, D.E. (1973), **Drainage Basin From and Process Geomorphological approach**, Edward Arnold, London.

H.Y. Braggeman, **Climatic Resources of Yemen Part 1AGRO climatic inventory database Management Exert Agricultural Research and Extension Authority Ministry of Agriculture And water resources**, Dhamar.

Hamed Hassan Abdulla, (2010), **Morphometric parameters study for the lower part of lesser zap using GIS technique**, University of Baghdad, Iraq, Baghdad.

Horton, R.E. (1945), **Erosional development of streams and their drainage basins: Hydrophysical approach to quantitative morphology**, Geological Society of America Bull 56.

Howard, A.D. (1967), **Drainage Analysis in Geologic Interpretation a Summation**, the American Association of Petroleum Geologists Bull, 51, (11).

M G. Anderson, (1988), **Modeling Geomorphological System**. New York. Jon Wiley & sons.

Nongkynrih, J. Husain, Z. (2011), **Morphometric analysis of the Manas river basin using earth observation data and Geographical Information System**, international Journal of geometrics & geosciences.

Pareta, K. Pareta, U. (2011), **Hydro morphological Study of Karawan Watershed Using GIS and Remote Sensing Techniques**, E-International Scientific Research Journal.

Pareta, K. Pareta, U. (2012), **Quantitative Geomorphological Analysis of a Watershed of Ravi River Basin**, H.P. India, International Journal of Remote Sensing and GIS.

Patton, P.C. Baker, VR. (1976), **Morphometric and Flood in Small Drainage Basins Subject to Diverse Hydro geomorphic Controls**, Water Resources Research.

R. K. Sharma, (1978), **Ali AL thwr Soil investigation of plot farms in Ibb Governorate**, Taiz .

R. K. Sharma, Ahmed M.Awad, (1977) **Dewan, SOIL, and water resources survey from Dalil and Eryan to baong the Taiz Snaa highway Ministry of Agriculture Taiz.**

Schumm, S.A. (1956), **Evolution of Drainage Systems & Slopes in Badlands at Perth Anboy**, New Jersey, Bulletin of the Geological Society of America.

Smith, K. (1950), **Standard for Grading Textures of Erosional Topography- Am. Jour SCI.**

Strahler, A.N. (1952), **Hypsometric Analysis of Erosional Topography,** Bulletin of the Geological Society of America.

Strahler, A.N. (1957), **Quantitative Analysis Watershed Geomorphology,** Transactions, American Geophysical Union, 38, (6).

Strahler, A.N. (1964), **Quantitative Geomorphology of Drainage Basin and Channel Network,** Handbook of Applied Hydrology.

T widale.C.R.(1975), **Analysis of land from,** Gohn valley Wiley and sons, Brisbane, New York ,Chi Chester, Toronto,.

Thomas, D. Benson, M. (1970), **Generalization of Stream flow Characteristics From Drainage-Basin Characteristics,** Geological Server Water-Supply, Library of Congress catalog-card No. 77.

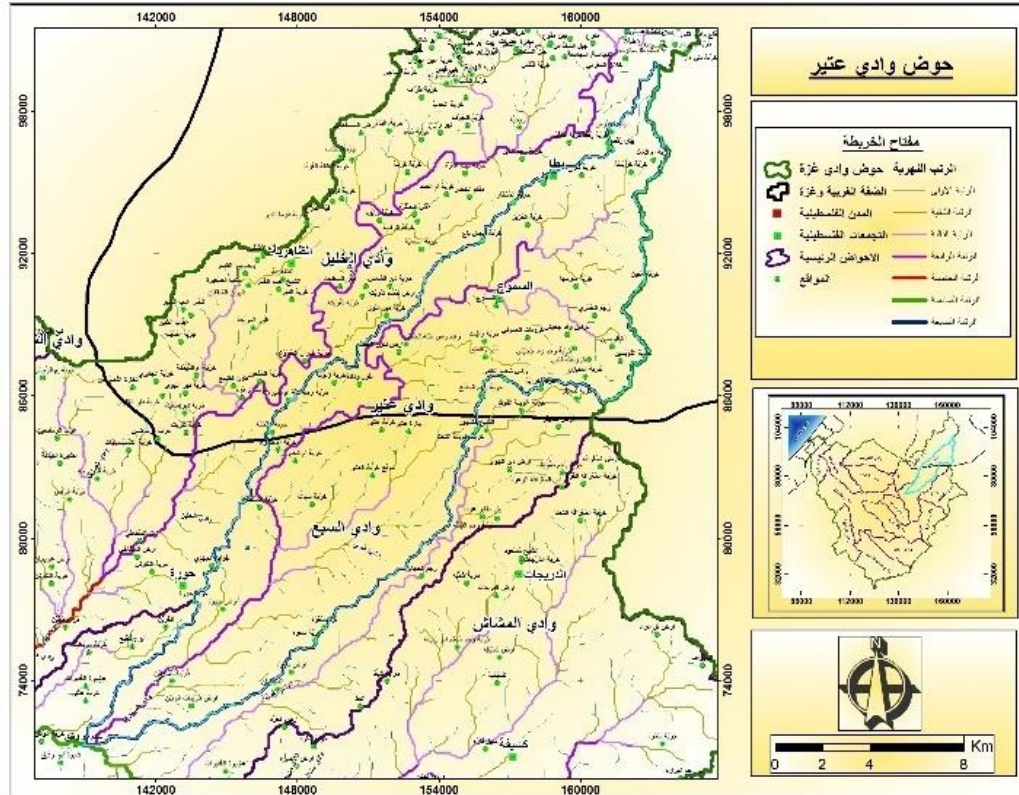
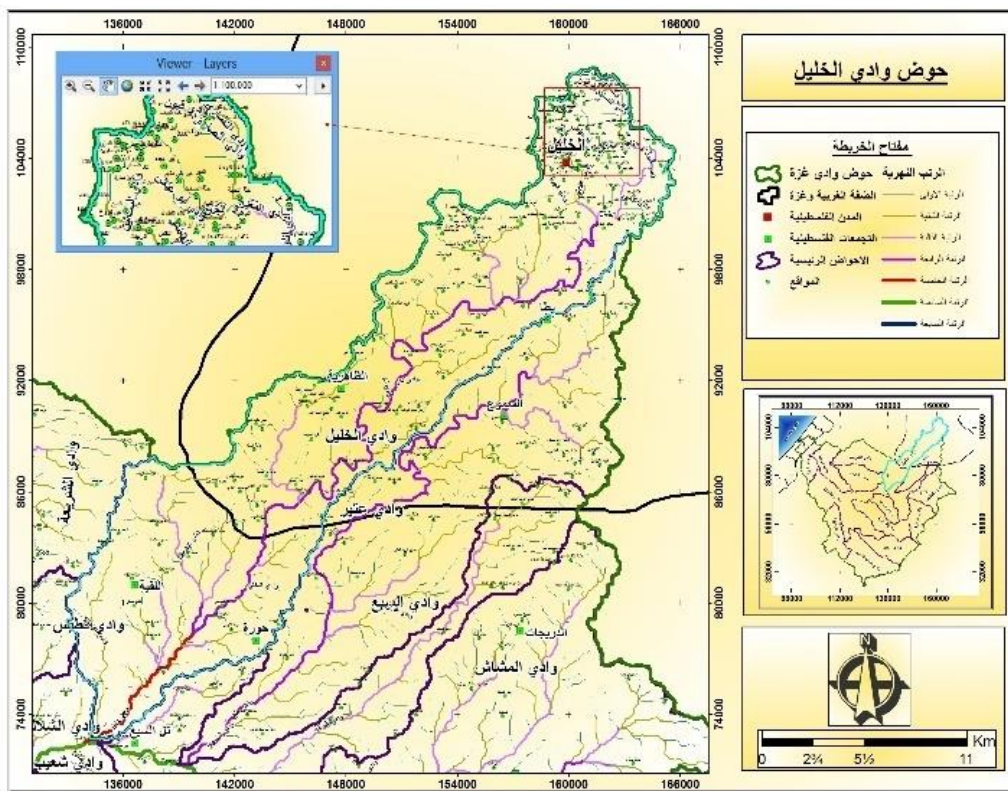
Verstappen, H.TH. (1983), **Applied geomorphology,** Geomorphological Surveys for Environmental Development, Elsevier, Amsterdam – Oxford-New York.

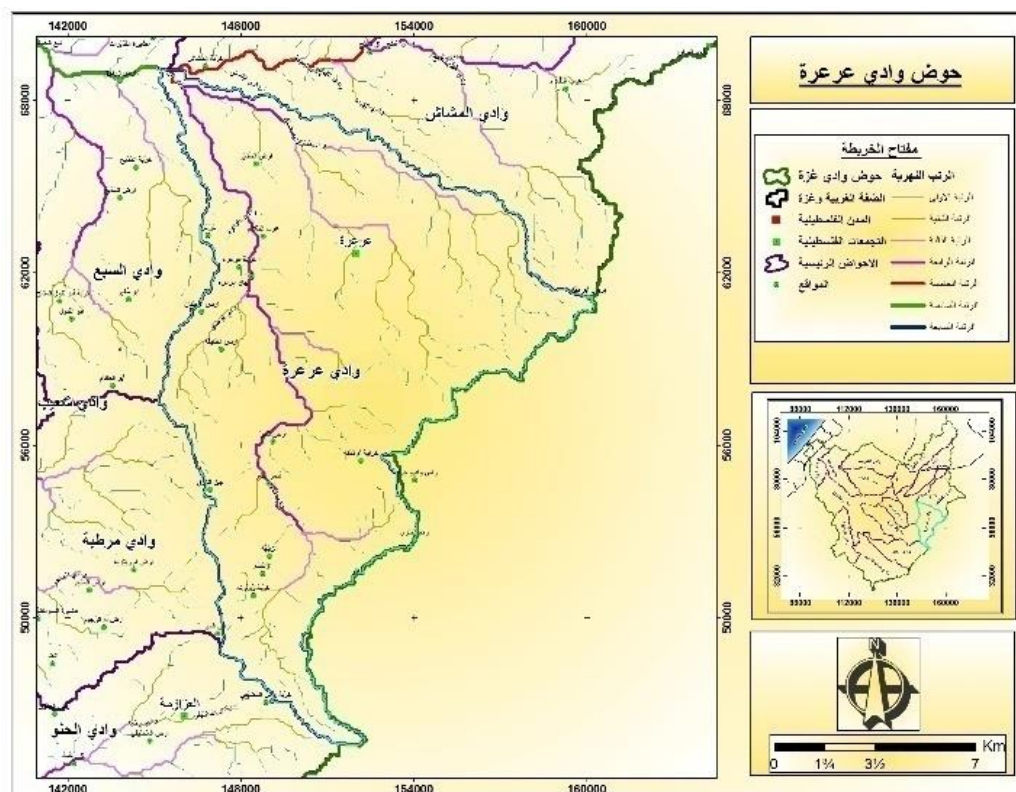
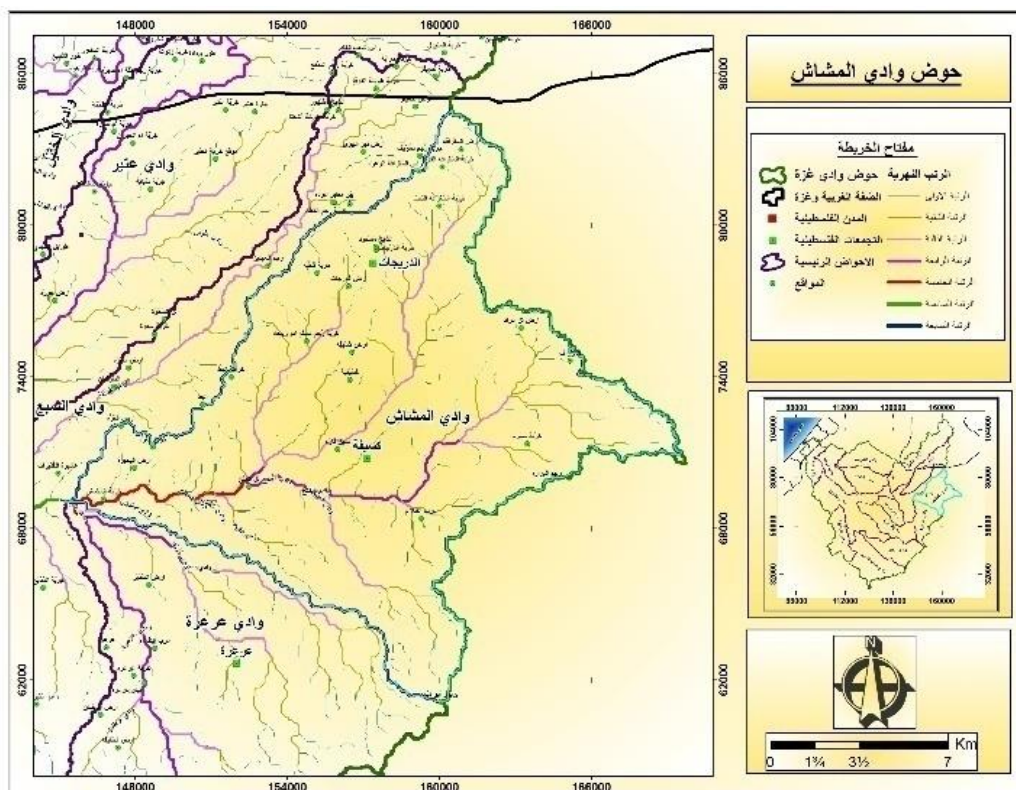
الملحق

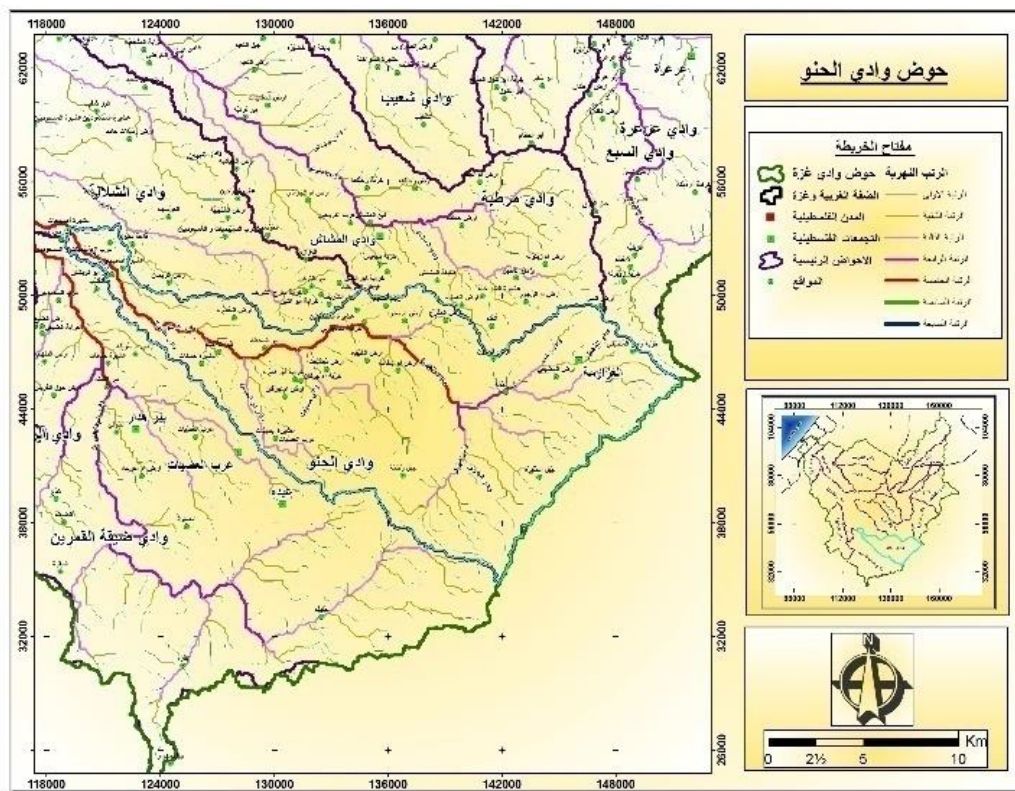
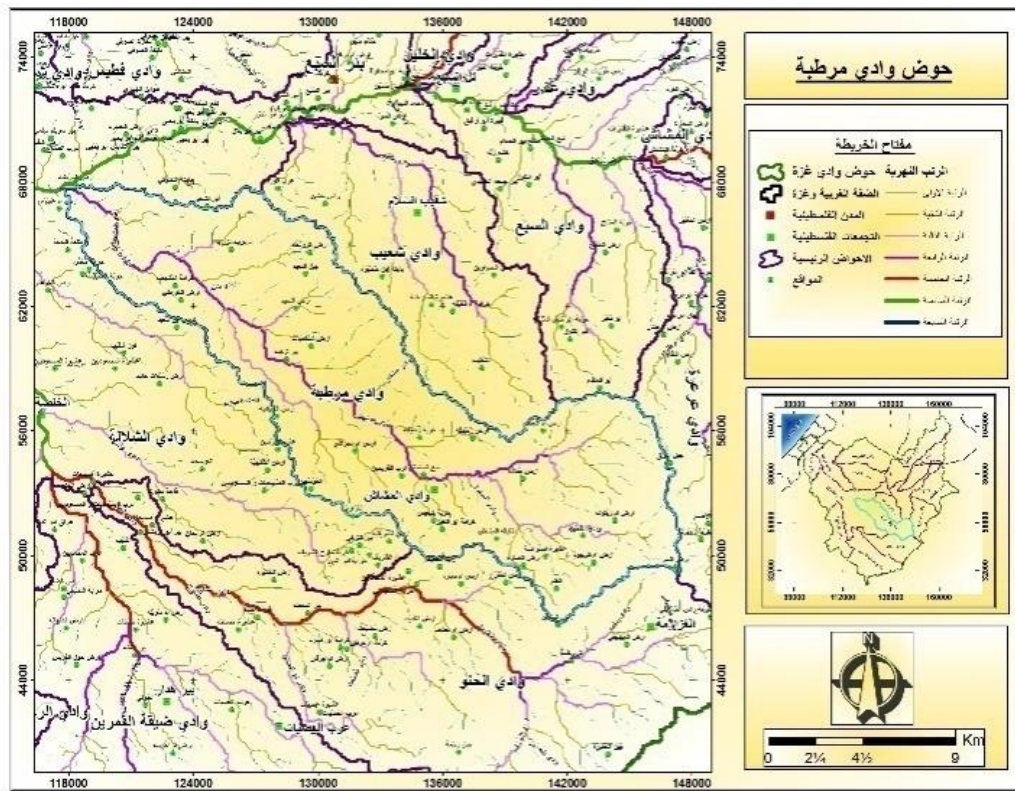
ملحق (1): الخرائط التفصيلية

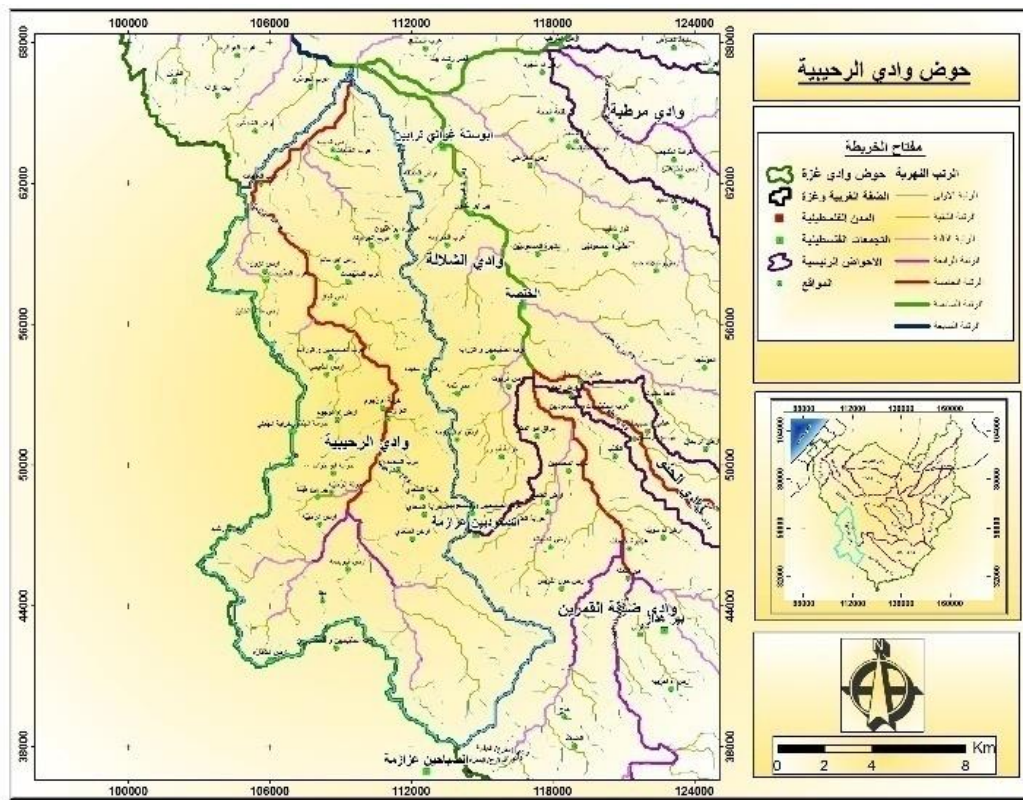
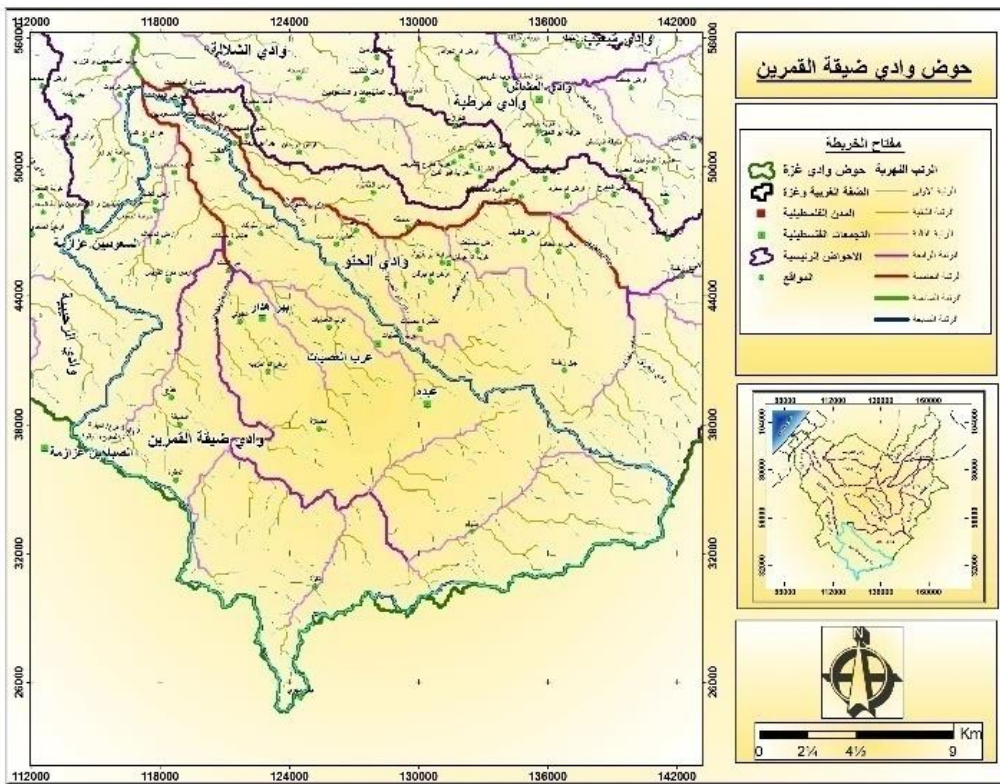
ملحق (2): الخرائط البريطانية القديمة

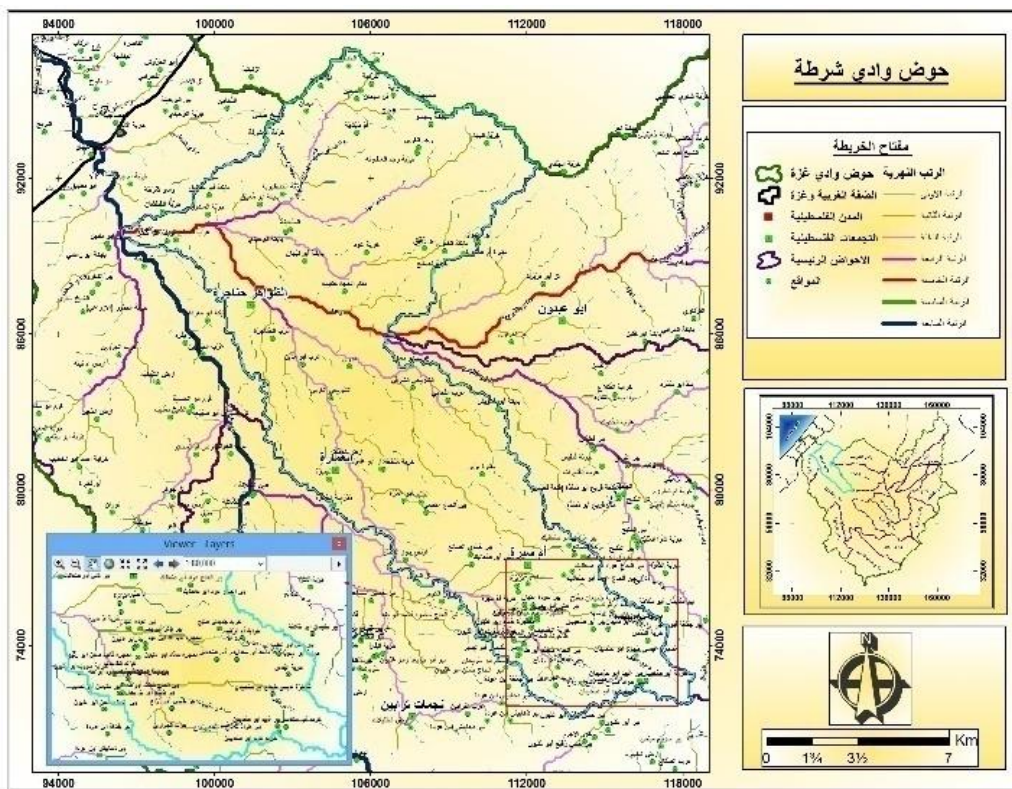
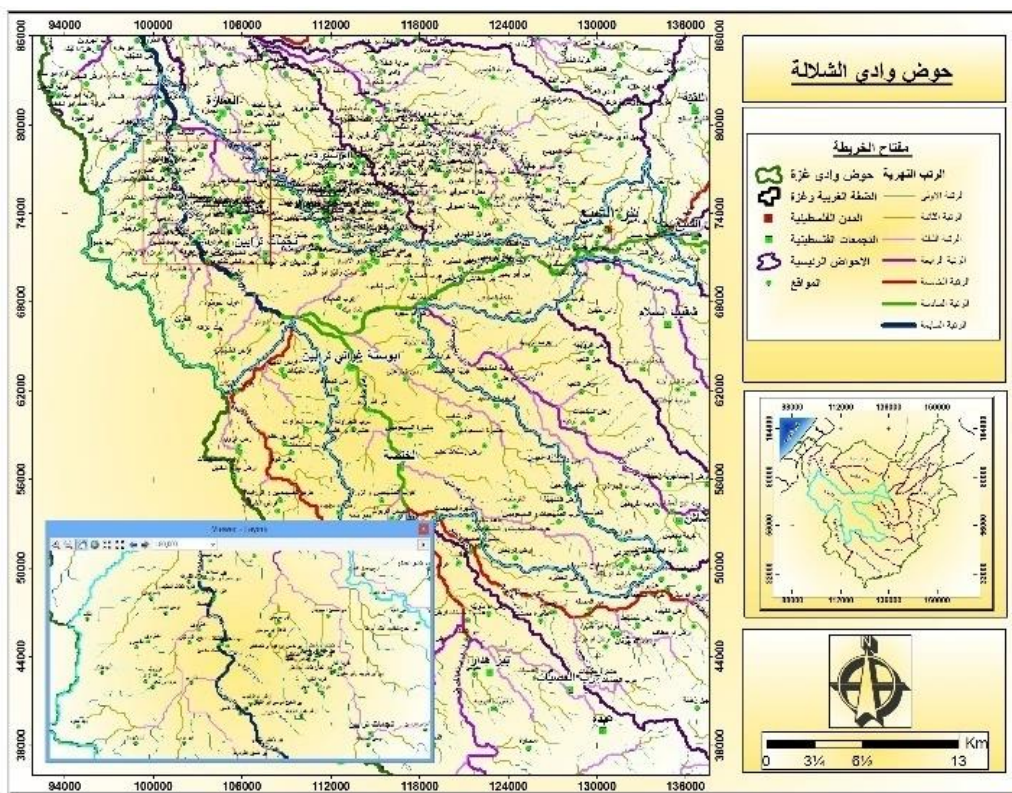
ملحق (1): الخرائط التفصيلية

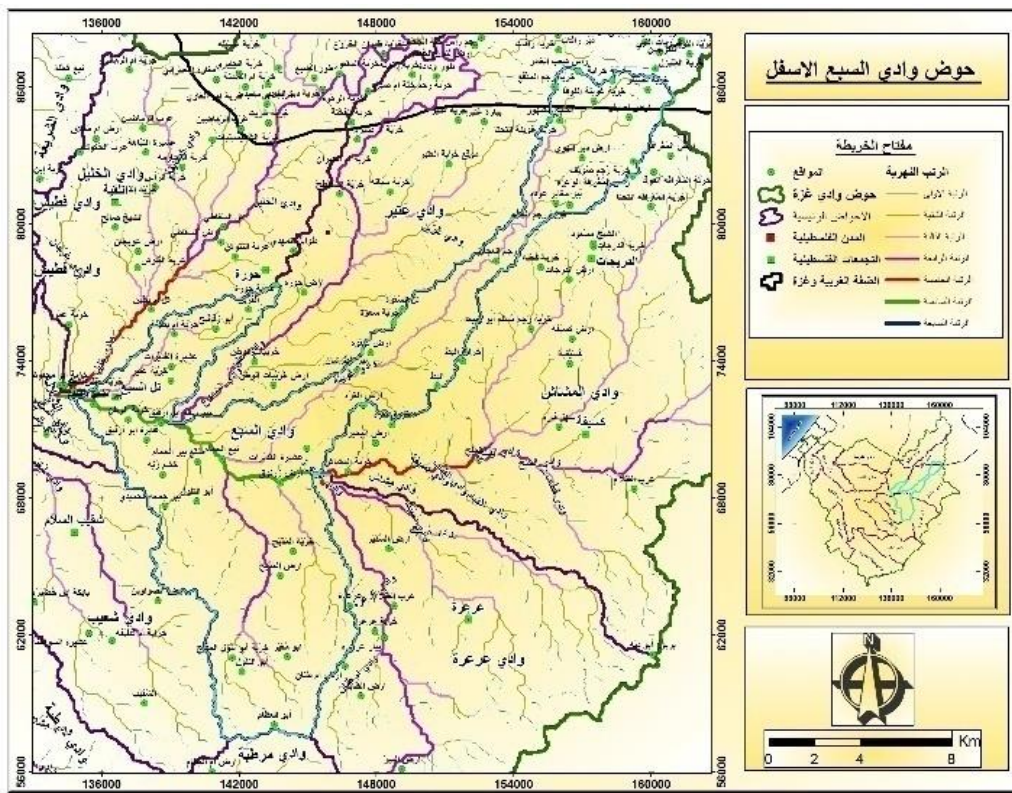


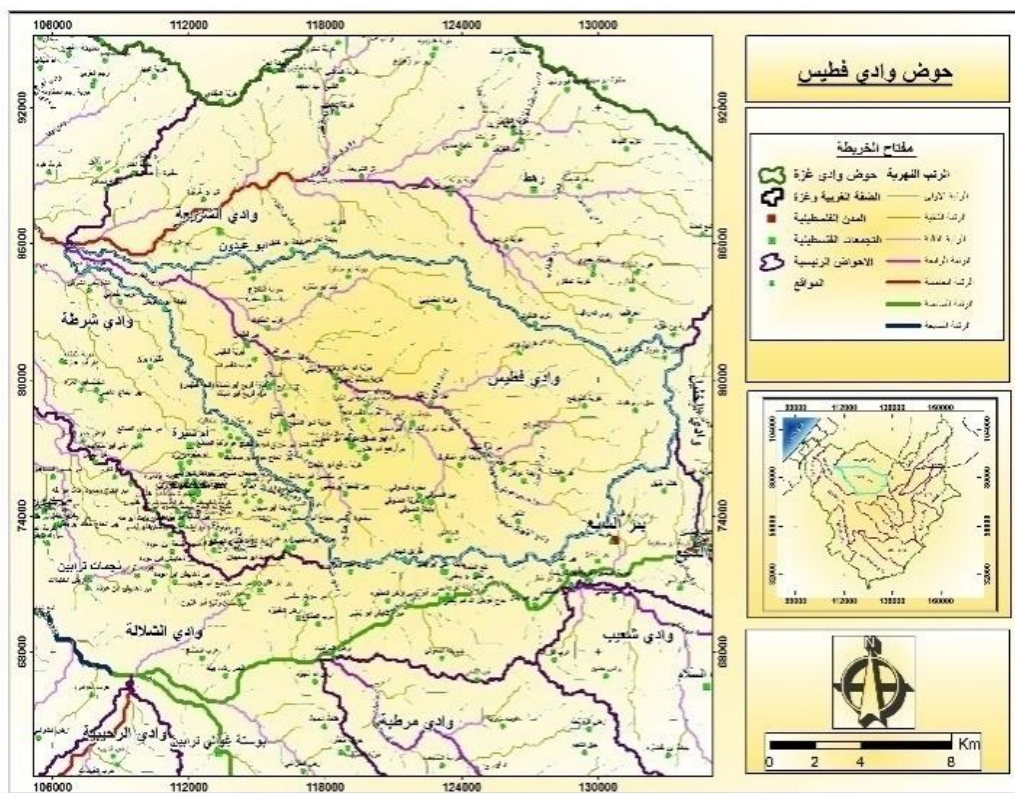
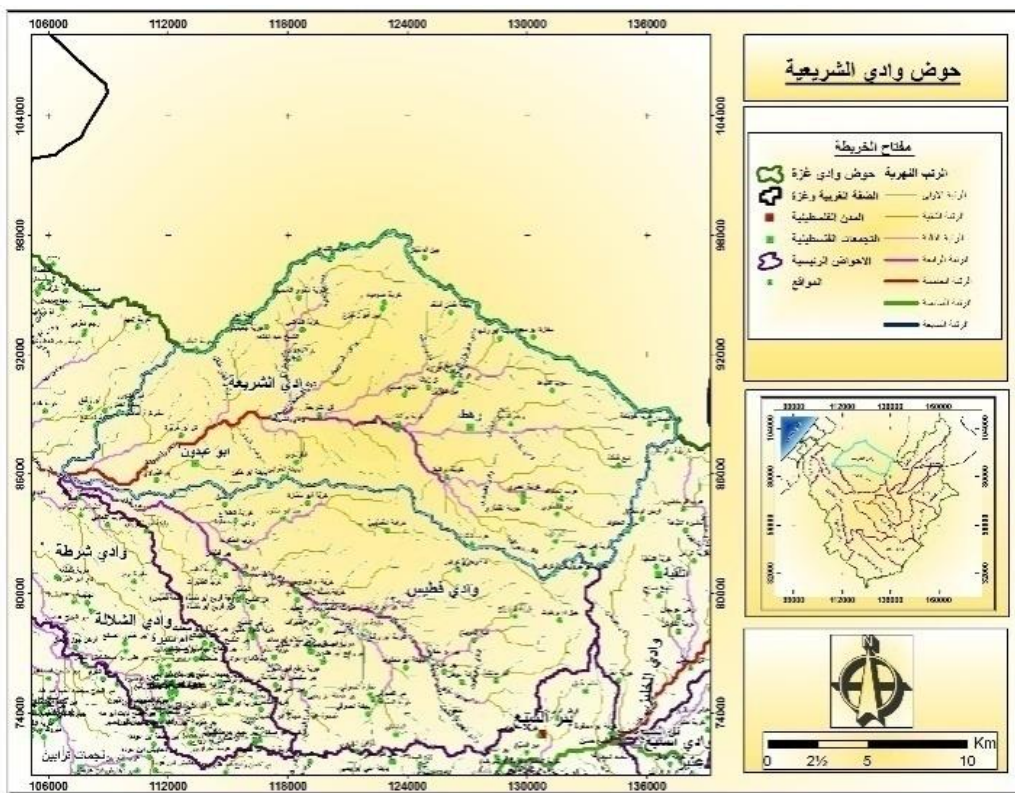






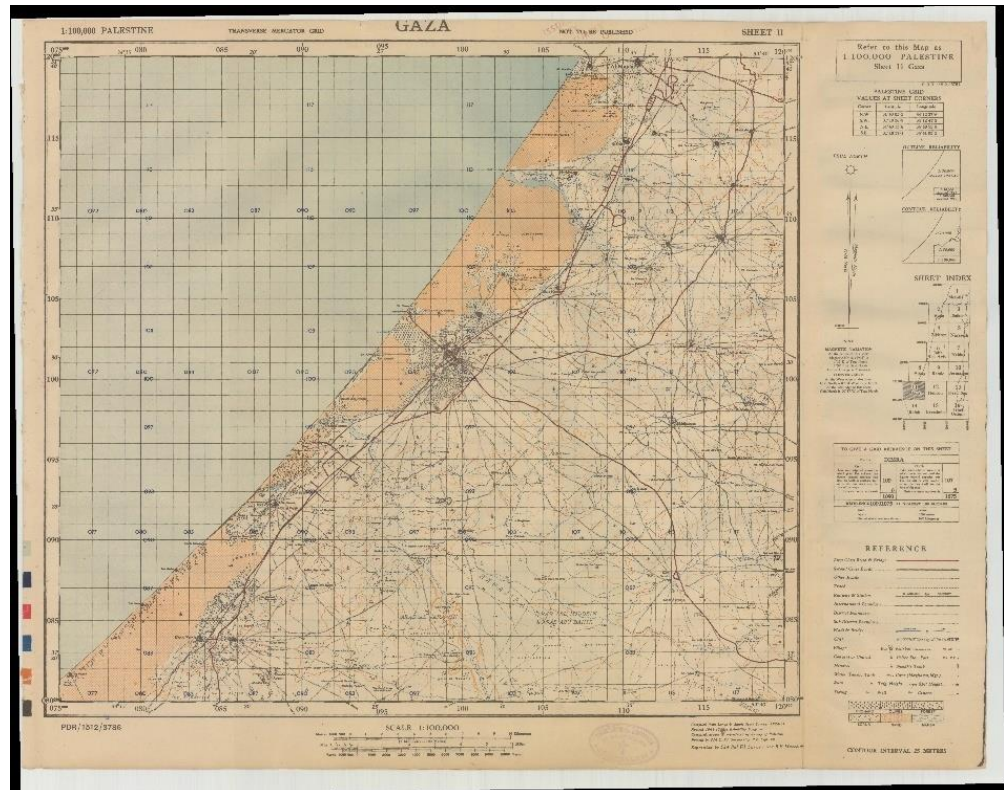
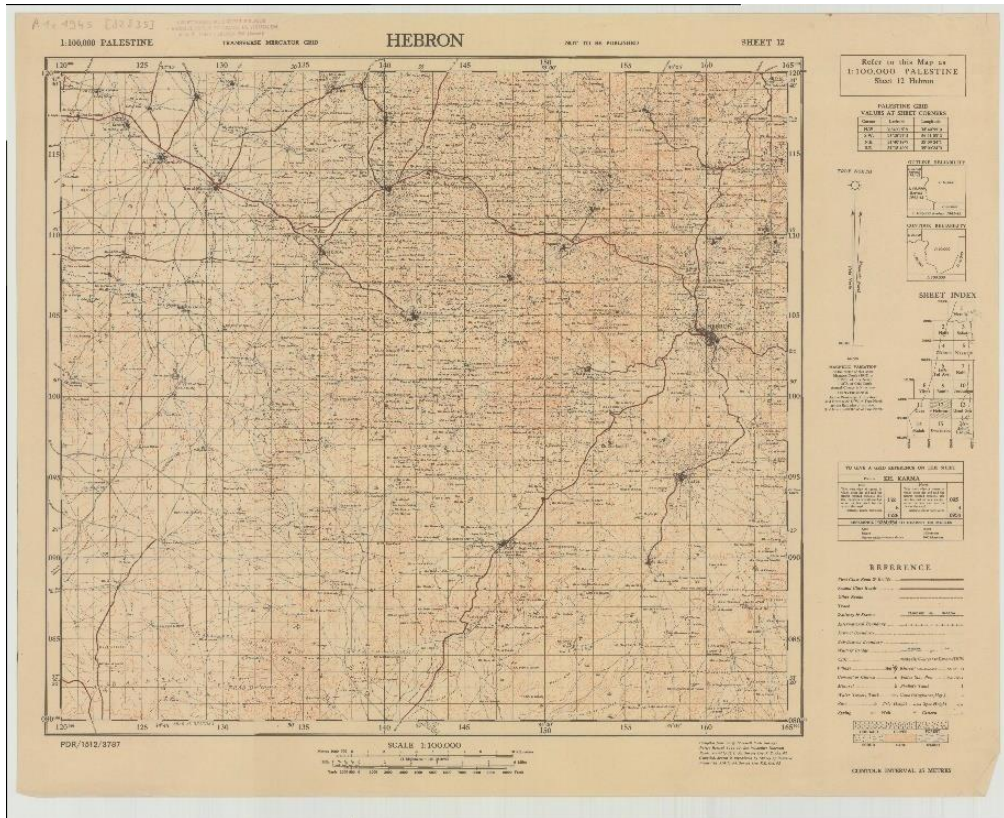








ملحق (2): الخرائط البريطانية القديمة



An-Najah National University
Faculty of Graduate Studies

**Study of the Morphometric Characteristics of
Wadi Gaza and Water Harvest Its Upper Course
Using Geographical Information Systems (GIS)**

By
Mohammed Abdullah Adil Burgan

Supervised
Dr. Ahmed Ra'fat Ghodieh

**This Thesis is Submitted in Partial Fulfillment of the Requirement
For the Degree of Master Geography, Faculty of Graduate Studies
An-Najah National University, Nablus, Palestine.**

2015

Study of the Morphometric Characteristics of Wadi Gaza and Water Harvest Its Upper Course Using Geographical Information Systems (GIS)

By

Mohammed Abdullah Adil Burgan

Supervised

Dr. Ahmed Ra'fat Ghodieh

Abstract

This study aimed at using GIS in studying the morphometric characteristics of Wadi Gaza basin. A Digital Elevation Model (DEM) with 30 m resolution (pixel size) was used for topographic analysis. ArcGIS 10.1 with its extensions, and Google Earth were used for some morphometric analysis. The maximum altitude of the basin is 1020m above the mean sea level in the northwestern part of it, while the minimum altitude is -5m below the mean sea level in the lower basin in the west.

The highest rank of the wadi is 7 which indicates that the basin lived a long period of its erosion cycle. The total number of wadi attributes for all ranks is 3788, and their total length is 4782 km. The shape of the basin is closer to the rectangular shape, and this reduces the dangers of floods. The difference of altitude between the upper basin and the lower one is 1025m along 132km distance. This proves that the basin of Wadi Gaza is mountainous and rough.

Water resources in the upper basin of Gaza basin were divided into two parts: Precipitation and groundwater. Annual precipitation in the southern area is 200 mm, where that of the northern part reached 600 mm. There are 4 wells and 9 springs with limited amount of production. The

study suggested 8 sites for constructing dams, and other 6 sites as alternatives, according to a number of parameters derived from Model Builder maps and field work. The runoff of the area is around 15 m m^3 , and storage capacity is around 7.4 m m^3 , and this amount of water can develop uncultivated lands in the area.